



การใช้ประโยชน์ศ่ายวัสดุเหลือใช้ทางการเกษตรตามชุมชนเป็นเชื่อเพลิง สำหรับเครื่องยนต์ก๊าซเทอร์ไบน์ขนาดเล็ก

โดย
นายวรเทพ สีสัตย์ชื่อ

วิทยานิพนธ์นี้เป็นส่วนหนึ่งของการศึกษาตามหลักสูตรปริญญาวิศวกรรมศาสตรมหาบัณฑิต^๑
สาขาวิชาวิทยาการและวิศวกรรมพลังงานร่องรอย
ภาควิชาวิทยาการและวิศวกรรมวัสดุ
บัณฑิตวิทยาลัย มหาวิทยาลัยศิลปากร
ปีการศึกษา 2551
ลิขสิทธิ์ของบัณฑิตวิทยาลัย มหาวิทยาลัยศิลปากร

การใช้ประโยชน์ศึกษาสู่สังคม
และการแก้ไขปัญหาสังคม

โดย
นายวรวิทย์ สีสัตย์ชื่อ

วิทยานิพนธ์นี้เป็นส่วนหนึ่งของการศึกษาตามหลักสูตรปริญญาวิศวกรรมศาสตรมหาบัณฑิต
สาขาวิชาวิทยาการและวิศวกรรมพลังงานร
ภาควิชาวิทยาการและวิศวกรรมวัสดุ
บัณฑิตวิทยาลัย มหาวิทยาลัยศิลปากร
ปีการศึกษา 2551
ลิขสิทธิ์ของบัณฑิตวิทยาลัย มหาวิทยาลัยศิลปากร

UTILIZATION OF COMMUNE BIOMASS AS FUEL FOR RUNNING A SMALL SEMI-CLOSED CYCLE GAS TURBINE ENGINE

By

Worathep Srisutsue

**A Thesis Submitted in Partial Fulfillment of the Requirements for the Degree
MASTER OF ENGINEERING
Department of Materials Science and Engineering
Graduate School
SILPAKORN UNIVERSITY
2008**

บัณฑิตวิทยาลัย มหาวิทยาลัยศิลปากร อนุมัติให้วิทยานิพนธ์เรื่อง “การใช้ประโยชน์
เศรษฐกิจสุดเหลือใช้ทางการเกษตรตามชุมชนเป็นเชื้อเพลิง สำหรับเครื่องยนต์กำชับเทอร์บินขนาดเล็ก”
เสนอโดย นายวารเทพ สีสัตย์ชื่อ เป็นส่วนหนึ่งของการศึกษาตามหลักสูตรปริญญาวิศวกรรม
ศาสตรมหาบัณฑิต สาขาวิชาการและวิศวกรรมพลังงาน

(รองศาสตราจารย์ ดร.ศิริชัย ชินะตั้งกุร)

คณบดีบัณฑิตวิทยาลัย

วันที่.....เดือน..... พ.ศ.....

อาจารย์ที่ปรึกษาวิทยานิพนธ์

1.ผู้ช่วยศาสตราจารย์ ดร.อรัญ วงศ์สันตกรรณ์

2.ดร.ฉัตรชัย จันทร์เด่นดวง

คณะกรรมการตรวจสอบวิทยานิพนธ์

..... ประธานกรรมการ

(อาจารย์ ดร.ณัฐสุณิชัยฤทธิ์)

...../...../.....

..... กรรมการ

(ผู้ช่วยศาสตราจารย์ ดร.สุธรรม ปทุมสวัสดิ์)

...../...../.....

..... กรรมการ

(ดร.กฤษมา ศิริสมนูรณ์)

...../...../.....

..... กรรมการ

(ผู้ช่วยศาสตราจารย์ ดร.อรัญ วงศ์สันตกรรณ์)

...../...../.....

..... กรรมการ

(ดร.ฉัตรชัย จันทร์เด่นดวง)

...../...../.....

48402223 : สาขาวิชาวิทยาการและวิศวกรรมพอลิเมอร์

คำสำคัญ : เชื้อเพลิงชีวมวล / เครื่องยนต์ก๊าซเทอร์บิน / ห้องเผาไหม่ถ่ายเทความร้อน

วราเทพ สีสัตย์ชื่อ : การใช้ประไบค์น์เศษวัสดุเหลือใช้ทางการเกษตรตามชุมชนเป็นเชื้อเพลิง สำหรับเครื่องยนต์ก๊าซเทอร์บินขนาดเล็ก. อาจารย์ที่ปรึกษาวิทยานิพนธ์ : ผศ.ดร.อรัญ วงศ์กรรณ์ และ ดร.นัตรชัย จันทร์เด่นดวง. 185 หน้า.

เชื้อเพลิงฟอสซิลซึ่งได้แก่ น้ำมันดิบ ก๊าซธรรมชาติ และถ่านหิน เป็นแหล่งพลังงานที่สำคัญต่อมนุษย์ที่สุดในปัจจุบัน อัตราการใช้พลังงานมากขึ้นในปัจจุบันจะทำให้น้ำมันดิบ และก๊าซธรรมชาติหมดลงในเวลาไม่เกิน 30-50 ปี มนุษย์จึงต้องหาเชื้อเพลิงอื่นมาทดแทนเชื้อเพลิงฟอสซิลให้ได้ หากพิจารณาให้ดีจะเห็นว่าเศษวัสดุเหลือใช้ทางการเกษตรที่เรียกว่า ชีวมวล (Biomass) กล้ายเป็นแหล่งพลังงานที่มีศักยภาพในการแข่งขัน กับแหล่งอื่นๆ สูงมาก เพราะเป็นแหล่งเชื้อเพลิงหมุนเวียนที่มนุษย์สามารถผลิต และใช้ได้ทันในช่วงเวลาสั้นๆ ซึ่งมีอย่างมากมายโดยเฉพาะประเทศไทย งานวิจัยนี้ทำการออกแบบและพัฒนาระบบท้องเผาไหม่ของเครื่องยนต์ก๊าซเทอร์บินขนาดเล็ก สำหรับเผาไหม่เชื้อเพลิงชีวมวลซึ่งเป็นเชื้อเพลิงแข็งให้เกิดประไบค์น์และมีประสิทธิภาพ ข้อแตกต่างของระบบเครื่องยนต์ก๊าซเทอร์บินที่ได้สร้างขึ้นกับระบบที่มีใช้กันอยู่คือ ระบบอัดอากาศจะใช้แบบลูกสูบ (Reciprocating air compressor) แทนระบบอัดอากาศแบบไอลตามแกน (Axial flow compressor) และห้องเผาไหม่เป็นแบบถ่ายเทความร้อน (Heat exchanger furnace) แทนห้องเผาไหม่แบบสันดาปภายในห้องเผาไหม่ที่ออกแบบนั้นจะมีลักษณะเป็นคุปกรณ์แลกเปลี่ยนความร้อน คือ ทำการสร้างเป็นถังทรงกระบอก และมีผิวขั้นกันเป็น 2 ชั้น ห่างกันประมาณ 3 มิลลิเมตร เพื่อให้เกิดการแลกเปลี่ยนความร้อนระหว่างก๊าซร้อน ของระบบเผาไหม่เชื้อเพลิง กับอากาศของระบบเทอร์บิน ก๊าซร้อนที่ได้จากการเผาไหม่จะถ่ายเทความร้อนผ่านผนังเตาซึ่งในเข้าสู่อากาศของระบบเทอร์บินที่อยู่ระหว่างช่องของผนังเตาโดยไม่หลุดออกจากแรงดึงดูด ร้อนเป็นสำคัญแล้วจึงไหลสู่เทอร์บินต่อไป จากการทดสอบเดินเครื่องยนต์ก๊าซเทอร์บินนี้โดยใช้ Fang ข้าวมหาด เป็นเชื้อเพลิง พบว่า เมื่ออัดอากาศป้อนเชื้อเพลิงประมาณ 0.0166 กิโลกรัมต่อนาที จะได้อุณหภูมิเปลวเพลิง ภายในเตาได้ประมาณ 440°C เมื่ออากาศอัดตัวจากเครื่องอัดอากาศซึ่งมีอุณหภูมิประมาณ 80°C แลกเปลี่ยนความร้อนกับก๊าซร้อนจากห้องเผาไหม่แล้วจะได้อุณหภูมิของอากาศตรงทางเข้าเทอร์บินเท่ากับ 320°C (ในช่วงเริ่มต้น) แต่จะเริ่มลดลงเล็กน้อย เนื่องจากระบบป้อนเชื้อเพลิงที่ออกแบบมีปัญหาป้อนเชื้อเพลิงได้ไม่มาก ในช่วงเริ่มต้นสามารถวัดความเร็วรอบของเทอร์บินได้ประมาณ 2,200 รอบต่อนาที และเพิ่มขึ้นอย่างต่อเนื่องเมื่อ สภาวะการสูญเสียความร้อนคงที่ ความเร็วรอบเทอร์บินจะเริ่มคงที่ที่ประมาณ 2,800 รอบต่อนาที ที่อุณหภูมิเข้าเทอร์บินประมาณ 280°C

ภาควิชาวิทยาการและวิศวกรรมวัสดุ บัณฑิตวิทยาลัย มหาวิทยาลัยศิลปากร ปีการศึกษา 2551

ลายมือชื่อนักศึกษา.....

ลายมือชื่ออาจารย์ที่ปรึกษาวิทยานิพนธ์ 1. 2.

48402223 : MAJOR : POLYMER SCIENCE AND ENGINEERING

KEY WORD : BIOMASS / GAS TURBINE / HEAT EXCHANGER FURNACE

WORATHEP SRISUTSUE : UTILIZATION OF COMMUNE BIOMASS AS FUEL FOR
RUNNING A SMALL SEMI-CLOSED CYCLE GAS TURBINE ENGINE. THESIS ADVISORS :
ASST.PROF.ARAN WASANTAKORN, Ph.D., AND CHATRCHAI CHANDENDUANG, Ph.D., 185
pp.

Fossil fuels including oil, natural gas and coal are the most powerful energy source in the world for a long time. Shortage of these fuels is becoming a serious problem and the state of using up is coming with in next 30-50 years. Biomass is the most interested energy source to be expected to replace them. It has high potential to compete with fossil fuels and other sources, especially in agricultural countries like Thailand. This research tries to make our own small gas turbine and utilize commune biomass as fuel for running the turbine. This turbine is different from a conventional turbine system by using a reciprocating compressor instead of an axial flow one and also using a furnace heat exchanger instead of a normal combustion chamber. The furnace heat exchanger was designed as a concentric two-layer cylindrical tank with a clearance of 3 millimeters. The compartment inside the inner layer is used as a combustion chamber to burn biomass. The narrow space between the two layers is for the turbine air flowing through and absorbing heat from the combustion chamber. The flow pattern is hot flue gas going up whereas the turbine air going down. In testing runs of the engine, rice straws are grinded and feed as fuel for the engine with the feeding rate of 0.0166 kg/mins. The resulted flame temperature of hot flue gas is about 440°C . At the beginning the compressed air temperature is about 80°C . After exchanging heat with hot flue gas from combustion process, its temperature has been increasing to 320°C . The temperature of this air is decreased because of small feed rate of fuel caused by blocking of higher pressure air inside the combustion chamber. At the beginning, the turbine speed is 2,200 rpm. This number is then increased up to the constant heat loss rate. The turbine speed reaches the constant value of 2,800 rpm at the turbine inlet air temperature at of 280° .

Department of Materials Science and Engineering Graduate School, Silpakorn University Academic Year 2008
Student's signature

Thesis Advisors' signature 1. 2.

กิตติกรรมประกาศ

วิทยานิพนธ์ฉบับนี้จะไม่สำเร็จไปได้ด้วยดีถ้าปราศจากบุคคลทั้งสองคือ ผู้ช่วยศาสตราจารย์ ดร.อรัญ วสันตกรรณ์ และ ดร.ฉัตรชัย จันทร์เด่นดวง ณ ศูนย์เทคโนโลยีโลหะและวัสดุแห่งชาติที่ให้คำปรึกษา คำแนะนำต่างๆที่ดีมาตลอด อีกทั้งสำนักงานพัฒนาวิทยาศาสตร์และเทคโนโลยีแห่งชาติที่ให้ทุนสนับสนุนงานวิจัย

ผู้วิจัยขอกราบขอบพระคุณ ผู้ช่วยศาสตราจารย์ ดร.บุศรินทร์ เมฆะประบุตร ผู้ช่วยศาสตราจารย์ ดร.สุธรรม ปทุมสวัสดิ์ และ ดร.กษมา ศิริสมบูรณ์ ที่ให้เกียรติมาเป็นกรรมการคุมสอบวิทยานิพนธ์ รวมทั้งให้ความรู้และคำแนะนำต่างๆที่มีประโยชน์เป็นอย่างยิ่ง ขอกราบขอบพระคุณคณาจารย์ ภาควิชาวิทยาการและวิศวกรรมวัสดุ คณะวิศวกรรมศาสตร์และเทคโนโลยี อุตสาหกรรม มหาวิทยาลัยศิลปากร ทุกท่านที่อบรม สั่งสอน ตักเตือน ทั้งด้านการศึกษาและการใช้ชีวิตแก่ผู้วิจัยมาตลอดระยะเวลาที่ผ่านมา

ผู้วิจัยขอขอบคุณสถาบันพัฒนาฝึกอบรมภาค 4 โดยเฉพาะอย่างยิ่ง อาจารย์ สุรินทร์ ที่ให้คำแนะนำ เทคนิควิธีการต่างๆในการทำงาน ขอขอบคุณช่างเทคนิคโดยเฉพาะ คุณ ไฟโรจน์ ตั้งศุภอร瓦ช ที่อำนวยความสะดวกและช่วยเหลือทางด้านเครื่องมือในงานวิจัยตลอดมา ขอขอบคุณเจ้าหน้าที่ทุกท่านในภาควิชาวิทยาการและวิศวกรรมวัสดุที่ได้อำนวยความสะดวกในการขอใช้ห้องปฏิบัติการ และการเบิกจ่ายเงินต่างๆ และขอขอบคุณบัณฑิตวิทยาลัย มหาวิทยาลัย ศิลปากร ที่ช่วยแก้ไขรูปแบบวิทยานิพนธ์ให้มีความถูกต้องและสมบูรณ์ยิ่งขึ้น

สุดท้ายนี้ ขอกราบขอบพระคุณคุณพ่อ คุณแม่ และครอบครัว ที่ให้ทั้งกำลังใจ ความอบอุ่น คำปลอบ และกำลังทรัพย์ที่ดีมาตลอดเวลา ขอบคุณพี่ๆ เพื่อนๆ น้องๆ และผู้ที่เมื่อได้กล่าวถึงมาในที่นี้ ที่ให้ความรู้สึกที่ดีและประสบการณ์ที่ดีแก่ผู้วิจัยตลอดระยะเวลาที่ศึกษาอยู่ ผู้วิจัยขอขอบคุณมา ณ ที่นี้ด้วย

สารบัญ

	หน้า
บทคัดย่อภาษาไทย	๑
บทคัดย่อภาษาอังกฤษ	๑
กิตติกรรมประกาศ.....	๙
สารบัญตาราง.....	๙
สารบัญรูป	๙
บทที่	
1 บทนำ.....	1
ปัญหาและความเป็นมาของงานวิจัย	1
วัตถุประสงค์ของงานวิจัย	3
แนวคิดงานวิจัย.....	3
ขอบเขตของงานวิจัย	5
ขั้นตอนการดำเนินงานวิจัย	5
ผลที่คาดว่าจะได้รับ.....	6
2 ทฤษฎีการออกแบบและงานวิจัยที่เกี่ยวข้อง	7
ทฤษฎีในการคำนวณการสร้างห้องเผาไฟหม้อน้ำ	7
เทอร์โมไดนามิกส์ของเครื่องยนต์เทอร์บิน	34
วัฏจักรเบรตันคุณมคติ.....	34
วงจรการทำงานของเครื่องยนต์ก๊าซเทอร์บินจริง.....	37
อากาศพลศาสตร์ของเทอร์บินแบบไอลดามแแกน	39
ทฤษฎีเบื้องต้นของเทอร์บินแบบไอลดามแแกน.....	39
เครื่องอัดอากาศ	51
เครื่องอัดอากาศแบบลูกสูบ	52
ผลของปริมาณการหัวสูบ.....	56
แผนภาพจริงของเครื่องอัดแบบลูกสูบ.....	59
ปริมาตรอิสระของอากาศที่ออกจากการเครื่องอัด	60
เครื่องอัดอากาศแบบลูกสูบหลายชั้น	60
เงื่อนไขคุณมคติของเครื่องอัดแบบหลายชั้น	63

บทที่		หน้า
3	วิธีและขั้นตอนการสร้างชิ้นส่วนเครื่องยนต์ก๊าซเทอร์บิน การออกแบบชิ้นส่วน..... การคำนวณหาพื้นที่การให้ผลทางเข้าเทอร์บิน..... การหาขนาดห้องเผาให้มีถ่ายเทความร้อน	68 68 68 70 74 74 74 81 81 93 94
	เครื่องอัดอากาศ..... การออกแบบเพลา	74 74
	วิธีสร้างชิ้นส่วนต่างๆ	81
	การสร้างชิ้นส่วนเทอร์บิน	81
	วิธีและขั้นตอนสร้างห้องเผาให้มีถ่ายเทความร้อน..... การประกอบเครื่อง	93 94
	การประกอบแ苦难ไปพัดนิ่ง และแ苦难ไปพัดหมุนเข้ากับชิ้นส่วนเพลว ทั้งสองแบบ	94 94
	การประกอบเพลาขึ้นเข้ากับวงล้อไปพัดหมุน	95
	การประกอบเทอร์บิน..... การประกอบห้องเผาใหม่	96 96
	การประกอบเครื่องยนต์ก๊าซเทอร์บิน..... ผลการสร้างเครื่องยนต์ก๊าซเทอร์บินและการวิจารณ์..... ผลการประกอบเครื่องยนต์ก๊าซเทอร์บิน..... ส่วนเครื่องอัดอากาศแบบลูกศูน	97 99 99 100
	ห้องเผาใหม่ที่มีการถ่ายเทความร้อนแบบ Recuperator..... เทอร์บินและชิ้นส่วนย่อยที่ได้ทำการผลิตขึ้น..... ผลการประกอบเดินเครื่องของระบบเครื่องยนต์ก๊าซเทอร์บิน..... ขั้นตอนการติดตั้งและประกอบคุปกรณ์ช่วยเข้ากับตัวเครื่อง..... ขั้นตอนการเริ่มเดินเครื่อง (Start up)..... ขั้นตอนการ เดินเครื่องและเก็บข้อมูล	100 103 117 117 117 118 118 120
5	การทดสอบเดินเครื่องของระบบเครื่องยนต์ก๊าซเทอร์บิน..... ผลการทดลองเดินเครื่อง	117 118
6	สรุปผลการดำเนินงาน	123

บทที่		หน้า
การสร้างเครื่องยนต์เทอร์บอโน่	123	
ข้อเสนอแนะ	124	
บรรณานุกรม	126	
ภาคผนวก.....	130	
ภาคผนวก ก	131	
ภาคผนวก ข	140	
ภาคผนวก ค	157	
ประวัติผู้วิจัย	185	

สารบัญตาราง

ตารางที่		หน้า
2.1	ความยาวลำแสงเฉลี่ย (Mean Length) ของลำแสง (Radiant Beams) ใน ปริมาตรรากี๊ซที่มีอุปругต่างๆ ตามเตา.....	11
2.2	แสดงความยาวลำแสงสำหรับการแผ่รังสีของก๊าซ (Beam Lengths for Gas Radiation).....	18
2.3	Permissible Average Radiant Rates	33
3.1	แสดงส่วนผสมทางเคมีของ W302	76
4.1	แสดงผลจากการ ปรับสมดุลวงล้อและเพลาที่สร้างขึ้นมา	114
4.2	แสดง unbalance เริ่มต้น	115
4.3	แสดง unbalance ที่เหลือ	115

สารบัญรูป

หัวที่		หน้า
1.1	แสดงส่วนประกอบ ของ A semi-closed cycle gas turbine engine และ The Brayton cycle ที่เครื่องยนต์กำลังปั่นพุติตาม.....	4
2.1	การแพร่รังสีเนื่องจากคาร์บอนไดออกไซด์	12
2.2	การแพร่รังสีเนื่องจากไอน้ำ.....	13
2.3	แสดง Absorption strength ของเปลวเพลิงสว่าง	16
2.4	แสดงความสามารถการแพร่รังสีของเปลวเพลิงสว่าง.....	16
2.5	การประเมินค่าแฟดเตอร์แสดงประสิทธิผล α	20
2.6	แสดงการประเมินค่า α ที่กำลังแสดงให้เห็นการกระจายของฟลักซ์บนเส้น รอบรูปท่อ	22
2.7	แสดงการแพร่รังสีระหว่างระบบหนึ่งกับหนึ่งถ้าท่อหรือมากกว่าที่ขานกับ ระบบแพร่รังสีนั้น	23
2.8	ฟลักซ์การแพร่รังสีความร้อน	30
2.9	แสดงค่า overall exchange factor เป็นพงกชั้นของค่าการปล่อยรังสีของก๊าซ	31
2.10	เปรียบเทียบองค์ประกอบต่างๆ ของเครื่องยนต์ก๊าซเทอร์บินระบบบางจรวด (a) กับระบบวงจรกึ่งปิด (b)	34
2.11	โดยแกม T-s และ P-v แสดงกระบวนการเปลี่ยนแปลงอย่างๆ ที่เกิดขึ้นบน องค์ประกอบต่างๆ ที่กำลังทำงานของเครื่องยนต์เทอร์บิน	35
2.12	ความเบี่ยงเบนของวัฏจักรก๊าซเทอร์บินฯ จึงจากวัฏจักรอุดมคติ Brayton เนื่อง จากปัจจัย irreversibilities	37
2.13	1 สเตจของเทอร์บินแบบไอลตามแกน	39
2.14	โดยแกมแสดงเวกเตอร์ต่างๆ ของความเร็วก๊าซและไบพัด	41
2.15	ออกแบบโดยใช้ Percent reaction เท่ากับ 50%	46
2.16	ใบพัดนิ่งแบบ (a) Convergent-divergent และแบบ (b) Divergent อย่างเดียว ที่กำลังปฏิบัติการที่อัตราส่วนความดันมากกว่าอัตราส่วนความดันวิกฤติ	51
2.17	(ก) และ (ข) แสดงเครื่องอัดอากาศแบบขั้นเดียว	52
2.18	แสดงแผนภาพความสัมพันธ์ระหว่างความดันและปริมาตร ($P - V$) ของ เครื่องอัดอากาศ	53

หัวที่		หน้า
2.19	แสดงความสัมพันธ์ระหว่างปริมาตรหัวสูบกับความดัน.....	57
2.20	แสดงแผนภาพจิวของเครื่องอัดแบบลูกสูบ	59
2.21	แสดงความสัมพันธ์ระหว่างความดันและปริมาตรของเครื่องอัดอากาศแบบ ลูกสูบหลายชั้น	60
2.22	แสดงเครื่องอัดลมสองชั้น	61
2.23	แสดงการต่อกรอบลูกสูบของเครื่องอัดแบบสามชั้น.....	62
2.24	แสดงวัสดุจารของเครื่องอัดอากาศหลายชั้นในคุณภาพ	63
3.1	แสดงพื้นที่ซ่องทางเดินอากาศหรือส่วนของถ่วงไปพัดนิ่งที่ใช้ในการคำนวณ	68
3.2	แสดงพื้นที่ซ่องทางเดินอากาศหรือส่วนของถ่วงไปพัดหมุนที่ใช้ในการคำนวณ ...	69
3.3	แสดงส่วนประกอบของห้องเผาไหม้	70
3.4	บริเวณถังพักอากาศอัดจากเครื่องอัดอากาศ.....	71
3.5	บริเวณทรงกรวยรับความร้อน	72
3.6	บริเวณส่วนด้านบนรับความร้อน.....	72
3.7	บริเวณทรงกระบอกรับความร้อน	73
3.8	บริเวณกันถังก่อนเข้าสู่เทอร์ไบน์	73
3.9	แสดงการออกแบบลักษณะเบื้องต้นของเพลา	75
3.10	แสดงชนิดของลิมอัด	75
3.11	แสดงเพลาเพื่อใช้ในการคำนวณ.....	77
3.12	แสดงส่วนประกอบต่างๆ ของเทอร์ไบน์ที่ออกแบบไว้แล้ว	81
3.13	การวางของเพลาโดยใช้ลูกปืนแบบเม็ดกลมร่องลึก (Deep groove ball bearing) สำหรับรองรับแรงตามแนวแกนและแนวตามรัศมีขนาดปานกลาง.....	82
3.14	แสดงเสื้อใส่คลบลูกปืนที่ออกแบบแล้ว (Housing)	83
3.15	แสดงแบบเฟรมด้านในที่ออกแบบแล้ว (Frame_01)	83
3.16	เฟรมด้านนอกที่ออกแบบแล้ว (Frame_02)	84
3.17	จานยึดถ่วงไปพัดนิ่งที่ออกแบบแล้ว (Frame_03)	85
3.18	ชิ้นส่วนกำกับวงล้อถ่วงไปพัดนิ่งที่ออกแบบแล้ว (Frame_04)	86
3.19	ชิ้นส่วนป้องกันเพลาด้านท้ายที่ออกแบบแล้ว (ชื่อระบุในแบบ Frame_05)	87
3.20	ชิ้นส่วนเฟรมสามารถล็อคถ่วงไปพัดหมุนที่ออกแบบแล้ว (Frame_06)	88

หัวที่		หน้า
3.21	แสดงเฟรมทางออกของอากาศที่ออกแบบแล้ว (Frame_07)	89
3.22	แสดงเฟรย์ดส่วนปลายถาวรไบพัคนิ่งที่ออกแบบแล้ว (Stator_01)	89
3.23	แสดงงานยึดส่วนโคนของถาวรไบพัคหมุนที่ออกแบบแล้ว (Rotor_01)	90
3.24	แสดงเพลาขับ (Shaft_01)	91
3.25	แสดงจีบัคนิ่งและไบพัคหมุน (Nozzle and Rotor blade) ที่ออกแบบแล้ว (Turbine blade_Stator, Turbine blade_Rotor)	92
3.26	(ก) เครื่องเก็บพิกัดสามมิติระบบอุปติก (ข) เครื่องชีเอ็นซีมิลิ่ง แบบ 5 แกน	93
3.27	แสดงซ่องเผาไหม้ ชนิดถ่ายเทความร้อนที่ออกแบบไว้	93
3.28	(ก) การประกอบถาวรไบพัคนิ่ง (ข) การประกอบถาวรถาวรไบพัคหมุน เช้ากับ งานหมุนและ shroud	95
3.29	การประกอบเพลาขับเช้ากับเฟรมถาวรไบพัคหมุน (Rotor frame)	95
3.30	ภาพแสดงส่วนประกอบต่างๆ ของเทอร์บิน	96
3.31	แสดงส่วนประกอบห้องเผาไหม้	97
3.32	แสดงภาพสเก็ตของเครื่องยนต์ก๊าซเทอร์บินที่สมบูรณ์	97
4.1	แสดงระบบเครื่องยนต์ก๊าซเทอร์บิน	99
4.2	แสดงเครื่องอัดอากาศแบบลูกสูบ	100
4.3	แสดงห้องเผาไหม้ที่ทำการสร้างสำเร็จพร้อมหุ้มฉนวนกันความร้อนอย่าง สมบูรณ์	101
4.4	แสดงภาพสเก็ตของห้องเผาไหม้ที่มีการแตกเปลี่ยนความร้อนผ่านผนัง (ก) และห้องเผาไหม้ที่ผ่านการเชื่อมประกอบแล้วเสร็จสมบูรณ์ (ข)	102
4.5	แสดงฉนวนกันความร้อนชนิดต่างๆ (ก) อิฐทนไฟ (ข) เซรามิคไฟเบอร์ (ค) กระเจกเงา	102
4.6	แสดงห้องเผาไหม้ ภาพสเก็ตห้องเผาไหม้ (ก) ห้องเผาไหม้ที่ถ่ายเทความร้อนที่ สร้างเสร็จสมบูรณ์ (ข)	103
4.7	แสดงภาพสเก็ตชิ้นส่วนเทอร์บิน (ก) ภาพตัดเทอร์บิน (ข) และเทอร์บินที่สร้าง เสร็จสมบูรณ์ (ค)	104
4.8	แสดงเสื้อใส่ตับลูกปืนพร้อม Drawing แสดงขนาด (Housing_01, Housing_02)	104

หัวที่		หน้า
4.9	แสดงชิ้นส่วนเฟรมด้านในพร้อม Drawing แสดงขนาด (Frame_01).....	105
4.10	แสดงเฟรมด้านนอกที่สร้างเสร็จพร้อม drawing แสดงขนาด (Frame_02)	106
4.11	แสดงงานปั๊บพัดนิ่ง พร้อมdrawing แสดงขนาด (Frame_03)	107
4.12	แสดงชิ้นส่วนสำหรับใช้สวมเฟรมไปพัดนิ่งที่สร้างเสร็จแล้วพร้อมdrawing แสดงขนาด (Frame_04)	107
4.13	แสดงชิ้นส่วนป้องกันเพลาด้านท้ายที่สร้างเสร็จแล้วพร้อมdrawing แสดง ขนาด (Frame_05)	108
4.14	แสดงเฟรมสวมไปพัดหมุนที่สร้างเสร็จแล้วพร้อม drawing แสดงขนาด (Frame_06).....	109
4.15	แสดงฟลวงทางออกของอากาศที่สร้างเสร็จ พร้อมdrawing แสดงขนาด (Frame_07)	109
4.16	แสดงเพลาขับที่สร้างเสร็จแล้วพร้อม drawing แสดงขนาด (Shaft_01).....	110
4.17	แสดงปีบพัดนิ่งและไปพัดหมุน ที่สร้างเสร็จแล้วพร้อม drawing แสดงขนาด (Turbine blade_Stator, Turbine blade_Rotor)	111
4.18	แสดงงานยึดไปพัดหมุนที่สร้างเสร็จแล้วพร้อม drawing แสดงขนาด (Turbine blade_Rotor)	112
4.19	แสดงไปพัดนิ่งและไปพัดหมุนเมื่อประกอบเข้ากับงานและ shroud เสร็จ เรียบร้อย	113
4.20	แสดงการทำการปรับสมดุลการหมุนของวงล้อและเพลาขับเทอร์ไบโนที่สร้าง ด้วยเครื่องปรับสมดุล (model zc50, version TC-GV)	114
4.21	แสดงก้าเซเทอร์ไบโนที่ประกอบสมบูรณ์แล้วพร้อมเชื่อมตอกับห้องเผาไหม้และ เครื่องอัดอากาศ	115
5.1	แสดงความสัมพันธ์ระหว่างอุณหภูมิที่จุดต่างๆ กับเวลาเดินเครื่อง.....	119
5.2	แสดงความสัมพันธ์ระหว่างอุณหภูมิที่เข้าเทอร์ไบโนและความเร็วตอบต่อเวลา	120
5.3	แสดงบริเวณที่เกิดการแตกร้าวเนื่องมาจากการสั่นของเครื่องอัดอากาศ	121
5.4	(ก) แสดงระบบป้อนเชื้อเพลิงฟางข้าวbat (ข) ฟางข้าวที่บดนำมาทำเชื้อเพลิง	121
5.5	แสดงบริเวณซ่องป้อนเชื้อเพลิงที่เกิดความดันของอากาศในห้องเผาไหม้เมื่อ ^{อุณหภูมิสูง}	122

ชื่อ	หน้า
5.6 บริเวณติดลูกปืนทั้งส่วนหน้าและส่วนหลังที่ต้องได้รับการหล่อเย็น	122

บทที่ 1 บทนำ

1.1 ปัญหาและความเป็นมาของงานวิจัย

ปัจจุบันประเทศไทย (หรือแม้แต่ทั่วโลกก็ตาม) กำลังประสบปัญหาด้านการเพิ่มสูงขึ้นอย่างรวดเร็วของราคาเชื้อเพลิงฟอสซิล ปัญหานี้เกิดจากการลดลงอย่างรวดเร็วของปริมาณสารองเชื้อเพลิงฟอสซิลของโลกและกำลังจะหมดลงในระยะเวลาอันใกล้ สถานการณ์เข่นนี้ทำให้เราต้องรับ��แหล่งเชื้อเพลิงเหล่านี้ใหม่ที่มีศักยภาพและปริมาณที่เพียงพอต่อการบริโภค พลังงานนิวเคลียร์ดูจะยังอันตรายเกินไปสำหรับประเทศไทยที่ยังไม่สามารถพัฒนาเทคโนโลยีนิวเคลียร์ให้ทันสมัย พลังงานลมและพลังงานน้ำมีไม่เพียงพอแน่นอน ที่มีมากจริงๆ คือ พลังงานแสงอาทิตย์ เพียงแต่ว่าเครื่องมือเปลี่ยนพลังงานแสงอาทิตย์ อันได้แก่ เซลล์แสงอาทิตย์ ยังมีประสิทธิภาพต่ำเกินไป ต้องการพัฒนาให้สูงขึ้น

แหล่งพลังงานเชื้อเพลิงที่สำคัญสำหรับประเทศไทยในศตวรรษหน้าจะได้แก่ เชื้อเพลิงชีวมวล เพราะมีวัฏจักรการผลิตสันมาก มนุษย์สามารถผลิตและใช้ได้ทันในช่วงการดำเนินชีวิต รวมไปถึงปริมาณก็มีมากด้วย ประเทศไทยนับเป็นประเทศเกษตรกรรมที่สำคัญแห่งหนึ่งของโลก ประชาชนมากกว่าร้อยละ 50 ประกอบอาชีพเกษตรกรรม ผลผลิตได้ที่สำคัญนอกเหนือจากผลผลิตการเกษตรคือ วัสดุเหลือทิ้งทางการเกษตร เช่น ฟางข้าว แกลบ กาขอย กาใบ และทะลายปาล์ม เป็นต้น ปริมาณปริมาณชีวมวลที่ผลิตได้รวมทั้งประเทศ ในปี 2540/41 จะได้ปริมาณชีวมวลประมาณ 31.32 ล้านตัน หรือเทียบเท่ากับมันดิบ 8.49 ล้านตัน [1] ซึ่งมีการปล่อยทิ้งให้เน่าเปื่อยและปล่อยสลายตามธรรมชาติ เท่ากับว่าพลังงานเคมีที่สะสมอยู่ในตัวมันก็ต้องสูญไปโดยเปล่าประโยชน์ ทั้งๆ ที่ชีวมวล (Biomass) เป็นพลังงานหมุนเวียน ที่ไม่มีวันหมด เป็นพลังงานที่ยั่งยืน และเป็นแหล่งพลังงานเชื้อเพลิงที่มี ค่าความร้อน (Heating value) สูง ชีวมวลแต่ละชนิดมีค่าความร้อนที่แตกต่างกันออกไปและเป็นไออการ์บอนที่สะอาดและมีปริมาณมาก หากสามารถนำมายาดอย และเผาในห้องเผาใหม่ที่มีประสิทธิภาพสูง จะทำให้สามารถสกัดความร้อนจากชีวมวลเหล่านี้มาผ่านตัวเปลี่ยนพลังงาน (Energy converter) ที่เหมาะสมขึ้นได้แก่ เครื่องยนต์ต่างๆ ก็จะสามารถใช้ประโยชน์ความร้อนที่เกิดจากการเผาใหม่ชีวมวลในการผลิตกระแสไฟฟ้าเพื่อมาสนับสนุนให้อุปกรณ์ที่มีหลายแนวทางได้แก่

1. Direct Combustion system คือ การนำชีวมวลไปเผากับอากาศโดยตรงในห้องเผาไหม้ซึ่งจะได้พลังงานความร้อนออกมากเป็นปริมาณมาก ในท่ามกลางเปลวเพลิงที่กำลังเผาไหม้ หากมีเครื่องกำเนิดไอน้ำ (Boiler) ก็สามารถสกัดพลังงานเข้าสู่ก๊าซ (Gas) หรือวัฏจักรไอ (Vapor cycles) ได้
2. Anaerobic Digestion system คือ การนำชีวมวลไปหมักโดยผ่านกระบวนการอย่างสลายโดยแบคทีเรีย ทำให้ได้ก๊าซมีเทน คาร์บอนไดออกไซด์ และน้ำออกมา วิธีการนี้มีแบคทีเรียเป็นผู้เปลี่ยนปริมาณพลังงาน (Energy content) ของชีวมวลไปเป็นปริมาณพลังงานในก๊าซมีเทน โดยเมื่อเผาก๊าซมีเทน ก็จะได้พลังงานความร้อนไปใช้ประโยชน์ได้ แนวทางนี้จึงถือเป็นการสกัดและใช้ชีวมวลโดยทางข้อม
3. Gasification system คือ กระบวนการที่นำชีวมวลไปให้ความร้อนผ่านภาชนะปิด ทำให้ได้ก๊าซสังเคราะห์ (Synthesis gas) ออกมานอกจาก ก๊าซมีเทน ประมาณ 60-70% และก๊าซคาร์บอนไดออกไซด์ 30-40% โดยปริมาตร ซึ่ง ก๊าซสังเคราะห์นี้สามารถนำไปทำเป็นเชื้อเพลิงได้ วิธีนี้มีข้อเสียคือต้องใช้ความดันสูงในการผลิต [2]

จากแนวทางการสกัดพลังงานจากชีวมวลข้างต้นพบว่า แนวทางที่ 1 เป็นแนวทางการสกัดความร้อนที่ง่ายและตรงที่สุดเสียค่าใช้จ่ายในการติดตั้งอุปกรณ์น้อยที่สุดจึงเป็นที่สนใจอย่างแพร่หลาย แนวทางที่สองและสามล้วนเป็นแนวทางที่เป็นการสกัดความร้อนทางอ้อม ของการสกัดความร้อนจากเชื้อเพลิงชีวมวล ที่ต้องลงทุนสร้างอุปกรณ์ที่ซับซ้อนซึ่งมีต้นทุนสูงตามไปด้วย

สำหรับสภาวะการใช้และความขาดแคลนเชื้อเพลิงฟอสซิลของประเทศไทยในปัจจุบัน ผู้วิจัยมีความเห็นว่าเราไม่ทางเลือก 2 แนวทาง ได้แก่

1. ยังคงเลือกที่จะใช้เทคนิคที่ซับซ้อนและยุ่งยากในการพัฒนาเชื้อเพลิงเหลว เช่น ผลิตแอลกอฮอล์ทำก๊าซโซลาร์ หรือผลิตไบโอดีเซลล์ เป็นต้น เพื่อนำมาใช้กับเครื่องยนต์สันดาปภายใน (Internal combustion engines, ICE) อญ্ত่อไป ซึ่งทราบกันดีว่าต้องใช้เทคนิคและเครื่องมือที่ทันสมัย และต้นทุนสูงในการผลิต หรือ
2. เลือกใช้เชื้อเพลิงแข็งอย่างชีวมวลที่มีอยู่มากและราคาถูก แต่ต้องพัฒนาเครื่องยนต์เทอร์บินรีบันช์มาใช้ เนื่องจากเป็นไบโามีเดที่เครื่องยนต์สันดาปภายในจะเผาไหม้เชื้อเพลิงแข็ง

ผู้วิจัยผู้พัฒนาเครื่องยนต์ก๊าซเทอร์บินระบบปิดขนาดเล็กขึ้นมาใช้ตามชุมชนที่มีชีวมวลอย่างไดอย่างหนึ่งอย่างเพียงพอ เช่น ชุมชนชายทะเลประจำคิริขันธ์มีเปลี่ยนแปลงพืชพรรณมากก็เผาเปลือกมะพร้าวเป็นเชื้อเพลิง ชุมชนกาญจนบุรีมีต้นข้อมเป็นจำนวนมากก็เผาใบข้อม กារออกแบบห้องเผาไหม้เทอร์บินนี้เป็นระบบปิดจะทำให้ก๊าซร้อนที่หล่อผ่านเทอร์บินมีความสะอาดพอที่จะไม่ทำ

ให้ไปพัดเทอร์บีน์เสียหาย นอกจากนี้ยังสามารถนำก๊าซร้อนที่ผ่านก๊าซเทอร์บีนไปต้มน้ำปั่นกังหันไอน้ำต่อ (การต่อเชื่อมเครื่องยนต์กังหันก๊าซกับกังหันไอน้ำที่เรียกว่า “โรงงานพลังงานความร้อนร่วม”) ทำให้ประสิทธิภาพทางความร้อนในการเผาไหม์เชื้อเพลิงสูงขึ้น

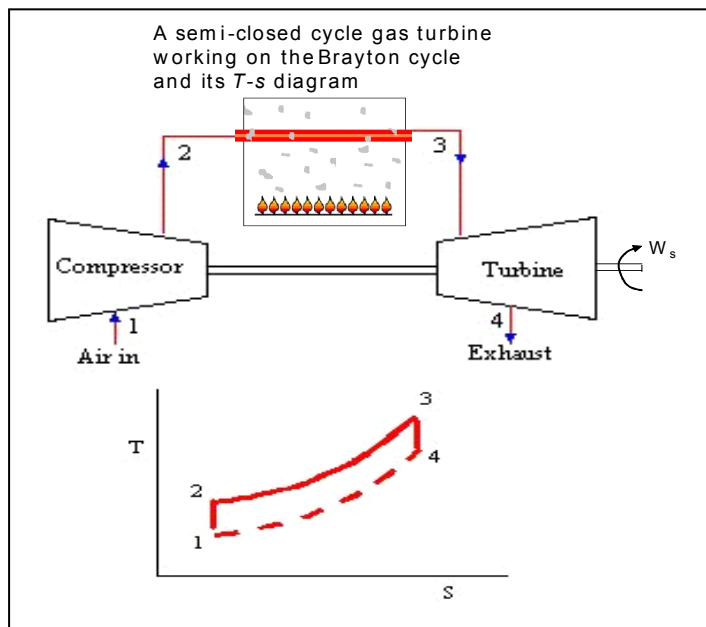
1.2 วัตถุประสงค์ของงานวิจัย

1. ต้องการนำเสนอให้นำชีวมวลมาใช้เป็นเชื้อเพลิงโดยผ่านเครื่องยนต์ก๊าซเทอร์บีนขนาดเล็ก เพื่อแก้ปัญหาขาดแคลนพลังงาน แทนที่การพัฒนาการผลิตเชื้อเพลิงเหลวทดแทนเพื่อมาใช้กับเครื่องยนต์สันดาปภายใน (Internal Combustion Engine, ICE)
2. ต้องการพัฒนาเครื่องยนต์ก๊าซเทอร์บีนแบบกึ่งปิดขนาดเล็ก ที่สามารถใช้เผาเชื้อเพลิงแข็งอย่างชีวมวล เป็นเชื้อเพลิง
3. ต้องการพัฒนาห้องเผาไหม์แบบแลกเปลี่ยนความร้อน (Heat Exchanger Furnace) และระบบป้อนเชื้อเพลิงเชื้อเพลิง ชีวมวลเข้าสู่ห้องเผาไหม์ที่มีประสิทธิภาพและก่อมลพิษต่ำ

1.3 แนวคิดงานวิจัย

เครื่องยนต์ก๊าซเทอร์บีนนั้นเป็นเครื่องยนต์ที่สามารถจะเผาไหม์ได้ทั้งเชื้อเพลิงที่เป็นลักษณะของ ก๊าซ เชื้อเพลิงเหลว และเชื้อเพลิงแข็ง โดยเครื่องยนต์ก๊าซเทอร์บีน ระบบวงจรปิด (Open cycle gas turbine) จะสามารถเผาไหม์ได้เฉพาะก๊าซและน้ำมัน หรือเชื้อเพลิงคุณภาพดี [3] เท่านั้น มิใช่น้ำน้ำก๊าซร้อนที่เกิดจากการเผาไหม์เชื้อเพลิงที่มีกำมะถันจะกดกร่อนสร้างความเสียหายต่อใบพัด [4-5] เพื่อให้การเผาไหม์เชื้อเพลิงแข็งอย่างชีวมวลเป็นไปได้สำหรับเครื่องยนต์ก๊าซเทอร์บีน จำเป็นต้องเลือกใช้เครื่องยนต์ก๊าซเทอร์บีนระบบวงจรปิด (Closed cycle gas turbine) ซึ่งต้องมีการออกแบบห้องเผาไหม์ที่เหมาะสมที่เรียกว่า Heat exchanger furnace [6-9] ภายในห้องเผาไหม์แบบนี้เชื้อเพลิงแข็งต้องถูกเผาและปล่อยความร้อนออกมานานั้นความร้อนจะถูกถ่ายเทผ่านผนังปิดเข้าสู่ระบบหมุนวนของสารทำงาน (Working fluid) ของเครื่องยนต์ก๊าซเทอร์บีน แบบนี้จะช่วยหลีกเลี่ยงไม่ให้ความสกปรกจากการเผาไหม์เชื้อเพลิงแข็งเข่น ชี้เถ้า (Fly ash) และอนุภาคต่างๆ (Particles) เข้าไปทำลายใบพัด (Blade) ภายในเครื่องยนต์ก๊าซเทอร์บีนได้ อย่างไรก็ตามผู้วิจัยเห็นว่าเครื่องยนต์ก๊าซเทอร์บีนระบบวงจรปิด (A semi-closed cycle gas turbine) นั้นเหมาะสมมากกว่าเครื่องยนต์ก๊าซเทอร์บีนระบบวงจรปิด เพราะไม่ต้องลงทุนสร้างตัวระบายน้ำความร้อน (Condenser) โดยหลังจากก๊าซร้อนขยายตัวผ่านเครื่องยนต์ก๊าซเทอร์บีนแล้วก็ปล่อยทิ้งสู่ภายนอก และดึงอากาศเย็นภายนอกเข้าสู่เครื่องอัดอากาศ สิ่งแวดล้อมภายนอกเสริมเป็นตัวระบายน้ำความร้อนไปในตัว รูปที่ 1.1 แสดงส่วนประกอบของเครื่องยนต์

ก๊าซเทอร์ไบน์ระบบจรวดแบบกึ่งปิดที่กำลังเผาไหม้เชื้อเพลิงชีวนะในห้องเผาไหม้โดยเครื่องยนต์นี้ กำลังขับเคลื่อนตาม วัฏจักรเบรย์ตัน (The Brayton cycle) ซึ่งแสดงบน T-s diagram จนได้เป็นงานเพลาออกมา



รูปที่ 1.1 แสดงส่วนประกอบของ A semi-closed cycle gas turbine engine และ The Brayton cycle ที่เครื่องยนต์กำลังประพุติตาม

ห้องเผาไหม้เชื้อเพลิงแข็งของเครื่องยนต์ก๊าซเทอร์ไบน์หรือที่เรียกว่า Heat exchanger furnace นั้นมีกลไกการถ่ายเทความร้อนจากก๊าซร้อน (Flue gas) เข้าสู่ห้องก๊าซเทอร์ไบน์ควบคู่ทั้ง 3 แบบ นั่นคือ 1. การนำความร้อน (Heat Conduction) 2. การพาความร้อน (Heat Convection) และ 3. การแผ่รังสีความร้อน (Heat Radiation) ห้องเผาไหม้ในลักษณะนี้นั้น ประกอบด้วยบริเวณห้องที่เกิดการเผาไหม้เชื้อเพลิงแข็งกับอากาศเรียกว่าห้องเผาไหม้ (Furnace) เหนือห้องเผาไหม้ขึ้นไปเป็นส่วนเครื่องแลกเปลี่ยนความร้อน (Heat exchanger) ความร้อนจากเชื้อเพลิงชีวนะจะเข้าถ่ายเทสู่สารทำงานของก๊าซเทอร์ไบน์ โดยการแผ่รังสีตรงๆ เป็นทางแรก ทางที่สอง คือก๊าซร้อน (Flue gas) จากการเผาไหม้นั้นจะนำความร้อนและพาความร้อนที่สะสมในตัวเข้าสู่สารทำงาน

โดยปกติประสิทธิภาพทางความร้อน (η_{th}) ของการเผาไหม้เชื้อเพลิงของเครื่องยนต์ก๊าซเทอร์ไบน์จะเพิ่มตามขนาดเครื่อง หมายความว่า เครื่องยิ่งมีขนาดใหญ่ประสิทธิภาพเชิงความร้อน ก็จะสูงตาม เช่น โรงไฟฟ้าน้ำ 600 MW ยอมจะมีประสิทธิภาพมากกว่าโรงไฟฟ้าน้ำ 400 MW แต่อย่างไรก็ตามผู้วิจัยเห็นว่า การเดินเครื่อง (Start up) หรือ หยุดเครื่อง (Shut down) เครื่องยนต์ขนาดใหญ่จะต้องใช้เวลาและต้นทุนมาก อよ่างเช่น โรงไฟฟ้าพลังงานความร้อนจากพลังงานไอน้ำ

นับตั้งแต่เริ่มเดินเครื่องจนกระแทกสามารถจ่ายไฟฟ้าได้ต้องใช้ระยะเวลาในการต้มน้ำนานหลายชั่วโมง การใช้เชื้อเพลิงบูรณาณสูงมาก เมื่อรวมทั้งค่าใช้จ่ายในการสร้างเครื่องกำจัดมลพิษทางอากาศ เพื่อมีให้มีผลกระทบต่อสิ่งแวดล้อมมีผลทำให้ค่าใช้จ่ายในการผลิตไฟฟ้าต่อหน่วยสูง [3] ผิดกับเครื่องขนาดเล็กที่ทำได้ง่าย รวดเร็ว ไม่เปลืองต้นทุนดำเนินการ

เครื่องยนต์เทอร์บอโน่สำหรับผลิตไฟฟ้าขนาดใหญ่ไม่สามารถหยุดเดินเครื่องประจำวันได้แม่ไม่มีผู้ใช้ไฟฟ้า หรือมีแต่น้อย การเดินเครื่องเพื่อปั่นไฟฟ้าจำต้องใช้เชื้อเพลิงส่วนหนึ่งเพื่อผลิตศักยภาพฟ้าค้างไว้รอผู้ใช้ เมื่อมีผู้มาใช้ไฟฟ้าก็จะเสียเชื้อเพลิงอีกส่วนหนึ่ง เพื่อการผลิตพาระแปรไฟฟ้าซึ่งก็คือ อิเล็กตรอน ดังนั้นเวลาที่ไม่มีผู้ใช้ไฟฟ้า แต่ก็หยุดเดินเครื่องไม่ได้ ต้นทุนที่เสียไปจะเป็นข้อเสียของระบบขนาดใหญ่ ในขณะที่เครื่องผลิตกระแสไฟฟ้าขนาดเล็กตามชุมชนสามารถเดินเครื่องหรือหยุดเครื่องได้อย่างสะดวกรวดเร็ว เมื่อตกลงกันใช้ไฟฟ้าได้ก็เดินเครื่องประจำวัน หากไม่มีผู้ใช้เวลาดึงกหดเดินเครื่อง ก็จะสามารถประยุกต์ต้นทุนในการเผาเชื้อเพลิงเพื่อสร้างศักยภาพฟ้าให้ค้างไว้ในสายได้

1.4 ขอบเขตของงานวิจัย

1. สร้างห้องเผาใหม่ที่สามารถเผาเชื้อเพลิงแข็ง
2. สร้างเครื่องยนต์ก๊าซเทอร์บอโน่ในแบบ Axial flow
3. ประกอบและทดสอบ ห้องเผาใหม่ และเครื่องยนต์ก๊าซเทอร์บอโน่

1.5 ขั้นตอนการดำเนินงานวิจัย

1. ออกแบบและสร้างต้นแบบก๊าซเทอร์บอโน่ขนาดเล็ก ที่มีรายละเอียดของส่วนที่เป็นใบพัดและเพรมของก๊าซเทอร์บอโน่ และส่วนที่เป็นห้องเผาใหม่ที่มีการถ่ายเทความร้อนแบบ Up fire
2. ทำการสร้างแก้วใบพัดและเพรมของก๊าซเทอร์บอโน่ ซึ่งก๊าซเทอร์บอโน่จะเป็นแบบไอลตามแกน (Axial flow)
3. ทำการประกอบและทดสอบทางอากาศพลศาสตร์ (Aerodynamic) ของตัวเทอร์บอโน่ที่สร้างขึ้นเพื่อหาอัตราการไหล (Mass flow rate) ของอากาศที่เหมาะสมต่อการไหลผ่านเพื่อนำไปคำนวณหาเครื่องอัดอากาศ (Compressor) ที่มีปริมาณการไหลของลมที่ต้องการ
4. สร้างห้องเผาใหม่ตามต้นแบบที่สร้างไว้ ซึ่งจะหุ้มด้วยอิฐมวลเบารอบนอก พื้นที่ออกแบบและสร้างส่วนบดอยและป้อนอัดเชื้อเพลิงชีวนิว เข้าสู่ห้องเผาใหม่

5. ทดสอบการเผาไหม่ของห้องเผาไหม่ พร้อมทั้งปรับปุ่งแก๊สให้ดีขึ้นก่อนประกอบเข้าไปกับส่วนอื่นๆ
6. ทำการคำนวณและจัดซื้อเครื่องอัดอากาศ ที่มีปริมาณการไหลของลมที่ต้องการ แล้วจึงประกอบทุกส่วนเข้าด้วยกัน
7. ทำการทดสอบเครื่องยนต์ก๊าซเทอร์บิน ที่สร้างเพื่อหางานที่ได้ (Work output) และประสิทธิภาพที่เป็นจริง

1.6 ผลที่คาดว่าจะได้รับ

1. ได้เครื่องยนต์ก๊าซเทอร์บินขนาดเล็กที่มี Output ประมาณ 500 Watt ที่สามารถเดินเครื่องได้ด้วยการเผาไหม่เชือเพลิงแข็ง เช่น เชือเพลิงแข็ง
2. มีเชือเพลิงแข็งเป็นทางเลือกใหม่ที่ดันทุนถูกกว่ามาก กล่าวคือ ไม่ใช่พัฒนาเชือเพลิงเหลว แต่ก่อข้อล้อจากการกลั่นผลรวมชาติแต่เพียงอย่างเดียว (ซึ่งดันทุนสูงมาก)
3. สามารถใช้เครื่องยนต์ก๊าซเทอร์บินนี้ขับปั๊ม (Pump) และเครื่องปั๊วไฟ (Generator) สำหรับครัวเรือน
4. การออกแบบเครื่องป้อนเชือเพลิงและห้องเผาไหม่อย่างดีจะช่วยขัดมลดพิษได้ ทั้งนี้ เชือเพลิงชีมวลไม่มีกำมะถันปนเปื้อน ดังเช่น ก๊าซธรรมชาติ น้ำมันดิบ และถ่านหิน อยู่แล้ว จึงไม่ต้องกังวลเรื่องการปล่อย SO_x

บทที่ 2

ทฤษฎีการออกแบบและงานวิจัยที่เกี่ยวข้อง

2.1 ทฤษฎีในการคำนวณการสร้างห้องเผาไหม้ [10]

การคำนวณการถ่ายเทความร้อนจากการแผ่รังสี (Radiant-heat-transfer) ได้ถูกนำมาศึกษาและประยุกต์ใช้ในการออกแบบหม้อต้มไอน้ำในการผลิตไฟฟ้า (Steam-generating boiler) และห้องเผาไหม้หอกลั่นปิโตรเลียม (Petroleum refinery furnace) คริ่งหนึ่งของทฤษฎีสามารถนำไปใช้งานได้จริง บางครั้งตัวทฤษฎีถูกนำไปปรับปูรุ่งใหม่ เพื่อให้เหมาะสมกับการใช้งานในการถ่ายเทความร้อนจากการแผ่รังสีแบบอื่นๆ เช่น ในเตาเผาอิฐ, เตาอบ, เตาอบเพื่อบาบัดโลหะด้วยความร้อน (Heat-treating) และเตาเผาเพื่อเกิดปฏิกิริยาเคมี (Chemical furnace) ฯลฯ

จุดประสงค์หลักของงานวิจัยคือ เพื่อที่จะแสดงการคำนวณที่เกี่ยวกับส่วนของเตาที่มีการแผ่รังสีความร้อน (Furnace radiant section) ข้อมูลที่จำเป็นต้องใช้ ตัวอย่างและการประยุกต์ใช้งาน ข้อจำกัด รวมถึง boiler และ oil heaters ที่ใช้กันอยู่ในปัจจุบัน ความสำคัญของการคำนวณ พลังการแผ่รังสีความร้อน (radiant heat transfer flux) ในกรณีนำไปออกแบบ furnace มีดังนี้
หลายตัวที่มีความเกี่ยวข้อง เช่น flux ที่พอยอมรับได้ เมื่อมีการนำไปใช้งานที่สภาวะที่แตกต่างกัน, ขอบเขต และธรรมชาติของห้องท่อในตัวหม้อต้ม (boiler tube) ที่มีผลต่อประสิทธิภาพที่ได้ รวมไปถึง ข้อควรระวังไม่ให้มี coke เกิดขึ้น ในส่วนของเตาต้มน้ำมัน (oil heating furnace) หรือเตาระเหย้น้ำมัน (vaporizing furnace) ที่พบว่าหากเกิดขึ้นแล้วจะมีผลโดยตรงต่อการออกแบบเตาเผาน้ำมันสำหรับการกลั่น (refinery furnace) ซึ่งจะทำให้ประสิทธิภาพลดลง

แฟกเตอร์ของการถ่ายเทความร้อนจากการแผ่รังสี (Radiant-heat-transfer Factors) [10]

สมการทั่วไปสำหรับการถ่ายเทความร้อนโดยการแผ่รังสีที่กำลังเกิดในเตาเผาไหม้ (Furnace) สามารถแสดงได้ดังต่อไปนี้

$$\begin{aligned} Q &= F_A F_\varepsilon A \sigma (T_1^4 - T_2^4) \\ &= \Im A' \sigma (T_1^4 - T_2^4) \end{aligned} \quad (2.1)$$

เมื่อ Q = การถ่ายเทความร้อนโดยการแผ่รังสีต่อ A' , Btu/hr

T_1 = อุณหภูมิแหล่งกำเนิดความร้อน, °R

T_2 = อุณหภูมิแหล่งรับความร้อน, °R

\mathfrak{J} = factor to allow both the geometry of the system and the non-black emissivities of the hot and cold bodies, dimensionless

A' = พื้นผิวถ่ายเทของแหล่งรับความร้อน (Sink) หรือวัตถุเย็น (Cold body), ft^2

σ = ค่าคงที่ของ Stefan-Boltzmann, $0.173 \times 10^{-8} \text{ Btu}/(\text{hr})(\text{ft}^2)(\text{°R}^4)$

การประยุกต์ใช้สมการ เช่นสมการที่ (2.1) นั้นก็เพื่อใช้แก้ปัญหาทางด้านวิศวกรรม ในทางปฏิบัติจำเป็นต้องอาศัยสมมติฐานต่างๆ (Assumptions) และอาศัยการทำให้สภาวะที่ซับซ้อนต่างๆ นี้ทำได้ง่ายขึ้น (Simplifications)

โดยทั่วไปนั้นเตาเผาใหม่ในที่นี้ (กำลังเนินไปที่ห้องเผาใหม่ของเครื่องยนต์เทอร์โบนีน) จะประกอบด้วย 3 ส่วนประกอบหลัก คือ 1.แหล่งปล่อยความร้อน (Heat source) ได้แก่ เปลาเพลิง ก๊าซร้อนที่เกิดจากเชื้อเพลิงกำลังถูกเผาใหม่ 2.แหล่งรับความร้อน (Heat receiver หรือ Sink) ได้แก่ สารรับความร้อนที่เหล่านั้นตัวเตา สารทำงาน (Working medium) ของระบบเทอร์โบนีน และ 3.ผิวปิดรอบนอกตัวรับความร้อน (Enclosing surfaces) ได้แก่ ผนังอิฐที่หุ้มรอบเตาซึ่งเป็นแหล่งรับความร้อนแหล่งหนึ่งด้วยเช่นกัน

แหล่งปล่อยความร้อน (Heat Source) [10]

ในเบื้องต้นความร้อนที่เกิดขึ้นในเตาเผาใหม่ได้มาจากสองทาง ได้แก่ ความร้อนที่เกิดจากปฏิกิริยาการเผาใหม่และความร้อนสัมผัส (Sensible heat) ที่พาเข้ามาโดยอากาศเพื่อการเผาใหม่ถ้าอากาศนั้นได้รับการอุ่นก่อนเข้าสู่เตาเผาใหม่ โดยปกติแล้วการเผาใหม่เชื้อเพลิงก๊าซจะให้เปลาเพลิงที่ไม่สว่าง (Nonluminous flames) แต่การเผาใหม่เชื้อเพลิงน้ำมันจะให้เปลาเพลิงที่มีระดับความสว่าง (Degree of luminosity) หลายระดับขึ้นอยู่กับ การออกแบบหัวพ่นไฟ (Burner) การฉีดละอองน้ำมัน และเบอร์เช็นต์อากาศเกินพอที่ใช้ ส่วนการเผาใหม่เชื้อเพลิงแข็งนั้น หัวพ่นไฟสำหรับพ่นผงถ่านหินบดละเอียด (Pulverized coal) จะผลิตเปลาเพลิงที่ประกอบด้วยอนุภาคกำลังลูกแดง (Incandescent solid particles) ซึ่งมีระดับความสว่างเหนือกว่าความสว่างต่ำสุดที่ได้จากการเผาใหม่ของการเผาเชื้อเพลิงน้ำมัน การเผาฟืน (Stoker firing) ในเตาจะให้กองเชื้อเพลิงที่กำลังลูกแดง (Incandescent fuel bed) เช่นกัน

ความแตกต่างของคุณลักษณะ (Characteristics) ของเปลาเพลิง หรือแบบแสดงระดับความร้อน (Heat patterns) ที่เกิดขึ้นในการเผาเชื้อเพลิงทั่วไปนั้น เป็นผลให้เกิดการพัฒนาวิธีการคำนวณการส่งผ่านความร้อนด้วยการแผ่วรังสี ซึ่งสามารถประยุกต์ใช้ในทางหนึ่งกับเตาเผาให้ความร้อนของโรงกลั่น (Refinery furnaces) ทั้งที่ใช้ก๊าซและน้ำมันเป็นเชื้อเพลิง และในอีกด้านหนึ่งกับเตาเผาที่ใช้ถ่านหินเป็นเชื้อเพลิง (เป็นฟืนหรือผงบดละเอียด) ยังไม่มีวิธีการคำนวณการดูดความ

ร้อนที่เกิดจากการเผาไหม้ที่สามารถประยุกต์ใช้ได้อย่างทั่วไปกับเตาทุกประเภท ดังนั้นในเบื้องต้นนี้ การคำนวณต้องทำให้เกิดความแตกต่างระหว่างเตาเผาไหม้ที่เผาด้วยเชื้อเพลิงก๊าซและน้ำมัน กับที่เผาด้วยเชื้อเพลิงแข็ง ซึ่งถ้ากล่าวว่า วิธีคำนวณการคูดความร้อนในการออกแบบเตาเผาไหม้ ของโรงกลั่น (Refinery furnace) มีความก้าวหน้ากว่า ของงานหม้อต้มไอน้ำ (Boiler) ด้านหนึ่งนั้น ขั้นเนื่องมาจากความซับซ้อนที่มากกว่าของแหล่งปล่อยและแหล่งรับความร้อน (Heat sources and Sinks) วิธีคำนวณการส่งผ่านความร้อนโดยการแพร่รังสีในเตาเผาไหม้ที่กำลังเผาเชื้อเพลิงแข็ง อย่างเช่นถ่านหิน ต้องอาศัยข้อมูลที่ได้จากการทดลอง หรือจากประสบการณ์จริง

เปลวเพลิงที่ไม่สว่าง (Nonluminous Flame) [10]

ถ้าพิจารณาให้ดีจะพบว่า การเผาเชื้อเพลิงก๊าซภายในเตาเผาไหม้เตานึงจะผลิตเปลวเพลิงที่ไม่สว่าง (Nonluminous flames) และเมื่อพิจารณามากกว่านั้นจะพบว่าเส้นทางการเดินของผลผลิตจากการเผาไหม้ (Combustion products) ผ่านทะลุเตาเผาไหม้หนึ่งๆ นั้นสันมาก เมื่อเทียบกับขนาดของระบบที่ตั้งหากับเส้นทางการเดินของก๊าซในเตาเผา เช่นนั้น (หมายถึงมีการติดตั้งหัวพ่นไฟขนาดเล็กหลายๆ อันเข้ากับตัวเตา) อาจพิจารณาได้ว่าจะเกิดความผันแปรของอุณหภูมิก๊าซแบบจุดต่อจุดขึ้นเล็กน้อยภายใต้แรงดันภายในเตาเผาหรือไม่เกิดเลย ไม่มีเปลวเพลิงที่มีความสว่างที่จะแพร่รังสีไปยังท้องต่างๆ หรือวัสดุที่ไฟ แหล่งป्र้อมภูมิของการแพร่รังสีมีเพียงแหล่งเดียวเท่านั้น คือตัวของผลผลิตจากการเผาไหม้ (Combustion products) เอง และแหล่งนี้ถูกสมมติว่ามีอุณหภูมิสูงมาก มีความแตกต่างอย่างมากของค่าการปล่อยรังสี (Emissitivity) ของก๊าซต่างๆ ที่มีคุณสมบัติเช่นกัน ก๊าซโมเลกุลอะตอมคู่ อย่างเช่น O_2 , N_2 และ H_2 จะมีค่าความสามารถในการปล่อยรังสีที่ต่ำมาก จนกระทั่งถูกพิจารณาว่าเท่ากับศูนย์ในงานออกแบบเตาเผา หรือกล่าวอีกอย่างหนึ่งก๊าซ H_2O , CO_2 และ SO_2 จะให้ค่าความสามารถในการปล่อยรังสีที่ดี (แม้ว่าจะแยกว่าของแข็งเกือบทุกชนิดมากก็ตาม) และ CO มีความสามารถในการปล่อยรังสีที่ดีพอใช้ แหล่ง (Sources) ของการแพร่รังสีอาจจะถูกอ้างถึงเป็นการเฉพาะไปที่องค์ประกอบตัวต่างๆ ที่กำลังแผ่รังสี ในก๊าซผลผลิตที่เกิดจากปฏิกิริยาการเผาไหม้อย่างธรรมชาติ ก็มี H_2O และ CO_2 เท่านั้นที่ถูกพิจารณาว่าเป็นตัวแพร่รังสี เนื่องจากมีซัลเฟอร์ (Sulfur) อยู่ในปริมาณที่น้อยมากในเชื้อเพลิงเกือบทุกชนิดจึงตัดทิ้ง และโดยปกติแล้วการเผาไหม้ในเตาเผาจะใช้ปริมาณอากาศเกินพอเพื่อกำจัด CO

การแพร่รังสีรวม (Total radiation) ของโมเลกุลของมวลก๊าซที่บรรจุ H_2O และ CO_2 อยู่จะขึ้นอยู่กับอุณหภูมิและจำนวนของโมเลกุลที่กำลังแผ่รังสีที่มีอยู่ ดังนั้นปริมาตรก๊าซและความเข้มข้นของโมเลกุลที่กำลังแพร่รังสีต่อหน่วยปริมาตรจะเป็นตัววัดการแพร่รังสี ณ อุณหภูมิที่ให้ใน

ความเป็นจริงอุปร่างทางเรขาคณิตของมวลก๊าซต้องถูกพิจารณาด้วย เนื่องจากแฟกเตอร์มูนแพรังสี (Angle factor) ในโมเดลกุลมีความเกี่ยวข้องในการแพรังสี

ความยาวลำแสงเฉลี่ย (Mean beam length) L (ft) คือ ค่าความลึกเฉลี่ยของช่องว่างในเตาเผาให้มี ที่ปักคุณด้วยก๊าซที่เกิดจากการเผาไหม้ (Flue gas) ซึ่งเฉลี่ยจากแต่ละจุดบนผิว ลักษณะของเตาเผาใหม่ในทุกๆ ทิศทางและค่า ϵ จะใช้บวกปริมาตรเป็นเชิงลูกบาศก์แทนปริมาตรของ อุปร่างจริง ความเข้มข้นของโมเดลกุลต่างๆ ที่กำลังแพรังสีถูกวัดค่าโดย Partial pressure ของก๊าซ ทั้งหลายในเตาเผาใหม่ ค่าความสามารถปล่อยรังสี (Emissivity) ของมวลก๊าซ (Gas mass) ในห้องเผาใหม่เป็นพงก์ชั้นของค่าผลคูณ ρL (atm.ft) เมื่อ ρ เป็นค่า Partial pressure ของก๊าซตัวที่กำลังปล่อยรังสี (ซึ่งได้แก่ ไนโตรเจน H₂O และ CO₂) การมีองค์ประกอบก๊าซที่สามารถปล่อยรังสีมากกว่านหนึ่งตัว เช่นนี้ ค่าการปล่อยรังสีต้องเป็นเชิงผลบวกและต้องมีการแก้ค่าเล็กน้อยสำหรับการ รบกวนระหว่างกันของโมเดลกุลตัวหนึ่งจากโมเดลกุลตัวอื่นๆ ในการคำนวณค่าการปล่อยรังสีของ มวลก๊าซ ต้องทำการเพื่อคุณภาพทั้งของแหล่งความร้อน (Source) และแหล่งรับความร้อน (Sink) สำหรับการถ่ายเทความร้อนไปยังวัตถุดำ (Black body) เราอาจจะใช้สมการ

$$Q_b = 0.173 F_{bA} \left[\epsilon_G \left(\frac{T_G}{100} \right)^4 - a_G \left(\frac{T_b}{100} \right)^4 \right] A'_b \quad (2.2)$$

เมื่อ Q_b = อัตราการส่งผ่านความร้อนไปยังวัตถุดำ โดยการแพรังสีจากก๊าซ (Btu/hr)

A'_b = ผิวที่รับการส่งผ่านความร้อนอย่างมีประสิทธิผลของวัตถุดำ (ft²)

a_G = ความสามารถในการดูดกลืนรังสี (Absorptivity) ของก๊าซที่คุณภาพ T_b (ไม่มีหน่วย)

F_{bA} = แฟกเตอร์อันเนื่องมาจากการอุณหภูมิทั้งของแหล่งปล่อยและแหล่งรับการแพรังสีที่รับการแพร รังสีซึ่งกันและกันโดยไม่บดบัง (ไม่มีหน่วย)

T_G = อุณหภูมิของก๊าซ (แหล่งแพรังสี) (°R)

T_b = อุณหภูมิของวัตถุดำซึ่งเป็น (แหล่งรับรังสี) (°R)

ϵ_G = ค่าการปล่อยรังสีของก๊าซที่คุณภาพ T_G (ไม่มีหน่วย)

ในทางปฏิบัติเราสามารถแทนค่า a_G ด้วยค่า ϵ_G ที่ถูกประเมินค่าที่คุณภาพ T_b ได้ เมื่อ องค์ประกอบก๊าซที่กำลังแพรังสีมีอยู่ 2 ตัว ได้แก่ H₂O กับ CO₂ เราสามารถเขียนสมการ พลักช์การ ส่งผ่านความร้อน (2.2) ใหม่ (ตัดแฟกเตอร์สำหรับแก้ค่า (Correction factor) การรบกวนระหว่าง กันของโมเดลกุลที่ไม่เหมือนกันทั้งไม่ต้องนำมายัง) คือ

$$Q_b = 0.173 \mathfrak{J}_b \left[(\epsilon_C + \epsilon_W)_{T_G} \left(\frac{T_G}{100} \right)^4 - (\epsilon_C + \epsilon_W)_{T_b} \left(\frac{T_b}{100} \right)^4 \right] A'_b \quad (2.3)$$

$$\begin{aligned}
 \text{โดยที่ } (\varepsilon_C + \varepsilon_W)_{T_G} &= \text{ค่าการปล่อยรังสีของก๊าซที่อุณหภูมิ } T_G \\
 \varepsilon_C &= \text{ค่าการปล่อยรังสีของ CO}_2 \text{ ที่ } p_{CO_2} \cdot L \text{ และ } T_G \\
 \varepsilon_W &= \text{ค่าการปล่อยรังสีของ H}_2O \text{ ที่ } p_{H_2O} \cdot L \text{ และ } T_G \\
 (\varepsilon_C + \varepsilon_W)_{T_b} &= \text{ค่าการปล่อยรังสีที่อุณหภูมิ } T_b \text{ (ใช้แทนที่ค่า Absorptivity)} \\
 \varepsilon_C &= \text{ค่าการปล่อยรังสีของ CO}_2 \text{ ที่ } p_{CO_2} \cdot L \text{ และ } T_b \\
 \varepsilon_W &= \text{ค่าการปล่อยรังสีของ H}_2O \text{ ที่ } p_{H_2O} \cdot L \text{ และ } T_b
 \end{aligned}$$

นอกเหนือจากการที่ใส่แฟกเตอร์แก้ค่าเพื่อปรับแก้การรับกวนระหว่างกันของโมเลกุลแล้ว Egbert ยังพบว่าค่าปลดปล่อยรังสีของไอน้ำเป็นฟังก์ชันของค่า partial pressure ของก๊าซ Hottel [11] ได้หากค่า L สำหรับเตาเผาที่มีรูปทรงเรขาคณิตต่างๆ และแสดงบางส่วนของค่าเหล่านั้นสำหรับงานเตาเผาในตารางที่ 2.1

ตารางที่ 2.1 ความยาวลำแสงเฉลี่ย (Mean Length) ของลำแสง (Radiant Beams) ในปริมาตร ก๊าซที่มีรูปร่างต่างๆ ตามเตา [10]

Dimensional Ratio (ยาวกว้างสูง)	Mean length L (ft)
Rectangular Furnaces :	
1. 1-1-1 to 1-1-3 1-2-1 to 1-2-4	$(2/3)\sqrt[3]{\text{Furnace Volume, ft}^3}$
2. 1-1-4 to 1-1-∞	1.0 x smallest dimension
3. 1-2-5 to 1-2-8	1.3 x smallest dimension
4. 1-3-3 to 1-∞-∞	1.8 x smallest dimension
Cylindrical Furnaces :	
5. $d \times d$	$(2/3) \times \text{diameter}$
6. $d \times 2d$ to $d \times \infty d$	$1 \times \text{diameter}$
Tube Banks :	
7. เมื่อ ∞ ใน convection sections	$L \text{ (ft)} = 0.4P_T - 0.567OD, \text{ in.}$

ในงานออกแบบเตาเผาใหม่ทางอุตสาหกรรม เทอมอัตรา (Rate) ถูกใช้อย่างพื้องกับ เทอมฟลักซ์ (Flux) และไม่มีพิจารณาสมบัลสิทธิ์ฟิล์ม (Film coefficients) เป็นแต่ละราย คง

สະດາກຄ້າຈະມືຂາວົດ (Charts) ປຶ້ງໃຫ້ຄ່າຟລັກໜີກາຣແຜຮງສີຄວາມຮ້ອນ q_c ແລະ q_w ທີ່ເປັນພິ່ງກົ່ນຂອງ pL ແລະ T ປຶ້ງໄດ້ແກ່

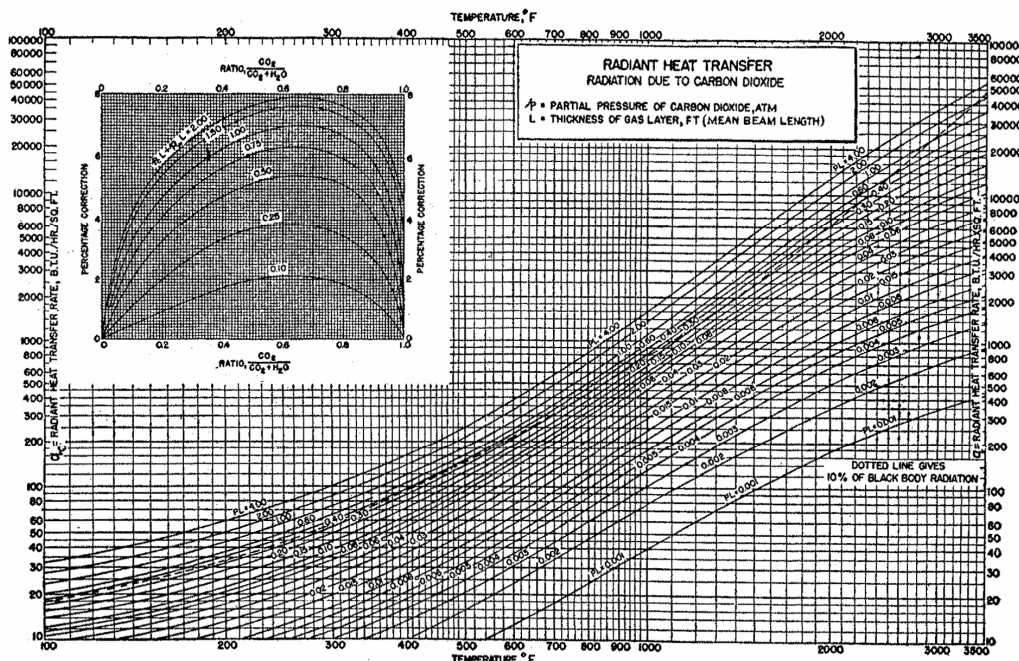
$$q_c = 0.173 \varepsilon_c \left(\frac{T}{100} \right)^4 \text{ ທີ່ } p_{CO_2} \cdot L \text{ ແລະ } T$$

$$q_w = 0.173 \varepsilon_w \left(\frac{T}{100} \right)^4 \text{ ທີ່ } p_{H_2O} \cdot L \text{ ແລະ } T$$

$$q_b = 0.173 \varepsilon_b \left(\frac{T}{100} \right)^4 \text{ ແລະ } \varepsilon_b = 0$$

ໝາຍົດແຫລ້ນີ້ຖຸກແສດງໄວ້ໃນຮູບທີ 2.1 ແລະ 2.2 ໂດຍໃຊ້ຂໍ້ອຸນດຸຂອງ Hottel ແລະ Egbert [10] ກາຣແກ້ຄ່າກາຣວັບກວນຮະ່ວງກັນຂອງໂມເລກຸດຖຸກກຳໜັດໄວ້ໃນໝາຍົດໃນຮູບເປົວເຕີນຕົ້ນ ແລະ ດ່າວກາປ່າຍອຍຮັງສີທີ່ຖຸກແກ້ແລ້ວ ມີຄ່າເທົກກັບ

$$\varepsilon_G = \left[\frac{(q_c + q_w)_{T_G} - (q_c + q_w)_{T_S}}{(q_b)_{T_G} - (q_b)_{T_S}} \right] \frac{100 - \%}{100} \quad (2.4)$$

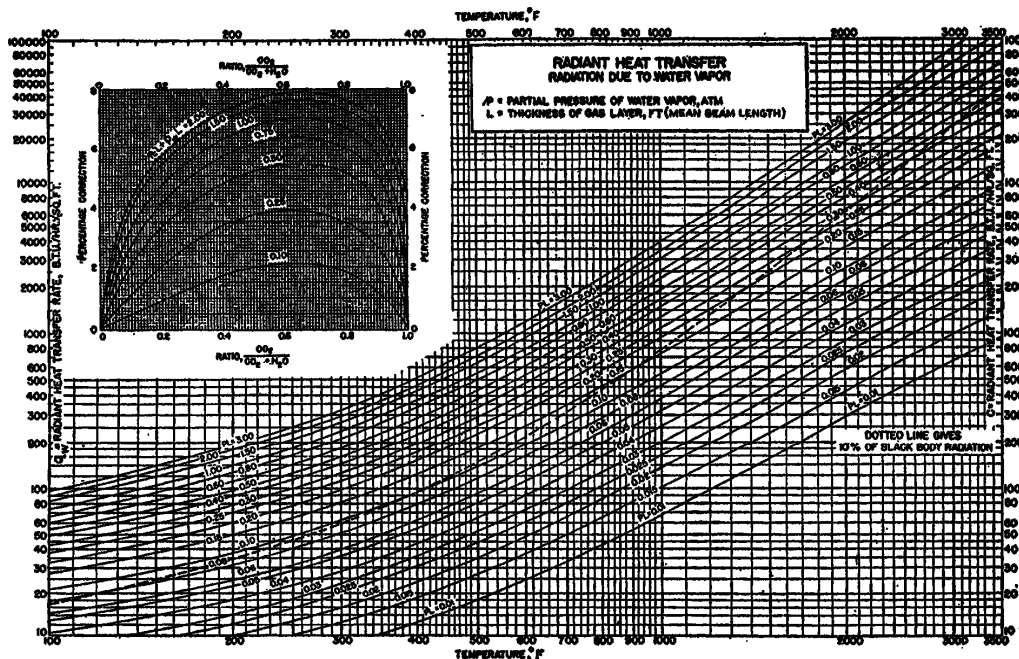


ຮູບທີ 2.1 ກາຣແຜຮງສີເນື່ອງຈາກຄ້າບອນໄດ້ອາກໄໝ໌ [10]

ໃນກຣນີ້ຂອງກາຣຄ່າຍເທຄວາມຮ້ອນດ້ວຍກາຣແຜຮງສີຈາກກົ້າສູ່ວັດຖຸດໍາລາຍກຣນີ ໄນມີຄວາມ ຂັບຂໍ້ອນທີ່ເກີດຈາກກາຣໃສ່ແຟກເຕອງມູນແຜຮງສີເຂົ້າມາ ດັ່ງນັ້ນສາມາດຄຳນວນອັຕຽກາຣຄ່າຍເທຄວາມ ຮ້ອນທີ່ອອກຈາກແລ່ລົງປ່າຍອຍຮັງສີ ໄດ້ຈ່າຍໆ ຈາກ

$$q = \frac{Q}{A} = \varepsilon_s \left[(q_c + q_w)_{T_g} - (q_c + q_w)_{T_s} \right] \frac{100 - \%}{100} \quad (2.5)$$

โดยที่ตัวห้อย S หมายถึง ผิวเย็นที่เป็นตัวดูดความร้อน และ ε_s เป็นการปล่อยรังสีของผิวเย็นตัวนี้ การปล่อยความร้อนจากแหล่งปล่อยเช่นนี้จะเหมาะสมมากกับกรณีการปล่อยความร้อนสู่กลุ่มท่อ (Tube bundles ซึ่งหมายถึงท่ออยู่ใกล้ๆ กันเป็นกลุ่ม) ในส่วนการพากความร้อน (Convection sections) ของเตาเผาใหม่ที่การแพร่องสีความร้อนมีความสำคัญอย่างมากในบริเวณนี้ ในการนีพิเศษเช่นนี้ท่อต่างๆ ในกลุ่มจะถูกห่อหุ้มด้วยก้าชร้อน จึงไม่มีความจำเป็นต้องใช้แฟกเตอร์มุ่งแพร่องสี ผิวที่ถูกใช้จะเป็นพื้นที่ผิวรอบห่อ สำหรับกรณีของห่ออยู่กันเป็นแถวหลายๆ แถว (Tube banks) จะมีการแพร่องสีความร้อนเพิ่มเติมจากผนังอุปทานไฟด้านข้างด้วย ซึ่งจะต้องรวมเข้าไปกับค่าอัตราการถ่ายเทความร้อน (Heat rate) หรือ พลักซ์ (Flux) เฉลี่ย



รูปที่ 2.2 การแพร่องสีเนื่องจาก之内 [10]

ข้อสรุปบางประการน่าจะถูกดึงจากการขึ้นกับ pL ของการปล่อยรังสีของก้าช (Gas emissivity) สำหรับเตาเผาใหม่แบบต่างๆ ที่มีสัดส่วนทางกายภาพเหมือนกันแต่มีขนาดที่แตกต่างกัน เราอาจคาดได้ว่าเตาเผาใหม่ที่มีขนาดใหญ่กว่าจะให้อัตราการถ่ายเทความร้อน ณ อุณหภูมิก้าชหนึ่งๆ มากกว่า เนื่องจากมีค่า L ที่มากกว่า ผลกระทบของการเพิ่มอากาศเกินพอนการเผาใหม่ คือจะไปลดค่า Partial pressure ของก้าชตัวที่ปล่อยรังสี คือลดค่า p ทำให้ค่าการปล่อยรังสีลดลง และดังนั้นจะไปลดอัตราการแพร่องสีที่อุณหภูมิก้าชที่ให้ลงด้วย ผลกระทบของการเพิ่มอากาศส่วนเกิน (Excess air) มีไม่มากนัก และประสบการณ์ในเตาเผาต่างๆ ของโรงกลั่นน้ำมัน จึงบอก

ให้ทราบว่าไม่ควรจะปฏิบัติการภายในตัวสภาวะ optimum เพราะจะต้องใช้ปริมาณอากาศเกินพออย่างไม่มีกำหนด ตามปกติแล้วสภาวะการเผาไฟมักในเตาเผาใหม่ของหม้อต้มไอน้ำจะถูกควบคุมได้อย่างรวดเร็วกว่าในเตาเผาใหม่ของโรงกลั่นน้ำมัน ทั้งนี้ เพราะในโรงงานที่มีหม้อต้มไอน้ำค่าที่ใช้เชื้อเพลิงมากกว่าในโรงงานต้มน้ำมันของโรงกลั่น จึงควบคุมการถ่ายเทความร้อนโดยควบคุมการลดการจ่ายเชื้อเพลิงแทนการเติมอากาศเกินพอ

การแพร่รังสีจากเปลวเพลิงเผาไหม้ของผงถ่านหิน (Radiation from Clouds of Particles) [11]

การปฏิบัติต่อการแผ่รังสีจากเปลวเพลิงไฟให้มีผงถ่านหิน อนุภาคผงภาายใต้เปลวเพลิง และจากเปลวเพลิงที่ถูกทำให้สว่างโดยการสลายตัวทางความร้อนของสารไฮโดรคาร์บอนต่างๆ ไปเป็นเชม่า เกี่ยวข้องกับการแผ่รังสีจากอนุภาคเปลวเพลิงจากการเผาให้มีผงถ่านหินบรรจุไปด้วยอนุภาคต่างๆ ที่กำลังมีขนาดผันแปรจาก 0.01 ถึง 0.1 นิ้ว ซึ่งมีขนาดเฉลี่ยประมาณ 0.001 นิ้ว และองค์ประกอบที่กำลังผันแปรจากเปอร์เซ็นต์คาร์บอนสูงไปจนน้อยที่สุด คือเกือบเป็นเถ้า (Ash) บริสุทธิ์ อนุภาคที่แขวนลอยในเปลวเพลิงก้าชที่มีความสว่างมีจุดกำเนิดของ การสลายตัวทางความร้อนของสารไฮโดรคาร์บอนในเปลวเพลิงที่เนื่องจากการผสมที่ไม่สมบูรณ์ กับอากาศก่อนถูกทำให้ร้อน ซึ่งอนุภาคแขวนลอยนี้ประกอบด้วยคาร์บอนและไฮโดรคาร์บอนหนักมาก โดยมีขนาดอนุภาคตั้งต้นประมาณ 0.000012 นิ้ว อนุภาคผงถ่านหินบดเหล่านี้ใหญ่อย่าง เพียงพอที่จะทึบแสงต่อการแผ่รังสีที่ตกกระทบ ในขณะที่อนุภาคต่างๆ ในเปลวเพลิงที่มีความสว่าง (Luminous flame ที่กำลังกล่าวถึงในหัวข้อต่อไปหมายถึงเปลวไฟ (Flame) ที่มีเชม่า (Soot) ทำให้สว่าง มิใช่เปลวเพลิงที่ไม่มีอนุภาคใดเลย) มีขนาดเล็กเพื่อการทำตัวเหมือนเป็นวัตถุกึ่งโปร่งใส (Semitransparent bodies) เมื่อกล่าวถึงการแผ่รังสีของคลื่นที่มีความยาวคลื่นยาวหรือของความร้อน ความแตกต่างเรื่องความโปร่งใสของอนุภาคแต่ละรายนี้จะช่วยเป็นเหตุผลให้กับการปฏิบัติแบบแยกต่อชนิดเปลวเพลิง 2 ชนิดนี้

เปลวเพลิงที่มีความสว่าง (Luminous Flame) [11]

การคำนวณเกี่ยวกับการแพร่งสีจากเปลวเพลิงที่มีความสว่าง (Luminous flame) ต้องการข้อมูลที่ได้จากการทดลองจริงหรือจากประสบการณ์ของผู้เชี่ยวชาญ มีวิธีการแก้ปัญหาของการพัฒนาวิธีที่เหมาะสมอันหนึ่งสำหรับทำนายค่าการแพร่งสีที่ถูกคิดการณ์จากเปลวเพลิงที่มีความสว่างอยู่ 2 วิธี คือ วิธีแรกเป็นการร่วบรวมข้อมูลเกี่ยวกับเปลวเพลิงจริง (Actual flames) ภายใต้สภาวะต่างๆ ที่กำลังผันแปร ได้แก่ การให้อากาศ (Aeration) องค์ประกอบของก๊าซเชื้อเพลิง (Fuel-gas composition) ปริมาตรเปลวเพลิง (Flame volume) และอื่นๆ และต้องใช้ข้อมูลเหล่านี้เป็นฐานสำหรับการคำนวณต่างๆ แต่ข้อมูลติพมพ์ของเรื่องประเภทนี้ (ซึ่งตามปกติประกอบไปด้วย

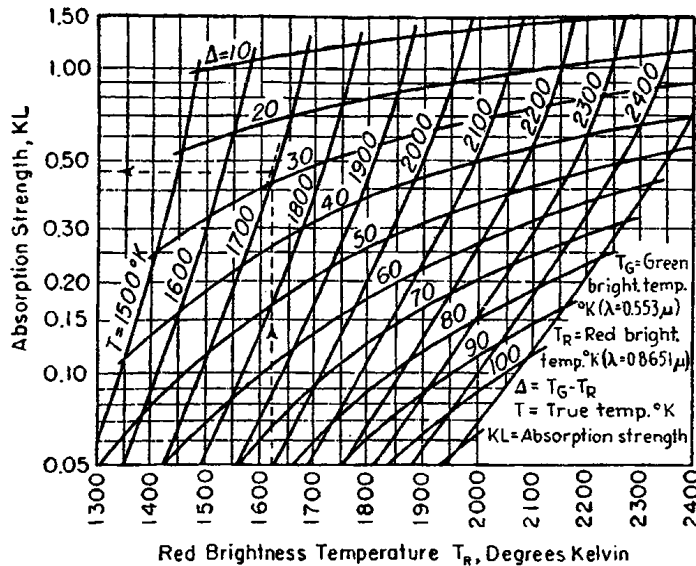
การวัดการแพร่รังสีทั้งหมดจากเปลวเพลิงขนาดเล็กในห้องทดลอง และซึ่งไม่มีฐานอ้างอิงสำหรับการหาความทึบแสง (Opacity) ของเปลวเพลิง หรือที่ตามมาคือไม่มีการแพร่รังสีของเปลวเพลิงชนิดที่คล้ายกันที่ใหญ่กว่า) มีไม่เพียงพอ การเปลี่ยนของความเข้มข้นเข้ม่าที่ต้องตามด้วยการเปลี่ยนการออกแบบหัวพ่นไฟ (Burner) ใหม่ รูปร่างของห้องเผาใหม่ ระดับของการป้อนอากาศขึ้นปั๊มภูมิ และทุติยภูมิ องค์ประกอบของก้าชเช็คเพลิง และการวางแผนทิศทางลม (Draft regulation) ทั้งหมดล้วนแล้วแต่ทำให้การประมาณการแพร่รังสีจากเปลวเพลิงที่มีความสว่างนี้

อย่างไรก็ตามเป็นไปได้ที่จะแสดงให้เห็นถึงวิธีการได้ข้อมูลจากเตาเผาใหม่ที่ทราบสภาวะต่างๆ ของการเผาใหม่ และวิธีการประยุกต์ใช้ข้อมูลเหล่านี้กับเตาเผาที่มีขนาดหรือรูปร่างต่างๆ ออกไปแต่ยังมีสภาวะคงเดิม จากการสืบต้นเชิงปริมาณเพื่อหาความผันแปรของการดูดกลืนคลื่นแสงความยาวคลื่นเดียว (Monochromatic absorption) จากเปลวเพลิงที่มีความสว่างนั้น Hottel และ Broughton ได้แสดง [ในบทความของเขาว่า The Determination of True Temperature and Total Radiation from Luminous Flames] ให้เห็นว่าค่าความสามารถในการดูดกลืนและค่าความสามารถในการปล่อยรังสีจะลดลงตามการเพิ่มขึ้นของความยาวคลื่น (คือ ลดลงตามการลดลงของความถี่คลื่น) และแสดงให้เห็นด้วยว่าค่าการปล่อยรังสีรวม (Total emissivity) จะมีค่าน้อยกว่าค่าปล่อยรังสีในช่วงคลื่นที่มองเห็นด้วยตา (Visible spectrum) สิ่งนี้เองทำให้การประมาณด้วยตา (Visual estimation) ของค่าปล่อยรังสีของเปลวเพลิงที่มีความสว่างมีค่าผิดไปมาก อย่างไรก็ตามการใช้คุปกรณ์วัดความร้อนแบบมองผ่าน (Optical pyrometer) ที่ประกอบขึ้นด้วยตัวรองสี (Color screen) ของความยาวคลื่นต่างๆ (สีแดงและสีเขียว) ซึ่งแสดงให้เห็นถึงอุณหภูมิปรากฏ (Apparent temperatures) 2 ตัว ได้แก่ อุณหภูมิความสว่างสีแดง (Red-brightness temperature, T_r) กับอุณหภูมิความสว่างสีเขียว (Green-brightness temperature, T_g) ซึ่งจะปล่อยให้เราคำนวณอุณหภูมิเปลวเพลิงและค่าการปล่อยรังสีรวม (Total emissivity) ได้รูปที่ 2.3 เป็นการพล็อตกราฟ (ในรูป $^{\circ}K$) เพื่อเอาไว้ใช้หาค่าอุณหภูมิถูกต้องของเปลวเพลิง (True temperature) เมื่อให้ค่า T_r และค่า Δ ซึ่งเท่ากับ $T_g - T_r$ บนกราฟล็อตแบบเดียวกันเราจะได้ค่าความแข็งแกร่งในการดูดกลืน (Absorption strength) เป็น KL โดยที่ K เป็นเทอมที่แสดงถึงความเข้มข้นของเข้ม่าของเปลวเพลิง และ L คือ ค่าความหนาของเปลวเพลิงซึ่งถูกมองทะลุด้วย Pyrometer ด้วยค่า Absorption strength ที่ทราบค่าแล้ว เราสามารถใช้รูปที่ 2.4 ในการหาค่าการปล่อยเชิงประสิทธิผล (Effective emissivity) ของเปลวเพลิงได้ การถ่ายเทความร้อนจากเปลวเพลิง (Flame envelope) ที่มีพื้นที่ A และอุณหภูมิเปลวเพลิงถูกต้อง T_f เป็นผนังรับคลื่นที่มีเขตจำกัด (Confining walls) ที่มีอุณหภูมิ T_s สามารถหาได้จาก

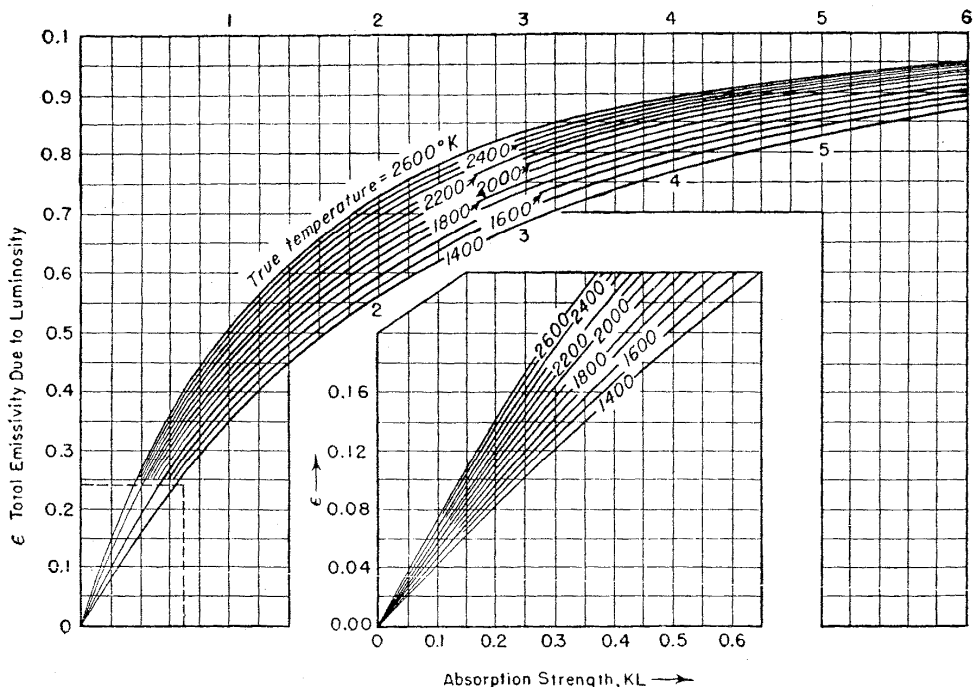
$$q = 0.172A \left[\left(\frac{T_F}{100} \right)^4 - \left(\frac{T_S}{100} \right)^4 \right] \cdot \mathcal{E}_F \cdot \mathcal{E}'_S \quad (2.6)$$

โดยที่ \mathcal{E}_F = ค่าปล่อยรังสีของเปลวเพลิงที่ห้ามกรุ๊ปที่ 2.4 และ

\mathcal{E}'_S = ค่าปล่อยเชิงประสิทธิผลของสภาพแวดล้อมรอบเปลวเพลิง



รูปที่ 2.3 แสดง Absorption strength ของเปลวเพลิงสว่าง [11]



รูปที่ 2.4 แสดงความสามารถการแผ่รังสีของเปลวเพลิงสว่าง [11]

ถ้าหากไฟโรมิเตอร์แบบมองผ่านที่มีตัวกรองหั้งสีแดงและสีเขียวไม่ได้ จะยังคงใช้รูปที่ 2.3 ในการหาค่า Absorption strength ได้ใน 2 กรณี ได้แก่ ก) ถ้าสามารถหาค่าอุณหภูมิความสว่างสีแดง (Red brightness temperature, T_r) ด้วยเครื่องเทอร์โมคัพเบลความเร็วสูง (High – velocity thermocouple) หรือ ข) ถ้าวางแผนกระจกเงาอันหนึ่งหลังเปลวเพลิงในแนวเด่นสายตาของเครื่องไฟโรมิเตอร์แบบมองผ่านที่ใช้ วิธีแรกอาจทำให้ได้ค่า Absorption strength คือค่า KL นั้น เปลี่ยนอย่างรวดเร็วตามการเปลี่ยนอย่างปกติของค่าปริมาณเล็กๆ ($T_r - T_f$) ซึ่งกำลังแทนผลต่างระหว่างค่าอุณหภูมิที่อ่านได้ (Temperature readings) จากเครื่องมือวัด 2 ชนิดที่ต่างกันอย่างสมบูรณ์

ในการใช้หลักคณิตสองสี (Two-color principle) สำหรับหาค่าอุณหภูมิถูกต้อง (True temperature) และค่าปล่อยรังสีรวม (Total emissivity) ของเปลวเพลิงหนึ่ง แนวการมองเห็นผ่านเครื่องไฟโรมิเตอร์จะต้องไม่บังจากสิ่งอื่น นอกจากตัวของเปลวเพลิงเองเท่านั้น ตัวอย่างเช่น พื้นหลัง (Background) ของเปลวเพลิง ควรจะเป็นรูเปิด (Open peephole) ที่ผนังด้านหลังของเตาเผาหรือผิวเย็นที่ไม่มีการสะท้อนค่อนข้าง (Cold non-reflecting surface) ที่สำคัญคือต้องไม่ใช้ผิวร้อนดุหนไฟ เมื่อทำการวัดอุณหภูมิของเปลวเพลิงอุตสาหกรรมของหนึ่งขนาด (one size) เพื่อหาค่า Absorption strength KL (เพื่อมุ่งหมายที่จะใช้ประมาณค่าการปล่อยรังสีของเปลวเพลิงที่คล้ายคลึงกันแต่ใหญ่กว่า) ค่า Absorption strength KL , ที่หาได้จากรูปที่ 2.3 ควรถูกคูณด้วยค่าอัตราส่วนความหนาเปลวเพลิง (Dimension ratio) คือค่า L_2/L_1 ก่อนที่จะใช้รูปที่ 2.4 นอกจากนั้นค่า KL ควรจะสอดคล้องกับรูปร่างเฉพาะของเปลวเพลิงภายใต้การพิจารณา กล่าวคือควรสอดคล้องกับหลักการต่างๆ ที่เชื่อมโยงกับการใช้ตารางที่ 2.2 (ตารางแสดงความยาวลำแสงสำหรับการแผ่วรังสีของก๊าซ (Beam Lengths for Gas Radiation))

ข้อมูลของเปลวเพลิงที่มีความสว่าง ที่หาได้จากในเตาเผาทางอุตสาหกรรม แสดงให้เห็นว่า การแผ่วรังสีจากเขม่ามีระดับขนาดที่ใหญ่กว่าการแผ่วรังสีจากโมเลกุลก๊าซที่ไม่สว่าง (Non-luminous gas radiation) Lent (1926) ได้ทำการสร้างเปลวเพลิงก๊าซในเตาเผาแบบเปาลม (Blast-furnace gas flame) ให้เป็นสีดำโดยการเติมเบนซิน (Benzene) เข้าไปเพื่อก่อให้เกิดเขม่าในเปลวเพลิง Haslam และ Boyer (1927) พบว่าเปลวเพลิงที่มีความสว่างของก๊าซอะเซทิลีนนั้น จะสามารถแผ่วรังสีได้มากกว่าความร้อนที่แผ่วจากเปลวเพลิงแบบเปลวเพลิงที่ไม่สว่างถึง 4 เท่า และขนาดของเปลวเพลิงที่ได้จากการทดลองเผาอะเซทิลีนแสดงให้เห็นว่า ความดำ (Blackness) สูงสุดยังไม่เกิดขึ้นมา Sherman (1934) ได้วัดค่าการปล่อยรังสีของเปลวเพลิงก๊าซที่มีความสว่างในเตาเผาทดลอง

ตารางที่ 2.2 แสดงความยาวลำแสงสำหรับการแผ่รังสีของก๊าซ (Beam Lengths for Gas Radiation) [11]

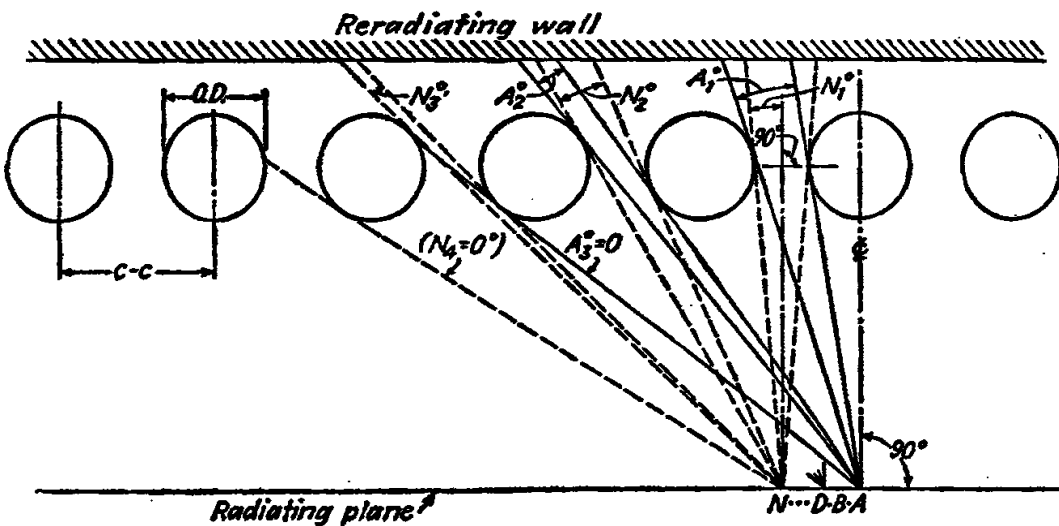
Shape	Characterizing Dimension, D	Factor by which D is multiplied to obtain mean beam length, L	
		When $PL = 0$	For average values of PL
Sphere.....	Diameter	2/3	0.60
Infinite cylinder.....	Diameter	1	0.90
Same, radiating to center of base.....	Diameter	0.90
Right circular cylinder, height = diameter, radiating to center of base..	Diameter	0.77
Same, radiating to whole surface.....	Diameter	2/3	0.60
Infinite cylinder of half-circular cross section. Radiating to spot on middle of flat side.....	Radius	1.26
Space between infinite parallel planes.	Distance between planes	2	1.8
Cube.....	Edge	2/3	0.60
1 x 2 x 6 rectangular parallelepiped, radiating to.....	Shortest edge		
2 x 6 face.....	1.18	1.06
1 x 6 face.....	1.24	
1 x 2 face.....	1.18	
All faces.....	1.20	
Space outside infinite bank of tubes With centers if equilateral triangles; tube diameter = clearance.	Clearance	3.4	2.8
Same as preceding, except tube diameter = one-half clearance.....	Clearance	4.45	3.8
Same, except tube centers on squares; diameter = clearance.....	Clearance	4.1	3.5

เปลวเพลิงเผาไหม้ผงถ่านหิน (Powdered-coal Flames) [11]

การแพร่งสีจากเปลวเพลิงเผาให้มั่งค่าน hinถูกกระทำการเชิงวิเคราะห์โดย Wohlenberg และผู้ร่วมงาน ส่วนการศึกษาด้วยการทำกราฟคลื่นได้ถูกดำเนินการโดย Lindmark และ Sherman แสดงให้เห็นว่า ค่าการปล่อยรังสีของกลุ่มอนุภาคทึบแสงกลุ่มนี้ (ถูกอ้างองกับพื้นที่ของการห่อหุ้มอนุภาคโดยรวมกลุ่มนั้น) จะอยู่ในรูปของ $(1 - e^{-x})$ เมื่อ x เป็นเทอมผลคูณของ (ความเข้มข้นของอนุภาคต่างๆ) (ภาครัดขวางเฉลี่ยตามเวลาของหนึ่งอนุภาค) (ความยาวของลำการแพร่งสีที่หลอกลุ่มอนุภาค) ซึ่งเทอมสุดท้ายนี้กำลังถูกให้นิยามเหมือนในตารางที่ 2.2 ภายใต้เรื่องการแพร่งสีของแก๊ส (Gas Radiation) โดยการสร้างสมมุติฐานที่เหมาะสมต่างๆ ตามกฎของกฎธรรมชาติของอนุภาค (Laws of particle-size distribution) ในถ่านหินที่บดเป็นผง และอัตราการเผาให้มั่งค่านุภาคแต่ละอนุภาค (Individual particles) แล้ว อาจใช้ความสัมพันธ์เชิงเอ็กโพเนนเชียลเพื่อคำนวนค่าการปล่อยรังสีของเปลวเพลิงของกราฟคลื่นที่ได้ อย่างไรก็ตามค่าที่ถูกได้มาแบบนั้นเกือบจะต่ำกว่าค่าการปล่อยรังสีได้จากการวัดอย่างมากและความแตกต่างนี้ (Discrepancy) อาจจะเนื่องมาจากความมีส่วนช่วยของไฮโดรคาร์บอนที่แตกออก (Cracked hydrocarbon) ที่กำลังผลิตความสว่าง เช่นเดียวกันกับอนุภาคชี้เด้า (Ash) ที่มีอยู่จริงแต่ไม่ได้เข้าไปให้มีผลต่อนคำนวนทางทฤษฎี แต่การติดตั้งเตาเผาผงถ่านหินสมัยใหม่ (Modern pulverized-coal installation) เกี่ยวข้องกับเปลวเพลิงขนาดใหญ่มากเสียจนกระทั่งค่าการปล่อยรังสีของเปลวเพลิงของกราฟคลื่นไม่มีห่างจาก 1.0 มากนัก

แหล่งรับความร้อน (Heat Sink) [10]

ตัวรับความร้อนตามปกติสำหรับเตาเผาให้มีทางอุตสาหกรรม จะประกอบไปด้วยท่อสูญญากาศบริเวณเปลวไฟ (Firebox) มากขึ้น โดยทั่วไปท่อต่างๆ หลังคา และพื้นของเตา หรือถูกตั้งให้ใกล้หน้าผนังอิฐที่ไฟของเตา แม้ว่าจะมีวิธีการในการประเมินผิวน้ำร้อนอย่างมีประสิทธิผล (Effective heat-transfer surface) ของการจัดเรียงเช่นนั้นค่อนข้างมากมาย ซึ่งตอนนี้ถูกใช้กันอย่างเกือบจะไม่ร่วมวิธีอื่นโดยที่ชินส่วนต่างๆ ของเตาเผาให้มีถูกจัดการอย่างเป็นรายๆ ดีที่สุด และในการประเมินค่าผิวที่มีประสิทธิผล หรือผิวที่รับการแผ่รังสีโดยไม่มีการบัง (Effective surface) ของเตาที่ต้องตรวจสอบต่างๆ ได้ตั้งสมมุติฐานว่า แหล่งความร้อน เป็นระนาบการแผ่รังสี (Radiating plane) ที่ขานกับเตาท่อ ผลกระทบปลาย (End effects) ถูกกำจัดออกไปโดยการสมมุติว่าทั้งระนาบทองเตาท่อ กับระนาบทองการแผ่รังสี ขานกันไปอย่างไม่มีขอบเขต ผิวทั้งหมดถูกสมมุติว่าเป็น black



รูปที่ 2.5 การประเมินค่าแฟกเตอร์แสดงประสิทธิผล α [10]

$$\begin{aligned}\alpha_{A,direct} &= \frac{90^\circ - A_1^\circ - A_2^\circ - A_3^\circ}{90^\circ} \\ \alpha_{N,direct} &= \frac{90^\circ - N_1^\circ - N_2^\circ - N_3^\circ - N_4^\circ}{90^\circ} \\ \alpha_{direct} &= \frac{\alpha_{A,direct} + \alpha_{B,direct} + \dots + \alpha_{N,direct}}{N} \\ \alpha_{total} &= \alpha_{direct} + \alpha_{direct} (1.00 - \alpha_{direct})\end{aligned}$$

ค่า $\alpha_{A,direct}$ $\alpha_{B,direct}$ etc., จะมีความหมายสมเมื่อระยะระห่วงระหว่างระหว่างบaffles ที่เพิ่มขึ้น

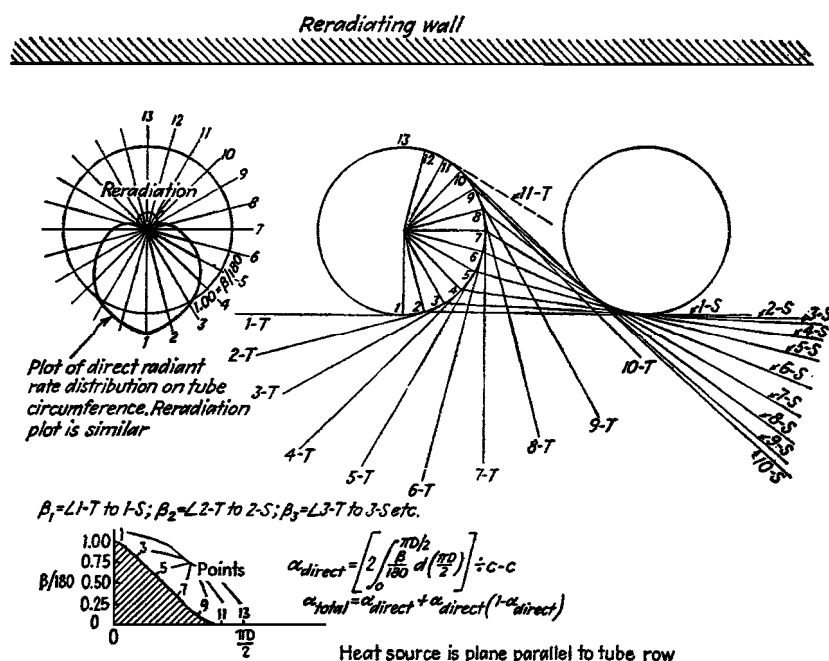
รูปที่ 2.5 แสดงวิธีการประเมินค่าแฟกเตอร์แสดงประสิทธิผล (The effectiveness factor) α ซึ่งจะใช้คุณกับผิวของระหว่างที่กำลังแผ่นและท่อที่รับค่าการปล่อยรังสีจากแหล่งปล่อยรังสีที่เท่ากับ 1.0 เพื่อให้ได้ค่าพิภานาเบียนสมมูลย์ (Equivalent cold-plane surface) ระหว่างที่กำลังแผ่นท่อต่างๆ A_{cp} มีค่าเท่ากับ x จำนวนท่อ \times ความยาวท่อ \times ระยะห่างระหว่างจุดศูนย์กลางท่อหนึ่งถึงอีกท่อหนึ่ง (Center-to-center spacing) วิธีแรกที่แสดงเป็นวิธีหนึ่งที่ถูกเสนอโดย Hottel [11] ซึ่งง่ายและรวดเร็ว จะถูกสมมุติว่าการสูญเสียความร้อน (Heat loss) ผ่านหลุนังทนไฟ (Refractory) มีค่าเท่ากับความร้อนที่ถูกถ่ายเทไปยังผนังทนไฟนั้นโดยการพาความร้อน ดังนั้นการแผ่รังสีความร้อนทั้งหมดที่กำลังพุ่งกระแทบกับผนังเตาแล้วจะถูกแผ่รังสีกลับมาอีกรังหนึ่ง (Reradiated) และพบว่าเมื่อท่อต่างๆ ถูกวางให้ห่างกันมากขึ้น ค่าสัดส่วนของการแผ่รังสีความร้อนที่กำลังมีจุดกำเนิดอยู่ที่จุดๆ หนึ่งบนแหล่งกำเนิดความร้อน (Source) ซึ่งไปถูกวางไว้ได้

โดยท่อต่างๆ นั้น จะมีค่าลดน้อยลง ดังนั้นค่า α จะลดลงด้วย ในขณะเดียวกันการวางแผนท่อให้ห่าง กันมากขึ้นนี้จะให้ค่า A_{cp} ต่อ 1 ท่อจะเพิ่มขึ้น ผลกระทบสูตร คือ ค่าผิวประสิทธิผล (Effective surface) ต่อ 1 ท่อจะเพิ่มขึ้น แต่ผิวประสิทธิผลต่อหนึ่งหน่วยพื้นผิวของผนังเตาเผาจะลดลง ค่า ประสิทธิผลของท่อจะถูกเพิ่มมากขึ้นเนื่องจากส่วนที่มากขึ้นของพื้นที่รอบผิวของมันถูกแพร้งสีกลับ ออกมา (Irradiation) การแพร้งสีที่ไม่ถูกขาวจะแล้วบไว้โดยท่อต่างๆ จะพุ่งไปถึงผนังท่อไฟ จากนั้น ตัวผนังท่อไฟจะแพร้งสีที่ได้รับกลับออกไป (Reradiated) อีกทอดหนึ่ง ถ้าถูกสมมุติว่าผนังท่อไฟ อยู่ที่อุณหภูมิสมำเสมอ การแพร้งสีที่กำลังออกจากผนังท่อไฟนี้จะถูกขาวรับไว้ด้วยขนาดเดียวกับ การแพร้งสีที่แพร่มาจากแหล่งปล่อยรังสี ดังนั้นการแพร้งสีทั้งหมดที่ถูกดูดกลืนไว้ได้โดยแทบท่อจะมี ค่าเป็นสัดส่วน $[\alpha_{direct} + \alpha_{direct}(1 - \alpha_{direct})]$ ของการแพร้งสีจากแหล่งกำเนิด ตัวอย่างแสดง ให้เห็นว่า หลายๆ จุดตามระนาบการแพร้งสีควรต้องถูกหา (ครอบคลุมเพียงครึ่งหนึ่งของระยะจาก จุดศูนย์กลางท่อหนึ่งถึงอีกท่อหนึ่งเท่านั้น เนื่องจากความสมมาตรของระบบ) เพื่อให้ได้มีชีง สัดส่วนเฉลี่ยของการขาวรับ (interception) และเพริ่วความสมมาตรด้วยเช่นกัน ทำให้ต้องการ หานไม่แต่ละจุด เพียงมุมระหว่าง 90° ถึง 180° เท่านั้น

การทำความเข้าใจที่ดีในเรื่องของการกระจายของอัตราการแพร้งสีบนเส้นรอบรูปท่อ ได้มา จากรูปที่ 2.6 ซึ่งค่าต่างๆ ในรูปนี้ถูกพัฒนามาจากจุดเดียว (Standpoint) ของผิวท่อ จุดบนผิวท่อ หนึ่งๆ ซึ่งเป็นจุดที่ตั้งอยู่บนเส้นผ่าศูนย์กลางท่อเส้นที่ตั้งฉากกับระนาบที่กำลังแพร้งสี และเป็นจุดที่ อยู่ด้านบนของท่อที่กำลังหันหน้าสู่ระนาบนี้ จะได้รับการแพร้งสีตลอดมุมของ 180° และดังนั้นค่า α สำหรับจุดฯ นี้มีค่าเป็น 1.00 จุดอื่นๆ บนเส้นรอบรูปที่เลื่อนไปทางด้านหลังของท่อนี้สามารถ มองเห็นการแพร้งสีได้ด้วยมุมที่เล็กลงเรื่อยๆ จนกระทั่งมาถึงจุดหนึ่งซึ่งเป็นจุดที่ไม่ได้รับการแพร้งสี ตรงๆ จากระนาบที่กำลังแพร้งสีเลย ค่าประสิทธิผลของแต่ละพื้นที่เล็กๆ ของผิวรอบรูปท่อทั้งหมด A ถูกประเมิน และผลรวมของ effective area เหล่านี้ต้องถูกหารด้วย A_{cp} เพื่อให้ได้ค่า α เป็นจากมีความสมมาตร ดังนั้นการหาค่าดังกล่าวนี้เพียงครึ่งหนึ่งของเส้นรอบรูป ก็พอ และปรากฏ ว่า ด้านหน้าของท่อดูดกลืนความร้อนมากกว่าจุดอื่นๆ บนผิวรอบรูปของท่ออย่างมาก

การขาวรับ (Interception) การแพร้งสีกลับออกมายากผนัง (Reradiation) สามารถถูก ประเมินได้ในลักษณะเดียวกัน ดังที่ได้กล่าวมาแล้วว่า ความเข้มของ การแพร้งสีกลับออกมายาก ผนังมีค่าเท่ากับ $(1 - \alpha_{direct})$ คูณด้วยความเข้มจากการแพร้งสีย้อนกลับออกมายากผนังในระบบ แกนข้างของเชิงข้าม (Polar coordinate) เพื่อแสดงให้เห็นการกระจายความร้อนที่เท็จจริง สำคัญที่ จะต้องบันทึกอัตราส่วนคร่าวๆ (Poor ratio) ระหว่างค่าเฉลี่ยต่อค่าสูงสุดของค่า α สำหรับจุด

ต่างๆ บนเส้นรอบวงท่อ สำหรับการให้รั่วจะห่างระหว่างท่อตามปกติเท่ากับ 1.8 เท่าของเส้นผ่าศูนย์กลางนอกของท่อในเตาตั้มนำมันของโรงกลั่นนำมัน อัตราส่วนนี้ค่าวิมีค่าเท่ากับ 2.0 โดยประมาณ แสดงว่าที่ค่าฟลักซ์เฉลี่ยของผิวท่อทั้งหมด A เท่ากับ $10,000 \text{ Btu}/(\text{hr})(\text{ft}^2)$ ค่าฟลักซ์สูงสุด (ตัดทิ้งเฟกเตอร์ที่กำลังมีผลต่อการกระจายความร้อนอื่นที่ไม่ใช่ α) ที่จุดซึ่งอยู่บนผิวต้านหน้าของท่อจะมีค่าเป็น $20,000 \text{ Btu}/(\text{hr})(\text{ft}^2)$ ยิ่งอัตราส่วนระหว่างจุดศูนย์กลางท่อนนึงถึงอีกท่อหนึ่งต่อเส้นผ่าศูนย์กลางนอกยิ่งมาก อัตราส่วนระหว่างอัตราการแผ่รังสีสูงสุดต่ออัตราเฉลี่ยก็จะยิ่งต่ำลง และเนื่องจาก α_{max} ในทุกๆ กรณีมีค่าเป็น 1.00 ดังนั้นมันจึงสามารถเห็นได้อย่างดีจากพัฒนาการของค่า α ที่ได้ว่าค่าผิวประสิทธิผล (Effective surface) ของท่อต่างๆ จะเพิ่มขึ้นอย่างไรก็ตามยกเว้นในกรณีเฉพาะ เตาเผาใหม่ราคากลูที่สุดสามารถทำได้เมื่อวางท่อต่างๆ ให้มีระยะห่างใกล้กันเท่าที่ข้อจำกัด (Limitations) ทางกลและทางกายภาพของข้อต่อโค้ง (Return bends) จะยอมให้

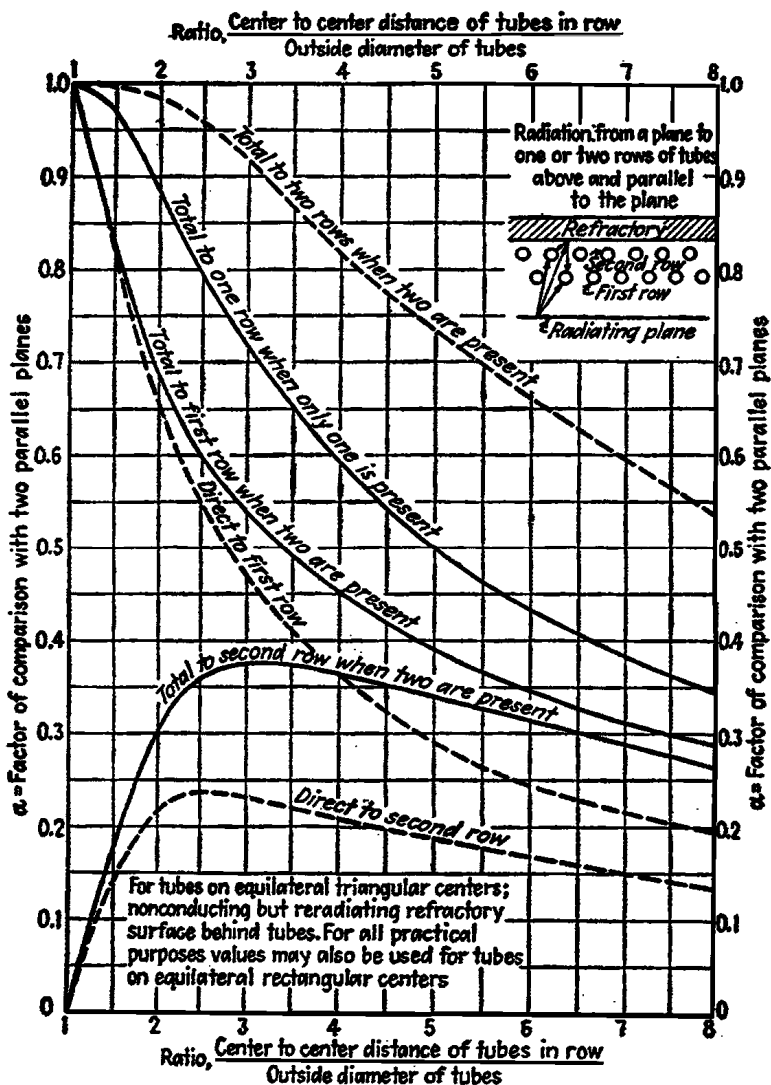


รูปที่ 2.6 แสดงการประเมินค่า α ที่กำลังแสดงให้เห็นการกระจายของฟลักซ์

บนเส้นรอบวงท่อ [10]

ในกรณีการวางท่อเป็นแบบแ捷คู่ (Double rows) ท่อแ捷หลังจะได้รับการแผ่รังสีความร้อนประมาณ $1/4$ ของการถ่ายเทความร้อนทั้งหมด และมีความสำคัญเช่นกันที่จะต้องบันทึกว่า อัตราส่วนค่าฟลักซ์สูงสุดต่อค่าฟลักซ์เฉลี่ย (รอบๆ ท่อ) สำหรับทั้งสองแ捷ท่อจะถูกแบ่งแยกกันโดยการหารผิวรวมท่อทั้งหมด (Total circumferential surface) สำหรับทั้งสองแ捷ท่อโดยผลคูณของค่า αA_{cp} สำหรับทั้งสองแ捷 คันที่

จริงแล้วค่าปัลอยรังสีของท่อ (Tube emissivity) ไม่เท่ากับ 1.00 อย่างที่ได้กำหนด และอันที่จริงจะมีการสะท้อนเกิดขึ้นเป็นบางส่วนจากท่อหนึ่งไปสู่อีกท่อหนึ่ง ผลกระทบสุทธิคือเพิ่มค่าปัลอยเชิงประสิทธิผล (Effective emissivity) ของແຄວท่อได้ 2 ถึง 3% ซึ่งถูกตัดทิ้งในการออกแบบในทางปฏิบัติ



รูปที่ 2.7 แสดงการแปรรังสีระหว่างระนาบหนึ่งกับหนึ่งແຄວท่อหรือมากกว่าที่นานกับระนาบแปรรังสีนั้น [10]

รูปที่ 2.7 แสดงค่า α ทั้งค่าตรง (Direct) และค่าทั้งหมด (Total) สำหรับท่อແຄວเดี่ยวและແຄวคู่ที่มีผนังทนความร้อนอยู่ด้านหลังท่อเหล่านี้ ซึ่งถูกพบรากค่าต่างๆ ของ α_{direct} สำหรับແຄวที่หนึ่งและແຄวที่สองว่า กลุ่มท่อ (Nest of tubes) ที่มีความลึกมากกว่า 2 ແຄวสามารถถูกสมมุติว่ามีค่าของ α_{total} เท่ากับ 1.0 สำหรับกลุ่มແຄวท่อตามข่าวที่อยู่ในส่วนการพากความร้อนของเตา

(Convection banks) ที่ห่อต่างๆ ของมันถูกแร่รังสีมาถึงตรงนั้น ค่า A_{cp} เกือบจะเท่ากับความกว้าง คูณความยาวของช่องเปิด (ความกว้าง-ยาวของช่องห่างระหว่างห่อในแนว)

ในเตาเผาใหม่ของหม้อต้มไอน้ำต่างๆ บางครั้งท่ออาจจะถูกฝังลึกในผนังทนความร้อน ครึ่งหนึ่ง บางครั้งท่อถูกติดคริป (Finned) และบางโอกาสถูกติดด้วยบล็อกที่หันหน้าหาอิฐทนไฟ (refractory-faced blocks) สำหรับการพัฒนาในรายละเอียดของค่า α ที่มากกว่านี้สำหรับการจัดเรียงห่อเช่นนี้

Mullikin ได้แสดงวิธีการประเมินค่า The effective radiant-heat-transfer surface สำหรับห่อที่ถูกจัดเรียงในหม้อต้มไอน้ำต่างๆ ไว้วิธีหนึ่ง สำหรับห่อที่มีตะกรัน (Slag) จับของตัวหม้อต้มไอน้ำบางแบบนี้ ค่าผิวประสิทธิผล(Effective surface) มีค่าเป็น

$$(\alpha A_{cp})_s = A_{cp} \alpha F_C F_S F_\varepsilon \quad (2.7)$$

เมื่อ A_{cp} = ผิวระนาบเย็นสมมูลย์ (Equivalent cold-plane surface)

α = แฟกเตอร์แสดงประสิทธิผล (Effectiveness factor) ใช้ตัวห้อง s แสดงว่า อุณหภูมิในสภาวะที่มีตะกรันเกิดขึ้น

F_C = แฟกเตอร์การนำความร้อน (Conductivity factor); ไม่มีหน่วย

F_S = แฟกเตอร์แสดงการเกาของตะกรัน (Slag factor); ไม่มีหน่วย

F_ε = แฟกเตอร์การปล่อยรังสี (Emissivity factor); ไม่มีหน่วย

สังเกตว่ามีการให้ค่าการปล่อยรังสีของห่อเข้าไปในการประเมินค่าผิวประสิทธิผล (Effective surface) ในกรณีนี้ จากที่ได้กล่าวมาแล้วว่าค่าการปล่อยรังสี จะพิจารณาอยู่ในค่า exchange factor ซึ่งคันที่จริงไม่มีผลเนื่องจากค่า $(\alpha A_{cp})_s$ นั้น ค่า F_ε ถูกกำหนดว่ามีค่าเป็น 1.00 ค่าต่างๆ ในทางปฏิบัติของ F_c เท่ากับ 1.00 สำหรับห่อเปลือย และห่อติดคริป เท่ากับ 0.70 สำหรับห่อที่ประกอบด้วยบล็อกโลหะหันหน้าออกจากผนังเตา (Bar-faced metal blocks) และหอตัวไปบนห่อจะเท่ากับ 0.33 และสำหรับบล็อกโลหะหันหน้าสู่ผนังเตา (refractory-face metal blocks) นั้น ค่าแฟกเตอร์แสดงการเกาของตะกรัน F_s จะมีค่าเปลี่ยนแปลงอยู่ระหว่าง 0.6 ถึง 0.9 หรือ 1.00 สำหรับหม้อต้มไอน้ำที่ปฏิบัติงานอย่างดี เมื่อห่อต่างๆ สะอาด F_s จะมีค่าเท่ากับ 1.0 แต่จากการพิจารณาผลการทดสอบหม้อต้มไอน้ำต่างๆ ที่ตีพิมพ์ปรากฏว่าแฟกเตอร์แสดงการเกาของตะกรัน (Slag factor) มีค่าอยู่ในช่วง 0.8 ถึง 0.9 และเป็นไปไม่ได้ที่จะกล่าวเป็นหลักทั่วไป (Generalization) เกี่ยวกับการเกิดขึ้นของตะกรัน (Slag) ที่เกิดจากการเผาใหม่ถ่านหินชนิดต่างๆ และเชื้อเพลิงน้ำมันบางตัว และเกิดมีความผันแปรของอุณหภูมิในเตาเผา ซึ่งแฟกเตอร์แสดงการเกาของตะกรัน ในกรณีเช่นนี้สามารถคาดคะเนจากข้อมูลเชิงเบื้องต้น หม้อต้มไอน้ำที่

บริการเป็นครั้งคราว (Intermittent service) มีแนวโน้มที่จะทำการส่องประดุจตัวเองได้ ขณะที่มีอุปกรณ์ที่บีบริการต่อเนื่องจะมาถึงสภาวะสมดุล ซึ่งผลกระทบของตัวกร้อนจะไม่เปลี่ยนแปลงมากนัก ตามที่ปรากฏจะพบว่ามีความแตกต่างระหว่างการลดลงของการดูดกลืนความร้อนเนื่องจากเก้าแห้ง (Dry ash) เกาะบนห้องกับการลดลงของการดูดกลืนความร้อนเนื่องจากเก้าหลอมและให้ผลิตภัณฑ์ที่เป็นอย่างมาก การเปลี่ยนแปลงสภาวะการปฏิบัติการ อาจทำให้เกิดการเปลี่ยนแปลง สภาวะการเกิดตัวกร้อน (Slag) ขึ้นได้ และจะเป็นสาเหตุให้เกิดความผันแปรของความถูกต้องของ บางสมการซึ่งพิจารณา หลักการของภาระความร้อนโดยปราศจากปัจจัยทางปฏิบัติ

ผิวปิดรอบนอกตัวรับความร้อน (Enclosing Surfaces) [10]

เป็นเรื่องยากที่จะทำให้มองเห็นและเข้าใจภาระความร้อนจากก๊าซร้อนสู่ผิวเย็น (Cold surface) ในส่วนซึ่งถูกแสดงโดยผนังอิฐที่ไฟ ส่วนหลังคาก๊าซร้อนสู่ผิวเย็น ของเตาเผา ใหม่ อีกทั้ง มวลก๊าซ (Gas mass) จะแผ่รังสีในทุกๆ ทิศทาง ค่าการปล่อยรังสีของก๊าซในเตาเผา ใหม่ (ซึ่งถูกประเมินจากค่า ρ และ L ดังที่ได้กล่าวมาก่อนหน้านี้) เป็นไปในทิศทางที่จะแสดงการ แผ่รังสีที่กำลังตัดกระบวนการจุดจุดหนึ่งของผิวเย็นบนผิวปิดของเตาเผาใหม่ ทั้งหมดของการแผ่รังสี นี้จะถูกจำกัดจากส่วนต่างๆ ของมวลก๊าซให้ไปยังจุดเฉพาะนั้น อย่างไรก็ตามส่วนต่างๆ ของมวล ก๊าซเหล่านี้จะแผ่รังสีไปในทิศทางอื่นๆ ด้วย บางส่วนของการแผ่รังสีนี้อาจถูกจำกัดให้ไปยังผิว อิฐที่ไฟ (ซึ่งไม่เย็น) เมื่อผิวอิฐที่ไฟรับรังสีที่กำลังแผ่มาถึงแล้วก็จะแผ่รังสีกลับออกไป (Reradiate) หรือสะท้อน (Reflect) รังสีนั้น บางส่วนของรังสีที่แผ่กลับออกมานี้จะถูกจำกัดให้กลับไปยังจุดเดิม มวลก๊าซเหล่านี้โปรด注意อย่างมากต่อการแผ่รังสีกลับออกไป (Reradiate) รังสี มากกว่าที่จะสะท้อน เนื่องจากคุณลักษณะทางคลื่น (Spectral characteristics) ของการแผ่รังสี กลับออกมายังครั้งนั้น ขึ้นกับคุณลักษณะต่างๆ ของผิวอิฐที่ไฟ ดังนั้นจุดจุดนั้นบนผิวเย็นจะได้รับ การแผ่รังสีมากกว่าที่อาจจะถูกประเมินจากค่าปล่อยรังสีของก๊าซ อิฐที่ไฟจึงค่อนข้างจะแสดง เป็นตัวสะท้อนการแผ่รังสีที่ถูกวางแผนล่วงไป

วิธีทางที่มีประสิทธิผล (Effective means) ของการแสดงให้เห็นผลกระทบของอิฐที่ไฟ หนึ่ง คือต้องเริ่มต้นด้วยผิวปิดผิวนี้ที่ไม่มีผิวเย็นบรรจุอยู่เลย ผิวปิดนี้บรรจุด้วยก๊าซตัวหนึ่งที่มีค่า การปล่อยรังสีที่แน่นอนค่าหนึ่งที่อุณหภูมิที่กำหนดให้ ถ้าทำซองเปิดเล็กๆ ช่องหนึ่งไว้ในผิวปิดนี้ การแผ่รังสีที่กำลังใหม่เป็นลำทะลุผ่านช่องเปิดนี้จะมีค่าเท่ากับการแผ่รังสีที่กำลังออกจากวัตถุดำ (Black body) ตัวหนึ่งที่มีอุณหภูมิเท่ากับอุณหภูมิก๊าซ โดยไม่สำคัญว่าค่าการปล่อยรังสีของก๊าซ จะเป็นเท่าไร แต่ขอให้ผู้อ่านผิวปิดถูกหัมอนอย่างดี และระบบได้มาตรฐานถูกต้อง ก็พอ ตอนนี้สมมุติว่าเรา妄สร้างส่วนเล็กๆ ของผิวเย็นอันหนึ่งไปแทรกในผิวปิดแทนที่ซ่องเปิดนั้น เราจะได้ว่า

การแพร่รังสีที่กำลังตกบนส่วนของผิวเย็นเล็กๆ นี้จะมีค่าเท่ากับการแพร่รังสี ซึ่งอาจจะมาจากการสิงแวดล้อมสีดำ (Black surroundings) ที่มีอุณหภูมิเท่ากับอุณหภูมิก๊าซ ผลกระทบของอัตราส่วนที่มีค่าสูงมากของผิวอิฐทันไฟต่อผิวเย็นทำให้ได้ค่าการปล่อยรังสีของเตาเผาใหม่มีค่าเท่ากับ 1.0 แม้ว่าค่าปล่อยรังสีของก๊าซจะมีค่าต่ำกว่า

หรือกล่าวอีกอย่างหนึ่งว่า ถ้าผิวปิดทั้งหมด (Entire enclosing surface) เป็นผิวเย็นและเป็นวัตถุคำด้วย แต่ละจุดบนผิวเย็นจะได้รับการแพร่รังสีจากส่วนที่แผ่ตรงมาถึงมันในตอนแรกเท่านั้น (ไม่ส่วนที่ปล่อยต่อมากจากผิวอื่นที่ไม่ใช่แหล่งคลื่น) เนื่องจากการแพร่รังสีในทิศทางอื่นๆ ถูกดูดกลืนไว้อย่างสมบูรณ์ และดังนั้นค่าการปล่อยรังสีของเตาเผาใหม่จึงมีค่าเท่ากับค่าการปล่อยรังสีของก๊าซ ถ้าค่าการปล่อยรังสีของผิวเย็นมีค่าน้อยกว่า 1.0 แสดงว่าบางส่วนของการแพร่รังสีจะถูกสะท้อน และแม้ว่าผลกระทบสุทธิของค่าการปล่อยรังสีจากผิวเย็นที่มีค่าต่ำกว่า (a lower cold surface emissivity) ค่าหนึ่งๆ จะเป็นการทำให้การถ่ายเทความร้อนสำหรับผลิต่างอุณหภูมิที่กำหนดให้ลดลงก็ตาม แต่ว่าการลดลงของการถ่ายเทความร้อนดังกล่าวก็จะไม่เป็นสัดส่วนกับการลดลงของค่าการปล่อยรังสีการสะท้อนต่างๆ จะถูกดูดกลืนเพียงบางส่วนเท่านั้น (โดยก๊าซ) และส่วนที่ไม่ถูกดูดกลืนจะถูกรวมเข้ากับการแพร่รังสีปัจุบันไปยังส่วนอื่น (other portion) ของผิวเย็น ยิ่งค่าการปล่อยรังสีของก๊าซยิ่งต่ำ (ค่า Absorptivity ตัวย) ผลกระทบของการเปลี่ยนแปลงค่าการปล่อยรังสีของผิวเย็นก็ยิ่งจะมีค่าน้อย ซึ่งในหม้อไอน้ำแบบท่อไฟ (Fire-tube boiler) ตัวหนึ่งๆ เราสามารถประเมินการถ่ายเทความร้อนด้วยการแพร่รังสีได้โดยการประยุกต์ใช้หลักการเหล่านี้ และจะปลดภัยโดยที่จะกำหนดว่าค่าการปล่อยรังสีของผิวท่อมีค่าเท่ากับ 1.0

ต่อมาได้มีการแสดงถึงการถ่ายเทความร้อนแบบแพร่รังสีสุทธิจะเพิ่มขึ้นสำหรับค่าการปล่อยรังสีของก๊าซ ค่าการปล่อยรังสีของผิวเย็นและค่าอุณหภูมิก๊าซกับของผิวเย็น ที่กำหนดให้ค่าหนึ่งๆ ได้ โดยการเพิ่มอัตราส่วนระหว่างผิวผนังทันไฟต่อผิวเย็น อย่างไรก็ตามการเพิ่มอย่างอิสระ (Random) ของผนังทันไฟ [ในรูปของผนังกั้นแบ่งตามแนวระดับ (Partition) และตามแนวบนล่าง (Bridge wall)] จะไม่แสดงการเพิ่มค่าฟลักซ์การแพร่รังสีความร้อนโดยปราศจากการเพิ่มอุณหภูมิก๊าซในเตาเผาใหม่ ด้วยเหตุนี้ค่าอัตราส่วนระหว่างผิวผนังทันไฟต่อผิวเย็นจะเพิ่มขึ้น จะถูกเพิ่มด้วยรายจ่ายของการลดลงของความยาวลำแสง (Mean beam length) ของเตาเผาใหม่ ในเตาเผาใหม่ที่เรียกว่าแบบมีส่วนการแพร่รังสี 2 เท่า การจัดการแต่ละส่วนให้ดีที่สุดคือการแยกเตาเผาใหม่เป็นอิสระจากกัน

การประเมินผลกระบวนการของผิวผังทอนไฟฟ้าในเชิงปริมาณอย่างมากและเกินเลยซึ่งของการสามารถปฏิบัติได้ สำหรับงานวิศวกรรม Hottel ได้พัฒนาสมการสำหรับหาค่า Overall exchange factor ขึ้นสมการหนึ่ง ได้แก่

$$F_{\varepsilon} = \frac{1}{\left(\frac{1}{\varepsilon_F}\right) + \left(\frac{1}{\varepsilon_S}\right) - 1} \quad (2.8)$$

โดยที่ ε_S = ค่าการปล่อยรังสีของผิวเย็น (Cold surface)
 ε_F = ค่าการปล่อยรังสีเชิงประสิทธิผล (Effective emissivity) ของไฟรอนเตาเผาใหม่ (ซึ่งจะใหญ่กว่า ε_G ถ้าบางส่วนของผิวปิดไม่เย็น) Hottel ให้นิยามเลยไปถึงว่า ε_F เป็นพังก์ชันของค่าการปล่อยรังสีของก๊าซ ค่าอัตราส่วนระหว่างผิวผังทอนไฟต่อผิวเย็น และค่า Angle factor ที่กำลังซึ่งเกี่ยวกับความสัมพันธ์เชิงเรขาคณิตต่างๆ ระหว่างส่วนต่างๆ ของผิวเย็นและผิวผังทอนไฟ

โดยสรุป ผิวท่อถูกประเมินเป็นผิวนานาบสมมูลย์ (Equivalent plane surface) ค่าการปล่อยรังสีของมวลก๊าซเป็นพังก์ชันของอุณหภูมิ ของอุณหภูมิผิวเย็น ของค่าความยาวลำแสง (mean beam length) ของเตาเผาใหม่ และของค่า partial pressure ขององค์ประกอบต่างๆ ที่กำลังแผ่รังสี ค่าการปล่อยรังสีเชิงประสิทธิผล (Effective emissivity) ของเตาเผาใหม่เป็นพังก์ชันของค่าการปล่อยรังสีของก๊าซ และค่าอัตราส่วนระหว่างผิวผังทอนไฟต่อผิวเย็น ค่า overall exchange factor สำหรับใช้ในสมการ Stefan-Boltzmann เพื่อคำนวณการถ่ายเทความร้อนจาก การแผ่รังสี จะได้มาจากการปล่อยรังสีของเตาเผาใหม่และผิวเย็น ดังสมการต่อไปนี้

$$Q = 0.173 \pi \left[\left(\frac{T_G}{100} \right)^4 - \left(\frac{T_S}{100} \right)^4 \right] \alpha A_{cp} \quad (2.9)$$

โดยทางทฤษฎีแล้ว ค่าเฉลี่ยเฉพาะของ T_G ต้องถูกใช้ในสมการนี้ หรือการคำนวณของเตาเผาใหม่รูปทรงยาวต้องถูกดำเนินงานในลักษณะเป็นชั้นๆ อันที่จริงจะพิจารณาอุณหภูมิของก๊าซต่างๆ ที่กำลังให้ออกจากส่วนแผ่รังสีของเตาเผาใหม่ (Furnace radiant section) เป็นอุณหภูมิเฉลี่ย เมื่อระดับความปั่นป่วน (Turbulent) ของก๊าซต่างๆ เหล่านั้นสูง เมื่อใช้เตาเผาใหม่มีเปลวเพลิงที่มีความสว่างอย่างสูง (Highly luminous flames) อยู่หรือเป็นเตาฟืน (Stoke firing) ก็ตาม ต้องมีการใช้ข้อมูลเพิ่มเติม วิธีต่างๆ สำหรับทำการคำนวณอัตรา (Rates) หรือฟลักซ์ (Fluxes) การถ่ายเทความร้อนเฉลี่ยในส่วนที่มีการแผ่รังสีความร้อนของเตา (Radiant section) จะไม่ให้ผลการวัดที่มีความสมำเสมอของอัตราการแผ่รังสีความร้อนเหล่านั้นบนท่อต่างๆ ถึงตอนนี้ต้องใช้

ประสบการณ์หรือไม่ก็การคำนวณเชิงวิเคราะห์ขั้นสูง (Highly analytical calculations) เพื่อจะประมาณอัตราการแพร่องสีความร้อนเฉพาะ

วิธีการออกแบบเตาเผาใหม่ (Design Method for a Furnace) [10]

วิธีพื้นฐานสำหรับทำการคำนวณการดูดกลืนความร้อนในส่วนที่มีการแพร่องสีความร้อนของเตาเผาใหม่มีหลายวิธี อาทิ เช่น วิธีของ Lobo และ Evans วิธีของ Wilson Lobo และ Hottel วิธีใช้สมการ OrrokHudson และวิธีการทำให้ง่ายขึ้นของ Wohlenberg ซึ่งเป็นวิธีที่ทำให้สมการ OrrokHudson ง่ายและแม่นยำมากขึ้น วิธี Lobo และ Evans เป็นวิธีเดียวในบรรดาวิธีเหล่านี้ที่ไม่ใช่สมการเร้มไพริกัลที่มาจากการปฏิบัติจริง แต่เป็นวิธีที่มีการคำนวณด้วยการอ้างอิงพื้นฐานของทฤษฎีการแพร่องสีความร้อนอยู่มากที่สุด วิธีนี้ถูกทดสอบกับการออกแบบเตาเผาใหม่ของโรงกลั่นน้ำมันที่แตกต่างกันจำนวน 19 โรง ทั้งหมด 85 การทดลองย่อย พบว่ามีความผันแปรของผลการถ่ายเทความร้อนเพียง 5.3% เท่านั้น และความผันแปรที่สูงที่สุด คือ 16% วิธี Lobo และ Evans ใช้สมการพื้นฐานสำหรับการแพร่องสีความร้อนจากแหล่งแพร่องสีสูงผิวเย็นดังนี้

$$Q = 0.173 \Im \left[\left(\frac{T_G}{100} \right)^4 - \left(\frac{T_S}{100} \right)^4 \right] \alpha A_{cp} \quad (2.10)$$

นอกจากจะมีการแพร่องสีความร้อนเกิดขึ้นภายในเตาเผาใหม่แล้ว ยังมีความร้อนบางส่วนถูกถ่ายเทในโหมดการพาความร้อนอีกด้วย และการถ่ายเทความร้อนทั้งหมดไปยังผิวเย็น เป็นดังสมการ

$$Q = 0.173 \Im \left[\left(\frac{T_G}{100} \right)^4 - \left(\frac{T_S}{100} \right)^4 \right] \alpha A_{cp} + h_c A (T_G - T_S) \quad (2.11)$$

เมื่อ A = ผิวท่อทั้งหมด [ft^2]

A_{cp} = ผิวระนาบเย็นสมมูลย์ (Equivalent cold plane surface) [ft^2]

\Im = แฟกเตอร์แสดงการแตกเปลี่ยนการแพร่องสีความร้อน (overall exchange factor)

[ไม่มีหน่วย]

h_c = สมประสิทธิ์การพาความร้อน [$\text{Btu}/(\text{hr}\cdot\text{ft}^2\cdot{}^\circ\text{F})$]

$\sum Q$ = อัตราการถ่ายเทความร้อนทั้งหมดไปที่ผิวเย็น [Btu/hr]

T_G = อุณหภูมิก้าชร้อนจากการเผาใหม่ที่กำลังออกจากส่วนของการแพร่องสี (Radiant section) ของเตา [${}^\circ\text{R}$]

T_S = อุณหภูมิผิวท่อ [${}^\circ\text{R}$]

α = แฟกเตอร์ซึ่ง A_{cp} ต้องถูกคูณลดเพื่อให้ได้ผิวน้ำเย็นประสิทธิผล (Effective cold surface)
[ไม่มีหน่วย]

สามารถทำเทอมการพาความร้อน (Convection) ให้ง่ายขึ้นได้ด้วยการกำหนดค่า $h_c = 2.0$ และค่า A ของเทอมนี้มีค่าโดยประมาณเป็น $2.0 \alpha A_{cp}$ เนื่องจากมีความต้องการหารลดทุกเทอมด้วย ซึ่งมีค่าเท่ากับ 0.57 ดังนั้นต้องมีการจัดรูปสมการที่ (2.11) ใหม่เป็น

$$Q = 0.173 \mathfrak{N} \left[\left(\frac{T_G}{100} \right)^4 - \left(\frac{T_S}{100} \right)^4 \right] \alpha A_{cp} + 7(T_G - T_S) \quad (2.12)$$

ความสัมพันธ์นี้ถูกแสดงให้เห็นโดยกราฟในรูปที่ 2.8 นอกเหนือจากฟลักซ์การแผ่รังสีความร้อนแล้ว ดูความร้อนก็จำเป็นสำหรับใช้หาค่าตอบของปัญหาการคูดกลืนความร้อน ดูความร้อนที่เกิดภายในเตาเผาใหม่ เป็นดังนี้

$$Q = Q_F + Q_A + Q_R + Q_S - Q_W - Q_G \quad (2.13)$$

เมื่อ Q = ความร้อนทั้งหมดที่ถ่ายเทในส่วนของแผ่รังสีของเตาเผาใหม่ [Btu/hr]

Q_F = ความร้อนที่ปลดปล่อยออกมาก่อนระเบาใหม่เชื้อเพลิง (ใช้ค่า LHV) [Btu/hr]

Q_A = ความร้อนสัมผัส (หรือ enthalpy) เหนือระดับอุ่นคงที่ 60°F ของอากาศเพื่อการเผาใหม่ [Btu/hr]

Q_R = ความร้อนสัมผัสเหนือระดับอุ่นคงที่ 60°F ของก๊าซไอเสียจากการเผาใหม่ที่ถูกไอน้ำวนสูญการเผาใหม่อีก [Btu/hr]

Q_S = ความร้อนสัมผัสเหนือระดับอุ่นคงที่ 60°F ของไอน้ำที่ใช้พ่นเข้าเชื้อเพลิงเป็นละออง [Btu/hr]

Q_G = ความร้อนสัมผัสของก๊าซไอเสียจากการเผาใหม่ (Flue gases) ที่กำลังไอน้ำจากในส่วนของแผ่รังสีของเตาเผาใหม่ [Btu/hr]

Q_W = ความร้อนสูญเสียผ่านผนังเตาเผาใหม่ (คิด 1 ถึง 10 % ของ Q_F ขึ้นกับขนาดอุณหภูมิและโครงสร้างของเตาเผาใหม่ 2 % เป็นตัวเลขที่ดีของการออกแบบ)

ทำให้ง่ายขึ้นต่อไปด้วยการตัดค่า Q_S ทิ้งไม่นำมาคิด ดังนั้นได้ค่าความร้อนที่ปลดปล่อยออกมากลางเท่ากับ

$$Q_{net} = Q_F + Q_A + Q_R - Q_W \quad (2.14)$$

ความร้อนติดตัวก๊าซไอเสียที่จะต้องปล่อยทิ้งไปเมื่อก๊าซไอเสียออกจากเตาเผาใหม่ที่อุณหภูมิก๊าซขาออก T_G คือ

$$Q_G = W(1+G')C_{av}(T_G - 520) \quad (2.15)$$

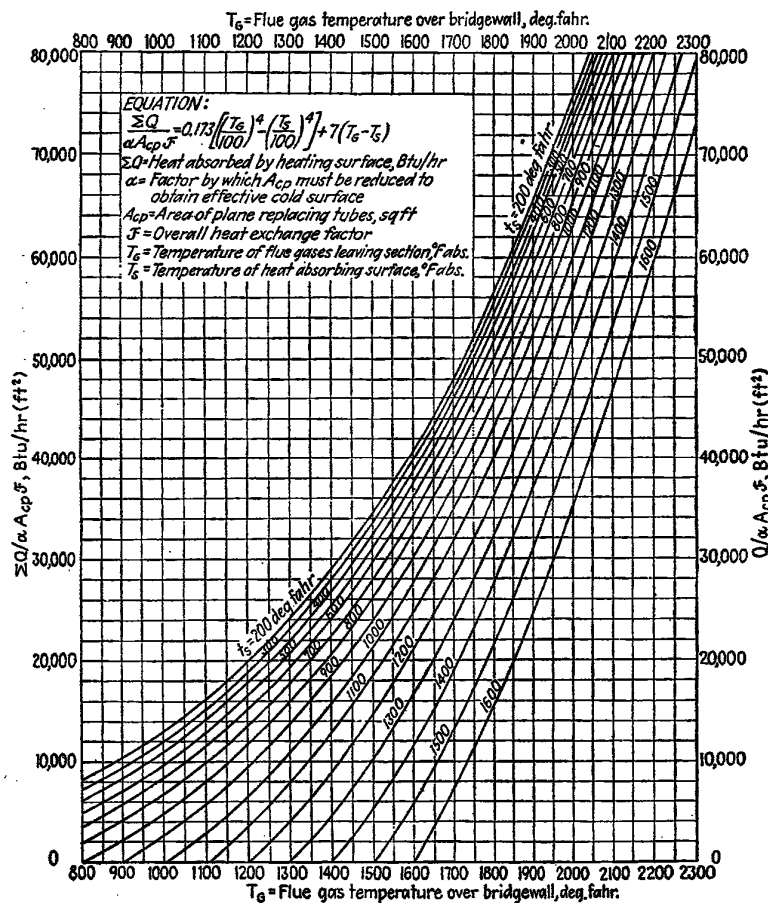
เมื่อ W = อัตราการป้อนเชื้อเพลิง [lb/hr]

$(1+G')$ = อัตราส่วนของปริมาณก๊าซไอก๊าซที่เปลี่ยนจากการเผาไหม้ในส่วนของแพร่งสีต่อเชื้อเพลิงที่เผา [lb/lb]

G' = อัตราส่วนของอากาศที่ใช้ต่อเชื้อเพลิง [lb/lb]

C_{av} = ค่าความร้อนจำเพาะ (Specific heat) เนลี่ยของก๊าซไอก๊าซที่เปลี่ยนจากการเผาที่เนลี่ย

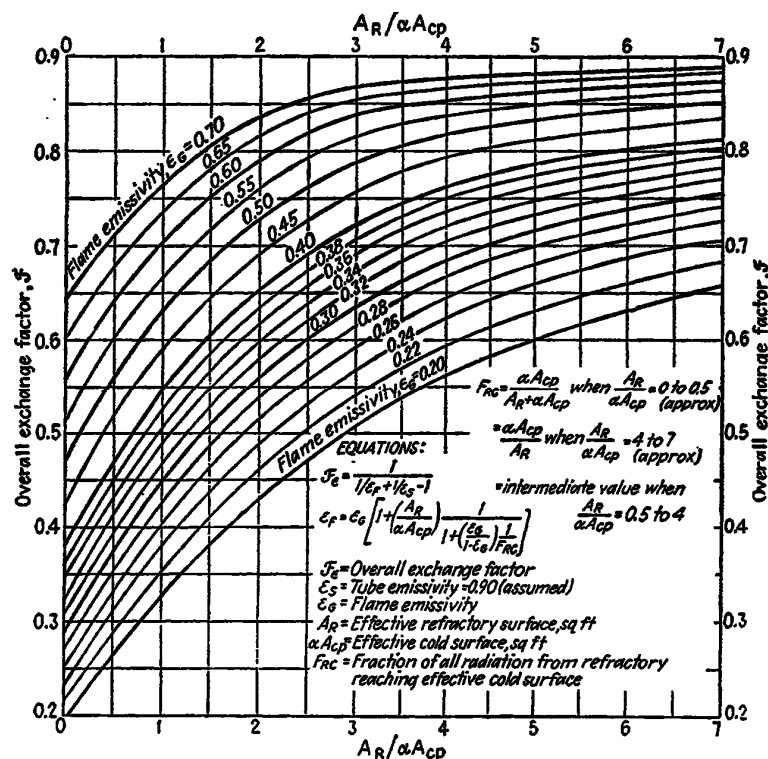
ระหว่างอุณหภูมิ T_G กับ 520°R [Btu/(lb)(°F)]



รูปที่ 2.8 พลังงานการแพร่งสีความร้อน [10]

ในการประยุกต์ใช้สมการเหล่านี้ สามารถประมาณค่าผิวน้ำหนาเบียนสมมูล์ (Equivalent cold plane surface) ได้โดยใช้รูปที่ 2.7 ดังที่ได้กล่าวมาแล้วในตอนต้นว่า A_{cp} เป็นผิวน้ำหนาที่กำลังแทนที่ແ瑰ของท่อ และมีค่าเป็นผลคูณของจำนวนท่อคูณความยาวท่อส่วนที่แข็งอยู่ในแหล่งปล่อยรังสี คูณระยะห่างจากจุดศูนย์กลางท่อหนึ่งถึงจุดศูนย์กลางของอีกท่อหนึ่ง (Center-to-center spacing) (คิดในหน่วยฟุต) เมื่อส่วนที่มีการถ่ายเทความร้อนแบบการพาของเตา

(Convection section) ถูกตั้งอยู่ในลักษณะที่ว่ามันได้รับประโยชน์ของการแผ่รังสีต่างๆ จากส่วนที่มีการแผ่รังสีความร้อน (radiant section) ซึ่งก็ควรจะถูกรวมเข้ากับพิภานาบเย็นสมมูลย์สำหรับกรณีเตาเผาใหม่ที่มีແຄว่าท่อเรียงรอบผิวเตามากกว่า 2 และในด้านลึกนั้นน่าจะใช้ค่า α เท่ากับ 1.0 และค่า αA_{cp} ก็จะเป็นผลคูณของความยาวท่อส่วนที่แข็งในก้าชร้อนคูณกับความกว้างของช่องเปิด (ช่องห่าง) ของແຄว่าท่อในส่วนการพาความร้อน (Convection bank) เมื่อແຄว่าท่อในส่วนการพาความร้อนถูกแยกจากส่วนการแผ่รังสีความร้อนมันก็ไม่ต้องถูกรวมในการคำนวณของส่วนที่มีการแผ่รังสีความร้อน (Radiant-section calculations)



รูปที่ 2.9 แสดงค่า overall exchange factor เป็นฟังก์ชันของค่าการปล่อยรังสีของก้าช [10]

ซึ่งสามารถคำนวณค่าการปล่อยรังสีของก้าชได้จากค่าความยาวแสงเฉลี่ย (Mean beam length) ค่า partial pressure ขององค์ประกอบต่างๆ ที่กำลังแผ่รังสี อุณหภูมิผิวท่อ และอุณหภูมิของก้าชร้อน (ซึ่งตามปกติแล้วจะถูกสมมุติขึ้นก่อนในการทำ trial & error ของการคำนวณ) รูปที่ 2.9 แสดงค่า overall exchange factor F_e เป็นฟังก์ชันของค่าการปล่อยรังสีของก้าช (ของเปลวไฟ) กับค่าอัตราส่วนระหว่างค่าผิวอิฐที่ไฟเชิงประสิทธิผล (effective refractory surface) A_R ต่อค่าผิวนานาบเย็นสมมูลย์ โดยที่

$$A_R = A_T - \alpha A_{cp} \quad (2.16)$$

ซึ่งมี A_R = ค่าผิวอิฐที่ไฟเชิงประสิทธิผล (Effective refractory surface) [ft^2]

$$A_T = \text{พื้นที่ทั้งหมดของผิวเตาเผาใหม่ } [\text{ft}^2]$$

$$\alpha A_{cp} = \text{ผิวนำบเย็นสมมูลย์ (Equivalent cold plane surface)} [\text{ft}^2]$$

อุณหภูมิก้าซซากอกฎกได้มาจากการคำนวณแบบทำ trial & error จนกระทั่งสอดคล้องกับทั้งการถ่ายเทความร้อนและสมการดูดความร้อน เพื่อทำให้ปริมาณของการคำนวณที่ถูกต้องในการประยุกต์ใช้ก็ของ Lobo และ Evans รูปที่ 2.8 ให้ค่าของ $\sum Q/\alpha A_{cp}$ สำหรับการเชื่อมโดยต่างๆ ของ T_G และ T_S

และมีการแนะนำว่า ในเตาเผาใหม่ได้ ซึ่งมีความยาวเส้นทางการเคลื่อนที่ของก๊าซ (path of the gas) มากกว่า 1.5 เท่าของมิติที่มีค่าต่ำสุด (Minimum dimension) ของพื้นที่ภาคตัดขวางต่างๆ ตลอดเส้นทางการไหลของก๊าซ ให้ทำการคำนวณไปตามขั้นต่างๆ (Stepwise calculation) ตัวอย่างของกรณีเช่นนี้อาจจะได้แก่ การเผาใหม่ที่ให้เปลาไฟในแนวตั้ง อย่างเช่นกรณีเตาเผาใหม่รูปทรงกรวยบ่อแนวตั้งที่ความสูงของมันเป็น 2 เท่าของเส้นผ่าศูนย์กลาง ครึ่งบนและครึ่งล่างของเตาเผาใหม่นี้อาจจะถูกคำนวณเป็นแบบแยกออก 2 ตัวอักษรเดียวกันว่า ก๊าซไอกieselจากครึ่งล่างเป็นตัวปล่อยความร้อนให้แก่ตัวบน

ในทางปฏิบัติต้องคำนวณภาวะการถ่ายเทความร้อนทั้งหมดในเตาเผา (Total furnace duty) ก่อน ซึ่งประกอบไปด้วย ความร้อนสัมผัส (Sensible heat) ความร้อนของการถ่ายเป็นไอและคงความร้อนของการเกิดปฏิกิริยา ประสิทธิภาพเชิงความร้อนของเตาเผาใหม่ คือ η_{th} ถูกให้โดย

$$\eta_{th} = \frac{\sum Q}{Q_F} \times 100\% \quad (2.17)$$

และหาได้จากการจับให้เท่ากันระหว่างต้นทุนเชื้อเพลิง (Fuel costs) กับต้นทุนการลงทุน (First cost) ของเตาเผาใหม่ (บวกกับระบบคุ่นอากาศ (Air preheater) ถ้าถูกใช้) ปริมาณของอากาศเกินพอก็ถูกใช้ขึ้นกับ ชนิดของเชื้อเพลิง ชนิดของหัวพ่นไฟ (Burners) ชนิดของการเคลื่อนที่ของลมร้อนผ่านเตา (ว่าดูดหรือเป่า) และอุณหภูมิอากาศที่ใช้ในการเผาใหม่ อย่างไรก็ตามในทางปฏิบัติใช้ปริมาณอากาศเกินพอก 40% สำหรับการออกแบบเตาเผาใหม่ที่มีการไหลของก๊าซไอกiesel ร้อนเป็นแบบธรรมชาติ หรือแบบใช้พัดลมดูด (Natural- or induced-draft furnaces) และใช้ปริมาณอากาศเกินพอก 25% สำหรับเตาเผาใหม่ที่มีการไหลของก๊าซไอกieselร้อนเป็นแบบใช้พัดลมเป่า (Forced-draft furnaces)

การใช้การคุ่นอากาศ (Air preheat) ก่อนการเผาใหม่จะถูกกำหนดโดยอุณหภูมิของวัสดุที่เย็นที่สุด ต้นทุนเชื้อเพลิง และต้นทุนของพื้นผิวเตา และถูกกำหนดไปถึงบางระดับที่ปฏิบัติกันโดย

ทั่วๆ ไป (Conventional practices) การใช้ระบบอุ่นอากาศ (Air preheaters) ถูกให้เหตุผลคือ เพื่อประหยัดต้นทุนเชื้อเพลิง เมื่อเวลาจะทำให้การปฏิบัติการของเตาเผาใหม่มีความซับซ้อนเกิดขึ้น และต้องการการซ่อมบำรุงเพิ่มเติม (อากาศเย็นเมื่อผ่านเข้าไปในเตาเผาใหม่จะไปดูดความร้อนจากการเผาใหม่และออกจากเตาไปทั้งๆ ที่อุณหภูมิยังสูงอยู่ มิได้ปล่อยความร้อนคืนไว้ในเตา จึงเปลี่ยนเชื้อเพลิงมากกว่าปกติ)

เมื่อหากความร้อนที่ปล่อยออกมายากการเผาใหม่ได้แล้ว การออกแบบเตาเผาใหม่ ปิโตรเลียม(P etroleum furnace) จึงถูกสร้างขึ้นบนพื้นฐานของอัตราการแพร่งสีเฉลี่ยที่เกิดในส่วน แพร่งสีของเตาที่ยอมรับได้ (Permissible average radiant-section rate) ดังที่ได้ถูกกำหนดไว้ใน ตารางที่ 2.3 เส้นผ่าศูนย์กลางท่อขึ้นอยู่กับการพิจารณาเรื่อง สัมประสิทธิ์ฟิล์ม (Film coefficient) ความดันลด และอัตราการแพร่งสี ของห่างระหว่างท่อต่างๆ ขึ้นกับคุณลักษณะต่างๆ ของหัวรวม ท่อ (Headers) และท่อโค้งกลับ (Return bends) ของหม้อต้มไอน้ำซึ่งห่างระหว่างท่อใกล้ที่สุดที่ เป็นไปได้ (Closest possible spacing) ควรถูกนำมาใช้ นอกเสียจากเมื่อมีความต้องการเป็นการ เช่นเพิ่มขึ้นมา อย่างเช่นต้องการปรับปรุงความสม่ำเสมอของค่าฟลักช์การรับการแพร่งสีบนเส้น รอบรูปท่อ

ตารางที่ 2.3 Permissible Average Radiant Rates [10]

Type of furnace	Allowable rate, Btu/(hr)(ft ² of circumferential tube area)
Crude	10,000-16,000
Vacuum	5,000-10,000
Naphtha reforming	1,000-18,000
Gas oil cracking :	
Heating	10,000-15,000
Soaking	10,000
Visbreaking	10,000-12,000

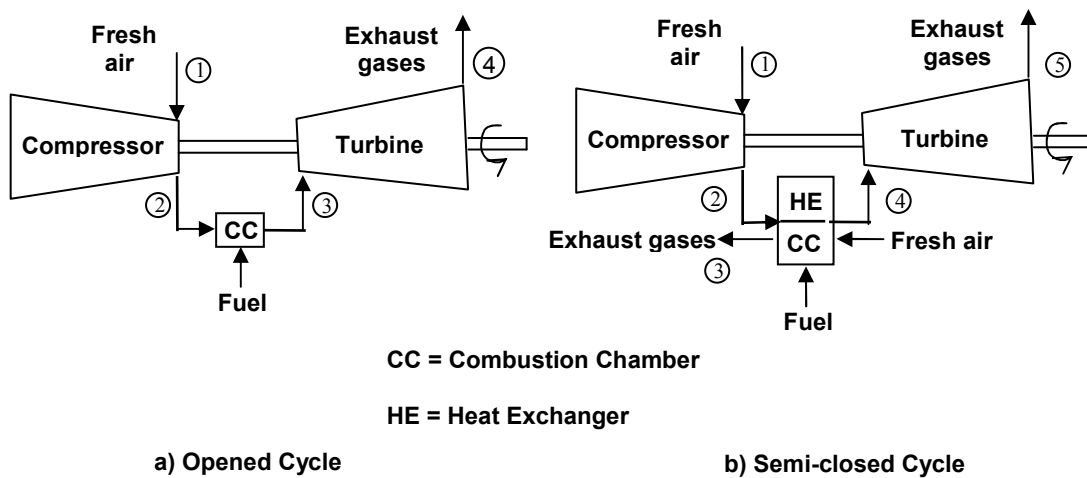
การออกแบบเตาเผาใหม่ที่ประหยัดที่สุดจะใช้ค่าความยาวท่อสูงสุดที่สามารถสอดรับกัน ได้ (Compatible) กับภาคตัดขวางเตา และที่ให้ระยะห่าง (Clearance) ระหว่างท่อและหัวพ่นไฟที่ เพียงพอ แม้ว่าท่อยาว 40 ฟุตจะเป็นขอบเขตปกติมากกว่าก็ตาม แต่ในบางหน่วยกลั่นใช้ท่อยาวถึง

60 ฟุต ในหม้อต้มไอน้ำนั้นความยาวท่อ (Tube lengths) (ส่วนที่แข็งในการแผ่วงสี) อาจยาวกว่าปกติได้

2.2 เทอร์โมไดนามิกส์ของเครื่องยนต์เทอร์บอynes [12-13]

2.2.1 วัฏจักรเบรตันคุดมคติ (The ideal Brayton Cycle)

เครื่องยนต์ก๊าซเทอร์บอynes ระบบบวกจราเปิดและระบบบวกจราปิดมีองค์ประกอบต่างๆ เหมือนกันเกือบทั้งหมด ต่างกันเพียงตรงที่กระบวนการป้อนความร้อนสู่ระบบการทำงานเท่านั้น ดูรูปที่ 2.10 ประกอบจะเห็นว่าในระบบบวกจราเปิดจะมีการป้อนเชื้อเพลิงเหลวหรือก๊าซที่สามารถเข้าไปเผาไหม้ตรงๆ กับอากาศที่อัดด้วยเครื่องอัดอากาศ ได้ก๊าซไออกไซด์ร้อนไปผ่านเทอร์บอynes ขณะเดียวกันก็จะมีการป้อนเชื้อเพลิงซึ่งเป็นของแข็ง ของเหลว หรือก๊าซก็ได้ สามารถหรือไม่สามารถก็ได้ เข้าไปเผาไหม้กับอากาศส่วนหนึ่งในห้องเผาไหม้ เมื่อกัดความร้อนขึ้นความร้อนถ่ายเทเข้าสู่อากาศอัดตัวที่มาจากการอัดอากาศ (Compressor) ทำให้อากาศร้อนขึ้นและไปขยายตัวผ่านเทอร์บอynes



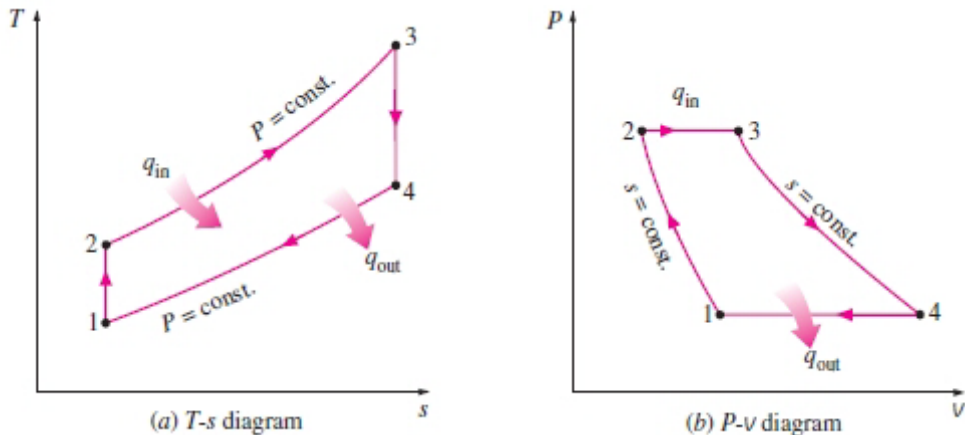
รูปที่ 2.10 เปรียบเทียบองค์ประกอบต่างๆ ของเครื่องยนต์ก๊าซเทอร์บอynes

ระบบบวกจราเปิด (a) กับระบบบวกจราปิด (b)

เครื่องยนต์ก๊าซเทอร์บอynes คุดมคติที่กำลังทำงานบนวงจรเบรตันคุดมคติ (The ideal Brayton cycle) ประกอบด้วยกระบวนการทำงานอย่างภายใต้แรงดันคงที่ 4 กระบวนการที่แสดงด้วยไอโซแกรม T-s ซึ่งแสดงในรูปที่ 2.11 ได้แก่

- 1-2 กระบวนการอัดตัวแบบເ็นໂຫວີເທົາໃນตัวอัดอากาศ
- 2-3 กระบวนการเติมความร้อนที่ความดันคงที่ในห้องเผาไหม้

- 3-4 กระบวนการขยายตัวแบบເອົ້ນໂທຣີເທົ່າໃນຕັ້ງເຫຼວໄປນໍ
 4-1 กระบวนการຮະບາຍຄວາມຮ້ອນສູ່ສກາພແວດລ້ອມທີ່ຄວາມດັນຄົງທີ່



ຮູບຖື 2.11 ໄດ້ອະແກນມ $T-s$ ແລະ $P-V$ ແສດກະບວນການເປົ້າຢັ້ງຢືນທີ່ເກີດຂຶ້ນບັນອົງດົກປອບຕ່າງໆ ທີ່ກຳລັງທຳນານຂອງເຄື່ອງຍົນຕົວໂທຣີໄປນໍ [13]

1. ກະບວນອັດອາກາສໃນຕັ້ງອັດອາກາສຈາກ $1 \rightarrow 2$ ເປັນການທຳໄໝອາກາສມີຄວາມດັນສູງຂຶ້ນເປັນ P_2 ຜຶ່ງເປັນທີ່ກວາບກັນດີວ່າອຸນຫກຸມຂອງອາກາສຈະເພີ່ມຂຶ້ນດ້ວຍ ກະບວນການນີ້ເປັນກະບວນການທີ່ເອົ້ນໂທຣີປົກທີ່ ກົດ້ອັດຕາສ່ວນກາເພີ່ມອຸນຫກຸມເທົ່າກັບອັດຕາສ່ວນກາເພີ່ມຄວາມດັນຍກກຳລັງດ້ວຍຕັ້ງຄົງທີ່

$$\frac{T_2}{T_1} = \left[\frac{P_2}{P_1} \right]^{(k-1)/k} \quad \text{ໂດຍທີ່ } k = \frac{C_p}{C_v} \quad (2.18)$$

ສໍາຫຼັບແຕ່ລະສາຮ ພັສັງນາທີ່ໃໝ່ໃນການປັ້ນຕັ້ງອັດອາກາສເພື່ອເພີ່ມຄວາມດັນມີຄ່າເທົ່າກັບ

$$W_{comp} = C_p(T_2 - T_1) \quad (2.19)$$

2. ກະບວນກາເພີ່ມຄວາມຮ້ອນໃຫ້ກັບສາຮທຳນານທີ່ຄວາມດັນຄົງທີ່ $2 \rightarrow 3$ ເປັນກະບວນການທີ່ສາຮທຳນານດູດຄວາມຮ້ອນທີ່ເກີດຈາກການເພາໄໝ້ເຊື້ອເພີ້ນເຂົ້າໄປທຳໃຫ້ເອົ້ນໂທຣີສູງຂຶ້ນດັ່ງສົມກາຣ

$$q_{in} = q_{23} = h_3 - h_2 = C_p(T_3 - T_2) \quad (2.20)$$

3. ກະບວນກາຂໍາຍາຍຕັ້ງທາງຄວາມຮ້ອນຜ່ານໄປພັດເທອຣີໄປນໍແບບເອົ້ນໂທຣີປົກທີ່ ກໍາຊ້ຮ້ອນທີ່ມີທັງອຸນຫກຸມແລະຄວາມດັນສູງ ພັສັງນາຈຸດນີ້ສູງຈະໄປໂຫລດບນໄປພັດເທອຣີໄປນໍດ່າຍເພັສັງນາຈຸດນີ້ຂອງມັນໃຫ້ກັບໄປພັດເທອຣີໄປນໍໜຸນອຸນຫກຸມແລະຄວາມດັນຂອງກໍາຊ້ຈຶ່ງລົດລົງ ດັ່ງສົມກາຣ

$$\frac{T_3}{T_4} = \left[\frac{P_3}{P_4} \right]^{(k-1)/k} \quad (2.21)$$

งานเพลาที่ได้จากเทอร์บิน์จากสมการ

$$W_{tur} = Cp_m(T_3 - T_4) \quad (2.22)$$

4. กระบวนการปล่อยความร้อนสู่สภาวะแวดล้อมที่ความดันคงที่ $4 \rightarrow 1$ เป็นกระบวนการ
สมมุติที่กําชร้อนที่ออกจากเทอร์บิน์ปล่อยความร้อนบรรยายกาศ ขณะที่กําชเย็นจากบรรยายกาศถูก[†]
ดูดเข้าสู่ตัวอัดอากาศความร้อนที่ถ่ายเท คือ

$$q_{out} = -q_{41} = h_4 - h_1 = Cp_m(T_4 - T_1) \quad (2.23)$$

$$\begin{aligned} * \text{งานสุทธิที่ได้จากเครื่องยนต์เทอร์บิน} &= W_{turb} - W_{comp} = q_{in} - q_{out} = W_{net} \\ &= \text{area } 1234 / \text{area } 2356 \end{aligned}$$

$$\begin{aligned} * \text{ประสิทธิภาพทางความร้อน: } \eta_{th,Brayton} &= \frac{W_{net}}{q_{in}} = \frac{q_{in} - q_{out}}{q_{in}} = 1 - \frac{q_{out}}{q_{in}} \\ &= 1 - \frac{Cp_m(T_4 - T_1)}{Cp_m(T_3 - T_2)} \end{aligned} \quad (2.24)$$

เนื่องจากกระบวนการ 1-2 และ 3-4 เป็นกระบวนการที่เข็นไตรปีคงที่ทั้งคู่ และ $P_2 = P_3$ กับ $P_4 = P_1$
ดังนั้น Cp_m ในสมการ 2.24 จึงเท่ากันและได้ว่า

$$\begin{aligned} \frac{T_2}{T_1} &= \left[\frac{P_3}{P_4} \right]^{(k-1)/k} = \frac{T_3}{T_4} \quad \text{หรือ} \\ \frac{T_4}{T_1} &= \frac{T_3}{T_2} \end{aligned} \quad (2.25)$$

สมการ (2.24) จะลดรูปเป็น

$$\eta_{th,Brayton} = 1 - \frac{T_4 - T_1}{T_3 - T_2} = 1 - \frac{T_1}{T_2}$$

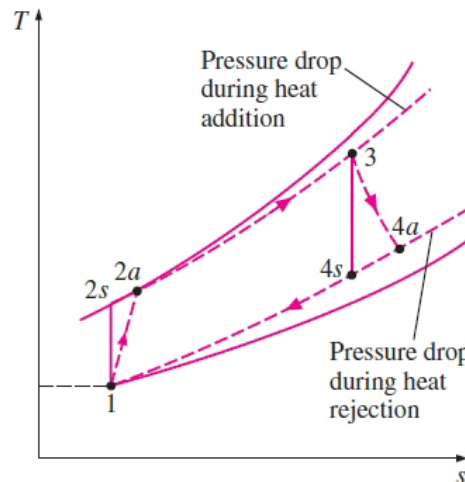
เมื่ออาศัยสมการ (2.25) จะได้ว่า

$$\begin{aligned} \eta_{th,Brayton} &= 1 - \frac{T_1}{T_2} \\ &= 1 - \left[\frac{P_1}{P_2} \right]^{(k-1)/k} = 1 - \frac{1}{\left(\frac{P_2}{P_1} \right)^{(k-1)/k}} \\ \eta_{th,Brayton} &= 1 - \frac{1}{(R_p)^{(k-1)/k}} \quad \text{เมื่อ } R_p = \left[\frac{P_2}{P_1} \right] = \text{oัตราส่วนการอัดอากาศ} \end{aligned} \quad (2.26)$$

พิจารณาสมการ (2.24) ได้ว่าประสิทธิภาพเชิงความร้อนจะยังสูงเมื่ออุณหภูมิก้าวขึ้นในห้องเผาไหหมิ่งสูงและพิจารณาสมการ (2.26) ได้ว่าอัตราการอัดอากาศในตัวเครื่องอัดอากาศยิ่งสูงประสิทธิภาพของวัฏจักรยิ่งสูงขึ้นอีกด้วย

2.2.2 วงจรการทำงานของเครื่องยนต์ก๊าซเทอร์บิน์จริง (Actual Gas-Turbine Cycles)

วงจรการทำงานของเครื่องยนต์ก๊าซเทอร์บิน์จริงแตกต่างไปจากวัฏจักรเบรย์ตันอุดมคติ (The ideal Brayton Cycle) สาเหตุแรกได้แก่ เกิดความดันลดลงของก๊าซขึ้นโดยไม่อาจหลีกเลี่ยงได้ขณะที่ก๊าซเหล่านั้นห้องเผาไหหมิ่ง ที่กล่าวว่ากระบวนการเพิ่มความร้อนโดยความดันคงที่จะไม่เป็นความจริง ยิ่งกว่านั้นงานจริงที่ใช้ในการอัดอากาศในตัวเครื่องอัดอากาศต้องมากขึ้น และงานเพลาที่ได้จากเทอร์บิน์ก็ต้องน้อยกว่าความเป็นจริง เนื่องจากเกิด Irreversibility ซึ่งได้แก่ การเกิดความเสียดทานและสภาพภาวะการทำงานที่ไม่สมดุลขึ้นในขั้นตอนเหล่านั้น การเปลี่ยนเป็นจากพุติกรรมของตัวอัดอากาศกับตัวเทอร์บิน์จริงเป็นไปจากพุติกรรมอิสโน่โตรปีเท่าเชิงอุดมคติ สามารถแสดงในเทอมของประสิทธิภาพของเดียบตาติก (Adiabatic) ซึ่งบางที่เรียกประสิทธิภาพโพลีโทรปิก (Polytropic efficiency) ของตัวอัดอากาศและตัวเทอร์บิน์



รูปที่ 2.12 ความเปลี่ยนแปลงของวัฏจักรก๊าซเทอร์บิน์จริงจากวัฏจักรอุดมคติ Brayton
เนื่องจากปัจจัย irreversibilities [13]

จากรูปที่ 2.12 สามารถนิยามประสิทธิภาพโพลีโทรปิกได้ดังนี้

$$\eta_C = \frac{w_s}{w_a} = \frac{h_1 - h_{2s}}{h_1 - h_{2a}} \quad (2.27)$$

$$\eta_T = \frac{w_a}{w_s} = \frac{h_3 - h_{4a}}{h_3 - h_{4s}} \quad (2.28)$$

เมื่อสภาวะ 2a และ 4a เป็นสภาวะของก๊าซที่ทางออกจากเครื่องอัดอากาศ และเทอร์บิน์จริง ส่วนสภาวะ 2s และ 4s เป็นสภาวะไอเซนโทรปิก (Isentropic) ที่สมนัยกับสภาวะที่เกิดจริง 2a และ 4a ตามลำดับ

สำหรับเครื่องยนต์ก๊าซเทอร์บิน์จริงสามารถคำนวณประสิทธิภาพเชิงความร้อน (η_{th}) และงานที่ได้ (work output) ภายใต้สภาวะการทำงานของคุณภาพคงตัวต่างๆ ที่ลักษณะนี้มาจาก Compressor สามารถคำนวณคุณภาพมีอักษรข้ามอก และงานที่ทำจริงในการอัดอากาศได้จากการดัดแปลงสมการ (2.18) และ (2.19) ดังนี้

$$T_2 = T_1 \times R_p \frac{(k-1)}{k} \cdot \frac{1}{n_c} \quad (2.29)$$

$$W_{comp} = \frac{1}{\eta_m} (h_{2a} - h_{1a}) \text{ โดยที่ } \eta_m = \text{ประสิทธิภาพเชิงกล} \quad (2.30)$$

ที่ combustion chamber สามารถคำนวณอัตราส่วนอากาศ/เชื้อเพลิง ($Air/fuel ratio = \alpha_{GT}$) ได้โดยทำสมดุลพลังงานรอบๆ ห้องเผาไหม้ (CC) โดยอ้างอิงกับ 1 kg ของอากาศที่เข้าสู่ห้องเผาไหม้ใช้คุณภาพคงตัวของอากาศที่ 298 K คุณภาพเผาไหม้เท่ากับ T_{3a} ใช้ประสิทธิภาพเชิงความร้อน (η_b) ของห้องเผาไหม้เท่ากับ 98% ค่าเอ็นไทรบีของเชื้อเพลิงใช้สมการของ zetala คือ

$$H_f = 2.42T_f - 478.8$$

สมดุลพลังงานเข้าและออกจากการห้องเผาไหม้

$$\left[1 + \frac{1}{\alpha_{GT}} \right] \times [H_{3a}^T - H_{3a}^{298}] = [H_{2a}^T - H_{2a}^{298}] + \frac{(H_f^T - H_f^{298})}{\alpha_{GT}} + \frac{T_n \eta_{bGT}}{\alpha_{GT}} \quad (2.31)$$

$$\therefore \alpha_{GT} = \frac{T_n \mu_{bGT} + (H_f^T - H_f^{298}) - (H_{3a}^T - H_{3a}^{298})}{(H_{3a}^T - H_{3a}^{298}) - (H_{2a}^T - H_{2a}^{298})} \quad (2.32)$$

เมื่อก๊าซร้อนถ่ายเทความร้อนสู่อากาศของระบบเทอร์บิน์ผ่านผนัง heat exchanger โดยระบบถ่ายเทความร้อนทั้ง 3 โหนด ได้แก่ การแผ่รังสีความร้อน การพานะและการนำความร้อนทำให้คุณภาพของอากาศร้อนขึ้นจาก T_{2a} เป็น T_{4a} ในขณะที่คุณภาพเปลวไฟของก๊าซร้อนลดจาก T_{3a} เหลือ T_{6a}

Heat exchanger effectiveness (ε) เท่ากับ

$$\varepsilon = \frac{T_{4a} - T_{2a}}{T_{3a} - T_{2a}} = \frac{Cp(T_{4a} - T_{2a})}{Cp(T_{3a} - T_{2a})} \quad (2.33)$$

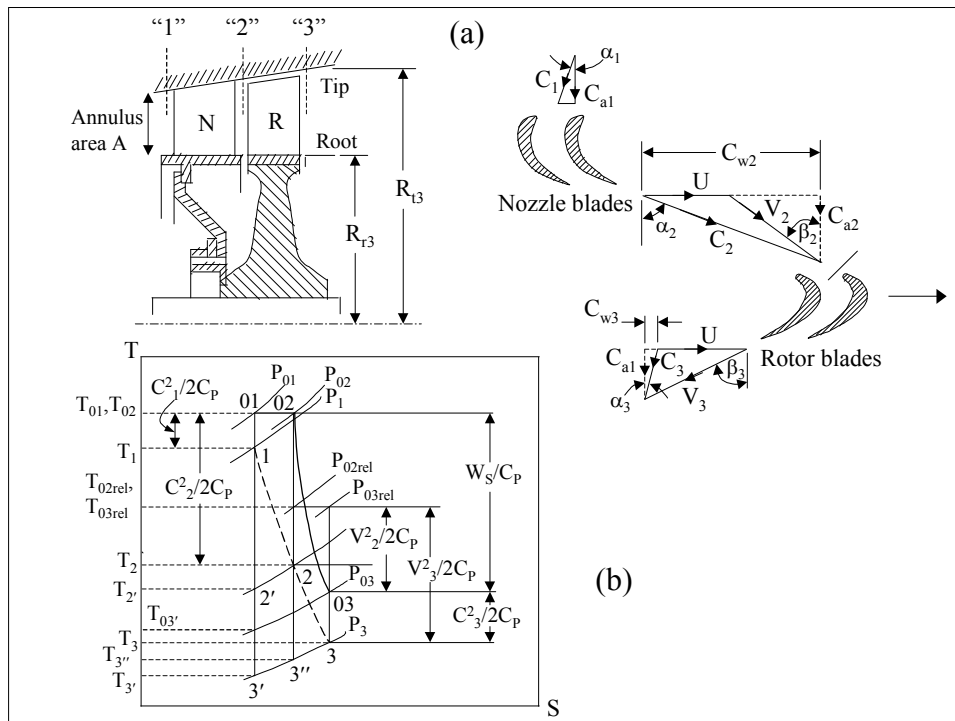
อากาศครอง T_{4a} ขยายตัวผ่านเทอร์บิน์จากอุณหภูมิ T_{4a} ลดเหลือ T_{sa} เเร斯ามารถคำนวณ อุณหภูมิอากาศข้ามออกจากรหัสเบน์และงานเพลาได้ดังสมการต่อไปนี้

$$T_{5a} = \frac{T_{4a}}{\left(\frac{R_p}{k}\right)^{\frac{k-1}{k}} \cdot \eta_{pGT}} \quad (2.34)$$

$$W_{GT} = \left[1 + \frac{1}{\alpha_{GT}} \right] \times [H_{4a} - H_{5a}] \times \eta_{mGT} \quad (2.35)$$

2.3 อากาศพลศาสตร์ของเทอร์บิน์แบบไอลตามแกน (Aerodynamics of Axial Flow Turbine) [14]

2.3.1 ทฤษฎีเบื้องต้นของเทอร์บิน์แบบไอลตามแกน (axial flow turbine)



รูปที่ 2.13 1 สเตจของเทอร์บิน์แบบไอลตามแกน [14]

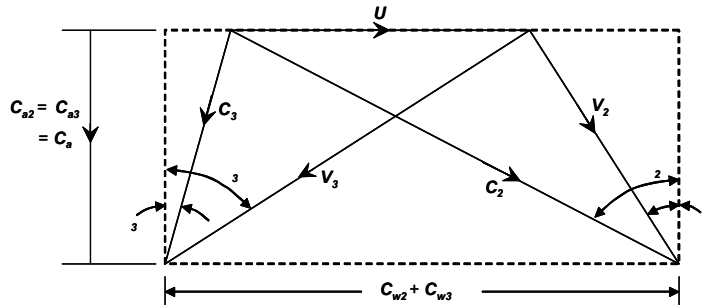
รูปที่ 2.13 แสดงสามเหลี่ยมความเร็ว (Velocity triangles) สำหรับเทอร์บิน์แบบไอลตามแกน (axial flow turbine) ขนาด 1 สเตจ (stage) ตัวหนึ่ง พัฒนาขึ้นเรียกเวกเตอร์ต่างๆ ก้าชซึ่งมี อุณหภูมิสติทิป (static temperature) T_1 , ความดันสติทิป (Static pressure) p_1 , และความเร็ว สมบูรณ์ (absolute velocity) C_1 ขยายตัวผ่านสถาปัตย์ (nozzle blades) ไปที่สภาพ T_2 กับ p_2 และทิ้งสถาปัตย์ไปพัดนิ่ง ไปด้วยความเร็วสัมบูรณ์ C_2 ที่มุม α_2 มุมที่ทางเข้าไปพัดหมุน (Rotor

blade inlet angle) β_2 จะต้องถูกเลือกเพื่อให้ได้ทิศทางของความเร็วสัมพัทธ์ของก๊าซที่สัมพัทธ์กับความเร็วของใบพัดที่ทางเข้า คือ V_2 ที่หมายความเจ้าสามารถหา β_2 และ V_2 ได้จากการลบท่องเวกเตอร์ความเร็วของใบพัด U ออกจากความเร็วสมบูรณ์ของก๊าซ C_2 หลังจากการถูกกระแทกและ การถูกกระจายโดยต่อไปในช่องทางของใบพัดหมุน ก๊าซจะออกจากใบพัดหมุนที่ T_3 กับ p_3 ด้วย ความเร็วสัมพัทธ์ V_3 ที่มุ่ง β_3 การรวมทางเวกเตอร์ของ U กับ V_3 จะได้ขนาดและทิศทางของ ความเร็วสมบูรณ์ของก๊าซที่ทางออกจากสเตจของเทอร์ไบโนน์เป็น C_3 และ α_3 ซึ่ง α_3 นี้ถูกเรียกว่ามุม ของการส่าย (swirl angle)

ในเทอร์ไบโนน์ 1 สเตจ (single stage turbine) ตัวหนึ่ง C_1 จะอยู่ในแนวตามแกน อย่างเช่น $\alpha_1 = 0$ และ $C_1 = C_a$ (หมายถึงจากห้องเผาไหม้ก๊าซวิ่งมาตรฐาน ที่ถูกนำไปพัดเทอร์ไบโนน์) แต่ถ้าเป็น เทอร์ไบโนน์หลายตอน (Multi-stage turbine) C_1 และ α_1 จะเท่ากับ C_3 และ α_3 เพื่อว่าจะสามารถ ใช้รูปวงใบพัดเหมือนกันในตอนต่างๆ ที่ต่อเนื่องกันไปของเทอร์ไบโนน์ได้ ดังนั้นบางครั้งจึงถูก เรียกว่า สเตจซ้ำ (Repeating stage) เนื่องจากความเร็วใบพัด U (เป็นความเร็วเชิงเส้น) เพิ่มตาม การเพิ่มขึ้นของรัศมีใบพัด ดังนั้นรูปวงของสามเหลี่ยมความเร็วจะเปลี่ยนตัวตั้งแต่โคน (Root) จนถึงปลาย (Tip) ใบพัด จะสมมุติในส่วนนี้ว่ากำลังกล่าวถึงสภาพแวดล้อมต่างๆ ตรงเส้นผ่าศูนย์กลาง เคลื่อน (wake) ระหว่างโคนกับปลายใบพัด) ของช่องทางวิ่งวงแหวน (Annulus) ที่ก๊าซวิ่ง และจะสมมุติด้วย ว่าการไหลเชิงมวลทั้งหมด m ของก๊าซมีความหนาแน่นสมำเสมอตั้งแต่โคนถึงปลายใบพัดขณะที่ ผ่านสเตจต่างๆ ของเทอร์ไบโนน์ การเข้าสู่คำตอบ (approach) โดยการสมมุติเช่นนี้จะมีเหตุผลได้ ต่อเมื่อข้อตราส่วนความยาวรัศมีปลายต่อโคนใบพัด (Tip-to-root ratio) มีค่าต่ำ เช่น กรณีใบพัดสั้น สำหรับกรณีใบพัดยาวจะเป็นจะต้องแสดงผล ารไอล 3 ทิศทาง ดังกล่าวต่อไป

$(C_{w2} + C_{w3})$ แทนการเปลี่ยนขององค์ประกอบในแนวส่าย (swirl component) ของ โมเมนตัมต่อหน่วยการไหลของก๊าซซึ่งเป็นตัวผลิตแรงบิดที่เป็นประโยชน์ (useful torque) การ เปลี่ยนขององค์ประกอบแนวแกน คือ $(C_{a2} - C_{a3})$ จะเป็นตัวผลิตแรงดันแนวแกน (Axial thrust) ให้กับส่วนหมุน (Rotor) ของเทอร์ไบโนน์ ซึ่งได้มาจากการจ่ายของแรงดันก๊าซที่กำลังลดลงไป เพราะ ความดันลด ($p_2 - p_3$) ในเครื่องยนต์ก๊าซเทอร์ไบโนน์แรงดันแนวแกนสุทธิ (Net thrust) บนส่วน หมุนของเทอร์ไบโนน์ (Turbine rotor) จะถูกดูดไปบางส่วนด้วยแรงดันแนวแกนบนส่วนหมุนของ เครื่องอัดอากาศ (Compressor rotor) จึงไม่ต้องการใช้ตัวลับลูกปืนประภารับแรงแนวแกนสูง (Large thrust bearings) ต่อไปจะให้ความสนใจกับการออกแบบเทอร์ไบโนน์ที่มีความเร็วการไหล แนวแกน คือ C_a คงที่ตลอดแนวส่วนหมุน กล่าวสิ่งนี้เพื่อจะบอกเป็นนายว่าช่องทางวิ่งวงแหวน (Annulus) จะต้องถูกพยายามออกอย่างในรูปที่ 2.13 (a) เพื่อให้ความหนาแน่นก๊าซลดลงขณะ

ขยายตัวผ่านสเตจนั้นของเทอร์บิน์ ด้วยข้อจำกัดนี้ทำให้มีอนามาเลี่ยมความเร็วของทั้งส่วนนึง และส่วนหมุนของสเตจนี้มาซ้อนทับกันตามวิธีปกติจะได้สามเหลี่ยมความเร็วสำหรับสเตจเป็นดัง รูปที่ 2.14



รูปที่ 2.14 ไดอะแกรมแสดงเวกเตอร์ต่างๆ ของความเร็ว ก๊าซและใบพัด [14]

ซึ่งสามารถอ่านความสัมพันธ์ต่อไปนี้ออกมาจากไดอะแกรมที่มีอยู่ปั่งได้ดังในรูปที่ 2.14

$$\frac{U}{C_a} = \tan \alpha_2 - \tan \beta_2 = \tan \beta_3 - \tan \alpha_3 \quad (2.36)$$

การประยุกต์ใช้หลักการโมเมนตัมเชิงมุมเข้ากับส่วนหมุน (Rotor) จะทำให้ได้งานออกมานอกจาก (Work output) ต่อหน่วยอัตราการไหลเป็น

$$W_s = U(C_{w2} + C_{w3}) = UC_a(\tan \alpha_2 + \tan \alpha_3)$$

เมื่อนำไปเชื่อมกับสมการที่ (2.36) เราจะได้ W_s ในเทอมของมุมต่างๆ ของก๊าซที่เกี่ยวข้องกับ เคลพะใบพัดของ rotor เป็น

$$W_s = UC_a(\tan \beta_2 + \tan \beta_3) \quad (2.37)$$

โปรดสังเกตว่า ไม่มีความจำเป็นต้องใช้แฟกเตอร์งาน (Work-done factor) เพื่อนที่เคยถูกใช้ มาแล้วในกรณีการออกแบบเครื่องอัดอากาศแบบไฟลตามแนวแกนในตอนนี้ ทั้งนี้ เพราะว่าในการ ไฟลแบบเร่ง (Accelerating flow) นั้น ผลของการตื้นขึ้นของชั้นขอบเขต (Boundary layer) ตาม แนวผนังของซ่องทางวิ่งจะแหวนน้อยกว่าเมื่อมีการไฟลแบบหน่วง (Decelerating flow) ที่มี Pressure gradient ตรงข้าม ค่อนข้างมาก

จากสมการพลังงานของการไฟลแบบคงที่ตามเวลา $W_s = C_p \Delta T_{0s}$ โดยที่ $\Delta T_{0s} =$ ส่วนลด ของอุณหภูมิคงที่ (Stagnation temperature drop) ของก๊าซที่มีความเร็วในสเตจนี้ ดังนั้น

$$C_p \Delta T_{0s} = UC_a(\tan \beta_2 + \tan \beta_3) \quad (2.38)$$

เมื่อความเร็ว ก๊าซที่ทางเข้าและทางออกสเตจมีค่าเท่ากัน เช่น $C_1 = C_3$ สมการที่ (2.38) จะ ให้ส่วนลดของอุณหภูมิสถิติ (Static temperature drop) ΔT_s ของสเตจนี้ด้วย ในการคำนวณ

เกี่ยวกับเทอร์บินส่วนใหญ่เราจะใช้ค่าความร้อนจำเพาะ (Specific heat) C_p และค่าอัตราส่วนความร้อนจำเพาะ (Specific heat ratio) γ ของก๊าซไฮเดรจจากการเผาไหม้คร่าวๆ เป็นค่าใกล้เคียงกับของอากาศ ได้แก่ $C_p = 1.148 \text{ kJ/kg K}$ และ $\gamma = 1.333$ หรือ $\gamma - 1 = 4$ และโปรดสังเกตว่าค่าเหล่านี้สอดคล้องกับค่าคงที่ของก๊าซ $R = 0.287 \text{ kJ/kg K}$ ค่าเหล่านี้เพียงพอสำหรับการคำนวณเพื่อการออกแบบเบื้องต้น ซึ่งสามารถใช้ได้กับการออกแบบในงานวิจัยนี้ได้และด้วยความเร็วในหน่วยเมตรต่อวินาที (m/s) เรายสามารถหา ΔT_{0s} ในหน่วยเคลวิน (Kelvin) ได้อย่างสะดวกโดยสมการ

$$\Delta T_{0s} = 8.72 \left(\frac{U}{100} \right) \left(\frac{C_a}{100} \right) (\tan \beta_2 + \tan \beta_3) \quad (2.39)$$

สามารถหาอัตราส่วนความดันนิ่ง (Stagnation pressure ratio) ของสเตจ ซึ่งคือค่า p_{01}/p_{03} ได้จาก

$$\Delta T_{0s} = \eta_s T_{01} \left[1 - \left(\frac{1}{p_{01}/p_{03}} \right)^{(\gamma-1)/\gamma} \right] \quad (2.40)$$

โดยที่ η_s = ประสิทธิภาพของสเตจแบบเข็นไทรปีคิงที่ (Isentropic stage efficiency) ที่ถูกห้ามอิงบน Stagnation temperature (หรือบางคุณเรียกว่า Total temperature) บ่ออยครั้งที่ค่า η_s ถูกเรียกอีกชื่อหนึ่งว่า ประสิทธิภาพของสเตจแบบ total-to-total (Total-to-total stage efficiency) ซึ่งเป็นตัวประสิทธิภาพที่เหมาะสมต่อการใช้ถ้าสเตจนั้นของเทอร์บินมีสเตจอื่นๆ รองรับต่อๆ กันไป นั่นคือ เป็นแบบหลายสเตจ (Multi-stage turbine) ทั้งนี้เนื่องจากพลังงานลดลง ($C_3^2/2$) ที่ออกจากการสเตจหนึ่งๆ สามารถถูกใช้ประโยชน์ในสเตจถัดไปได้ และถ้าสเตจนี้เป็นส่วนของเครื่องยนต์เทอร์บินเจ็ทแม่จะมีสเตจเดียวก็ยังใช้ได้ เพราะพลังงานลดลงของก๊าซร้อนที่กำลังปล่อยจากแฉลบพัดหมุนถูกใช้ต่อในแฉลบพัดนึงเพื่อการขับดัน (Propelling nozzle) ซึ่งคล้ายกับว่าเป็นสเตจสุดท้ายของโรงงานอุตสาหกรรมที่กำลังปล่อยก๊าซร้อนสู่บรรยากาศ พลังงานลดลงที่กำลังปล่อยออกไปถูกกักลับคืนในตัวกระจาดลม (Diffuser) หรือ กัน Holden (Volute) เรายังสามารถใส่ $p_{03} = p_a$ และยอมรับ η_s เป็นตัวประสิทธิภาพร่วม (Combined efficiency) ของสเตจสุดท้าย กับตัวกระจาดลมได้ สำหรับประสิทธิภาพเข็นไทรปีคิงที่แบบ total-to-static (total-to-static isentropic efficiency) แม้ว่าเราจะไม่ใช้มันแต่ถ้าจะใช้ก็ควรจะดีกว่าบางครั้งไม่ควรใช้สำหรับเทอร์บินตัวหนึ่งเป็นส่วนรวม และสำหรับที่มีสเตจเดียวและมันน่าจะถูกใช้ในที่ซึ่งมีการแยกการ

สูญเสียที่เทอร์บินกับที่ตัวกระจายไอดิฟฟิวเซอร์ (exhaust diffuser) ออกจากกัน เมื่อมันถูกประยุกต์ใช้กับสเตจฯ หนึ่ง เราจะมี

$$\text{ประสิทธิภาพแบบรวมต่อสถิตย์} (\text{total-to-static efficiency}) = \frac{T_{01} - T_{03}}{T_{01} - T'_3}$$

โดยที่ T'_3 = อุณหภูมิสถิตย์ที่ลงมาถึง หลังการขยายตัวของก๊าซแบบเอ็นโทรปีเท่าจากความดัน p_{01} ถึง p_3 คาดการณ์ได้ว่า ตราบเท่าที่ยังเกี่ยวข้องกับตัวเทอร์บินเป็นการเฉพาะ พลังงานจลน์ทั้งหมดของก๊าซที่กำลังออกจากเทอร์บินก็จะถูกปล่อยทิ้งเลย (เนื่องจากไม่มี diffuser มาต่อท้าย) และค่าของประสิทธิภาพตัวนี้ค่อนข้างจะน้อยกว่าประสิทธิภาพแบบทั้งหมดต่อทั้งหมด (total-to-total efficiency) ซึ่งเป็นตัวที่เราจะใช้ในบทนี้

ในการออกแบบเทอร์บินจะมีพารามิเตอร์ที่เป็นประโยชน์อยู่ 3 พารามิเตอร์ คือ พารามิเตอร์แรก (ซึ่งบอกขนาดความจุการทำงานของสเตจหนึ่งๆ) ถูกเรียกว่า สัมประสิทธิ์การโหลดพลังงานไปบนใบพัด (Blade loading coefficient) หรือบางที่เรียกว่า สัมประสิทธิ์การลดอุณหภูมิ (Temperature drop coefficient) ใช้สัญลักษณ์เป็น Ψ โดยเราจะนิยามเป็น $C_p \Delta T_{0s} / 1/2 U^2$ หรือบางครั้งอาจนิยามเป็น $C_p \Delta T_{0s} / U^2$ ด้วยก็ตาม ด้วยเหตุนี้เมื่ออาศัยสมการที่ 2.38 จะได้

$$\Psi = \frac{2C_p \Delta T_{0s}}{U^2} = \frac{2C_a}{U} (\tan \beta_2 + \tan \beta_3) \quad (2.41)$$

พารามิเตอร์ที่เป็นประโยชน์อีกด้วยหนึ่ง คือ ระดับของการเปลี่ยนแปลง (Degree of reaction) ใช้สัญลักษณ์ว่า Λ พารามิเตอร์ตัวนี้แสดงสัดส่วนการขยายตัวที่เกิดในส่วนหมุน (Rotor) ต่อการขยายตัวทั้งหมดหนึ่งสเตจ และตามปกติแล้วจะนิยามในเทอมของส่วนลดของอุณหภูมิสถิตย์หรือของเอนthalpy (Temperature or enthalpy drops) ค่อนข้างจะมากกว่าส่วนลดของความดัน (Pressure drop) ดังนี้

$$\Lambda = \frac{T_2 - T_3}{T_1 - T_3}$$

สำหรับชนิดของสเตจในรูปที่ 2.13 ที่เรากำลังพิจารณา ซึ่ง $C_{a2} = C_{a3} = C_a$ และ $C_3 = C_1$ นั้น สมการง่ายๆ อันหนึ่งสำหรับ Λ สามารถตัดแปรสืบเนื่องมาจากสมการที่ (2.39) ได้ดังนี้

$$C_p (T_1 - T_3) = C_p (T_{01} - T_{03}) = UC_a (\tan \beta_2 + \tan \beta_3)$$

ถ้าสัมพัทธ์กับใบพัดหมุนแล้ว ถือว่าการไหลของก๊าซไม่ได้ทำงาน และดังนั้นสมการพลังงานของก๊าซเหลาแบบสม่ำเสมอตามเวลา (steady flow) จะให้

$$\begin{aligned}
 C_p(T_2 - T_3) &= \frac{1}{2}(V_3^2 - V_2^2) \\
 &= \frac{1}{2}C_a^2(\sec^2 \beta_3 - \sec^2 \beta_2) \\
 &= \frac{1}{2}C_a^2(\tan^2 \beta_3 - \tan^2 \beta_2)
 \end{aligned}$$

และด้วยเหตุนี้

$$\Lambda = \frac{C_a}{2U}(\tan \beta_3 - \tan \beta_2) \quad (2.42)$$

พารามิเตอร์เวียนผ่ายตัวที่ 3 ซึ่งถูกข้างถึงบ่อยๆ ในกราฟออกแบบก๊าซเทอร์บิน์ป rak vuoy ในสมการทั้งคู่ ทั้งสมการที่ (2.41) และ (2.42) กล่าวคือ เป็นอัตราส่วน C_a/U ซึ่งถูกเรียกว่า สัมประสิทธิ์การไหล (Flow coefficient) ใช้สัญลักษณ์ว่า ϕ [ซึ่งแสดงบทบาทเหมือนกับอัตราส่วนความเร็วใบพัด (Blade speed ratio) U/C_a ซึ่งถูกใช้โดยนักออกแบบกังหันไอน้ำ] ด้วยเหตุนี้สามารถเขียนสมการที่ (2.41) และ (2.42) ใหม่ได้เป็น

$$\Psi = 2\phi(\tan \beta_2 + \tan \beta_3) \quad (2.43)$$

$$\Lambda = \frac{\phi}{2}(\tan \beta_3 - \tan \beta_2) \quad (2.44)$$

ถึงตอนนี้ สามารถแสดงมุมต่างๆ ของก๊าซในเทอมของ Ψ Λ และ ϕ ได้ดังต่อไปนี้ การบวกและลบสมการ (2.43) และ (2.44) ครั้งละสมการ จะได้

$$\tan \beta_3 = \frac{1}{2\phi}\left(\frac{1}{2}\Psi + 2\Lambda\right) \quad (2.45)$$

$$\tan \beta_2 = \frac{1}{2\phi}\left(\frac{1}{2}\Psi - 2\Lambda\right) \quad (2.46)$$

เมื่อใช้สมการที่ (2.36) เข้ามาช่วยเราจะได้

$$\tan \alpha_3 = \tan \beta_3 - \frac{1}{\phi} \quad (2.47)$$

$$\tan \alpha_2 = \tan \beta_2 + \frac{1}{\phi} \quad (2.48)$$

แม้ด้วยข้อจำกัดที่เราได้เสนอไปแล้วว่า $C_{a3} = C_{a2}$ และ $C_3 = C_1$ และด้วยการจดจำว่าการพิจารณาที่เน้นหนักจะเป็นการวางแผนข้อจำกัดไปที่ความเร็วใบพัด U แต่ก็ยังคงมีทางเลือกอื่นอย่างไม่จำกัดที่กำลังเผชิญต่อนักออกแบบ ตัวอย่างเช่น แม้ว่าจะกำหนดให้อุณหภูมิลดของเทอร์บิน์โดยรวม (Overall turbine temperature drop) คงที่โดยการคำนวณเป็นวัฏจักร แต่มันก็ยังเปิดต่อ

นักออกแบบว่าจะเลือกมี 1 หรือ 2 สเตจของค่า Ψ ที่มีค่าสูง หรือจะเลือกหลายสเตจแต่มีค่า Ψ ต่ำกว่า เพื่อที่จะจำกัดการถูกปั๊มหาน จุดนี้ของเรามาให้เดินหน้าต่อไป เราอาจสังเกตว่าเทอร์บิน ก๊าซบางตัวสำหรับโรงผลิตไฟฟ้าเป็นเครื่องจักรอัตราส่วนความดันต่ำ (Low pressure ratio machine) เมื่อเทียบกับมาตรฐานของเทอร์บินน้ำ (เข็น ในขอบเขตของ 10 : 1 เมื่อถูกเทียบกับ ของเทอร์บินน้ำที่มากถึง 1000 : 1 สำหรับวัฏจักรที่กำลังปฏิบัติการในระดับความดันน้ำต่ำ กว่าความดันวิกฤติ (Subcritical steam pressures) ด้วยเหตุนี้จึงมีกรณีสำหรับรับเอกสารเดชนิด กระตุ้น (Impulse stages) คือ $A=0$ ซึ่งพบรการใช้ที่ปลายแรงดันสูงของเทอร์บินน้ำมาใช้ ค่อนข้างน้อย เทอร์บินนิดกระตุ้น (Impulse designs) เป็นชนิดที่ให้ประสิทธิภาพสูงสุดสำหรับ การใช้งานที่ความดันสูงๆ เนื่องจากภายในตัวที่สภาระเข่นนั้น ความสูญเสียจากการรั่ว (Leakage losses) ที่เกี่ยวข้องกับช่วงห่างที่ปลายใบพัดหมุน (Rotor blade tip clearance) เกินกว่าในสเตจ ที่เปลี่ยนแปลง (Reaction stages) ต้องจำไว้ว่าที่ปลายแรงดันสูงของการขยายตัวอัตราส่วน แรงดันจะสูง ความแตกต่างของแรงดันสเตจมีค่าน่าพิจารณาแม้ว่าอัตราส่วนความดันของสเตจนั้น จะไม่มากนักก็ตาม ดังนั้นถ้าให้ลองตั้งค่า A ที่ใกล้ศูนย์ออกไปก่อน และสำหรับความต้องการ moment ลองพิจารณาการออกแบบที่ใช้ค่า reactions ที่ 50 เปอร์เซ็นต์ ($A = 50\%$) ความรู้ ทั่วไปของเรามากับพฤติกรรมตามธรรมชาติอาจช่วยแนะนำได้ว่า สามารถบรรลุผลสำเร็จในการ ออกแบบที่มีประสิทธิภาพสูงสุดได้เมื่อมีการแบ่งสัดส่วนการขยายตัวของก๊าซในແภาใบพัดนึงและ ในແภาใบพัดหมุนอย่างเท่าเทียมกัน เราจะเห็นในภายหลังว่า reaction นี้จะผันแปรตั้งแต่ค่าคงที่ ปลายใบพัด แต่ที่นี่เราจำလังคิดใช้ค่า reaction เท่ากับ 50 % และเป็น reaction ตรง เส้นผ่าศูนย์กลางเฉลี่ย (คือ ตรงกึ่งกลางของโคนและปลายใบพัด)

ใส่ $A = 0.5$ ในสมการที่ (2.44) จะมี

$$\frac{1}{\phi} = \tan \beta_3 - \tan \beta_2 \quad (2.49)$$

เมื่อเปรียบเทียบสมการนี้ตรงๆ กับความสัมพันธ์ตามสมการที่ (2.36) จะได้ว่า

$$\beta_3 = \alpha_2 \text{ และ } \beta_2 = \alpha_3 \quad (2.50)$$

กรณีเข่นนี้สามเหลี่ยมความเร็วจะถูกลายเป็นสมมาตร ยิ่งไปกว่านั้นถ้าเราจำလังพิจารณาสเตจชั้น คันหนึ่ง ที่มี $C_3 = C_1$ ทั้งทิศทางและขนาด เราจะได้ว่า $\alpha_1 = \alpha_3 = \beta_2$ ด้วย ถ้าเข่นนั้นใบพัดนึง กับใบพัดหมุนจะมีมุมทางเข้าและมุมทางออกเดียวกัน ในที่สุด จากสมการ (2.45) และสมการ (2.50) สำหรับค่า $A = 0.5$ เราจะได้

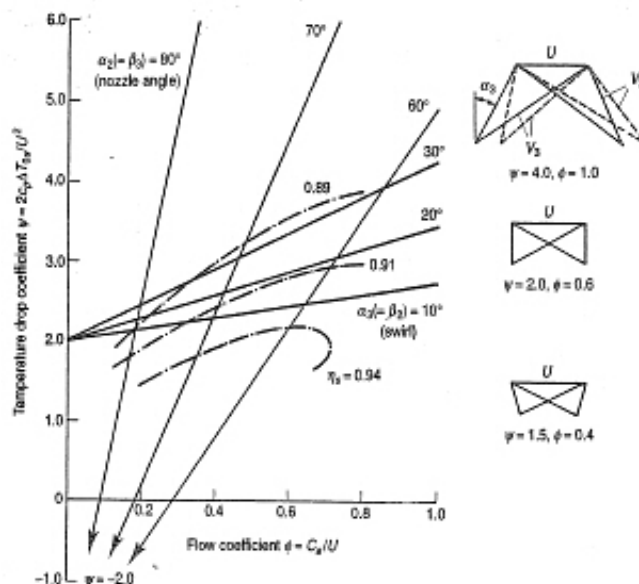
$$\Psi = 4\phi \tan \beta_3 - 2 = 4\phi \tan \alpha_2 - 2 \quad (2.51)$$

และจากสมการที่ (2.46) และ (2.50) เราจะได้

$$\Psi = 4\phi \tan \beta_2 + 2 = 4\phi \tan \alpha_3 + 2 \quad (2.52)$$

สมการที่ (2.50) (2.51) และ (2.52) ให้มุมก้าซทุกมุม ในเทอมของ Ψ และ ϕ รูปที่ 2.15 แสดงผลของการพล็อตมุมทางออกใบพัดนิ่ง (Nozzle outlet angles) คือ α_2 กับมุมส่ายของทางออกสเตจ (Stage outlet swirl angle) คือ α_3 ไปบนฐาน $\Psi - \phi$

เนื่องจากสามารถหาวุปร่างใบพัดภายใต้ขอบเขตปิด (Close limits) เช่น อุโมงค์ลมได้ โดยศึกษาหมุนต่างๆ ของก้าซที่กำลังให้ผลลัพธ์ดีที่สุด ผลของการทดสอบการไหลของก้าซเป็นทดสอบ (Results of cascade tests) ไปบนแก้วใบพัดต่างๆ เพื่อทำนายความสูญเสีย (Losses) ที่เกิดขึ้นและเพื่อประมาณประสิทธิภาพสเตจของช่วงของแบบต่างๆ ที่ออกแบบโดยใช้ Percent reaction เท่ากับ 50% (50 percent reaction designs) ซึ่งถูกครอบคลุมโดยรูปที่ 2.15 การประมาณเช่นนี้ถูกแสดงโดยคอนทัวร์ของประสิทธิภาพ (Efficiency contours) ที่ตั้งขึ้นกับใบพัดชาร์ต $\Psi - \phi$ ค่าต่างๆ ของ η_s บนคอนทัวร์แทนค่าเฉลี่ยของการประมาณ มีการใช้สมมุติฐานหลายอย่าง อาทิ เช่น โครงสร้างของใบพัด (Blade profile) อัตราส่วนความสูงต่อกว้างของคอร์ด (Blade aspect ratio) ช่องห่างของปลายใบพัดกับเฟรม (Tip clearance) และอื่นๆ และไม่ควรวางใจเกี่ยวกับค่าประสิทธิภาพสเตจที่แสดงในรูป 2.15 หากนักแม้กรันน์ยังถือว่าเป็นความรู้เกี่ยวกับแนวทางทั่วๆ ไป (General trend) ที่มีคุณค่าและมีความจำเป็นต่อนักออกแบบ กราฟแสดงเส้นโค้งที่คล้ายกันสำหรับค่า reaction อื่นๆ



รูปที่ 2.15 ออกแบบโดยใช้ Percent reaction เท่ากับ 50%

อาจสังเกตได้ว่าการออกแบบที่มีค่า Ψ และค่า ϕ ต่ำ จะให้ประสิทธิภาพสูง (η_s) ดีที่สุด การอ้างถึงสามเหลี่ยมความเร็วเชิงเปรียบเทียบซึ่งให้ไว้ในรูปที่ 2.15 (ถูกวัดสำหรับกรณีความเร็วใบพัด U คงที่) ทำให้เราเห็นว่าค่าต่ำๆ ของ Ψ กับ ϕ จะให้ค่าความเร็วภายในมีค่าต่ำ ดังนั้นจึงช่วยลดความสูญเสียเนื่องจากแรงเสียดทาน (Friction losses) ค่า Ψ ต่ำ หมายถึง ต้องการหลายสเตจมากกว่าในการที่จะให้ได้คาดพุทธของเทอร์โบนีโดยรวมตามต้องการ ขณะที่ค่า ϕ ต่ำ หมายถึง ต้องการพินที่ตัดขวางวงแหวน (Annulus area) ของเทอร์โบนีให้มากขึ้นเพื่อจะได้ปริมาณการไหลของก๊าซตามต้องการ สำหรับเครื่องยนต์เทอร์โบนีก๊าซในทางคุณภาพรวมตัวหนึ่งๆ เมื่อไม่เห็นความสำคัญของขนาดและน้ำหนักมากนัก และยังให้ความสำคัญกับการกิน เหือเพลิงต่ำ (low s.f.c.) ด้วยแล้ว มันก็อาจจะไว (sensible) ต่อการออกแบบด้วยค่า Ψ และ ϕ ที่ต่ำๆ แต่่อนว่าในสเตจสุดท้ายน่าจะต้องการความเร็วแนวแกน (C_a) และมุมส่าย α_3 เล็ก เพื่อควบคุมให้ความสูญเสียต่างๆ ที่เกิดขึ้นในตัวกระจาดก๊าซ (Exhaust diffuser) มีค่าต่ำลงอย่างไรก็ตามมันสำคัญมากสำหรับหน่วยขับดันอากาศยาน (Aircraft propulsion unit) ในการที่จะรักษาขนาดน้ำหนักตัวและพื้นที่ส่วนหน้า (frontal area) ให้ต่ำที่สุด จึงอาจต้องใช้ค่า Ψ และ ϕ ที่สูงกว่า การออกแบบสเตจให้มีประสิทธิภาพสูงสุดเป็นวิธีการหนึ่งที่จะนำไปสู่การออกแบบให้ได้โรงไฟฟ้าที่มีประสิทธิภาพสูงสุดตามความมุ่งหมาย และการกล่าวถึงค่า optimum ของ Ψ กับ ϕ ก็ไม่สามารถหาโดยปราศจากการคำนวนในรายละเอียดของการปฏิบัติงาน (Performance) ของอากาศยานโดยรวม อาจจะประยุกต์จากวิธีปฏิบัติของอากาศยาน (Aircraft practice) ในปัจจุบันว่า ค่า optimum สำหรับ Ψ จะอยู่ในช่วง 3 ถึง 5 ขณะที่ค่า ϕ อยู่ในช่วง 0.8 ถึง 1.0 มุมส่าย (Swirl angle) ต่ำ กล่าวคือ $\alpha_3 < 20^\circ$ น่าจะเป็นที่ต้องการ เนื่องจากการส่ายจะไปเพิ่มความสูญเสีย (Losses) ในท่อเจ็ท (Jet pipe) และช่องขับดัน (Propelling nozzle) นั่นคือ เพื่อรักษาค่า Ψ ให้สูง และค่า α_3 ให้ต่ำไว้ตามต้องการ ซึ่งอาจจำเป็นที่จะต้องใช้ค่า Degree of reaction ที่ค่อนข้างต่ำกว่า 50% เส้นปะในสามเหลี่ยมความเร็ว สำหรับค่า $\Psi = 4$ แสดงถึงสิ่งที่เกิดขึ้นเมื่อมีการลดสัดส่วนของการขยายตัวที่ถูกดำเนินงานในส่วนหมุน (Rotor) และ V_3 จะยิ่งเท่ากับ V_2 มากขึ้น ในขณะที่กำลังรักษาค่า U ค่า Ψ และค่า ϕ ให้คงที่

ในส่วนนี้จะแสดงตัวอย่างให้เห็นถึงการออกแบบโดยใช้ส่วนผ่าศูนย์กลางเฉลี่ยเป็นเชิงทดลองเริ่มแรก (First tentative mean-diameter design) และอธิบายค่าสูญเสีย (Loss) ต่างๆ ในແລวใบพัด มีการนำพารามิเตอร์หลัก 2 ตัว ซึ่งถูกอ้างอิงกับเทอมส่วนลดของคุณภาพมิและความดัน (Temperature and pressure drops) มาใช้อธิบาย โดยที่ความสามารถอธิบายพารามิเตอร์เหล่านี้ได้ดีที่สุดโดยการสังเกตว่ากระบวนการไหลในช่องต่างๆ (Passages) ของແລวใบพัดนั้นและແລว

ใบพัดหมุนบันไดอะแกรม T-s อย่างในรูปที่ 2.13 ด้านล่าง เส้นประเท่าและเส้นประสั้นยาวเขื่อมสถานะรวม (stagnation state) และสถานะสถิติ (Static state) ตามลำดับ $T_{02} = T_{01}$ เพราะว่าไม่มีการทำงานเกิดขึ้นขณะก้าชขยายตัวผ่านช่องต่างๆ ของແລວใบพัดนิ่ง ส่วนแนวระดับสั้นๆ ของเส้นที่บีบจะแน่นส่วนลดความดันรวม (Stagnation pressure drop) คือ $p_{01} - p_{02}$ ที่เกิดเนื่องจาก การที่ก้าชเสียดทานกับผนังใบพัดนิ่ง (Nozzles) ความสูญเสีย (Losses) จริงๆ อาจจะเกินจากในรูป เมื่อกำลังอยู่ที่อุณหภูมิที่สมมูลย์กับความเร็ว ก้าชที่กำลังทิ้งແລວใบพัดนิ่งออกมานี้ เราอาจจะกล่าวได้ว่า ก้าชนี้กำลังขยายตัวอย่างอุดมคติจาก T_{01} ถึง T_2' แต่ปรากฏว่าอุณหภูมิที่ลดจริงๆ เนื่องจากการเสียดทานจนมาถึงทางออกใบพัดนิ่งเท่ากับ T_2 เท่านั้น ซึ่งค่อนข้างสูงกว่า T_2' สัมประสิทธิ์ความสูญเสีย (Loss coefficient) สำหรับการขยายตัวผ่านແລວใบพัดนิ่งถูกนิยามดังนี้

$$\lambda_N = \frac{T_2 - T_2'}{C_2^2 / 2C_p} \quad \text{หรือ} \quad Y_N = \frac{p_{01} - p_{02}}{p_{02} - p_2} \quad (2.53)$$

ทั้ง λ และ Y แสดงสัดส่วนเล็กๆ ของพลังงานจนที่หมดของก้าชที่กำลังขยายตัวผ่านใบพัดนิ่ง (Leaving energy) ที่สูญเสียไปจากการเสียดทาน เราสามารถทำการวัดค่า Y_N สมพath ได้ โดยทำ Cascade tests [โดยผลต่างๆ ที่ได้กำลังถูกตัดแปลงเพื่อให้สำหรับผลกระทบ 3 มิติ (Three-dimensional effects)] บนเส้นเดียวกันกับที่ได้แสดงไว้สำหรับเครื่องอัดอากาศแนวแกน (Axial compressors) [ได้ด้วย] ในขณะที่สามารถใช้ λ_N ในการออกแบบได้ง่ายกว่า อย่างไรก็ตาม สามารถแสดงให้เห็นได้ว่า λ_N และ Y_N ไม่มีความแตกต่างกันเชิงตัวเลขมากนัก

จากไดอะแกรม T-s รูปที่ 2.13 จะเห็นว่าการขยายตัวต่อไปผ่านช่องแคบต่างๆ ของແລວใบพัดหมุน ความดันจะลดลงไปอยู่ที่ P_3 การขยายตัวแบบไอเซ็นโทรปิก (Isentropic expansion) โดยรวมของทั้งสเตจจะเป็นผลให้ได้อุณหภูมิสุดท้ายเป็น T_3' ลำพังการขยายตัวผ่านช่องแคบของແລວใบพัดหมุนเพียงอย่างเดียวอุณหภูมิจะลดไปที่ T_3'' แต่การขยายตัวที่มีการเสียดทานด้วยนำไปสู่การลดของอุณหภูมิไปที่ T_3 ความสูญเสียนี้ฝ่านແລວใบพัดหมุน (rotor blade loss) สามารถแสดงได้โดย

$$\lambda_R = \frac{T_3 - T_3''}{V_3^2 / 2C_p}$$

สังเกตได้ว่า λ_R ถูกนิยามเป็นสัดส่วนขนาดเล็กของพลังงานที่สูญเสียเนื่องจากการเสียดทานต่อพลังงานจนที่หมดของก้าชที่กำลังให้ผลผ่านใบพัดสัมพัทธ์กับการหมุนของແລວใบพัดนั้น เพื่อว่ามันจะสามารถถูกทำให้สมพath กับผลจากการทำ Cascade tests ได้ เนื่องจากถ้าสัมพัทธ์

กับใบพัดแล้ว ไม่มีการทำงานโดยก้าชเกิดขึ้น ดังนั้น $T_{03rel} = T_{02rel}$ สัมประสิทธิ์ความสูญเสีย (Loss coefficient) ในเทอมของความตันลด (Pressure drop) ถูกนิยามโดย

$$Y_R = \frac{p_{02rel} - p_{03rel}}{p_{03rel} - p_3}$$

เราอาจจะแสดงให้เห็นว่า λ และ Y ไม่แตกต่างกันในเชิงตัวเลขมากนักได้ด้วยข้อโต้แย้งที่จะแสดงต่อไปนี้ (ซึ่งประยุกต์ใช้กับແກ່ใบพัดนິ່ງແລະແກ່ใบพัดหมຸນແບບທ່າກັນ ແມ່ວ່າຈະຄູກພືສູຈົນໃຫ້ເຫັນສໍາຮັບແກ່ໃບພັດນິ່ງທ່ານັ້ນກົດຕາມ)

$$Y_N = \frac{p_{01} - p_{02}}{p_{02} - p_2} = \frac{\left(\frac{p_{01}}{p_{02}}\right) - 1}{1 - \left(\frac{p_2}{p_{02}}\right)}$$

แต่เนื่องจากว่า

$$\begin{aligned} \frac{p_{01}}{p_{02}} &= \frac{p_{01}}{p_2} \frac{p_2}{p_{02}} = \left(\frac{T_{01}}{T'_2}\right)^{\gamma/(\gamma-1)} \left(\frac{T_2}{T_{02}}\right)^{\gamma/(\gamma-1)} \\ &= \left(\frac{T_2}{T'_2}\right)^{\gamma/(\gamma-1)} \quad \text{เพราะວ່າ } T_{01} = T_{02} \end{aligned}$$

ดังนั้นจะได้

$$Y_N = \frac{\left(\frac{T_2}{T'_2}\right)^{\gamma/(\gamma-1)} - 1}{1 - \left(\frac{T_2}{T_{02}}\right)^{\gamma/(\gamma-1)}} = \frac{\left[1 + \frac{T_2 - T'_2}{T'_2}\right]^{\gamma/(\gamma-1)} - 1}{1 - \left[\frac{T_2 - T_{02}}{T_{02}} + 1\right]^{\gamma/(\gamma-1)}}$$

การกระจายนิพจน์ที่มีวงลືບอย่าง binomial และใช้ເນພາະເທອມແຮກທ່ານັ້ນ เราจะມີ

$$Y_N = \frac{T_2 - T'_2}{T_{02} - T_2} \times \frac{T_{02}}{T'_2} = \lambda_N \left(\frac{T_{02}}{T'_2} \right) \cong \lambda_N \left(\frac{T_{02}}{T_2} \right) \quad (2.54)$$

จากสมการที่ (8) ใน Appendix A [14] เราມີຄວາມສັມພັນທີ່ໄປອ່ອງວ່າ

$$\frac{T_{02}}{T_2} = \left(1 + \frac{\gamma - 1}{2} M^2 \right)$$

ແມ່ແຕ່ຄ້າ Mach number ທີ່ທາງອອກໃບພັດหมຸນນີ້ມີຄ່າທ່າກັນ 1 (เนื่องຈາກອາຈະເປັນສເຕັຈທີ່ຄູກໂລດຍ່າງສູງສໍາຮັບໃບພັດນິ່ງ) ກົດຈະໄດ້ວ່າ $\lambda = 0.86Y$ ແລະດ້ວຍເຫດຸນີ້ຈະເຫັນວ່າ λ ກົດຈະມີຄ່ານຳຍົກກວ່າ Y ເພີຍ 14% ທ່ານັ້ນ ປະເທດຂອງຂໍ້ມູນທີ່ມີອຸ່ນສໍາຮັບທໍານາຍຄ່າຂອງ λ ອີ້ວີ Y ຄູກ

อธิบายไว้ในหัวข้อที่ 7.4 ใน [14] λ_N และ λ_R เกี่ยวข้องกับประสิทธิภาพไอโซเท็นโทรปิก (Isentropic efficiency) ของสเตจ (η_s) ตามความสัมพันธ์ต่อไปนี้

$$\eta_s = \frac{T_{01} - T_{03}}{T_{01} - T'_{03}} = \frac{1}{1 + (T_{03} - T'_{03})/(T_{01} - T_{03})}$$

จากรูปที่ 2.13 จะเห็นว่า

$$T_{03} - T'_{03} \approx (T_3 - T'_3) = (T_3 - T''_3) + (T''_3 + T'_3)$$

แต่ $(T'_2/T'_3) = (T_3/T''_3)$ เนื่องจากทั้งคู่ต่างก็เท่ากับ $(p_2/p_3)^{(\gamma-1)/\gamma}$ การจัดเรียงเทอมใหม่และการลบทั้งสองข้างด้วย 1 เราจะได้

$$\frac{T''_3 - T'_3}{T'_3} = \frac{T_2 - T'_2}{T'_2} \text{ หรือ } (T''_3 - T'_3) \cong (T_2 - T'_2) \frac{T_3}{T_2}$$

ดังนั้นจะได้

$$\begin{aligned} \eta_s &\cong \frac{1}{1 + [(T_3 - T''_3) + (T_3/T_2)(T_2 - T'_2)]/(T_{01} - T_{03})} \\ &\cong \frac{1}{1 + [\lambda_R(V_3^2/2C_p) + (T_3/T_2)\lambda_N(C_2^2/2C_p)]/(T_{01} - T_{03})} \end{aligned} \quad (2.55)$$

การแทนบางตัวในสมการที่ (2.55) ด้วย

$$\begin{aligned} V_3 &= C_a \sec \beta_3 \\ C_2 &= C_a \sec \alpha_2 \\ \text{และ } C_p(T_{01} - T_{03}) &= UC_a (\tan \beta_3 + \tan \beta_2) \\ &= UC_a [\tan \beta_3 + \tan \alpha_2 - (U/C_a)] \end{aligned}$$

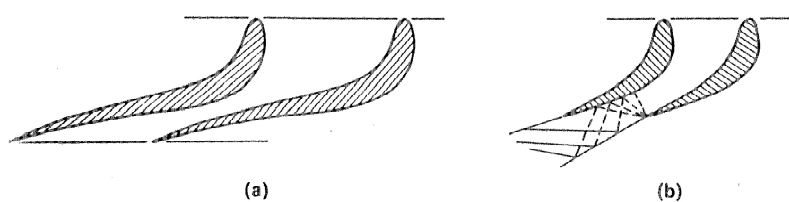
เราจะสามารถเขียนสมการที่ (2.55) ได้ใหม่เป็น

$$\eta_s \cong \frac{1}{1 + \frac{C_a}{2U} \left[\frac{\lambda_R \sec^2 \beta_3 + (T_3/T_2)\lambda_N \sec^2 \alpha_2}{\tan \beta_3 + \tan \alpha_2 - (U/C_a)} \right]} \quad (2.56)$$

เนื่องจาก $Y \approx \lambda$ ดังนั้นสามารถแทนค่าสัมประสิทธิ์ความสูญเสีย Y_R และ Y_N ด้วยค่า λ_R และ λ_N ในสมการที่ (2.55) และ (2.56) ได้ ถ้าต้องการ

สำหรับความมุ่งหมายของตัวอย่างที่จะกล่าวต่อไป เราจะสมมุติว่า $\lambda_N = 0.05$ และ $\eta_s = 0.9$ โดยในการแนะนำให้ใช้ค่า $\lambda_N = 0.05$ เนื่องจากเราสมมุติว่า Convergent nozzles กำลังถูกใช้งาน และสมมุติว่าใบพัดนิ่ง (Nozzles) เหล่านี้กำลังปฏิบัติการด้วยอัตราส่วนความดัน

p_{01}/p_2 ที่น้อยกว่าอัตราส่วนความดันวิกฤติ $[(\gamma + 1)/2]^{\gamma/(\gamma-1)}$ การที่ Convergent-divergent nozzles เมื่ออนที่แสดงในรูปที่ 2.16 (a) ไม่ได้ถูกนำมาใช้ ส่วนหนึ่งเนื่องจากมันทั้งหลายมีแนวโน้มด้อยประสิทธิภาพที่อัตราส่วนความดันอื่นๆ ที่นอกเหนือจากค่าที่ออกแบบ (ตัวอย่าง เช่น ตอนที่ใช้ part load) แต่เมื่อส่วนหนึ่งเนื่องจากโดยปกติแล้วค่า C_2 ที่สูงจะแสดงเป็นนายให้รู้ว่ามันจะให้ค่า V_2 ที่สูง ถ้าค่า Mach number ซึ่งสัมพัทธิกับใบพัดที่กำลังหมุนตรงทางเข้าคือ M_{V_2} ที่มีค่าเกินกว่า 0.75 และ อาจจะเกิดความสูญเสียส่วนเพิ่ม (Additional losses) ขึ้นได้ โดยการเกิดขึ้นของการอัดตัวของคลื่นเสียง (Shock wave) ในช่องใบพัดหมุน ความจริงถ้า V_2 ไม่สูงเกินไป (บางที่เป็น เพราะว่าค่า Flow coefficient ที่กำลังถูกให้มีค่าต่ำเมื่อมีอนในเทอร์บิน้ำก๊าซทางอุตสาหกรรม) ก็ไม่มีเหตุผลว่าทำไมถึงไม่ควรใช้ Convergent nozzles ในการปฏิบัติการที่อัตราส่วนความดันซึ่งกำลังให้ความเร็วขาออกที่เร็วเหนือเสียง (Supersonic) เล็กน้อย (คือ $1 < M_2 < 1.2$) เพราะดูเหมือนว่าเกิดความสูญเสียส่วนเพิ่ม (Additional loss) ขึ้นน้อยมาก ความดันที่คอดคอดของใบพัดนิ่ง (Nozzles) เป็นความดันวิกฤติ แต่มีการขยายตัวต่อไปเป็นแบบกึ่งควบคุม (Semi-controlled expansion) จนถึง P_2 หลังจากผ่านจุดคอดคอด ภาพที่วัดในรูปที่ 2.16 (b) แสดงให้เห็นว่า การไหลจะถูกควบคุมโดยขอบด้านหลัง (Trailing edge) ของใบพัดทางด้านด้านหน้า บนอีกด้านหนึ่งจะแสดงชูปเปอร์โซนิกจะขยายตัวรวมกับว่ากำลังหมุนรอบมุม กล่าวคือ ก็เป็นไปได้ที่จะคิดว่าเป็นการหักเหของกระแสนี้โดยการยึดถือเป็นการขยายตัวแบบ Prandtl-Meyer และโดยใช้วิธีของคุณลักษณะ (Method of characteristics) ขอให้ลองดู section A.8 ของ Appendix A ของ Cohen [14] สำหรับรายละเอียดที่ลึกเข้าไป



รูปที่ 2.16 ใบพัดนิ่งแบบ (a) Convergent-divergent และแบบ (b) Divergent อย่างเดียวที่กำลังปฏิบัติการที่อัตราส่วนความดันมากกว่าอัตราส่วนความดันวิกฤติ [14]

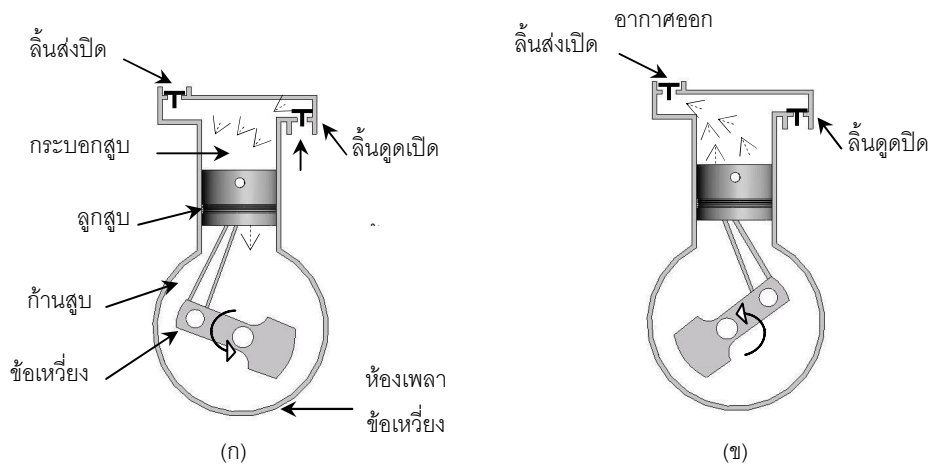
2.4 เครื่องอัดอากาศ (Air Compressor)

เครื่องอัดลมมีหน้าที่ดูดก๊าซเข้ามาทางท่อดูด อัดให้ก๊าซนั้นมีความกดดันสูงขึ้น และจึงปล่อยออกไปทางท่อปล่อย การอัดก๊าซเท่ากับเป็นการกดอัดก๊าซนั้นให้มีปริมาตรเล็กลง ความกดดันสูงขึ้น และอุณหภูมิของก๊าซ จะร้อนขึ้นจากเดิมด้วย ความร้อนจากการอัดก๊าซนี้เป็นจุดจำกัด

ในการออกแบบสร้างเครื่องอัดลม ว่าจะสามารถอัดได้ไม่เกินค่าใดค่าหนึ่ง เพราะมีฉนั้นก้าวจะร้อนจัดเกินไป วัสดุสร้างเครื่องอัดลมอาจไม่แข็งแรงพอได้ ปกติเมื่ออัดก๊าซแล้วครั้งหนึ่งๆ จะต้องลดความร้อนนั้นออกก่อนที่จะอัดต่อในขั้นที่สอง หรือนำไประเข้า [15]

2.4.1 เครื่องอัดอากาศแบบลูกสูบ (Reciprocating Air Compressor) [16]

เครื่องอัดอากาศแบบขั้นเดียวแสดงในรูปที่ 2.17 (ก) และ (ข)



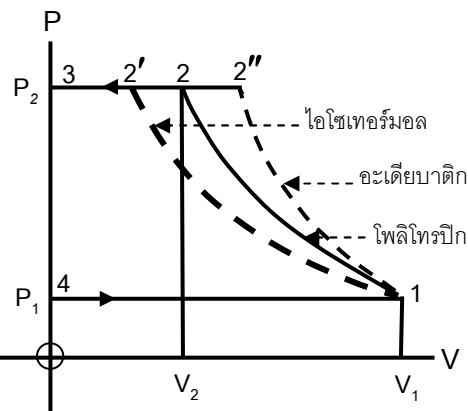
รูปที่ 2.17 (ก) และ (ข) แสดงเครื่องอัดอากาศแบบขั้นเดียว [15]

เครื่องอัดอากาศแบบนี้ประกอบด้วยลูกสูบที่เคลื่อนในกระบอกสูบโดยรับกำลังขับผ่านก้านสูบและข้อเหวี่ยงที่ประกอบอยู่ในห้องเพลาข้อเหวี่ยง มีลิ้นดูดและลิ้นส่งติดอยู่ตอนบนของหัวสูบ ลิ้นแบบนี้ทำงานโดยความดันแตกต่างกัน ซึ่งหมายความว่าจะทำงานเมื่อมีความดันแตกต่างระหว่างหน้าและหลังลิ้น การทำงานของเครื่องอัดอากาศเหล่านี้เป็นดังนี้

ในรูปที่ 2.17 (ก) ลูกสูบเคลื่อนที่ลงในกระบอกสูบอากาศที่ถูกอัดในจังหวะก่อนหน้านี้ที่ยังหลงเหลืออยู่จะขยายตัวจนมีความดันต่ำกว่าความดันดูดเข้าเล็กน้อย ซึ่งหมายความว่าอากาศด้านนอกของลิ้นดูดจะสูงกว่าด้านใน ดังนั้nlิ้นจะเปิดให้อากาศเข้า ในระหว่างจังหวะนี้ ลิ้นส่งจะปิด เพราะขณะนี้ความดันด้านนอกของลิ้นส่งจะสูงกว่าความดันภายในกระบอกสูบ ในรูปที่ 2.17 (ข) ขณะนี้ลูกสูบเคลื่อนที่ขึ้น ในช่วงแรกของจังหวะเคลื่อนขึ้น ความดันในกระบอกสูบสูงขึ้น เล็กน้อยเพียงพอที่จะทำให้ลิ้นดูดปิด ความดันของอากาศภายในกระบอกสูบจะเพิ่มขึ้นอย่างรวดเร็ว เมื่อถูกปิดอยู่ในกระบอกสูบอย่างสนิท จนมีความดันสูงกว่าความดันด้านนอกของลิ้นส่ง ซึ่งจะทำให้ลิ้นส่งเปิด ทำให้อากาศความดันสูงออกจากกระบอกสูบ และลิ้นส่งจะปิดในที่สุดเมื่อสุดจังหวะอัด ลูกสูบก็จะเริ่มเลื่อนลงในกระบอกสูบ ลิ้นดูดก็จะเปิดอีกครั้งหนึ่ง และวัฏจักรจะทำการทำซ้ำๆ ต่อไป อากาศที่ถูกปิดอยู่ในกระบอกสูบทองเครื่องอัดอากาศแบบนี้จะสามารถอัดให้มีความดันได้สูงมาก ทั้งนี้ขึ้นอยู่กับความแข็งแรงของวัสดุที่ทำขึ้นส่วนของเครื่องอัดและกำลังขับของ

มอเตอร์ เป็นที่น่าสังเกตว่า ในเครื่องอัดอากาศแบบลูกสูบ การไหลดของอากาศจะมีการหยุดเป็นจังหวะๆ

ในรูปที่ 2.18 แสดงแผนภาพ $P-V$ ตามทฤษฎีสำหรับการทำงานของเครื่องอัดอากาศ โดยไม่มีคิดซึ่งว่างหัวสูบ



รูปที่ 2.18 แสดงแผนภาพความสัมพันธ์ระหว่างความดันและปริมาตร ($P - V$)

ของเครื่องอัดอากาศ [16]

การทำงานช่วงต่างๆ ในแผนภาพเป็นดังนี้คือ

4-1 อากาศปริมาตร V , ที่ความดัน P , และอุณหภูมิ T , เข้าไปในระบบออกสูบ

1-2 อากาศถูกอัดตามกฎ $PV^n = C$ จากความดัน P , จะสูงขึ้นไปเป็น P_2 ปริมาตรลดลงจาก V , เหลือ V_2 และอุณหภูมิเพิ่มขึ้นจากอุณหภูมิ T , ขึ้นเป็น T_2

2-3 อากาศความดันสูง P_2 ปริมาตร V_2 และอุณหภูมิ T_2 ออกจากเครื่องอัด

ในระหว่างจังหวะอัด เนื่องจากอากาศที่ถูกอัดอุณหภูมิสูงกว่าบริเวณรอบๆ เครื่องอัดอากาศจะเสียความร้อนไปบ้างแม้จะไม่พิจารณาความเสียดทานภายในระหว่างกระบวนการออกสูบของลูกสูบซึ่งน้อยมากแต่เครื่องอัดแบบลูกสูบก็ยังมีค่าดัชนี n ที่น้อยกว่าค่าดัชนีอะเดียบัติก γ ดังนั้นงานที่ต้องทำเพื่ออัดอากาศส่งเข้าก็ยังมีค่ามากกว่าการอัดแบบอะเดียบัติก ความพยายามในการลดความสูญเสียต่างๆ ย่อมหมายถึงการลดงานส่งเข้า

พิจารณาแผนภาพ $P - V$ ดังรูปที่ 2.18 แสดงขบวนการอะเดียบัติกแบบไม่มีความเสียดทานช่วง $1 - 2''$ และถ้ากระบวนการอัดเป็นไปตามขบวนการไอโซเทอร์โมด $1 - 2'$ แทนที่จะเป็นตามขบวนการโพลิໂทรົປິກ $1 - 2$ ดังนั้นงานก็คือพื้นที่ของแผนภาพจะลดลง ซึ่งตามความเป็นจริงจะเป็นค่าต่ำสุด ขบวนการอัดแบบไอโซเทอร์โมดไม่สามารถจะทำได้ในทางปฏิบัติ แต่ได้มีความพยายามที่จะให้ขบวนการใกล้เคียงไอโซเทอร์โมด เช่น กรณีการหล่อเย็นเครื่องอัดโดยการทำครีบระบายความร้อน หรือการทำตาน้ำหล่อเย็นที่เสื้อสูบเป็นต้น

สำหรับเครื่องอัดแบบลูกสูบ การเปรียบเทียบระหว่างงานจริงที่ทำระหว่างจังหวะอัดและงานไอโซเทอร์มอลตามอุดมคติเรียกว่า ประสิทธิภาพไอโซเทอร์มอล ซึ่งนิยามไว้ดังนี้

$$\frac{\text{ประสิทธิภาพไอโซเทอร์มอล}}{\text{งานไอโซเทอร์มอล}} = \frac{\text{งานไอโซเทอร์มอล}}{\text{งานจริง}} \quad (2.57)$$

ค่าประสิทธิภาพไอโซเทอร์มอลยิ่งสูงเท่าไรก็หมายถึงว่า ขบวนการอัดจริงจะเข้าใกล้ขบวนการอัดไอโซเทอร์มอลตามอุดมคติเท่านั้น

เมื่อไม่พิจารณาการเปลี่ยนแปลงพลังงานศักย์ และถ้า $H =$ เอนทัลปีของมวลจริงผ่านเครื่องอัด และไม่นำมาการเปลี่ยนแปลงพลังงานจนมาพิจารณา เนื่องจากมีค่าเปลี่ยนแปลงน้อยมาก ดังนั้นมีทำการหารสมดุลพลังงานของเครื่องอัดแบบลูกสูบจะได้สมการพลังงานเป็นดังนี้คือ

$$H_1 + Q = H_2 + W \quad (2.58)$$

$$\text{หรือ} \quad W = (H_1 - H_2) + Q \quad (2.59)$$

$$= mC_p(T_1 - T_2) + \frac{(\gamma - n)(P_1V_1 - P_2V_2)}{(\gamma - 1)(n - 1)} \quad (2.60)$$

$$\text{จาก } C_p - C_v = R \text{ และ } \frac{C_p}{C_v} = \gamma$$

$$\therefore C_v = \frac{C_p}{\gamma}$$

$$\text{ดังนั้น } C_p - \frac{C_p}{\gamma} = R$$

$$\therefore C_p \left(\frac{\gamma - 1}{\gamma} \right) = R \quad (2.61)$$

$$\text{หรือ } C_p = \frac{R\gamma}{(\gamma - 1)}$$

แทนค่าสมการ (2.61) ในสมการ (2.60)

$$\begin{aligned} W &= \frac{\gamma}{\gamma - 1} mR(T_1 - T_2) + \frac{(\gamma - n)}{(\gamma - 1)} \frac{(P_1V_1 - P_2V_2)}{(n - 1)} \\ &= \frac{\gamma}{\gamma - 1} (P_1V_1 - P_2V_2) + \frac{(\gamma - n)}{(\gamma - 1)} \frac{(P_1V_1 - P_2V_2)}{(n - 1)} \end{aligned}$$

เพราะว่า $PV = mRT$ ดังนั้น

$$\begin{aligned}
W &= \frac{(P_1V_1 - P_2V_2)}{(\gamma-1)} \left[\gamma + \frac{(\gamma-n)}{(n-1)} \right] \\
&= \frac{(P_1V_1 - P_2V_2)}{(\gamma-1)} \left[\frac{\gamma n - \gamma + \gamma - n}{(n-1)} \right] \\
&= \frac{(P_1V_1 - P_2V_2)}{(\gamma-1)} \left[\frac{n(\gamma-1)}{(n-1)} \right] \\
&= \frac{n}{n-1} (P_1V_1 - P_2V_2) \tag{2.62}
\end{aligned}$$

$$W = \frac{n}{n-1} mR(T_1 - T_2) \tag{2.63}$$

ค่าของงานนี้ก็คือพื้นที่ของแผนภาพ $P-V$ ในรูป 2.18

$$\oint W = \text{พื้นที่สูญเสียของแผนภาพ}$$

$\oint W$ หมายถึงงานต่อวัฏจักร

$$\begin{aligned}
&= \text{พื้นที่ } 4 - 1 - 2 - 3 \\
&= (\text{พื้นที่ } 4 - 1) - (\text{พื้นที่ } 1 - 2) - (\text{พื้นที่ } 2 - 3) \\
&= P_1V_1 - \left(\frac{P_2V_2 - P_1V_1}{n-1} \right) - P_2V_2 \\
&= (P_1V_1 - P_2V_2) - \left(\frac{P_2V_2 - P_1V_1}{n-1} \right) \\
&= (P_1V_1 - P_2V_2) + \left(\frac{P_1V_1 - P_2V_2}{n-1} \right) \\
&= \left(1 + \frac{1}{n-1} \right) (P_1V_1 - P_2V_2) \\
\oint W &= \frac{n}{n-1} (P_1V_1 - P_2V_2) \tag{2.64}
\end{aligned}$$

สมการ (2.64) นี้เมื่อเขียนใหม่จะได้

$$\begin{aligned}
\oint W &= \frac{n}{n-1} (P_1V_1 - P_2V_2) \\
&= \frac{n}{n-1} P_1V_1 \left(1 - \frac{P_2V_2}{P_1V_1} \right) \tag{2.65}
\end{aligned}$$

$$\text{จาก } P_1V_1^n = P_2V_2^n$$

$$\therefore \frac{V_2}{V_1} = \left(\frac{P_1}{P_2} \right)^{1/n}$$

แทนค่าในสมการ (2.65)

$$\begin{aligned} \oint W &= \frac{n}{n-1} P_1 V_1 \left[1 - \frac{P_2}{P_1} \left(\frac{P_1}{P_2} \right)^{1/n} \right] \\ &= \frac{n}{n-1} P_1 V_1 \left[1 - \frac{P_2}{P_1} \left(\frac{P_2}{P_1} \right)^{-1/n} \right] \\ &= \frac{n}{n-1} P_1 V_1 \left[1 - \left(\frac{P_2}{P_1} \right)^{1-1/n} \right] \\ &= \frac{n}{n-1} P_1 V_1 \left[1 - \left(\frac{P_2}{P_1} \right)^{(n-1)/n} \right] \end{aligned} \quad (2.66)$$

เมื่อแทนค่าสมการนี้ ผลลัพธ์ที่ได้จะเป็นลบเสมอ ซึ่งหมายความว่าจะต้องเสียงานเพื่อการอัดของเครื่องอัด ถ้าจะหาเพียงค่าของงานเท่านั้น ก็อาจหาได้จากสมการดังต่อไปนี้

$$\oint W = \frac{n}{n-1} P_1 V_1 \left[\left(\frac{P_2}{P_1} \right)^{(n-1)/n} - 1 \right] \quad (2.67)$$

$$= \frac{n}{n-1} m R T_1 \left[\left(\frac{P_2}{P_1} \right)^{(n-1)/n} - 1 \right] \quad (2.68)$$

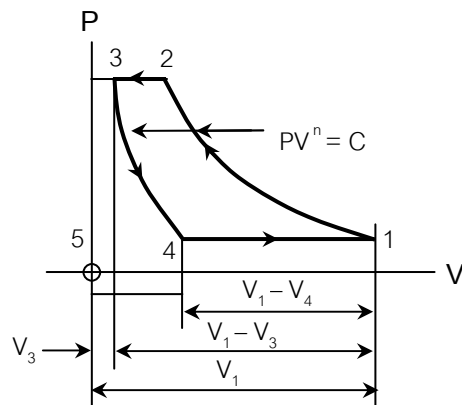
ถ้าต้องการหาอุณหภูมิของอากาศที่ออกจากเครื่องอัดจะหาได้จากสมการ

$$\begin{aligned} \frac{T_2}{T_1} &= \left(\frac{P_2}{P_1} \right)^{(n-1)/n} \\ \text{หรือ} \quad T_2 &= T_1 \left(\frac{P_2}{P_1} \right)^{(n-1)/n} \end{aligned} \quad (2.69)$$

2.4.2 ผลของปริมาตรหัวสูบ (Effect of Clearance Volume)

สำหรับเครื่องอัดอากาศแบบลูกสูบทุกชนิด ในทางปฏิบัติจะต้องมีปริมาตรหัวสูบเสมอ ซึ่งหมายถึงปริมาตรของช่องว่างในระบบอุ้งสูบหลังจากที่ลูกสูบเคลื่อนเข้าสุดในจังหวะอัด

การมีปริมาตรหัวสูบจะมีผลดังนี้



รูปที่ 2.19 แสดงความสัมพันธ์ระหว่างปริมาตรหัวสูบกับความดัน [16]

เมื่อพิจารณาที่จุด 1 ของรูป 2.19 กระบวนการอัดอากาศเข้าเต็มที่ มีปริมาตร V_1 และอยู่ที่จุดเริ่มต้นของจังหวะอัด อากาศจะถูกอัดแบบโพลิโกราฟตามกฎ $PV^n = C$ จนความดันสูงขึ้นเป็น P_2 และปริมาตรเป็น V_2 ที่จุด 2 ตามทฤษฎีลินจิเปิด และในจังหวะจาก 2 ไป 3 อากาศที่ถูกอัดจะถูกส่งออกจากการบักสูบ ที่จุด 3 ลูกสูบถึงจุดสุดท้ายของการเคลื่อนที่ขึ้น การจ่ายลมจะหยุดลงที่นี่ V_3 ก็คือ ปริมาตรหัวสูบ ซึ่งยังคงมีอากาศที่ถูกอัดเหลืออยู่ ขณะลูกสูบเริ่มจังหวะดูดอากาศจำนวนนี้จะขยายตัวตามกฎ $PV^n = C$ และลิ้นดูดจะยังไม่เปิดให้อากาศเข้าจนกว่าความดันจะลดลงจนถึงความดันดูดที่จุด 4 อากาศใหม่จึงจะเข้าไปในกระบวนการบักสูบ ปริมาตรที่เข้าใหม่เท่ากับ $(V_1 - V_4)$ ซึ่งเรียกว่า ปริมาณแทนที่ใช้งาน (Effective swept volume)

อัตราส่วน

$$\frac{\text{ปริมาณแทนที่ใช้งาน}}{\text{ปริมาณแทนที่}} = \frac{V_1 - V_4}{V_1 - V_3} \quad (2.70)$$

เรียกว่า ประสิทธิภาพโดยปริมาตร เนื่องจากมีปริมาตรหัวสูบ ค่านี้จะน้อยกว่าหนึ่งเสมอ เปอร์เซ็นต์ของประสิทธิภาพโดยปริมาตรจะอยู่ระหว่าง 60 ถึง 85 เปอร์เซ็นต์

อัตราส่วน

$$\frac{\text{ปริมาตรหัวสูบ}}{\text{ปริมาตรแทนที่}} = \frac{V_3}{V_1 - V_3} \quad (2.71)$$

เรียกว่า อัตราส่วนปริมาตรหัวสูบ

เมื่อคิดเป็นเปอร์เซ็นต์ อัตราส่วนนี้จะมีค่าโดยทั่วไปอยู่ระหว่าง 4% และ 10% อัตราส่วนความดันของเครื่องอัดยิ่งมากเท่าไร ผลของปริมาตรหัวสูบจะมากขึ้นเท่านั้น เมื่ออากาศตอนหัวสูบขยายตัวมีปริมาตรมากกว่า ก่อนจะถึงสภาวะของการดูดเข้า ขนาดของระบบบักสูบและระยะหัก

คงที่ ซึ่งหมายถึงว่าปริมาตรแทนที่ใช้งาน $(V_1 - V_4)$ จะลดลง ขณะที่อัตราส่วนความดันเพิ่มขึ้น มีผลให้ประสิทธิภาพโดยปริมาตรลดลงด้วย เหตุผลนี้แสดงให้เห็นได้ดังนี้

$$\begin{aligned}
 \text{ประสิทธิภาพโดยปริมาตร} &= \frac{V_1 - V_4}{V_1 - V_3} \\
 &= \frac{(V_1 - V_3) + (V_3 - V_4)}{(V_1 - V_3)} \\
 &= 1 + \frac{V_3}{(V_1 - V_3)} - \frac{V_4}{(V_1 - V_3)} \\
 &= 1 + \frac{V_3}{(V_1 - V_3)} - \frac{V_4}{(V_1 - V_3)} \frac{V_3}{V_3} \\
 &= 1 + \frac{V_3}{(V_1 - V_3)} - \frac{V_3}{(V_1 - V_3)} \frac{V_4}{V_3} \\
 &= 1 + \frac{V_3}{(V_1 - V_3)} \left[1 - \frac{V_4}{V_3} \right] \\
 &= 1 - \frac{V_3}{(V_1 - V_3)} \left[\frac{V_4}{V_3} - 1 \right] \\
 &= 1 - \frac{V_3}{(V_1 - V_3)} \left[\left(\frac{P_2}{P_1} \right)^{1/n} - 1 \right] \quad (2.72)
 \end{aligned}$$

$$\text{เพริมาณ } \frac{V_4}{V_3} = \left(\frac{P_2}{P_1} \right)^{1/n}$$

ซึ่งแสดงให้เห็นว่า สำหรับสภาวะของระบบอุกสูบคงที่ที่ V_1 และ V_3 อัตราส่วนความดัน P_2/P_1 มากขึ้น ดังนั้นประสิทธิภาพโดยปริมาตรจะน้อยลง

$$\begin{aligned}
 \text{งาน/วัฏจักร} &= \text{พื้นที่จริง } 1 - 2 - 3 - 4 \\
 &= (\text{พื้นที่ } 5 - 1 - 2 - 6) - (\text{พื้นที่ } 5 - 4 - 3 - 6)
 \end{aligned}$$

สมมติว่า ค่าดัชนีของขบวนการโพลิโตรีบิกของการอัดและการขยายตัวของปริมาตรหัวสูบมีค่าเท่ากัน ดังนั้น

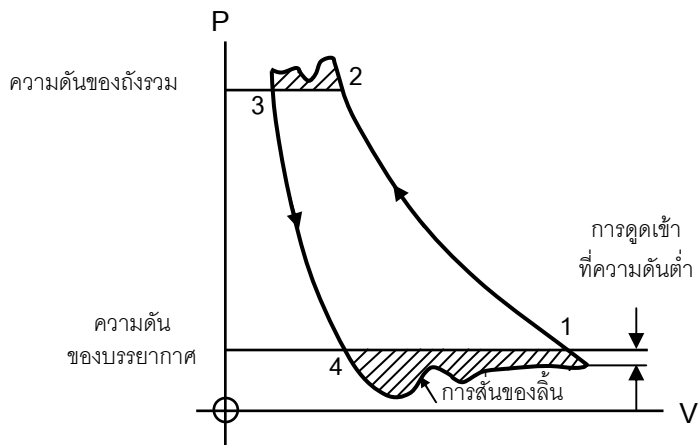
$$\oint W = \frac{n}{n-1} P_1 V_1 \left[\left(\frac{P_2}{P_1} \right)^{(n-1)/n} - 1 \right] - \frac{n}{n-1} P_4 V_4 \left[\left(\frac{P_3}{P_4} \right)^{(n-1)/n} - 1 \right] \quad (2.73)$$

แต่ความดัน $P_4 = P_1$ และ $P_3 = P_2$ ดังนั้นสมการ (2.73) จะกลายเป็น

$$\begin{aligned} \oint W &= \frac{n}{n-1} P_1 V_1 \left[\left(\frac{P_2}{P_1} \right)^{(n-1)/n} - 1 \right] - \frac{n}{n-1} P_1 V_4 \left[\left(\frac{P_2}{P_1} \right)^{(n-1)/n} - 1 \right] \\ &= \frac{n}{n-1} P_1 (V_1 - V_4) \left[\left(\frac{P_2}{P_1} \right)^{(n-1)/n} - 1 \right] \end{aligned}$$

2.4.3 แผนภาพจิริของเครื่องอัดแบบลูกสูบ (Actual Reciprocating Compressor Diagram)

รูปที่ 2.20 แสดงแผนภาพจิริของเครื่องอัดโดยมีจุด 1-2-3-4 เป็นแผนภาพ $P - V$ ตามทฤษฎีได้กล่าวมาแล้ว



รูปที่ 2.20 แสดงแผนภาพจิริของเครื่องอัดแบบลูกสูบ [16]

ที่จุด 4 เมื่ออากาศที่หัวสูบลดความดันลงเหลือเท่ากับความดันของบรรยายกาศ ในทางปฏิบัติลิ้นดูดจะยังไม่เปิดให้อากาศเข้า ทั้งนี้มีเหตุผลอยู่ 2 ประการ ประการแรกจะต้องมีความดันแตกต่างที่ลิ้นดูดที่จะทำให้ลิ้นเปิด ประการที่สองก็คือจะต้องมีแรงเนื้อยในการเปิดลิ้น เมื่อความดันต่ำลงจนลิ้นดูดหักออกจากบ่าลิ้น ลิ้นบางตัวจะสั่นก่อนจะเข้าที่ซึ่งแสดงไว้เป็นเส้นลูกคลื่น และบางที่การดูดเข้าค่อนข้างจะสม่ำเสมอที่ความดันต่ำกว่าความดันบรรยายกาศความแตกต่างในทางลบของความดัน เรียกว่า การดูดเข้าที่ความดันต่ำ (Intake Depression)

ในสภาพการคล้ายๆ กันที่จุด 2 หรือที่จุดเริ่มต้นของการจ่ายลม เมื่อความดันสูงขึ้นและมีการสั่นของลิ้น ความดันของไออกไซเจนสูงกว่าความดันของอากาศนอกลิ้นส่ง อากาศโดยปกติจะออกไปเข้าถังรวม (Receiver) ความดันจ่ายด้านนอกของลิ้นส่งบางที่เรียกว่า ความดันของถังรวม (Receiver Pressure) ผลลัพธ์ที่เกิดขึ้นตรงทางดูดและทางส่งก็คือแรงเฉียบของก๊าซ และการ

ไนลวน (Turbulence) ของอากาศ ผลต่างๆ ที่เกิดขึ้นในทางปฏิบัติที่ได้ก่อร่องรอยมาแล้วนี้แสดงไว้ที่พื้นที่แรเงาในรูป 2.20 ที่ต่อจากพื้นที่ตามทฤษฎี 1-2-3-4

2.4.4 ปริมาตรอิสระของอากาศที่ออกจากเครื่องอัด (Free Air Delivery)

ถ้าปริมาตรของอากาศที่ถูกอัดด้วยเครื่องอัดลดลงจนมีอุณหภูมิและความดันเท่ากับบรรยากาศ ปริมาตรของอากาศนี้เรียกว่า ปริมาตรอิสระของอากาศ

ควรจะจำไว้ว่า ที่นี่ว่า เนื่องจากเป็นการให้อดต่อเนื่องเราจะได้

$$\text{มวลสั่ง} = \text{มวลดูด}$$

เมื่อใช้สมการของกําช และสมมุติว่ามีปริมาตรหัวสูบ

$$\frac{P_f V_f}{T_f} = \frac{P_1 (V_1 - V_4)}{T_1} = \frac{P_2 (V_2 - V_3)}{T_2}$$

(2.74)

ถ้าไม่คิดปริมาตรหัวสูบ สมการ (2.74) จะเปลี่ยนเป็น

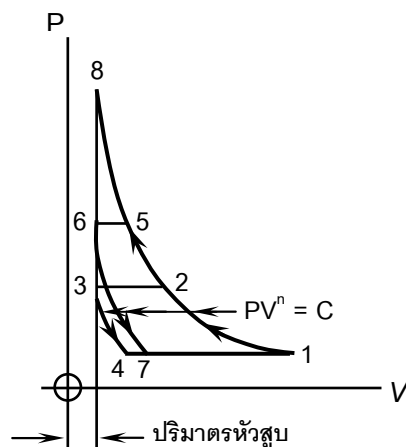
$$\frac{P_f V_f}{T_f} = \frac{P_1 V_1}{T_1} = \frac{P_2 V_2}{T_2}$$

(2.75)

โดย P_f และ T_f คือความดันและอุณหภูมิปกติซึ่งเท่ากับ $0.101325 \text{ MNm}^{-2}$ ($101.325 \text{ kNm}^{-1} = 1.01325 \text{ bar}$) และ 288 K (15°C) ตามลำดับ

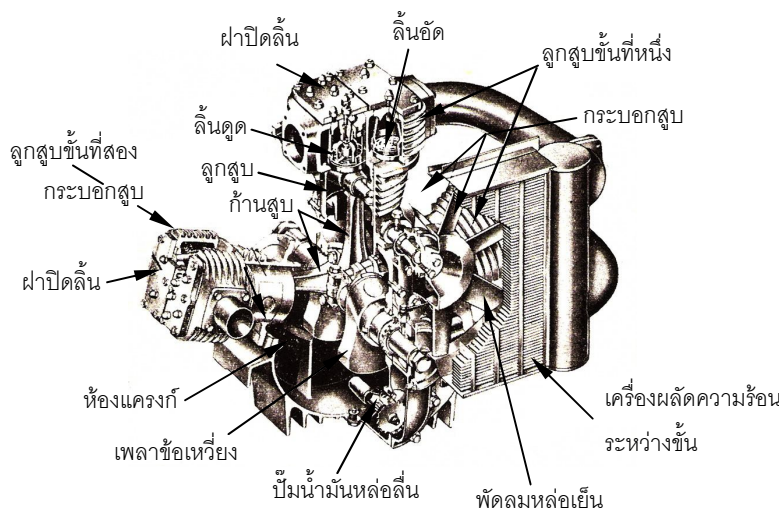
2.4.5 เครื่องอัดอากาศแบบลูกสูบหลายขั้น (Multistage Reciprocating Compressor)

เมื่อการส่งอากาศออกของเครื่องอัดแบบลูกสูบเดียวถูกกีดขวาง ย่อมจะทำให้ความดันยังเพิ่มขึ้น ถ้าความดันของอากาศสูงมากเกินไปก็จะมีข้อเสียเกิดขึ้น



รูปที่ 2.21 แสดงความสัมพันธ์ระหว่างความดันและปริมาตรของเครื่องอัดอากาศแบบลูกสูบหลายขั้น [16]

พิจารณารูป 2.21 ประกอบ สมมุติว่าความดันของเครื่องอัดอากาศขึ้นเดียวสูงขึ้นเป็น P_2 ดังนั้น วัฏจักรที่สมบูรณ์จะเป็นไปตาม 1-2-3-4 ปริมาตรของอากาศที่เหลือที่หัวสูบที่ขยายตัวออก จะเป็นไปตาม 3—4 และมวลของอากาศในหลังผ่านเครื่องอัดจะถูกควบคุมด้วยปริมาตรคงที่ ($V_1 - V_4$) สมมุติว่าขณะนี้อากาศถูกกีดขวางทางด้านส่องออก ความดันส่องออกสูงขึ้นเป็น P_5 และวัฏจักรใหม่กล้ายเป็น 1-5-6-7 ปริมาตรของอากาศที่หัวสูบจะขยายตัวตาม 6—7 มวลของอากาศในหลังผ่านเครื่องอัดก็จะถูกควบคุมด้วยปริมาตรแทนที่ ($V_1 - V_7$) ซึ่งน้อยกว่าปริมาตรแทนที่ครั้งแรก ($V_1 - V_4$)



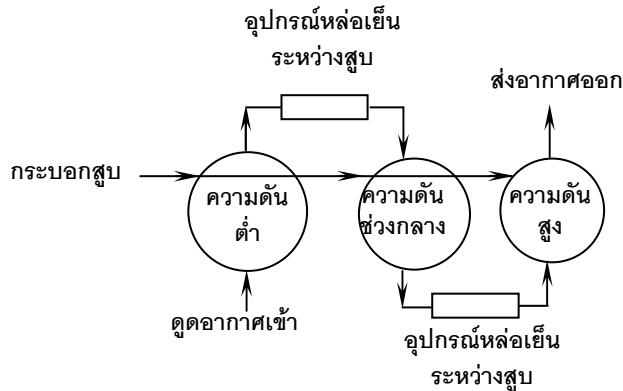
รูปที่ 2.22 แสดงเครื่องอัดลงสองขั้น [16]

ในขบวนเดียวกันนี้ สมมุติว่าเครื่องอัดแข็งแรงพอ ซึ่งการอัดจะเป็นไปตาม 1—8 โดย $V_8 =$ ปริมาตรหัวสูบ ซึ่งในกรณีนี้จะไม่มีช่วงส่งอากาศออก จะเห็นได้ว่าเมื่อความดันส่องออกของเครื่องอัดแบบลูกสูบขันเดียวเพิ่มขึ้น มวลของอากาศที่ให้หลังผ่านเครื่องอัดจะน้อยลง

ข้อน่าสังเกตอีกจุดหนึ่งคือ เมื่อความดันส่องออกสูงขึ้น อุณหภูมิของอากาศส่องออกก็จะสูงขึ้นด้วย จากรูป 2.21 อุณหภูมิ $T_8 > T_5 > T_2$ ทำเรามีต้องการอากาศที่มีอุณหภูมิสูง การที่อุณหภูมิเพิ่มขึ้นย่อมหมายถึงการสูญเสียพลังงานนั่นเอง

ถ้าต้องการให้เครื่องอัดอากาศแบบขั้นเดียวอัดอากาศให้ได้ความดันสูงๆ ก็จำเป็นที่จะต้องสร้างให้มีโครงสร้างให้แข็งแรงมาก รวมทั้งต้องใช้ชิ้นส่วนประกอบที่แข็งแรงพอด้วย ทั้งนี้อาจจะมีปัญหาทางด้านการสมดุล และเมื่อมีทอร์กสูง ซึ่งย่อมต้องใช้ล้อเหวี่ยงขนาดโตขึ้นด้วย

เนื่องจากข้อเสียต่างๆ ของเครื่องอัดอากาศแบบขั้นเดียวที่ได้กล่าวมาแล้วมีมาก จึงได้หันมาใช้เครื่องอัดอากาศแบบหลายขั้น ซึ่งประกอบด้วยระบบอัดหลายระบบต่อเนื่องกัน โดยอากาศที่ส่องออกจากระบบอัดสูบที่จะวิงไว้ไปเข้าระบบอัดสูบถัดไป



รูปที่ 2.23 แสดงการต่อระบบออกสูบของเครื่องอัดแบบสามขั้น [16]

จากรูปที่ 2.23 อัตราส่วนความดันต่ำในระบบออกสูบความดันต่ำหมายถึงว่า การขยายตัวของปริมาตรของอากาศที่หัวสูบจะลดลง ซึ่งจะทำให้ปริมาตรแทนที่จริงในระบบออกสูบเพิ่มขึ้น ซึ่งระบบออกสูบนี้จะทำหน้าที่ควบคุมมวลของอากาศที่ไอล่อผ่านเครื่องอัดอากาศทั้งหมด เพราะระบบออกสูบนี้ทำหน้าที่ดูดอากาศเข้ามาในเครื่องเพียงสูบเดียว ดังนั้น เครื่องอัดแบบหลายขั้นจึงสามารถส่งมวลผ่านเครื่องอัดได้มากกว่าเครื่องแบบขั้นเดียว

เพื่อที่จะลดอุณหภูมิของอากาศที่ออกจากเครื่องอัดจึงได้ติดอุปกรณ์หล่อเย็นระหว่างลูกสูบเอาไว้ การลดอุณหภูมิย่อมหมายถึงการลดพลังงานภายในของอากาศที่ออกจากเครื่องอัดด้วย และเมื่อพลังงานนี้ได้มาจากการผลิตงานที่ใช้ในการอัดของเครื่องอัด ผลลัพธ์นี้จึงเป็นการช่วยลดงานที่ต้องใช้ในการอัดลง เครื่องอัดแบบหลายขั้นสามารถจะปรับให้สมดุลได้ง่าย และมีทอร์กต่ำกว่าแบบขั้นเดียว

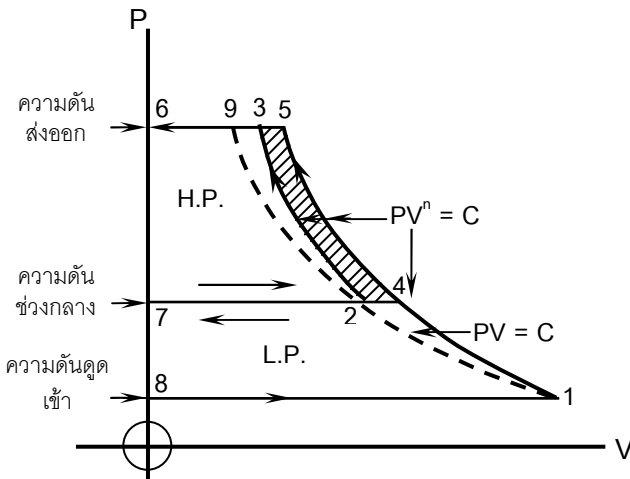
โดยทั่วไปจะพบเครื่องอัดแบบสองหรือสามขั้น จะสังเกตได้จากรูป 2.23 ว่า ขนาดของระบบออกสูบจะลดลงเมื่อความดันเพิ่มขึ้น ทั้งนี้เนื่องจากว่าเมื่อความดันเพิ่มขึ้น ปริมาตรของอากาศที่กำหนดความมาให้จะลดลงเมื่อระบบออกสูบต่อเนื่องกัน มวลของอากาศก็จะไอล่ต่อเนื่องกันไปตลอดเครื่องอัด และเมื่อลูกสูบต่อไปมีปริมาตรเข้มข้นอยู่เนื่องจากความดันสูงขึ้น จึงทำให้ขนาดของระบบออกสูบเล็กลงตามลำดับ

รูปที่ 2.24 แสดงถึงวัฏจักรของเครื่องอัดอากาศหลายขั้นในอุดมคติ เพื่อให้ง่ายเข้า จะงดเว้นการพิจารณาปริมาตรหัวสูบไว้ก่อน ซึ่งผลของปริมาตรหัวสูบได้กล่าวไว้แล้วในข้อ 2.4.2

ตามรูป 2.24 ช่วงความดันต่ำของเครื่องจะเท่ากับ P_1 ถึง P_3

ให้ 8-1-5-6 เป็นวัฏจักรของเครื่องอัดขั้นเดียว และ 8-1-4-7 กับ 7-4-5-6 เป็นวัฏจักรของเครื่องอัดสองขั้น โดยไม่มีอุปกรณ์ระบายความร้อนระหว่างลูกสูบ ส่วน 8-1-4-7 และ 7-2-3-6 เป็นวัฏจักรของเครื่องอัดสองขั้น ซึ่งมีอุปกรณ์ระบายความร้อนระหว่างสูบอย่างสมบูรณ์

คำว่าระบบความร้อนอย่างสมบูรณ์หมายถึงว่าหลังจากการอัดในระบบออกสูบความดันต่ำ (L.P.) แล้ว อากาศจะมีอุณหภูมิสูงขึ้นแล้วลดอุณหภูมิลงมาเท่ากับอุณหภูมิเริ่มต้นอีกรั้งหนึ่งซึ่งก็หมายความว่า $T_2 = T_1$ ดังแสดงไว้ในรูปที่ 2.24 ในกรณีนี้ จุด 2 จะอยู่บนเส้นไอโซเทอร์มอลที่ผ่านจุด 1 ซึ่งแสดงให้เห็นว่า การลดอุณหภูมิระหว่างลูกสูบอย่างสมบูรณ์นั้นขบวนการอัดจะเข้าใกล้ขบวนการอัดแบบไอโซเทอร์มอลมากกว่าการอัดในเครื่องอัดเครื่องเดียว



รูปที่ 2.24 แสดงวัฏจักรของเครื่องอัดอากาศหลายขั้นในอุตสาหกรรม [16]

2.4.6 เงื่อนไขอุตสาหกรรมของเครื่องอัดแบบหลายขั้น (Ideal conditions for multistage compressor)

พิจารณารูป 2.24 ดังที่ได้กล่าวมาแล้วว่า วัฏจักร 8-1-5-6 เป็นของเครื่องอัดขั้นเดียว ไม่คิดปริมาตรหัวสูบ สำหรับวัฏจักรนี้

$$\int W = \frac{n}{n-1} P_1 V_1 \left[\left(\frac{P_5}{P_1} \right)^{(n-1)/n} - 1 \right] \quad (2.76)$$

$$\begin{aligned} T_5 &= T_1 \left(\frac{P_5}{P_1} \right)^{(n-1)/n} \\ &= \text{อุณหภูมิส่งออก} \end{aligned} \quad (2.77)$$

ต่อไปสำหรับเครื่องอัดแบบสองขั้น ไม่มีการหล่อเย็นระหว่างสูบ 8-1-4-7 เป็นวัฏจักรความดันต่ำ และ 7-4-5-6 เป็นวัฏจักรความดันสูง สำหรับระบบนี้

$$\int W = \frac{n}{n-1} P_1 V_1 \left[\left(\frac{P_4}{P_1} \right)^{(n-1)/n} - 1 \right] + \frac{n}{n-1} P_4 V_4 \left[\left(\frac{P_5}{P_4} \right)^{(n-1)/n} - 1 \right] \quad (2.78)$$

สมการนี้จะมีผลลัพธ์เท่ากับสมการ (2.76) อุณหภูมิส่องออกจะหาได้จากสมการ (2.77)
เนื่องจากไม่มีการหล่อเย็นระหว่างสูบ

สำหรับเครื่องอัดแบบสองขั้น มีการหล่อเย็นระหว่างสูบอย่างสมบูรณ์ มี 8-1-4-7 เป็นวัฏจักรของสูบความดันต่ำและ 7-2-3-6 เป็นวัฏจักรของสูบความดันสูง

ในกรณีนี้

$$\oint W = \frac{n}{n-1} P_1 V_1 \left[\left(\frac{P_4}{P_1} \right)^{(n-1)/n} - 1 \right] + \frac{n}{n-1} P_2 V_2 \left[\left(\frac{P_3}{P_2} \right)^{(n-1)/n} - 1 \right] \quad (2.79)$$

อุณหภูมิส่องออกหาได้จากสมการต่อไปนี้

$$T_3 = T_2 \left(\frac{P_3}{P_2} \right)^{(n-1)/n} = T_1 \left(\frac{P_3}{P_2} \right)^{(n-1)/n} \quad (2.80)$$

เพราะว่า $T_2 = T_1$ ดังนั้น

$$P_2 V_2 = P_1 V_1 \quad (2.81)$$

$$\text{และ} \quad P_4 = P_2 \quad (2.82)$$

แทนค่าสมการ (2.81) และ (2.82) ในสมการ (2.79)

$$\oint W = \frac{n}{n-1} P_1 V_1 \left[\left(\frac{P_2}{P_1} \right)^{(n-1)/n} + \left(\frac{P_3}{P_2} \right)^{(n-1)/n} - 2 \right] \quad (2.83)$$

เมื่อพิจารณาจากรูป 2.24 จะเห็นว่าพื้นที่ระหว่าง 2-4-5-3 ซึ่งเป็นการประยัดดงาน เมื่อใช้การหล่อเย็นระหว่างสูบและจะพบว่าถ้าความดันช่วงกลาง P_2 ลดลงไปทาง P_1 ดังนั้นพื้นที่ 2-4-5-3 จะลดไปทางศูนย์ด้วย และถ้า P_2 เพิ่มขึ้นไปทาง P_3 พื้นที่ 2-4-5-3 ก็จะลดไปทางศูนย์ด้วย ซึ่งหมายความว่า ขณะนี้ความดันช่วงกลาง P_2 อยู่ ณ ที่ที่ทำให้พื้นที่ 2-4-5-3 สูงสุด นี่คือสภาวะที่ $\oint W$ ต่ำสุด

เมื่อตรวจสอบสมการ (2.83) จะเห็นได้ว่าสำหรับ $\oint W$ ต่ำสุดแล้วค่า

$$\left[\left(\frac{P_2}{P_1} \right)^{(n-1)/n} + \left(\frac{P_3}{P_2} \right)^{(n-1)/n} \right]$$

จะต้องมีค่าต่ำสุด ค่าอื่นๆ ทั้งหมดของสมการในที่นี้จะคงที่และ P_2 เป็นตัวแปร

ดังนั้นสำหรับค่า $\oint W$ ต่ำสุด

$$\frac{d \left[\left(P_2/P_1 \right)^{(n-1)/n} + \left(P_3/P_2 \right)^{(n-1)/n} \right]}{dP} = 0$$

Differentiating เที่ยบกับ P_2 จะได้

$$\begin{aligned} \frac{1}{P^{(n-1)/n}} \times \frac{n}{n-1} P_2^{\left((n-1)/n \right) -1} + P_3^{\left(n-1 \right) /n} \left[-\frac{n-1}{n} P_2^{\left(-(n-1)/n \right) -1} \right] &= 0 \\ \frac{1}{P^{\left(n-1 \right) /n}} \times \left(\frac{n}{n-1} \right) P_2^{-1/n} &= P_3^{\left(n-1 \right) /n} \times \left(\frac{n-1}{n} \right) P_2^{\left(-2n+1 \right) /n} \\ \frac{P_2^{-1/n}}{P_2^{\left(-2n+1 \right) /n}} &= (P_1 P_3)^{\left(n-1 \right) /n} \\ P_2^{-1/n} P_2^{\left(2n-1 \right) /n} &= (P_1 P_3)^{\left(n-1 \right) /n} \\ P_2^{\left(2n-2 \right) /n} &= (P_1 P_3)^{\left(n-1 \right) /n} \\ P_2^2 &= P_1 P_3 \end{aligned} \quad (2.84)$$

$$\text{จากนี้จะได้ } P_2 = (P_1 P_3)^{1/2} = \sqrt{(P_1 P_3)} \quad (2.85)$$

$$\text{และ } \frac{P_2}{P_1} = \frac{P_3}{P_2} \quad (2.86)$$

หรือ อัตราส่วนความดัน/ชั้น เท่ากัน

P_2 ที่หาได้สมการ (2.85) จะเป็นค่าความดันระหว่างสูบตามอุดมคติ ซึ่งเมื่อมีการหล่อเย็น ระหว่างสูบสมบูรณ์ จะได้ค่า $\oint W$ ต่ำสุด ตามเงื่อนไขอุดมคตินี้ แทนค่าสมการ (2.81), (2.82) และ (2.86) ลงในสมการ (2.79) ซึ่งแสดงให้เห็นว่างานแต่ละสูบเท่ากัน ดังนั้น

$$\oint W = \frac{2n}{n-1} P_1 V_1 \left[\left(\frac{P_2}{P_1} \right)^{\left(n-1 \right) /n} - 1 \right] \quad (2.87)$$

แทนค่าสมการ (2.85) ในสมการ (2.87)

$$\oint W = \frac{2n}{n-1} P_1 V_1 \left[\left(\frac{(P_1 P_3)^{1/2}}{P_1} \right)^{\left(n-1 \right) /n} - 1 \right]$$

$$\begin{aligned}
 &= \frac{2n}{n-1} P_1 V_1 \left[\left(\left(\frac{P_3}{P_1} \right)^{1/2} \right)^{(n-1)/n} - 1 \right] \\
 &= \frac{2n}{n-1} P_1 V_1 \left[\left(\frac{P_3}{P_1} \right)^{(n-1)/2n} - 1 \right]
 \end{aligned} \tag{2.88}$$

ให้จำไว้ว่า P_3/P_1 คืออัตราส่วนความดันตลอดเครื่องอัด
จากการวิเคราะห์เครื่องอัดจะเป็นดังนี้คือ
สำหรับเครื่องอัดแบบขั้นเดียว

$$\oint W = \frac{n}{n-1} P_1 V_1 \left[\left(\frac{P_2}{P_1} \right)^{(n-1)/n} - 1 \right]$$

สำหรับเครื่องอัดสองขั้น

$$\oint W = \frac{2n}{n-1} P_1 V_1 \left[\left(\frac{P_3}{P_2} \right)^{(n-1)/2n} - 1 \right]$$

ในทำงานของเดียวกัน สำหรับเครื่องอัดสามขั้น

$$\oint W = \frac{3n}{n-1} P_1 V_1 \left[\left(\frac{P_4}{P_1} \right)^{(n-1)/3n} - 1 \right]$$

หรือ สำหรับเครื่องซึ่งมี x ขั้น

$$\oint W = \frac{xn}{n-1} P_1 V_1 \left[\left(\frac{P_{x+1}}{P_1} \right)^{(n-1)/xn} - 1 \right] \tag{2.89}$$

และ P_{x+1}/P_1 ก็คืออัตราส่วนความดันตลอดเครื่องอัดในแต่ละกรณี ถ้าเป็นเครื่องอัดตาม
อุดมคติที่มี x ขั้นแล้ว จะมีงานต่อกรอบออกสูบเท่ากัน และสำหรับเครื่อง x ขั้น

$$\oint W = \frac{xn}{n-1} P_1 V_1 \left[\left(\frac{P_2}{P_1} \right)^{(n-1)/n} - 1 \right] \tag{2.90}$$

ในการหาความดันช่วงกลาง สำหรับเครื่อง x ขั้น ภายใต้เงื่อนไขอุดมคติ ใช้สมการ (2.86)
ซึ่งได้แสดงว่า อัตราส่วนความดันในแต่ละขั้นเท่ากัน
ดังนั้นสำหรับเครื่อง x ขั้น

$$\frac{P_2}{P_1} = \frac{P_3}{P_2} = \frac{P_4}{P_3} = \dots \frac{P_{x+1}}{P_x} = k \quad (2.91)$$

ຈາກນີ້

$$P_2 = kP_1$$

$$P_3 = kP_2 = k^2 P_1$$

$$P_4 = kP_3 = k^3 P_1$$

⋮

$$P_{x+1} = kP_x = k^x P_1$$

$$\therefore k^x = \left(\frac{P_{x+1}}{P_1} \right)$$

$$k = \sqrt[x]{\left(\frac{P_{x+1}}{P_1} \right)}$$

ឧວັນນີ້

บทที่ 3

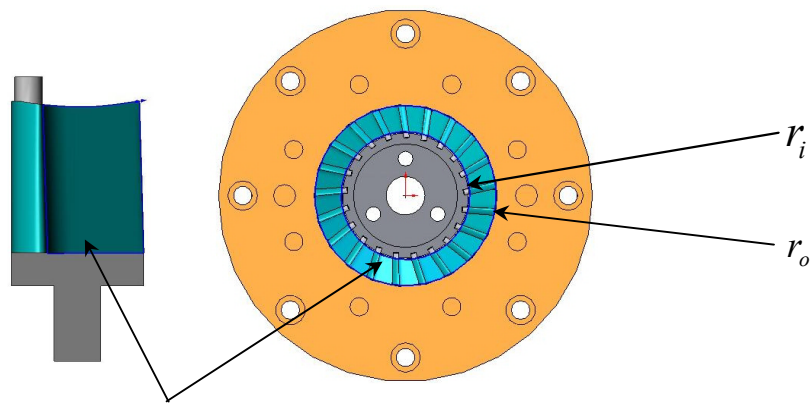
วิธีและขั้นตอนการสร้างชิ้นส่วนเครื่องยนต์ก้าซเทอร์ไบน์

3.1 การออกแบบชิ้นส่วน

3.1.1 การคำนวนหาพื้นที่การให้ลดลงทางเข้าเทอร์ไบน์

ในการคำนวนจะเลือกพื้นที่ช่องทางเดินอากาศที่ทางเข้าແถวไปพัดนิ่งเป็นเกณฑ์ หมายความว่า เป็นพื้นที่ช่องทางเดินอากาศที่แคบที่สุดของอากาศมีการอัดตัวสูงสุด หลังจากนี้ไปจะเกิดการขยายตัวผ่านແถวไปพัดหมุน ส่วนช่องอากาศก่อนหน้านี้ได้แก่ ที่ห้องเผาไหม้ ที่เครื่องอัดอากาศ จะต้องใหญ่ขึ้นเรื่อยๆ เนื่องด้วยหลังจากทางเข้าเครื่องอัดอากาศ อากาศจะถูกอัดตัวขึ้นเรื่อยๆ จนสูงสุดขณะทางเข้าແถวไปพัดนิ่ง

การหาพื้นที่การให้ลดลงทางเข้าແถวไปพัดนิ่ง (Nozzle blade)



บริเวณที่ใช้คำนวน

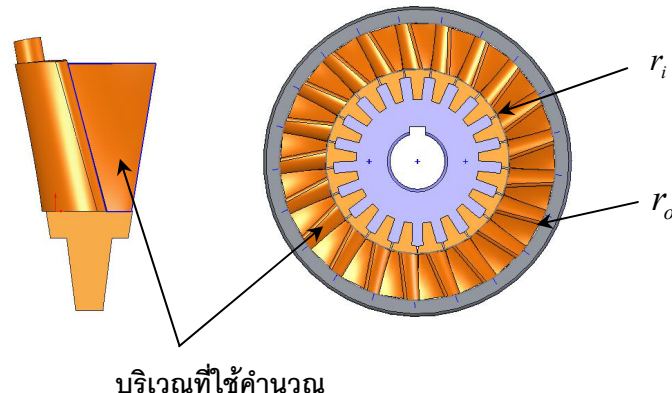
รูปที่ 3.1 แสดงพื้นที่ช่องทางเดินอากาศอิสระของແถวไปพัดนิ่งที่ใช้ในการคำนวน

ขนาดพื้นที่วงแหวน (Annulus area) ตรงทางเข้าແถวไปพัดนิ่งสามารถหาได้ดังนี้คือ

รัศมีวงใน	r_i	=	34.200	มิลลิเมตร
รัศมีวงนอก	r_o	=	48.700	มิลลิเมตร
พื้นที่บริเวณความหนาของใบพัด		=	58.600	ตารางมิลลิเมตร
จำนวนใบพัดทั้งหมด		=	21.000	ชิ้น

$$\begin{aligned}
 \text{พื้นที่วงแหวน} &= \pi(r_o^2 - r_i^2) \\
 &= \pi(48.700^2 - 34.200^2) = 3,776.350 \text{ ตารางมิลลิเมตร} \\
 \text{ เพราะฉะนั้นพื้นที่วงแหวนถ้าใบพัดนึงเท่ากับ } 3,776.350 \text{ ตารางมิลลิเมตร} \\
 \text{ พื้นที่ซ่องทางเดินอากาศอิสระสำหรับการไหลของแก๊สใบพัดนึง} &= \text{พื้นที่วงแหวนถ้าใบพัด} \\
 \text{ นึง} - (\text{พื้นที่ความหนาของแก๊สใบพัดนึงแต่ละใบ} \times \text{จำนวนใบพัดนึงทั้งหมด}) \\
 &= 3,776.350 - (58.600 \times 21.000) \\
 &= 2,545.750 \text{ ตารางมิลลิเมตร} \\
 \text{ ฉะนั้น ซ่องทางเดินอากาศอิสระสำหรับการไหลของแก๊สใบพัดนึง} &\text{ เท่ากับ } 2,545.750 \\
 \text{ ตารางมิลลิเมตร}
 \end{aligned}$$

การหาพื้นที่การไหลอิสระทางเข้าแก๊สใบพัดหมุน (Rotor blade)



รูปที่ 3.2 แสดงพื้นที่ซ่องทางเดินอากาศอิสระของแก๊สใบพัดหมุนที่ใช้ในการคำนวณ

ขนาดพื้นที่วงแหวนทางเข้าแก๊สใบพัดหมุนสามารถหาได้ดังนี้คือ

รัศมีวงใน	r_i	=	33.270	มิลลิเมตร
รัศมีวงนอก	r_o	=	50.250	มิลลิเมตร
พื้นที่ความหนาของใบพัด		=	104.960	ตารางมิลลิเมตร
จำนวนใบพัด		=	21.000	ชิ้น

$$\begin{aligned}
 \text{พื้นที่วงแหวน} &= \pi(r_o^2 - r_i^2) \\
 &= \pi(50.250^2 - 33.270^2) \\
 &= 4,455.310 \text{ ตารางมิลลิเมตร}
 \end{aligned}$$

เพราะฉะนั้นพื้นที่วงแหวนของแก๊สใบพัดหมุน เท่ากับ 4,455.310 ตารางมิลลิเมตร

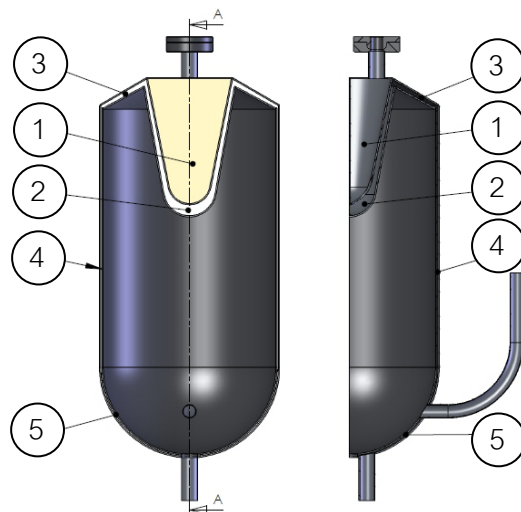
$$\begin{aligned}
 \text{พื้นที่ช่องทางเดินอากาศอิสระสำหรับการไหลของแก๊สไปพัดลม} &= \text{พื้นที่วงแหวนถ่วง} \\
 \text{ไปพัดลม} - (\text{พื้นที่ความหนาของไปพัดลมแต่ละใบ} \times \text{จำนวนไปพัดลมทั้งหมด}) \\
 &= 4,454.270 - (104.960 \times 21.000) \\
 &= 2,251.150 \text{ ตารางมิลลิเมตร}
 \end{aligned}$$

ฉะนั้น ช่องทางเดินอากาศอิสระสำหรับการไหลของแก๊สไปพัดลม เท่ากับ 2,251.150 ตารางมิลลิเมตร

เราจะยึดพื้นที่การไหลของอากาศตรงทางเข้าแก๊สไปพัดนึงเป็นเกณฑ์ ในพื้นที่การไหลของอากาศตรงนี้จะแคบที่สุด และอากาศเกิดการอัดตัวสูงสุด หลังจากตรงนี้ไปอากาศจะเกิดการขยายตัวเมื่อเข้าสู่ไปพัดลม

ลักษณะของการออกแบบ จะทำการออกแบบให้เกิดการอัดตัวของอากาศ โดยจะทำการลดขนาดพื้นที่หน้าตัดสำหรับการไหลลงมาจากการที่หน้าตัดใหญ่ที่สุดที่ทางเข้าเครื่องอัดอากาศ ไปสู่หน้าตัดที่เล็กกว่าขณะที่ไหลผ่านห้องเผาใหม่และเลิกลงอีกเรื่อยๆ จนเล็กที่สุดเพื่อให้ลงสู่ไปพัดนึง ในที่นี้เมื่อสามารถคำนวณหาพื้นที่การไหลตรงแก๊สไปพัดนึงได้แล้ว จะนำข้อมูลที่ได้ไปคำนวณขนาดเพรอม ที่ใช้เป็นทางเดินของอากาศก่อนที่เข้าปะทะถ่วงไปพัดนึง

3.1.2 การหาขนาดห้องเผาใหม่ถ่ายเทความร้อน

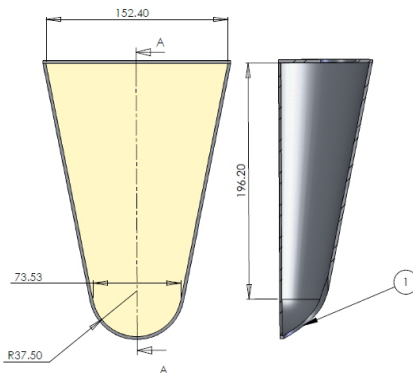


รูปที่ 3.3 แสดงส่วน ประกอบของห้องเผาใหม่

- | | |
|--|------------------------------|
| 1.บริเวณถังพักอากาศอัดจากเครื่องอัดอากาศ | 2.บริเวณทวงกรวยรับความร้อน |
| 3.บริเวณส่วนด้านบนรับความร้อน | 4.บริเวณทวงกรวยอกรับความร้อน |
| 5.บริเวณก้นถังก่อนเข้าสู่เทอร์ไบน์ | |

การออกแบบห้องเผาใหม่ถ่ายเทความร้อนนี้ จะทำการออกแบบให้ห้องเผาใหม่ทำด้วยโลหะและทำการฝาครึ่งออกเป็นสองส่วน มีลักษณะเป็นถังโลหะสองชั้นซ้อนกันอยู่มีระยะห่างระหว่างถัง (Clearance) 2-3 มิลลิเมตร สำหรับเป็นทางเดินอากาศของระบบเทอร์บินซึ่งพื้นที่ทางเดินอากาศนี้ จะต้องมีขนาดใหญ่กว่าซองที่ทางเข้าเดาในพัดนิ่ง แต่เล็กกว่าของเครื่องอัดอากาศ เมื่อประกอบถังโลหะทั้งสองส่วนเข้ากันแล้วห้องบริเวณภายในถังชั้นใน จะมีการวางตะแกรงลงไป เพื่อใส่เชื้อเพลิงแข็งลงบนตะแกรง และป้อนอากาศที่ใช้ในการเผาใหม่ตรงบริเวณส่วนล่างตรงซ่องป้อนอากาศ เมื่อเผาเชื้อเพลิงจะได้ความร้อนถ่ายเทเข้าสู่ระบบอากาศของเทอร์บินและออกแบบให้มีช่องออกของไอเสียอยู่ด้านล่างของห้องเผาใหม่ เพื่อป้องกันความร้อนออกสู่สิ่งแวดล้อมจะทำการหุ้มด้วยฉนวนกันความร้อน ด้วยอิฐทนไฟที่มีค่าการนำความร้อน (Thermal conductivity) ที่ต่ำ เพื่อกีบความร้อนจากอิฐมวลเบาทำการหุ้มฉนวนเซรามิกไฟเบอร์ (Ceramic fiber) ที่มีค่าการนำความร้อนต่ำกว่าอิฐทนไฟอีกชั้นหนึ่ง เพื่อป้องกันการนำความร้อนออกของห้องเผาใหม่ แล้วทำการหุ้มกระจกจากเงาอีกชั้นหนึ่ง เพื่อป้องกันการแพร่งสีความร้อนออกของห้องเผาใหม่ เพื่อให้ห้องเผาใหม่สูญเสียความร้อนน้อยที่สุด จะทำการหุ้มโลหะแผ่นบาง เพื่อเพิ่มความแข็งแรงแก่อนวันกันความร้อนอีกชั้นหนึ่ง

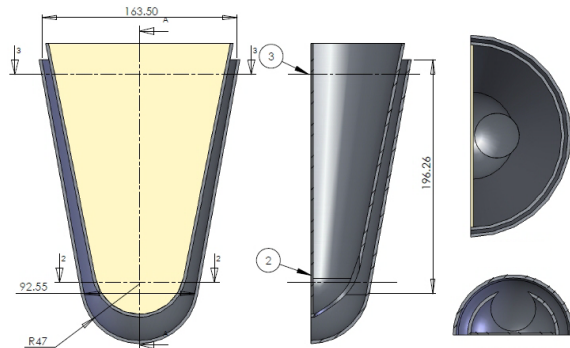
1. บริเวณถังพักอากาศอัดจากเครื่องอัดอากาศ



รูปที่ 3.4 บริเวณถังพักอากาศอัดจากเครื่องอัดอากาศ

บริเวณที่ 1 พื้นที่หน้าตัดระนาบ 1	ขนาดเตาหนึ่งส่วน ปริมาตร	ขนาดเตาทั้งสองส่วน ปริมาตร	หน่วย ตารางมิลลิเมตร
	2,026.830	4,053.660	
	1,062,246.390	2,124,492.780	ลูกบาศก์มิลลิเมตร

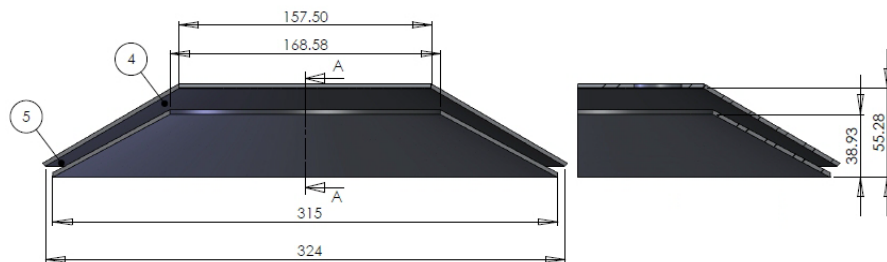
2. บริเวณทรงกรวยรับความร้อน



รูปที่ 3.5 บริเวณทรงกรวยรับความร้อน

บริเวณที่ 2	ขนาดเตาหนึ่งส่วน	ขนาดเตาทั้งสองส่วน	หน่วย
พื้นที่หน้าตัดระหว่าง 2	1,307.950	2,615.900	ตารางมิลลิเมตร
พื้นที่หน้าตัดระหว่าง 3	1,426.500	2,853.000	ตารางมิลลิเมตร
ปริมาตร	224,092.550	448,185.100	ลูกบาศก์มิลลิเมตร
พื้นที่ผิว	48101.150	96,202.300	ตารางมิลลิเมตร

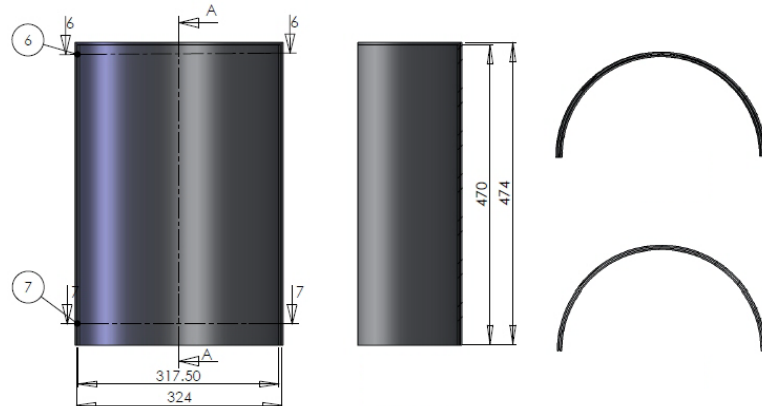
3. บริเวณส่วนด้านบนรับความร้อน



รูปที่ 3.6 บริเวณส่วนด้านบนรับความร้อน

บริเวณที่ 3	ขนาดเตาหนึ่งส่วน	ขนาดเตาทั้งสองส่วน	หน่วย
พื้นที่หน้าตัดระหว่าง 4	2338.125	4,676.250	ตารางมิลลิเมตร
พื้นที่หน้าตัดระหว่าง 5	2,862.920	5,725.840	ตารางมิลลิเมตร
ปริมาตร	349,914.670	699,829.340	ลูกบาศก์มิลลิเมตร
พื้นที่ผิว	31,491.530	62,983.060	ตารางมิลลิเมตร

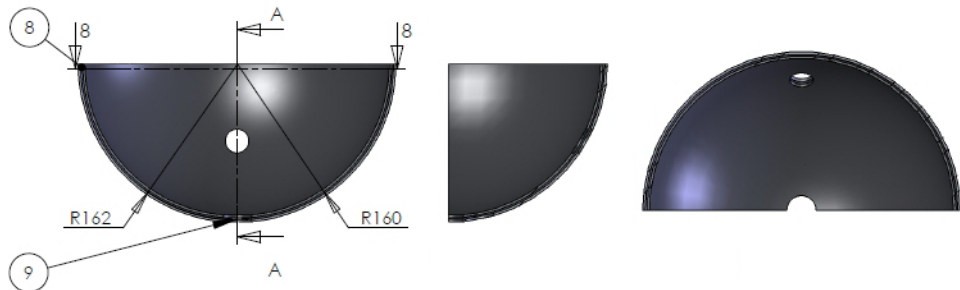
4. บริเวณทรงกระบอกรับความร้อน



รูปที่ 3.7 บริเวณทรงกระบอกรับความร้อน

บริเวณที่ 4	ขนาดเตาหนึ่งส่วน	ขนาดเตาทั้งสองส่วน	หน่วย
พื้นที่หน้าตัดระนาบ 6	1,522.100	3,044.200	ตารางมิลลิเมตร
พื้นที่หน้าตัดระนาบ 7	1,522.100	3,044.200	ตารางมิลลิเมตร
ปริมาตร	715,387.770	1,430,775.540	ลูกบาศก์มิลลิเมตร
พื้นที่ผิว	232,556.400	465,112.800	ตารางมิลลิเมตร

5. บริเวณกันถังก่อนเข้าสู่เทอร์ไบน์



รูปที่ 3.8 บริเวณกันถังก่อนเข้าสู่เทอร์ไบน์

บริเวณที่ 5	ขนาดเตาหนึ่งส่วน	ขนาดเตาทั้งสองส่วน	หน่วย
พื้นที่หน้าตัดระนาบ 8	1,522.100	3,044.200	ตารางมิลลิเมตร
พื้นที่หน้าตัดระนาบ 9	1,385.440	2,770.880	ตารางมิลลิเมตร
ปริมาตร	162,160.140	324,320.280	ลูกบาศก์มิลลิเมตร
พื้นที่ผิว	77,028.040	154,056.080	ตารางมิลลิเมตร

3.1.3 เครื่องอัดอากาศ (Reciprocating Air Compressor)

งานวิจัยนี้เลือกใช้เครื่องอัดอากาศชนิดลูกสูบ (Reciprocating air compressor) เนื่องจากให้แรงดันสูงและหาง่ายในห้องตลาด จึงเลือกชื่อเครื่องที่ให้บริมาณลมที่พอเหมาะสมกับ เทอร์บินได้แก่ ยี่ห้อ PUMA รุ่น PP275 ขนาด 7.5 HP, 5.5 KW, จำนวนหัวสูบ 2 หัว, ปริมาณลม ที่ให้ 1,280 l/min

หาอุณหภูมิของอากาศที่ออกจากเครื่องอัดอากาศ

โดยกำหนดให้ ค่าต้นน้ำมันโพลิไทรปิก เท่ากับ 1.300

ความดันในการอัด เท่ากับ 1,378.950 กิโลปascal

ตลอดขบวนการสภาวะของอากาศเข้ามีความดัน 97.000 กิโลปascal

ตลอดขบวนการสภาวะของอากาศเข้ามีอุณหภูมิ 25.000 องศาเซลเซียส

$$\text{จากสมการที่ 69} \quad T_2 = T_1 \left(\frac{P_2}{P_1} \right)^{(n-1)/n}$$

$$\begin{aligned} \text{แทนค่าในสมการ} \quad T_2 &= 298.000K \left(\frac{1,378.950 \text{ kPa}}{97.000 \text{ kPa}} \right)^{(1.3-1)/1.3} \\ &= 548.720 \text{ K} \end{aligned}$$

$$T_2 = (548.720 - 273.000) = 215.720^{\circ}\text{C}$$

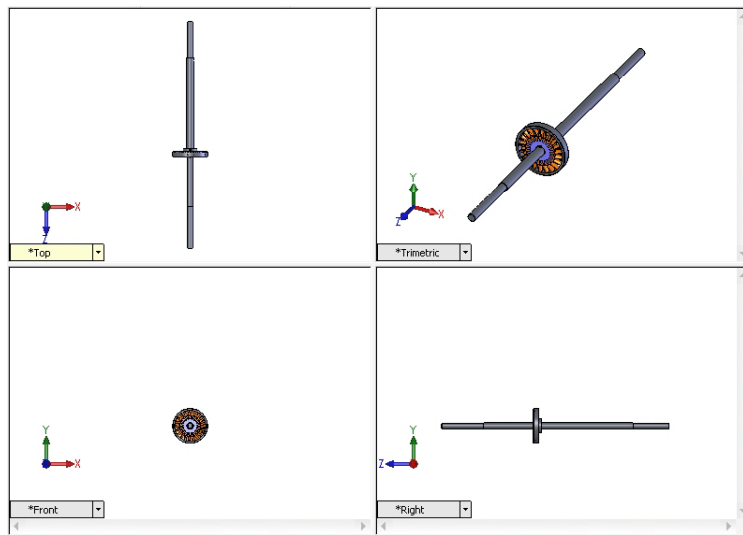
เพริมาณนั้น อุณหภูมิอากาศที่ออกจากเครื่องอัดคือ 215.720 องศาเซลเซียส

3.1.4 การออกแบบเพลา

ทำการออกแบบลักษณะของเพลาที่ต้องการ ซึ่งรายละเอียดในการออกแบบ ได้แก่ ลักษณะของเพลา ขนาดของเพลาที่ต้องการ วัสดุในการผลิต ตำแหน่งและการยึดถาวรไปพัดหมุน (Rotor) เข้ากับตัวเพลาขับ ตำแหน่งของรองเพลา (Bearing) ชนิดของรองเพลา

ในขั้นแรกนั้นทำการออกแบบลักษณะของเพลาและวิธีจับยึดเพลา โดยจะทำการออกแบบ ด้วยคอมพิวเตอร์ เพื่อที่จะสามารถทราบรายละเอียดได้ชัดเจนมากยิ่งขึ้น ดังแสดงในรูปที่ 3.9

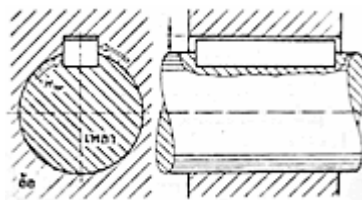
เมื่อได้ทำการวางแผนลักษณะเบื้องต้นของเพลาโดยคำนึงถึง ตำแหน่งของการสวม ถาวรไปพัดหมุน (Rotor) และรองเพลา (Bearing) และ ขั้นตอนไปจะทำการออกแบบการจับยึด ชิ้นส่วนของถาวรไปพัดหมุนเข้ากับเพลาขับ



รูปที่ 3.9 แสดงสามาชารออกแบบลักษณะเบื้องต้นของเพลา

การยึดเพลา กับ แถว ใบ พัด หมุน

ในขั้นตอนนี้จะเลือกกลักษณะของลิม และร่องลิมที่เป็นแบบลิมอัด (Flat keys) โดยลิมชนิดนี้จะไม่มีความลาดตามแนวยาวของลิม แรงที่ขับเพลาให้หมุนจะกระทำผ่านผิวด้านข้างของลิมอัด นั่นคือ ผิวด้านข้างจะได้รับภาระเนื่องและมีข้อดีกว่านี้คือ ระหว่างล้อกับเพลาจะไม่มีการเยื่องศูนย์ เมื่อลิมส่งกำลัง [17] ทำการยึดระหว่างเพลา กับ ใบ พัด เทอร์บิน และลิมอัดกระทำด้วยการวางแผนลิมอัดบนร่องเพลา และอัดให้ลงไปสนิทกับร่องเพลาจากนั้นจึงประกอบเข้ากับแถว ใบ พัด โดยให้ร่องของงานแถว ใบ พัด สมเข้ากับลิมอัด (มีส่วนที่เหลือผลลัพธ์ขึ้นมาจากการร่องเพลา) ส่วนมากจะนิยมใช้งานกับเพลาที่หมุนขับด้วยทอร์ก (Torque) ไปในทิศทางเดียว ข้อดีของลิมอัดชนิดนี้คือ เหงาะ กับ งาน ที่ มี ความ เร็ว รอบ สูง ได้ [18]



รูปที่ 3.10 แสดงชนิดของลิมอัด

ขั้นต่อไปเป็นจะทำการเลือกวัสดุในการออกแบบให้ตรงกับการใช้งาน ตัวอย่างเช่น ความทนทานในการใช้งานที่อุณหภูมิสูง ทนการขัดถู ความแข็งแกร่ง ความสามารถในการขันรูป เป็นต้น

การเลือกวัสดุในการผลิตเพลา

การเลือกวัสดุในการผลิตเพลา เพื่อใช้สำหรับยึดกับฐานของแท่ราบไปพัดเทอร์ไบน์ จะต้องคำนึงถึง อุณหภูมิในการใช้งาน ความแข็งแรง การทนต่อความสึก蝕 เป็นต้น ดังนั้นจึงทำการเลือกใช้งาน เหล็กกล้าสำหรับงานร้อน (Hot work tool steel) W 302 เนื่องจากมีสมบัติที่ดีมาก ได้แก่ มีความแข็งแรงมากที่อุณหภูมิปกติ และคงความแข็งแรงที่อุณหภูมิสูงดี ทนต่อการสึก蝕ที่อุณหภูมิสูง ทนต่อการเปลี่ยนแปลงอุณหภูมิอย่างชันพลัน ทนต่อการล้าร้อน ต้านทานต่อการเกิดออกไซด์ที่อุณหภูมิสูง ความเหนียวแกร่งสูงมาก ชุบแข็งไม่เสียรูป ตัดกลึงง่าย สามารถขัดเจ้าได้ดี นอกจานนี้ยังมีความเหนียวสูงและทนทานต่อการเสียดสีหรือการสึก蝕ดีเป็นเลิศ [19-20]

ตารางที่ 3.1 แสดงส่วนผสมทางเคมีของ W302

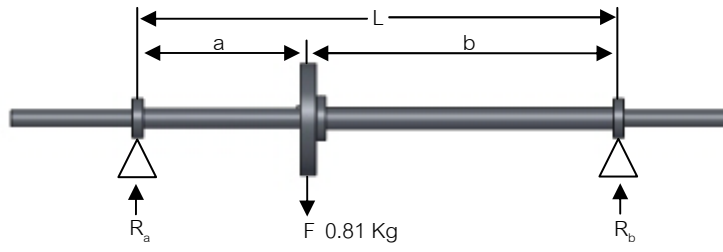
เกรดเหล็ก (BOHLER)	ส่วนผสมทางเคมี					
	C	Si	Mn	Cr	Mo	V
W 302	0.38	1.05	0.40	5.20	1.40	1.00

เมื่อทำการออกแบบลักษณะของเพลาขึ้น วิธีในการจับยึด (ซึ่งมีผลต่อความแข็งแรง) และวัสดุในการผลิตเพลาได้แล้ว ต่อไปจะทำการคำนวนขนาดของเพลาขึ้นที่ต้องการ เพราะขนาดของเพลาขึ้นจะเป็นตัวกำหนด ระยะห่างของเพลาและความเร็ววิഗฤติ ซึ่งจะต้องคำนึงถึงอย่างมากใน การออกแบบเทอร์ไบน์ เนื่องจากการมีความเร็วรอบสูงที่สูงเกินไปจะทำให้ไม่มีแรงบิด องศาการบิด และค่าความเค้นเนื่อง ล้วนมีค่าสูงก่อให้เกิดการพังเสียหายได้ง่าย

ความเร็ววิกฤตของเพลา(Critical speed and shaft deflection) [21-28]

ในทางปฏิบัติจุดศูนย์ถ่วงของเพลา อาจจะเอียงไปจากแนวศูนย์กลางของการหมุน เนื่องจาก ในกระบวนการผลิตอาจทำให้มีผลกระทบแก่นไม่นำเสนอ หรือระยะแอนสติที่เกิดขึ้นจากน้ำหนักของเพลา เพื่อง (Gear) พูลเลย์ (Pulley) และส่วนอื่นๆ

เมื่อเพลาหมุนด้วยให้ความเร็วที่เพิ่มขึ้น จะเกิดแรงปฏิกิริยาหนีศูนย์กลาง (Centrifugal force) ที่จุดศูนย์กลางมวล (Centre of mass) ทำให้เพلامีแนวโน้มที่จะเกิดการโถ่หันได้และถ้า การโถ่หันที่เกิดขึ้นนั้นมีค่ามากพอ อาจจะสามารถทำให้เกิดการแตกหักของเพลา เกิดความเสียหายต่อรองเพลา และในบางกรณีอาจจะทำให้เกิดการสั่นของเครื่องจักรอันนำไปสู่ความเสีย ต่อเครื่องจักรโดยรวมได้



รูปที่ 3.11 แสดงเพลาเพื่อใช้ในการคำนวณ

สามารถหาระยะห่างของเพลาขึ้นได้จากสมการต่อไปนี้

$$y = \frac{Fb(L^2 - b^2)^{3/2}}{9\sqrt{3}EI} \quad (3.1)$$

เมื่อกำหนดให้	a (ความยาวระหว่าง R_a ถึงแรง F)	=	176	มิลลิเมตร
	b (ความยาวระหว่าง R_b ถึงแรง F)	=	302	มิลลิเมตร
	d (ขนาดเส้นผ่านศูนย์กลางเพลา)	=	20	มิลลิเมตร
	L (ความยาวเพลาจาก R_a ถึง R_b)	=	478	มิลลิเมตร
	W (น้ำหนัก)	=	0.81	กิโลกรัม
	E (อิลาสติกโมดูลัส)	=	185.3	กิโลนิวตันต่อตารางมิลลิเมตร
	F (แรงดึง)	=	$0.81 \times 9.81 = 7.94$	นิวตัน

$$I = \frac{\pi d^4}{64} = \frac{\pi 20^4}{64} = 7,853.98 \quad (3.2)$$

แทนค่าลงในสมการที่ (3.1) จะได้

$$y = \frac{7.94 \times 302 \times (478^2 - 302^2)^{3/2}}{9\sqrt{3} \times 185.3 \times 1000 \times 7,853.98 \times 478}$$

$$= 0.011 \text{ มิลลิเมตร}$$

ดังนั้นจะได้การโก่งของเพลาขึ้น ณ ตำแหน่งของน้ำหนัก F เท่ากับ 0.011 มิลลิเมตร

จากนั้นนำค่าระยะห่างที่ได้ มาหาค่าความเร็ววิกฤตของการหมุนของเพลา ซึ่งหาได้

$$\text{จากสมการ } n_c = 945 \left[\frac{\sum W y}{\sum W y^2} \right]^{1/2} \quad (3.3)$$

เมื่อ n_c คือ ความเร็ววิกฤต

$\sum W$ คือ ผลรวมจำนวนน้ำหนักแต่ละชิ้น (แต่ในที่นี่มีเพียงชิ้นเดียว) = 0.81 กิโลกรัม

y คือ ระยะห่างของเพลา = 0.011 มิลลิเมตร

เมื่อแทนค่าต่างๆ ในสมการที่ (3.3) เราจะได้

$$n_c = 945 \left[\frac{0.81 \times 0.011}{0.81 \times 0.011^2} \right]^{1/2}$$

$$= 9,010 \text{ รอบต่อนาที}$$

เพราะฉะนั้นความเร็ววิภาคติของเพลาขึ้บมีค่า เท่ากับ 9,010 รอบต่อนาที ซึ่งค่าความเร็ว วิภาคตทางทฤษฎีค่านี้จะสูงกว่าค่าที่ได้จากการทดลองเล็กน้อย ทั้งนี้เนื่องจากการหน่วงตัวเอง (Self damping) ของสุดเพลา ในทางปฏิบัติมักจะออกแบบให้เพลาทำงานที่ความเร็วต่ำกว่าความเร็ว วิภาคติอย่างน้อย 25% เพื่อหลีกเลี่ยงการสั่นสะเทือนอย่างรุนแรงของเพลา [22]

โมเมนต์บิด

โมเมนต์บิด หรือ แรงบิด คือ โมเมนต์ที่กระทำรอบแกนที่ตั้งจากกับพื้นที่หน้าตัดของเพลา ขึ้บ (คีโอแกนของเพลา) เมื่อใส่แรงบิดให้กับเพลาจะทำให้วัสดุคีโอเพลาเกิดการเปลี่ยนรูปซึ่งเรา สามารถหาโมเมนต์บิดได้จากสมการดังนี้

$$W_p = T\omega = 2\pi n T \quad (3.4)$$

$$T = \frac{W_p}{2\pi n} = \frac{7,500 \times 60}{2\pi \times 5,000} = 14.32 \text{ Nm}$$

เพราะฉะนั้นเพลาขึ้บของเทอร์บินมีโมเมนต์บิดไม่ควรเกินเท่ากับ 14.32 นิวตันเมตร

มุมการบิด

ชั้นส่วนเครื่องจักรกลที่มีพื้นที่หน้าตัดกลมที่อยู่ภายใต้โมเมนต์บิด (Torque) จะบิดไปเป็น มุมเรียกว่า มุมบิด (Angle of twist) เป็นค่ามุมบิดของศากสามารถหาได้จากสมการดังนี้

$$\theta = \frac{584 TL}{Gd^4} \quad (3.5)$$

เมื่อแทนค่าต่างๆ ที่ทราบลงในสมการ (3.5) จะได้

$$\theta = \frac{584 (14.32) (478)}{(71.26)(20^4)}$$

$$= 0.35^\circ$$

ถึงแม้ว่าจะไม่มีมาตรฐานสำหรับพิกัดมุมบิดของเพลา ในทางปฏิบัติแล้วมักจะให้มุมบิด ของเพลาในเครื่องจักรกลทั่วไปไม่เกิน 0.3° ต่อความยาวเพลา 1 เมตร [22]

ความเค้นเฉือนที่เกิดจากการบิดของเพลาขึ้บจะมีค่าผันแปรตามระยะจากจุดศูนย์กลาง
ออกนอกและจะมีค่าสูงสุดที่ผิวนอกของเพลาขึ้บ ซึ่งสามารถคำนวณได้จากสมการต่อไปนี้

$$\tau = \frac{Tr}{J} \quad (3.6)$$

เมื่อ J คือโมเมนต์ความเฉื่อยเชิงข้าวหรือเรียกอีกอย่างหนึ่งว่าโมเมนต์อันดับสองของพื้นที่
(2nd moment of area) (Polar moment of inertia) หากได้จาก

$$J = \frac{\pi}{32} d^4 \quad (3.7)$$

แทนค่าลงไปในสมการ (3.7) จะได้ $J = \frac{\pi}{32} 20^4 = 15,707.96 \text{ mm}^4$

นำค่า J และอื่นๆ แทนลงในสมการที่ (3.6) จะได้ความเค้นเฉือน

$$\tau = \frac{14.32 \times 10}{15,707.96} = 9.11 \text{ N/mm}^2$$

เพราะฉะนั้นความเค้นเฉือนที่เกิดจากการรับโมเมนต์บิดจะมีค่าเท่ากับ 9.11 นิวตันต่อ
ตารางมิลลิเมตร

การคำนวณขนาดเพลา [22]

สมการคำนวณขนาดเพลาขึ้บได้โดยใช้วิธีการโซเดอร์เบอร์ร่วมกับทฤษฎีความเสียหาย
วิธีทำ กำลังงานที่เพลา $= W_p = 2\pi n T$

$$75,000 = 2\pi \left[\frac{5,000}{60} \right] T$$

จะได้โมเมนต์บิด $T = 143.24 \text{ Nm}$

ทำสมดุลโมเมนต์ที่ปลาย A; $0 = (176+302)R_b - (176 \times 0.81 \times 9.81)$

$$R_b = 2.925 \text{ N}$$

ดังนั้นโมเมนต์ดัดสูงสุด $M_a = 2.925 \times 302 = 883.58 \text{ Nmm}$

เนื่องจากความเค้นดัดที่เกิดในเพลานั้นได้ค่า $\sigma_{MAX} = -\sigma_{MIN}$

เพราะฉะนั้น $\sigma_m = \frac{\sigma_{MAX} + \sigma_{MIN}}{2} = 0$

และ $\sigma_a = \frac{\sigma_{MAX} - \sigma_{MIN}}{2} = \sigma_{MAX}$

จากสมการ $\sigma_a = \frac{32M_a}{\pi d^3 (1 - K^4)}$ (3.8)

ในกรณีของเพลาตัน $K = \frac{d_i}{d} = 0$

$$\text{แทนค่าในสมการที่ (3.8); } \sigma_a = \frac{32M_a}{\pi d^3 (1 - K^4)} = \frac{32 \times 883.58}{\pi d^3}$$

$$= \frac{9,000}{d^3}$$

เนื่องจากโมเมนต์บิดมีค่าคงตัวจึงทำให้ความเค้นเฉือนที่เกิดขึ้นมีค่าเท่ากันตลอดรอบผิวของเพลา ดังนั้น $\tau_a = 0$

จากสมการ $\tau_m = \frac{16T_m}{\pi d^3 (1 - K^4)}$ (3.9)

$$\tau_m = \frac{16T_m}{\pi d^3 (1 - K^4)} = \frac{16 \times 143,240}{\pi d^3}$$

$$= \frac{729,31.16}{d^3}$$

จากตารางที่ ก.1 กำหนดให้ $K_f = K_{fs} = 1.6$

จากตารางที่ ก.2 ค่าเฉลี่ยความเค้นคือ

$$\sigma_u = 856.22 \quad N/mm^2$$

$$\sigma_y = 702.78 \quad N/mm^2$$

$$\sigma'_n = 0.5\sigma_u = 0.5 \times 856.22 = 428.11 \quad N/mm^2$$

จากรูปที่ ก.1 ตัวประกอบของผิว $K_a = 0.89$

สมมติว่าเพลาขับมีขนาดเล็กกว่า 50 mm ดังนั้นตัวประกอบของขนาด $K_b = 0.85$

$$\text{ เพราะฉะนั้น } \sigma_n = 0.89 \times 0.85 \times 428.11 = 323.865 \quad N/mm^2$$

เมื่อใช้ทฤษฎีความเค้นเฉือนสูงสุด เราจะได้

จากสมการ $\frac{1}{N} = \left[\left[\frac{\sigma_m}{\sigma_y} + K_f \frac{\sigma_a}{\sigma_n} \right]^2 + \left[\frac{\tau_m}{\tau_y} + K_{fs} \frac{\tau_a}{\tau_n} \right]^2 \right]^{1/2}$

$$\tau_y = 0.5\sigma_y = 0.5 \times 702.78 = 351.39 \quad N/mm^2$$

เมื่อแทนค่า $\sigma_m = \tau_a = 0$ ลงในสมการบน

$$\text{สมการจะลดรูปลงเหลือ} \quad \frac{1}{N} = \left[\left[K_f \frac{\sigma_a}{\sigma_n} \right]^2 + \left[\frac{\tau_m}{\tau_y} \right]^2 \right]^{1/2}$$

กำหนดให้เพลามีร่องลิมแบบ Sled runner และผิวนาน้ำผ่านการเจียร์ใน ให้ขั้นค่า $N=1.8$ และเมื่อแทนค่าต่างๆที่ทราบค่าลงในสมการ

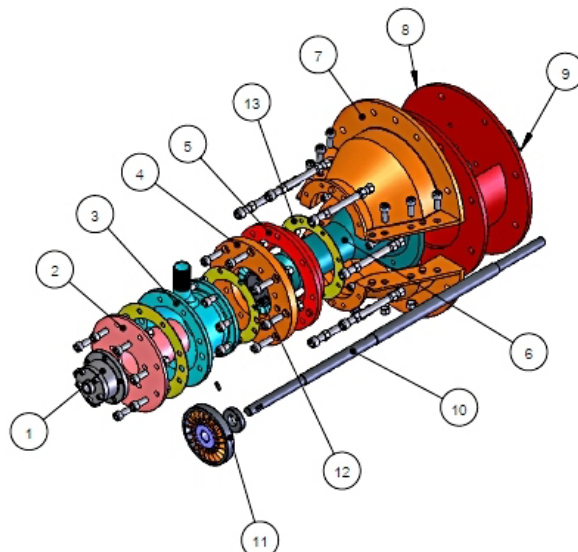
$$\text{เราจะได้} \quad \frac{1}{1.8} = \left[\left[1.6 \times \frac{9,000}{323.865 d^3} \right]^2 + \left[\frac{72931.16}{351.39 d^3} \right]^2 \right]^{1/2}$$

$$d = 7.2 \text{ mm}$$

จากการคำนวณขนาดของเพลาโดยใช้วิธีการใช้เดอร์เบอร์ร่วมกับทฤษฎีความเสียหายเร้าได้ขนาดเพلامีค่าเท่ากับ 7.2 มิลลิเมตร แต่จากการคำนวณขนาดเพลาที่ได้นี้ไปคำนวณค่าความเร็ววิกลютติ ผลปรากฏว่าขนาดเพลาที่ใช้มีสามารถรองรับความเร็วที่ต้องการได้ เพราะจะทำให้เกิดการโถงของเพลาขึ้นถึง 6.17 มิลลิเมตร จึงต้องทำการเพิ่มขนาดเพลาเพื่อให้สามารถรองรับความเร็วการใช้งานได้ ดังนั้นจึงเลือกขนาดเพลาเป็น 20 มิลลิเมตร เพื่อใช้งานที่ความเร็ววิกลютติ เท่ากับ 9,010 รอบต่อนาที

3.2 วิธีสร้างชิ้นส่วนต่างๆ

3.2.1 การสร้างชิ้นส่วนเทอร์บิน



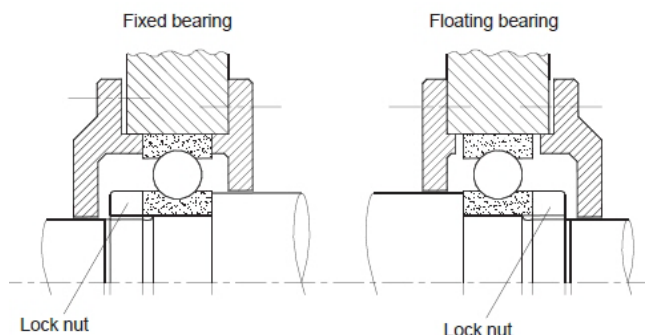
รูปที่ 3.12 แสดงส่วนประกอบ ต่างๆของเทอร์บินที่ออกแบบไว้แล้ว

- | | |
|---|---|
| 1. เสื้อใส่ตัวลูกปืน (Housing_01, 02) | 2. เพรมด้านใน (Frame_01) |
| 3. เพรมด้านนอก (Frame_02) | 4. ชิ้นส่วนยึดใบพัดนิ่ง (Frame_03) |
| 5. ชิ้นส่วนสำหรับใช้สวมเพรมใบพัดนิ่ง (Frame_04) | 6. ชิ้นส่วนป้องกันเพลาด้านท้าย (Frame_05) |
| 7. เพรมสวมใบพัดหมุน (Frame_06) | 8. เพรมทางออกของอากาศ (Frame_07) |
| 9. เสื้อใส่ตัวลูกปืน (Housing) | 10. เพลาขับ (Shaft_01) |
| 11. โรเตอร์ (Rotor_01) | 12. สเตเตอร์ (Stator_01) |

ในขั้นตอนแรก จะทำการศึกษากระบวนการรายละเอียดต่างๆ ของชิ้นส่วนเทอร์บิน์ ทำการกำหนดรายละเอียดทางชิ้นส่วนต่างๆ จากนั้นทำการผลิตชิ้นส่วนโดยคำนึงถึงวิธีการ ขั้นตอน ใน การผลิต เครื่องจักรที่ใช้ในการผลิต และวัสดุที่นำมาผลิตรายละเอียดของชิ้นส่วนต่างๆ ที่ได้ ออกแบบแล้ว แสดงในรูปที่ 3.12 ดังต่อไปนี้

3.2.1.1 เสื้อใส่ตัวลูกปืน (Housing) (Housing_01, Housing_02)

เสื้อใส่ตัวลูกปืนทำหน้าที่ทึบกำกับตัวลูกปืน (Bearing) ให้อยู่ภายใน และ รองรับเพลาด้วย ดังแสดงในรูปที่ 3.14 ในระหว่างการใช้งานจะมีการขยายตัวของเพลาเนื่องจาก การรับภาระ (Load) ในแนวรัศมีหรือไม่ก็ขยายตัวเนื่องจากความร้อน ทำให้ลูกปืนลูกเบี้ยดทาง ด้านข้างค่อนข้างมาก จึงอาจเสียหายเร็กว่าปกติ ดังนั้นจำเป็นต้องให้แบริ่งตัวใดตัวหนึ่งปรับตัว ขยายตามแนวแกนได้บ้าง รองเพลาด้านที่ยึดแน่น (Fixed bearing) จะรับแรงตามแนวแกนและ แนวรัศมี ส่วนรองเพลาลูกเบี้ยดอิสระ (Floating bearing) จะสามารถรับแรงในแนวรัศมีเพียงอย่างเดียว [24] ในการออกแบบจะใช้รองเพลาด้านที่ยึดแน่น 1 ตัว และรองเพลาลูกเบี้ยดอิสระ 1 ตัว มีรูปแบบที่ หวานในกับเพลา ดังรูปที่ 3-13

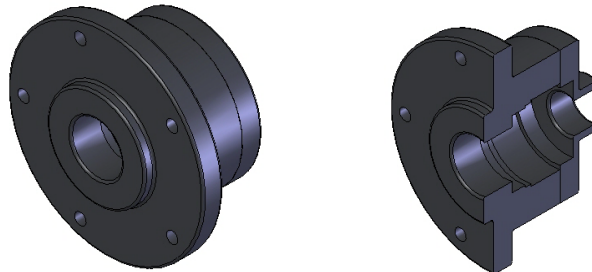


รูปที่ 3.13 การวางรองเพลาโดยใช้ลูกปืนแบบเม็ดกลมร่องลึก (Deep groove ball bearing)

สำหรับรองรับแรงตามแนวแกนและแนวตามรัศมีขนาดปานกลาง [28]

รายละเอียดกระบวนการผลิตชิ้นส่วนของเสื้อใส่ตัวลูกปืนสามารถแบ่งได้ดังต่อไปนี้คือ

3.2.1.1.1 ศึกษารายละเอียดชิ้นส่วนที่ได้ทำการออกแบบ จากนั้นเริ่มขั้นตอนเขียนแบบชิ้นส่วนโดยใช้ซอฟต์แวร์ CAD (Computer Aided Design) พร้อมทั้งจัดทำรายละเอียดในการผลิตชิ้นส่วนของเสื้อใส่ต่อลับลูกปืนถูกออกแบบดังแสดงในรูปที่ 3.14



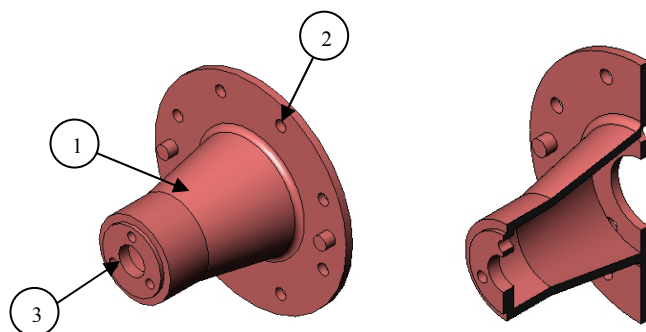
รูปที่ 3.14 แสดงเสื้อใส่ต่อลับลูกปืนที่ออกแบบแล้ว (Housing)

3.2.1.1.2 กระบวนการผลิตชิ้นส่วนประกอบไปด้วย

- เลือกใช้เหล็กกล้าผงสม4140 (ตามมาตรฐาน AISI ของอเมริกา) มาทำการขึ้นรูปด้วยการกลึงให้ได้ขนาดของชิ้นส่วนตามที่ระบุไว้ในแบบ
- ทำการเจาะรูอย่างเบล็ท (Bolt)
- ทำเกลียวใน ตามขนาดดังที่ระบุไว้ในแบบ
- ทำการประกอบและตกแต่งผิวงานอีกครั้งหนึ่ง

3.2.1.2 เฟรมด้านใน (Frame_01)

ทำหน้าหลักคือ เป็นชิ้นส่วนหนึ่งของซ่องทางการไหลดของอาคารร้อนที่ได้รับมาจากห้องเผาไหมก่อนที่จะเข้าสู่ແอาบีพัดเทอร์บิน ถือทั้งยังทำหน้าที่ป้องกันไม่ให้อาคารร้อนของผ่านไปสู่เพลาขับได้ เฟรมกำกับการไหลดอาคารร้อนที่ออกแบบแล้ว แสดงในรูปที่ 3.15



รูปที่ 3.15 แสดงแบบเฟรมด้านในที่ออกแบบแล้ว (Frame_01)

รายละเอียดกระบวนการผลิตชิ้นส่วนเฟรมด้านในสามารถแบ่งได้ดังต่อไปนี้คือ

3.2.1.2.1 ศึกษารายละเอียดชิ้นส่วนที่จะทำการออกแบบ จากนั้นเริ่มขั้นตอนเขียนแบบชิ้นส่วนโดยใช้ซอฟต์แวร์ CAD (Computer Aided Design) พร้อมทั้งจัดทำรายละเอียดในการผลิตชิ้นส่วนโดย

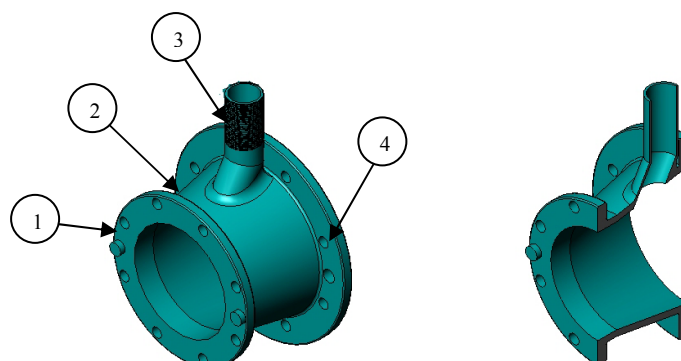
3.2.1.2.2 กระบวนการผลิตชิ้นส่วนเพื่อมัด้านในประกอบด้วย

- เลือกใช้เหล็กหนี่ยว SS 400 (ตามมาตรฐาน JIS ของญี่ปุ่น) ในการผลิตชิ้นส่วนรูปทรงกรวย (ลูกศรหมายเลข 1) โดยนำมาทำการม้วนขึ้นรูปด้วยเครื่องม้วนโลหะ (Sheet Metal Rolling Machine)

- ทำการขึ้นรูปหน้าแปลน (Flange) (ลูกศรหมายเลข 2) ทำการขึ้นรูปด้วยการกลึง
- เจาะรูร้อยပีล์ท
- ทำการกลึงชิ้นส่วนให้ได้ขนาดตามที่ระบุในแบบ (ลูกศรหมายเลข 3) และทำเกลี้ยงใน
- นำหั้ง 3 ส่วน (ลูกศรหมายเลข 1 2 และ 3) มาทำการเชื่อมประกอบเข้าด้วยกัน โดยการเชื่อมนั้นต้องทำตัวจับยึดชิ้นส่วน ฟิกช์เจอร์ (Fixture) เพื่อความเที่ยงตรงของชิ้นงาน [29-30]
- ทำการกลึงปาดด้านหน้าและด้านหลังของเพร์ม (ลูกศรหมายเลข 2 และ 3)
- ทำการใส่ลิมกำหนดตำแหน่งไปยังหน้าแปลน
- ปรับแต่งผิวชิ้นส่วน และตรวจสอบเชื่อมประกอบ

3.2.1.3 เพร์มด้านนอก (Frame_02)

หน้าที่หลักของเพร์มด้านนอกคือ เป็นชิ้นส่วนด้านนอกของซ่องทางการไอล สามารถรับ荷重จากการห้องเผาไหหม้อ ก่อนที่จะเข้าสู่ถาวรไปพัดเทอร์บิน ซึ่งจะต้องประกอบกับเพร์มด้านใน (Frame_01) เพร์มด้านนอกที่ออกแบบเสร็จแล้วแสดงในรูปที่ 3.16



รูปที่ 3.16 เพร์มด้านนอกที่ออกแบบแล้ว (Frame_02)

รายละเอียดกระบวนการผลิตชิ้นส่วนเพร์มด้านนอกสามารถแบ่งได้ดังต่อไปนี้คือ

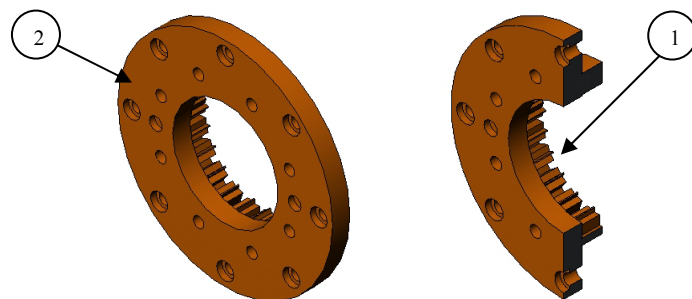
3.2.1.3.1 ศึกษารายละเอียดชิ้นส่วนที่จะทำการออกแบบ จากนั้นเริ่มขั้นตอนเขียนแบบชิ้นส่วนโดยใช้ซอฟต์แวร์ CAD (Computer Aided Design) พร้อมทั้งจัดทำรายละเอียดในการผลิตชิ้นส่วน

3.2.1.3.2 กระบวนการผลิตชิ้นส่วนเฟรมด้านนอกประกอบด้วย

- เลือกใช้เหล็กหนี่ง SS 400 (ตามมาตรฐาน JIS ของญี่ปุ่น) ในการผลิตชิ้นส่วนรูปทรงกรวย (ลูกศรหมายเลข 2) จากนั้นนำมาทำการม้วนขึ้นรูปด้วยเครื่องม้วนโลหะและทำการเจาะรูเพื่อใส่ท่ออากาศเข้า
- ทำการขึ้นรูปหน้าแปลน (ลูกศรหมายเลข 1 และ 4) ด้วยการกลึง
- เจาะรูตามที่ระบุไว้ในแบบ
- ทำการกลึงเกลียวท่อ (ลูกศรหมายเลข 3) ตามขนาดตามที่กำหนดไว้
- นำทั้ง 3 ส่วน (ลูกศรหมายเลข 1, 2 และ 4) มาทำการเชื่อมประกอบเข้าด้วยกัน ในการเชื่อมต้องทำตัวจับยึดขึ้นส่วน พิกซ์เจอร์ ป้องกันการบิดของชิ้นงานระหว่างทำการเชื่อม
 - ทำการกลึงปาดหน้าของหน้าแปลนทั้งสองด้าน (ลูกศรหมายเลข 2 และ 4)
 - ทำการเชื่อมประกอบท่อทางเข้า (ลูกศรหมายเลข 3) เข้ากับส่วนที่ 2 (ลูกศรหมายเลข 2)
 - ทำการใส่ลิมกำหนดตำแหน่งที่ยังหน้าแปลน
 - ปรับแต่งผิวชิ้นส่วนเฟรมด้านนอก และรอยเชื่อมประกอบเพื่อลดความเค้นตกค้าง

3.2.1.4 ajan yid deaw ib pead ning (Stator disc) (Frame_03)

เป็นชิ้นส่วนสำคัญสำหรับประกอบเข้ากับແກา ib pead ning (Nozzle blade) ออกแบบเสร็จแล้วมีลักษณะดังแสดงในรูปที่ 3.17



รูปที่ 3.17 ajan yid deaw ib pead ningที่ออกแบบแล้ว (Frame_03)

รายละเอียดของกระบวนการผลิตชิ้นส่วนajan yid deaw ib pead ningสามารถแบ่งได้ดังต่อไปนี้คือ

3.2.1.4.1 ศึกษารายละเอียดชิ้นส่วนที่ได้จากการออกแบบ จากนั้นเริ่มขั้นตอนเขียนแบบชิ้นส่วนโดยใช้ซอฟต์แวร์ CAD (Computer Aided Design) พร้อมทั้งจัดทำรายละเอียดในการผลิตชิ้นส่วน

3.2.1.4.2 กระบวนการผลิตชิ้นส่วนajan yid deaw ib pead ningประกอบด้วย

- เลือกใช้สแตนเลส สตีล เกรด 316 (ตามมาตรฐาน AISI ของอเมริกา) โดยในชิ้นแรก (ลูกศรหมายเลข 1) จะทำการตัดเฉือนชิ้นส่วนด้วยเครื่องตัดปาดด้วยการจ่ายประจุไฟฟ้าผ่านเส้น

ลวด (Wire-cut Electric Discharge Machine) จากนั้นในส่วนที่สอง (ลูกศรหมายเลข 2) ทำการกลึงชิ้นส่วนให้ได้ขนาดตามที่แบบระบุ

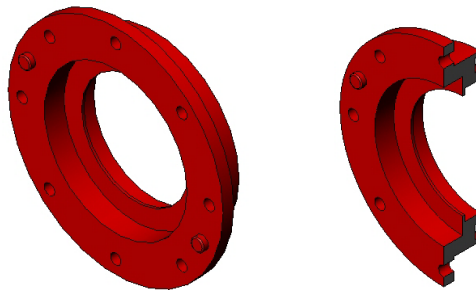
- เจาะรูร่องลิม
- ทำเกลียวใน ขนาดตามระบุในแบบ
- เชื่อมประภกอบด้วยเครื่องเชื่อมทิก (TIG) ในขั้นตอนการเชื่อมให้ทำอยู่ปกรถ์จับปีดชิ้นส่วน

พิกช์เจอร์ (Fixture)

- ทำการกลึงปาดด้านหน้าในส่วนที่ 2 (ลูกศรหมายเลข 2) อีกครั้งหนึ่ง
- ปรับแต่งรอยเชื่อมประภกอบ

3.2.1.5 ชิ้นส่วนกำกับวงล้อແຄວໃບພັດນິ່ງ (Frame_04)

เป็นชิ้นส่วนที่ใช้สำหรับบรรจุวงล้อແຄວໃບພັດນິ່ງ สามารถเข้ามาเป็นช่วงที่อยู่ระหว่างແຄວໃບພັດນິ່ງและແຄວໃບພັດหมุน ชิ้นส่วนที่ออกแบบแล้วมีลักษณะดังแสดงในรูปที่ 3.18



รูปที่ 3.18 ชิ้นส่วนกำกับวงล้อແຄວໃບພັດນິ່ງ ที่ออกแบบแล้ว (Frame_04)

รายละเอียดของกระบวนการผลิตชิ้นส่วนกำกับวงล้อແຄວໃບພັດນິ່ງ สามารถแบ่งได้ดังต่อไปนี้คือ

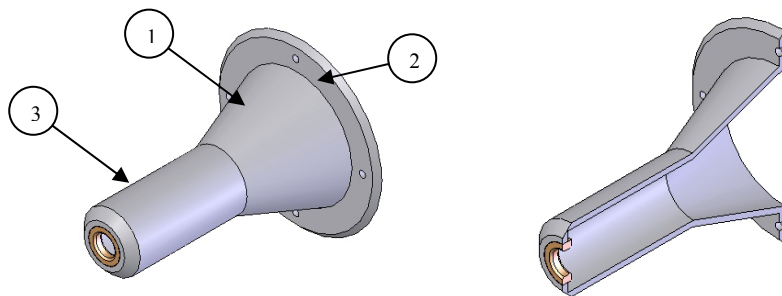
3.2.1.5.1 ศึกษารายละเอียดชิ้นส่วนที่จะทำการออกแบบ จากนั้นเริ่มขั้นตอนเชียนแบบชิ้นส่วนโดยใช้ซอฟต์แวร์ CAD (Computer Aided Design) พร้อมทั้งจัดทำรายละเอียดในการผลิตชิ้นส่วน

3.2.1.5.2 กระบวนการผลิตชิ้นส่วนกำกับวงล้อແຄວໃບພັດນິ່ງ ประภกอบด้วย

- เลือกใช้เหล็กกล้าพสม 4140 (ตามมาตรฐาน AISI ของอเมริกา) มาทำการกลึงชิ้นรูปชิ้นส่วน
- เจาะรูร่องลิม
- ทำเกลียวใน
- ใสลิมกำหนดตำแหน่ง

3.2.1.6 ชิ้นส่วนป้องกันเพลาด้านท้าย (Frame_05)

ชิ้นส่วนนี้มีหน้าที่หลักคือ เป็นชิ้นส่วนที่ป้องกันความร้อนของอากาศในขณะที่ผ่านออกมายจากแฉวไปพัดหมุนมาสัมผัสกับเพลาขับ ซึ่งอาจทำให้เกิดความเสียหายกับเพลาได้ ชิ้นส่วนป้องกันเพลาด้านท้าย ดังแสดงในรูปที่ 3.19



รูปที่ 3.19 ชิ้นส่วนป้องกันเพลาด้านท้ายที่ออกแบบแล้ว (รูปแบบ Frame_05)

รายละเอียดของกระบวนการผลิตชิ้นส่วนชิ้นส่วนป้องกันเพลาด้านท้าย สามารถแบ่งได้ดังต่อไปนี้ คือ

3.2.1.6.1 ศึกษารายละเอียดชิ้นส่วนที่จะทำการออกแบบ จากนั้นเริ่มเขียนแบบชิ้นส่วนโดยใช้ซอฟต์แวร์ CAD (Computer Aided Design) พร้อมทั้งจัดทำรายละเอียดในการผลิตชิ้นส่วน

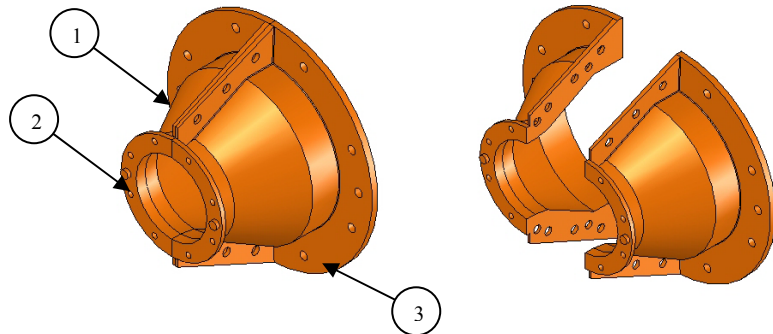
3.2.1.6.2 กระบวนการผลิตชิ้นส่วนป้องกันเพลาด้านท้ายประกอบด้วย

- เลือกใช้เหล็กหนี่ย瓦 SS 400 (ตามมาตรฐาน JIS ของญี่ปุ่น) โดยนำ ส่วนแรกนำมาม้วนชิ้นรูปด้วยเครื่องม้วนโลหะ (ลูกศรหมายเลข 1) ทำการขึ้นรูปส่วนที่สอง และส่วนที่ 3(ลูกศรหมายเลข 2 และ 3) ด้วยการกลึง

- ทำการกลึงทองเหลืองน้ำมัน (Bronze Oil Impregnated) พิกัดความเยื่อสากล
- ทำการสวมอัดทองเหลืองน้ำมันเข้ากับส่วนที่ 3
- ทำการเจาะรูในส่วนที่สองตามที่ระบุในแบบ
- นำทั้งสามส่วนมาทำการเชื่อมประกอบ โดยมีขั้นตอนการ เชื่อมให้ทำอุปกรณ์จับยึดชิ้นส่วน ฟิกซ์เจอร์ และทำการกลึงร่วมศูนย์กลางอีกด้วย
- ปรับแต่งผิวชิ้นส่วน และรอยเชื่อมประกอบ

3.2.1.7 เพรมสวามวงล้อแฉวไปพัดหมุน (Frame_06)

เพรมส่วนนี้จะทำหน้าที่เป็นเสื้อสำหรับระบบรadiator ให้แฉวไปพัดหมุน และทำหน้าที่เป็นช่องทางผ่านของอากาศร้อนที่ขยายตัวออกมายจากแฉวไปพัดหมุนคือทำหน้าที่เป็น diffuser ไปในตัว ชิ้นส่วนเพรมสวามวงล้อ แฉวไปพัดหมุนที่ออกแบบเสร็จ ดังแสดงในรูปที่ 3.20



รูปที่ 3.20 ชิ้นส่วนเฟรมสวามงล้อແຄວໃບພັດໜຸນທີ່ອກແບບແລ້ວ (Frame_06)

รายละเอียดของกระบวนการผลิตชิ้นส่วนชิ้นส่วนเฟรมสวามงล้อແຄວໃບພັດໜຸນ สามารถแบ่งได้ดังต่อไปนี้คือ

3.2.1.7.1 ศึกษารายละเอียดชิ้นส่วนที่จะทำการออกแบบ จากนั้นเริ่มขั้นตอนเขียนแบบชิ้นส่วนโดยใช้ซอฟต์แวร์ CAD (Computer Aided Design) พร้อมทั้งจัดทำรายละเอียดในการผลิตชิ้นส่วน

3.2.1.7.2 กระบวนการผลิตชิ้นส่วนชิ้นส่วนเฟรมสวามงล้อແຄວໃບພັດໜຸນ ประกอบด้วย

- ส่วนที่ 1 (ลูกศรหมายเลข 1) จะนำชิ้นส่วนมาตรวจสอบว่าลดร่วมศูนย์ (Concentric reduce) ขนาด 4.5 นิ้ว มาทำการผ่าครึ่งและทำหน้าแปลนสำหรับยึดร้อยบิล์ท ตามที่แสดงในภาพที่ 3.20

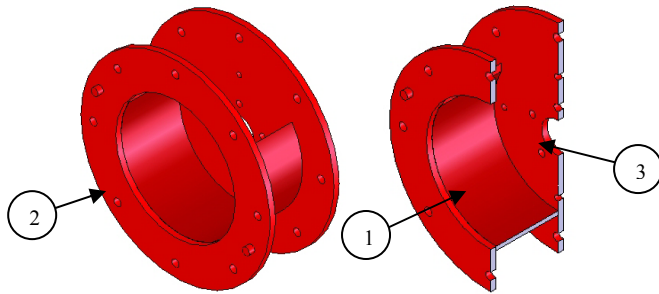
- นำทั้งสองครึ่งมาประกอบกันด้วยบิล์ท และทำการกลึงให้ได้รูป่างตามที่ระบุในแบบ
- ทำการขึ้นรูป ส่วนที่ 2 และ 3 (ลูกศรหมายเลข 2 และ 3) ด้วยการกลึงขึ้นรูปพร้อมทั้งเจาะรูร้อยบิล์ท

- นำทั้งสามส่วน (ลูกศรหมายเลข 1 2 และ 3) มาทำการเชื่อมประกอบ โดยในขั้นตอนการเชื่อมให้ทำอุปกรณ์จับยึดชิ้นส่วน พิกซ์เจอร์ เพื่อป้องกันการบิดตัวของชิ้นงานหลังเชื่อม

- ทำการกลึงปัดผิวน้ำของหน้าแปลนทั้งสองข้างอีกครั้ง
- ทำการใส่ลิมกำหนดตำแหน่งที่หน้าแปลนดังแสดงในส่วนที่ 2 (ลูกศรหมายเลข 2)
- ปรับแต่งผิวชิ้นส่วน และรอยเชื่อมประกอบ

3.2.1.8 เฟรมทางออกของอากาศ (Frame_07)

เป็นเฟรมส่วนสุดท้ายที่ทำหน้าที่เป็นทางออกของอากาศเมื่อเกิดภัยจากตัวอกราคาบเดินทางและยังทำหน้าที่ในการเป็นฐานสำหรับการยึดเสื้อไส่ต่อบล็อกปืน ชิ้นส่วนนี้ เมื่อออกแบบเสร็จแล้ว ดังแสดงในรูปที่ 3.21



รูปที่ 3.21 แสดงฟรอม ทางออกของอากาศที่ออกแบบแล้ว (Frame_07)

รายละเอียดของกระบวนการผลิตชิ้นส่วนเฟรมทางออกของอากาศ สามารถแบ่งได้ดังต่อไปนี้คือ

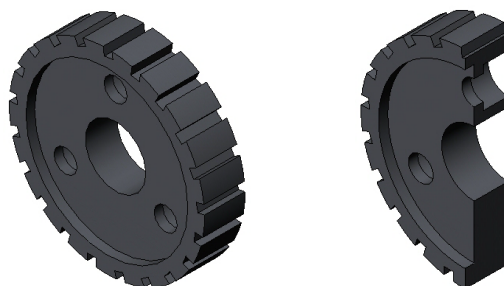
3.2.1.8.1 ศึกษารายละเอียดชิ้นส่วนที่จะทำการออกแบบ จากนั้นเริ่มขั้นตอนเขียนแบบชิ้นส่วนโดยใช้ซอฟต์แวร์ CAD (Computer Aided Design) พร้อมทั้งจัดทำรายละเอียดในการผลิตชิ้นส่วน

3.2.1.8.2 กระบวนการผลิตชิ้นส่วนเฟรมทางออกของอากาศ ประกอบด้วย

- เลือกใช้เหล็กหนาเนื้อ SS 400 (ตามมาตรฐาน JIS ของญี่ปุ่น) โดยนำมาม้วนชิ้นส่วนรูปทรงกรอบอก (ลูกศรหมายเลข 1) ด้วยเครื่องม้วนโลหะ
- ทำการขึ้นรูปหน้าแปลน (ลูกศรหมายเลข 2 และ 3) ด้วยการกลึง
- ทำการเจาะรูร้อยโบล็อท
- ทำการเชื่อมทั้ง 3 ส่วน (ลูกศรหมายเลข 1 2 และ 3)
- ทำการกลึงปาดผิวหน้าของหน้าแปลนทั้งสองข้างอีกด้วย
- ทำการใส่ลิมกำหนดตำแหน่งที่หน้าแปลนของส่วนที่ 2 (ลูกศรหมายเลข 2)
- ปรับแต่งผิวชิ้นส่วน และรอยเชื่อมประกอบ

3.2.1.9 เฟรมยึดส่วนปลายແກวainพัดนิ่ง (Shroud) (Stator_01)

ชิ้นส่วนนี้มีหน้าที่ในการยึดปลายชิ้นส่วนของແเกวainพัดนิ่ง (Nozzle blade) เพื่อที่เป็นตัวควบคุมปลายใบพัดให้ร่วมศูนย์กลางเดียวกันของใบพัดทั้งหมด และช่วยกำหนดช่องทางวิ่งของอากาศก่อนเข้าเพرمของແเกวainพัดหมุน (Nozzle frame) ชิ้นส่วนที่ออกแบบแล้วมีลักษณะดังแสดงในรูปที่ 3.22



รูปที่ 3.22 แสดงฟรอมยึดส่วนปลาย ແเกวainพัดนิ่งที่ออกแบบแล้ว (Stator_01)

รายละเอียดของกระบวนการผลิตชิ้นส่วนเฟรมยึดส่วนปลายแฉบพัดนิ่ง สามารถแบ่งได้ดังต่อไปนี้คือ

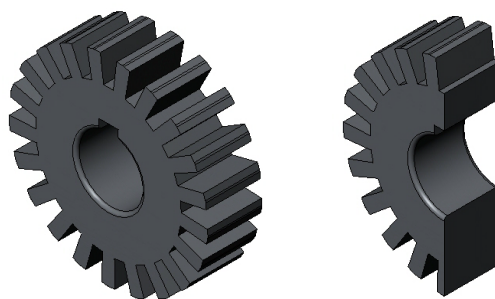
3.2.1.9.1 ศึกษารายละเอียดชิ้นส่วนที่จะทำการออกแบบ จากนั้นเริ่มขั้นตอนเขียนแบบชิ้นส่วนโดยใช้ซอฟต์แวร์ CAD (Computer Aided Design) พร้อมทั้งจัดทำรายละเอียดในการผลิตชิ้นส่วน

3.2.1.9.2 กระบวนการผลิตชิ้นส่วนเฟรมยึดส่วนปลายแฉบพัดนิ่งประกอบด้วย

- เลือกใช้สแตนเลส สตีล เกรด 316 (ตามมาตรฐาน AISI ของอเมริกา) ชิ้นส่วนที่มีลักษณะร่องฟัน จะทำการตัดเฉือนด้วยเครื่องตัดปาดด้วยการจ่ายประจุไฟฟ้าผ่านเส้นลวด
- ทำการตัดเฉือนชิ้นส่วนด้วยการกลึงในส่วนของร่องว้อยเพลา และร่องตกป่า การกลึงนั้นจะต้องกลึงให้ร่วมศูนย์กลางเดียวกันกับขอบนอก
- เจาะรูร้อยโบลท์ และทำเกลียวในตามขนาดแบบระบุ

3.2.1.10 ajanยึดส่วนโคนของแฉบพัดหมุน (Rotor disc) (Rotor_01)

ชิ้นส่วนนี้ไว้สำหรับทำหน้าที่ในการยึดส่วนโคนของแฉบพัดหมุน (Rotor blade) ให้ยึดติดกับเฟรมของแฉบพัดหมุนและทำหน้าที่ประกอบกับเพลาขับ ชิ้นส่วนที่ออกแบบเสร็จแล้วมีลักษณะดังที่แสดงในรูปที่ 3.23



รูปที่ 3.23 แสดงajanยึด ส่วนโคนของแฉบพัดหมุนที่ออกแบบแล้ว (Rotor_01)

รายละเอียดของกระบวนการผลิตชิ้นส่วนajanยึดส่วนโคนของแฉบพัดหมุน สามารถแบ่งได้ดังต่อไปนี้คือ

3.2.1.10.1 ศึกษารายละเอียดชิ้นส่วนที่จะทำการออกแบบ จากนั้นเริ่มขั้นตอนเขียนแบบชิ้นส่วนโดยใช้ซอฟต์แวร์ CAD (Computer Aided Design) พร้อมทั้งจัดทำรายละเอียดในการผลิตชิ้นส่วน

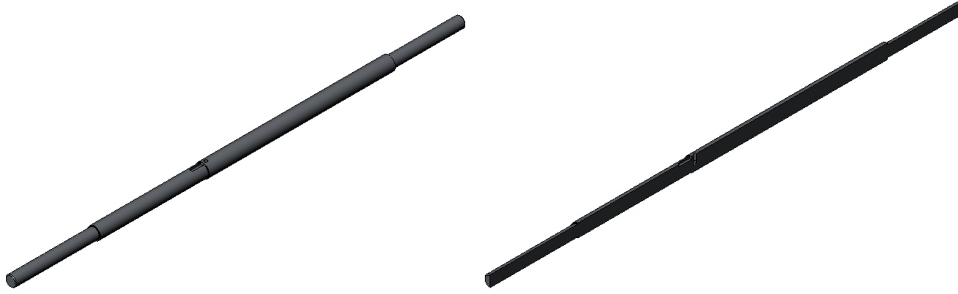
3.2.1.10.2 กระบวนการผลิตชิ้นส่วนajanยึดส่วนโคนของแฉบพัดหมุนประกอบด้วย

- เลือกใช้ สแตนเลส สตีล เกรด 316 (ตามมาตรฐาน AISI ของอเมริกา) ในการผลิตจะทำการตัดเฉือนชิ้นส่วนตรงบริเวณที่มีลักษณะร่องฟัน ด้วยเครื่องตัดปาดด้วยการจ่ายปะจุไฟฟ้าผ่านเส้นลวด

- ทำการขึ้นรูปชิ้นส่วนด้วยการกลึงในส่วนของร่องร้อนอยเพลาขับ
- จะทำการตัดเฉือนชิ้นส่วนตรงบริเวณร่องลิม ด้วยเครื่องตัดปาดด้วยการจ่ายปะจุไฟฟ้าผ่านเส้นลวด

3.2.1.11 เพลาขับ (Shaft_01)

เพลาทำหน้าที่ในการส่งกำลัง และช่วยยึดจานยึดส่วนโคนของแฉวibeพัดหมุนลักษณะเพลาที่ออกแบบเสร็จแล้ว แสดงในรูปที่ 3.24



รูปที่ 3.24 แสดงเพลาขับ(Shaft_01)

รายละเอียดของกระบวนการผลิตชิ้นส่วนเพลาขับ สามารถแบ่งได้ดังต่อไปนี้คือ

3.2.1.11.1 ศึกษารายละเอียดชิ้นส่วนที่จะทำการออกแบบเบื้องต้น จากนั้นเริ่มเขียนต้นแบบชิ้นส่วนโดยใช้ซอฟต์แวร์ CAD (Computer Aided Design) พร้อมทั้งจัดทำรายละเอียดในการผลิตชิ้นส่วน

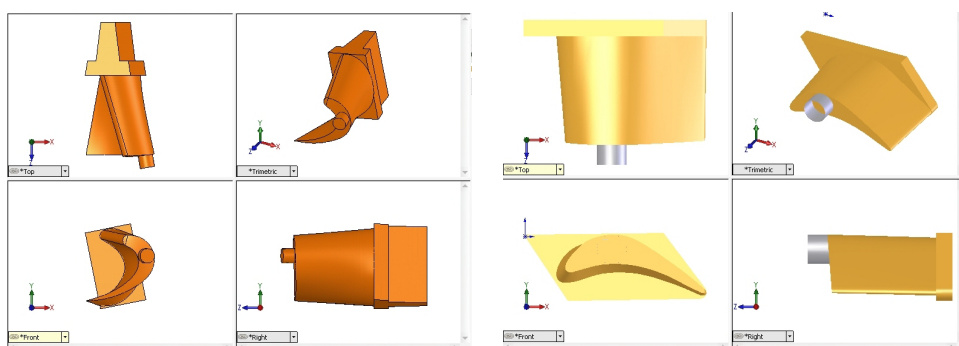
3.2.1.11.2 กระบวนการผลิตชิ้นส่วนเพลาขับ ประกอบด้วย

- เลือกใช้เหล็กกล่างงานร้อน (Hot work tool, ตามมาตรฐาน BOHLER) ในการผลิตทำการกลึงระหว่างศูนย์ (Turning between center) ป้องกันไม่ให้งานเรียว และไม่ได้กลึงลงบนศูนย์คงที่ [31]

- นำเพลาที่ได้มาทำการกัดร่องลิม โดยใช้มีดกัดร่องสล็อต [32]
- นำเพลามาทำการเจียร์ในผิวให้ได้ขนาดตามพิกัดความผื่นที่กำหนด และร่วมศูนย์กลางเดียวกันของเพลา

3.2.1.12 ใบพัดนิ่งและใบพัดหมุน (Nozzle and Rotor blade) (Turbine blade_Stator, Turbine blade_Rotor)

ແກ່ໄປພັດນິ່ງຈະທຳໜ້າທີ່ໃນການກຳກັບອາກະສົ່ອນທີ່ມາຈາກຫ້ອງເພາໄໝ໌ໃຫ້ຝູ່ກະທບປີເປັດ
ໜຸນເພື່ອຄ່າຍເຖິງລັງງານຈຸລນ໌ ເນື້ອແກ່ໄປພັດໜຸນໄດ້ຮັບລັງງານຈຸລນ໌ຈາກອາກະສົ່ອນທີ່ພຸ່ງມາຈາກ
ແກ່ໄປພັດນິ່ງຈະເກີດກາຮ່າມຸນຂຶ້ນ ອາກະສົ່ອນທີ່ໄລຍ່ອຍ່າງຕ່ອນເນື່ອງຈະໂຫລດລັງງານຈຸລນ໌ລົງບົນໄປພັດ
ໜຸນຕົລອດເວລາຈຶ່ງຂັບແກ່ໄປພັດໜຸນເຄລື່ອນທີ່ຈຶ່ງທຳໃຫ້ເກີດການເພົາຂຶ້ນມາ ຈະເກີດການເພົາມາກ
ຫົວໜ້ອຍແລ້ວແຕ່ຄວາມໂຄ້ງແລະການປົດຂອງໄປພັດ (Reaction) ໄປພັດນິ່ງແລະໄປພັດໜຸນທີ່ອຳນວຍແບບ
ແລ້ວມີລັກຜະນະ ແສດໃນຮູບທີ່ 3.25



ຮູບທີ່ 3.25 ແສດໃນປັດນິ່ງແລະໄປພັດໜຸນ (Nozzle and Rotor blade) ທີ່ອຳນວຍແບບແລ້ວ (Turbine blade_Stator, Turbine blade_Rotor)

ຮາຍລະເອີດຂອງກະບວນການພົມຕື່ນສ່ວນໄປພັດນິ່ງແລະໄປພັດໜຸນ ສາມາດຮັບແປງໄດ້ດັ່ງຕ່ອງໄປນີ້ເຄື່ອ
3.2.1.12.1 ສຶກໜາຮາຍລະເອີດຕື່ນສ່ວນທີ່ຈະທຳການອຳນວຍແບບ ຈາກນັ້ນເຮັ່ມຂຶ້ນຕອນເຂົ້າຢັນແບບຕື່ນສ່ວນ
ໂດຍໃໝ່ໂຟຣ໌ເວຼຣ໌ CAD (Computer Aided Design) ພ້ອມທັງຈັດທ່າງລະເອີດໃນການພົມ
ຕື່ນສ່ວນ

3.2.1.12.2 ກະບວນການພົມຕື່ນສ່ວນໄປພັດນິ່ງແລະໄປພັດໜຸນ ປະກອບດ້ວຍ

- ທຳການຂຶ້ນຮູບປັ້ນສ່ວນດັ່ນແບບດ້ວຍດິນເໜີ່ຍາ ເພື່ອທີ່ຈະທຳໃຫ້ສາມາດທຽບໜາກຂາດ ແລະ
ລັກຜະນະຂອງໄປພັດ ທີ່ສຶກທາກການປົດຕ້ວຂອງໄປພັດຈາກໂຄນເຖິງປລາຍ

- ນຳຕື່ນສ່ວນທີ່ໄດ້ໄປທຳການເພາແລະຂັດຕື່ນສ່ວນໃຫ້ໄດ້ຮູ່ກວດແລະຄວາມເຮັດວຽກຕາມຕໍ່ອງການ
- ຕື່ນສ່ວນທີ່ໄດ້ຈະຄູກໃຫ້ເປັນແບບວັດຖຸແຂງ (Solid model) ເພື່ອນໍາໄປທຳກາຮສແກນ (Scan)
ເພື່ອທຳການເກີບຂໍ້ອນນູ້ລາຍລະເອີດໃນຮູ່ປະຈຸບັນຈຳລອງຄອມພິວເຕອງ (Cad model) ດ້ວຍເຄື່ອງເກີບພິກັດ
ສາມມືຕົວບັນດາປົກຕົວ [33-35] ດັ່ງແສດງໃນຮູບທີ່ 3.26 (ກ)

- ຂໍ້ອມຸດທີ່ໄດ້ຈາກກາຮສແກນພື້ນຜົວນັ້ນຍັງໄມ່ສມບູຽນຈຳເປັນທີ່ຈະຕ້ອງທຳກາຮຊ່ອມແຊມພື້ນຜົວ
ຈາກກາຮສແກນໃຫ້ສມບູຽນ

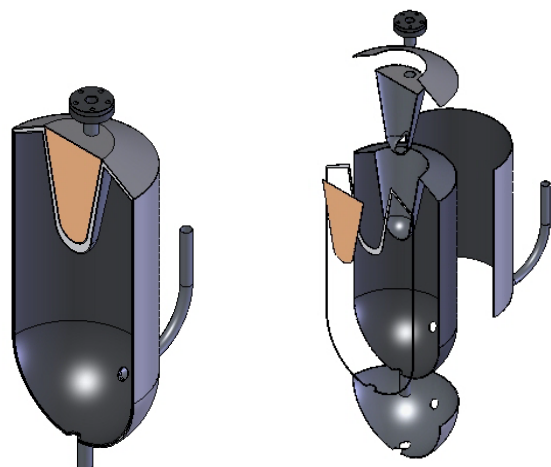
- เลือกใช้ สแตนเลสตีล เกรด 316 (ตามมาตรฐาน AISI ของอเมริกา) ในการผลิตโดยทำการตัดเยื่อนชิ้นส่วนตรงบริเวณส่วนฐานไปด้วยเครื่องตัดปัดด้วยการจ่ายปะจุไฟฟ้าผ่านเส้นลวด
- นำชิ้นส่วนที่ได้มาเข้าเครื่องกัดชนิด 5 แกน (CNC milling machining center, 5 axes) เพื่อทำการกัดชิ้นส่วน ดังแสดงในรูปที่ 3.26(ข)



รูปที่ 3.26 (ก) เครื่องเก็บพิกัดสามมิติระบบออปติก (ข) เครื่องซีเอ็นซีมิลลิ่ง แบบ 5 แกน

3.2.2 วิธีและขั้นตอนสร้างห้องเผาใหม่ถ่ายเทความร้อน

ห้องเผาใหม่ซึ่งมีลักษณะเป็นคูปกรณ์แลกเปลี่ยนความร้อนไปในตัวด้วยน้ำจะทำการถูกสร้างเป็นถังรูปทรงกระบอก ข้อนกันเป็น 2 ชั้น ในลักษณะแนวศูนย์กลางร่วม (Concentric tubes) ห่างกันประมาณ 3 มิลลิเมตร เพื่อให้เกิดการแลกเปลี่ยนความร้อนระหว่างก๊าซร้อนของระบบเผาใหม่เชื้อเพลิง กับอากาศของระบบเทอร์ไบน์ ก๊าซร้อนที่ได้จากการเผาใหม่จะถ่ายเทความร้อนผ่านผนังเตาชั้นในเข้าสู่อากาศของระบบเทอร์ไบน์ที่อยู่กำลังไอลระหว่างช่องว่างของผนังเตา ห้องเผาใหม่ถ่ายเทความร้อนที่ออกแบบไว้มีรูปร่างลักษณะดังแสดงในรูปที่ 3.27



รูปที่ 3.27 แสดงห้องเผาใหม่ ชนิดถ่ายเทความร้อนที่ออกแบบไว้ (Heat exchanger furnace)

รายละเอียดของกระบวนการผลิตชิ้นส่วนห้องเผาใหม่ชนิดถ่ายเทความร้อนสามารถแบ่งได้ดังต่อไปนี้คือ

3.2.2.1 ศึกษารายละเอียดชิ้นส่วนที่จะทำการออกแบบ จากนั้นเริ่มขั้นตอนเขียนแบบชิ้นส่วนโดยใช้ซอฟต์แวร์ CAD (Computer Aided Design) พร้อมทั้งจัดทำรายละเอียดในการผลิตชิ้นส่วน

3.2.2.2 กระบวนการผลิตชิ้นส่วนห้องเผาใหม่ชนิดถ่ายเทความร้อนประกอบด้วย

- สร้างห้องเผาใหม่โดยเลือกใช้แผ่นเหล็ก SS 400 (ตามมาตรฐาน JIS ของญี่ปุ่น) มาทำการตัดให้ได้ขนาดและความยาวที่ต้องการ

- งานในลักษณะรูปทรงกระบวนการ กะนำเหล็กแผ่นเหล็กมาม้วนขึ้นรูปด้วยเครื่องม้วนโลหะ (Sheet Metal Rolling Machine) ส่วนงานตรงบริเวณก้านถังที่มีลักษณะโค้งงับ จะขึ้นรูปด้วยการปั๊มขึ้นรูป (Hydraulic Power Press)

- ชิ้นส่วนห้องเผาใหม่จะนำมาเชื่อมประกอบด้วยการเชื่อมทิก (TIG)
- ในระหว่างการประกอบนั้นจะทำการใส่ลิ่มให้ขนาดในระหว่างชั้นของถังทั้งสอง เพื่อความถูกต้องของระยะห่างระหว่างถังทั้งสองเป็นไป และความง่ายในการประกอบชิ้นส่วน

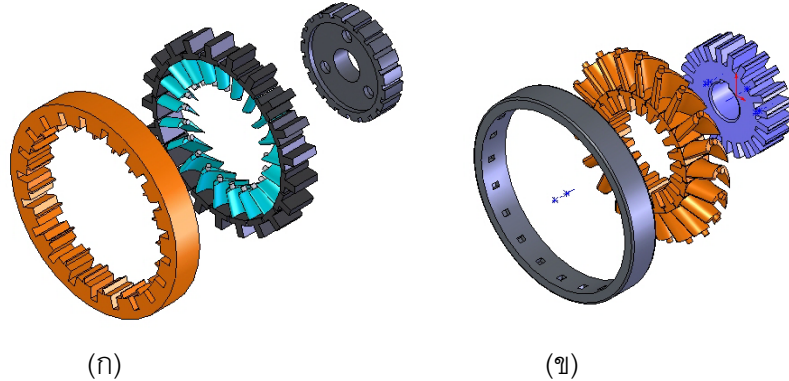
3.3 การประกอบเครื่อง (Assembly)

3.3.1 การประกอบแฉวไปพัดนิ่ง และแฉวไปพัดหมุนเข้ากับชิ้นส่วนเฟรมทั้งสองแบบ

การประกอบชิ้นส่วนนั้น จะแสดงการประกอบชิ้นส่วนที่สำคัญคือ การประกอบแฉวไปพัดนิ่ง (Nozzle blade) และแฉวไปพัดหมุน (Rotor blade) เข้ากับajanหมุนและ shroud โดยการประกอบทั้งสองแบบนั้น จะทำการประกอบด้วยการเชื่อมทิก (TIG) เนื่องจากเป็นเทคนิคการเชื่อมที่เหมาะสม การเชื่อมแบบทิก (TIG) หลักการทั่วไปคล้ายกับการเชื่อมโลหะด้วยไฟฟ้า กล่าวคือ ความร้อนที่ทำให้โลหะหลอมละลายนั้นเกิดจากการอาร์ค ระหว่างอิเล็กโทรด (Tungsten Electrode) กับชิ้นงาน ขณะเดียวกันบริเวณที่เกิดอาร์คจะมีแก๊ส惰性 (Inert Gas) ปกคลุมรอบบริเวณนั้น เพื่อป้องกันออกซิเจน ในต่อเจน และความชื้น ซึ่งมีในอากาศ เข้ามาร่วมกับโลหะที่กำลังหลอมละลาย [36-37]

ในการเชื่อมประกอบนั้นจำเป็นอย่างยิ่งที่จะต้องให้ความสำคัญเกี่ยวกับการบิดตัวของชิ้นงานที่ทำการเชื่อมประกอบ ดังนั้นในขั้นตอนก่อนการเชื่อมจำเป็นที่จะต้องทำอุปกรณ์จับยึดชิ้นงานในการเชื่อมด้วย อุปกรณ์นี้เรียกว่า พิกซ์เจอร์ ซึ่งเป็นเครื่องมือสำหรับใช้ทำงานในอุตสาหกรรมการผลิตชิ้นงานให้เที่ยงตรงเหมือนกันทุกๆชิ้น ความสัมพันธ์และความถูกต้องระหว่าง

ฟิกซ์เจอร์กับชิ้นงานจะต้องถูกรักษาให้คงเดิมอยู่ตลอดเวลา ฟิกซ์เจอร์ ถูกออกแบบและสร้างขึ้นมาเพื่อยึดจับ รองรับ และกำหนดตำแหน่งชิ้นงานทุกๆชิ้น



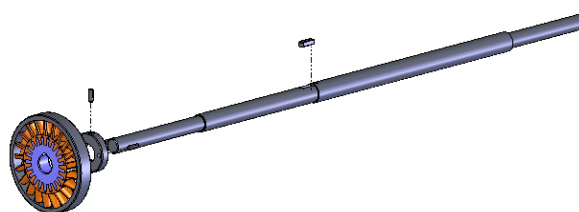
รูปที่ 3.28 (ก) การประกอบแฉวไปพัดนิ่ง (ข) การประกอบแฉวไปพัดหมุน เข้ากับajanหมุน และ shroud

การประกอบแฉวไปพัดนิ่ง ที่แสดงในรูปที่ 3.28 (ก) และแฉวไปพัดหมุน ที่แสดงในรูปที่ 3.28 (ข) เข้ากับajanหมุนและ shroud มีขั้นตอนการประกอบดังนี้คือ

- ทำการออกแบบ ฟิกซ์เจอร์ (Fixture) เพื่อใช้ในการจับยึดชิ้นส่วนในขณะทำการเชื่อม
- ทำการเชื่อมประกอบด้วยเทคนิคการเชื่อมแบบทิก (TIG)
- ทำการเจียระไนด้านหน้าและด้านหลังของตัวเฟรม เพื่อที่จะให้ได้ขนาดตามพิกัดความกว้างที่ระบุ และต้องให้ร่วมศูนย์กลางเดียวกันของทั้งชิ้นส่วน

3.3.2 การประกอบเพลาขับ (Shaft_01) เข้ากับวงล้อไปพัดหมุน (Rotor disc)

หลังจากที่ได้ทำการประกอบตัวไปพัดเข้ากับตัวajanหมุนแล้ว shroud แล้วนั้น จะนำวงล้อไปพัดหมุนที่ได้มาระบุไว้ ประกอบเข้ากับเพลาขับที่หอดหนึ่ง ซึ่งมีความสำคัญมากเช่นกัน เพราะไม่เพียงแต่การประกอบให้เข้ากันได้เท่านั้น แต่จะต้องไม่เกิดการเยื่องศูนย์กลาง ดังแสดงในรูปที่ 3.29



รูปที่ 3.29 การประกอบเพลาขับเข้ากับเฟรมแฉวไปพัดหมุน (Rotor frame)

การประกอบการประกอบเพลาขับ เข้ากับวงล้อแฉวไปพัดหมุน มีขั้นตอนการประกอบดังนี้คือ

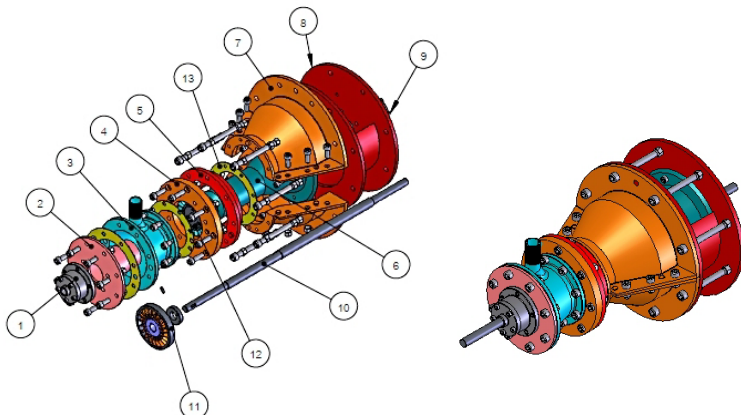
- ใส่ลิมอัด (Flat key) เข้าในร่องลิม

- สวยงามล้อใบพัดเข้ากับเพลาและคู่อย่างเคาะเข้าไปในลิม การสวมนั้นพยายามเข้าพร้อมกันทั้งระบบ

- ทำการยึดวงล้อเข้ากับล็อกเพลาด้วยสกรูล็อก

3.3.3 การประกอบเทอร์บิน

ทำการประกอบส่วนประกอบต่างๆ ของเทอร์บินที่ได้กล่าวถึงขั้นตอนการผลิตมาแล้วมาประกอบเข้าด้วยกัน โดยขั้นตอนการประกอบได้แก่



รูปที่ 3.30 ภาพแสดงส่วน ประกอบต่างๆ ของเทอร์บิน

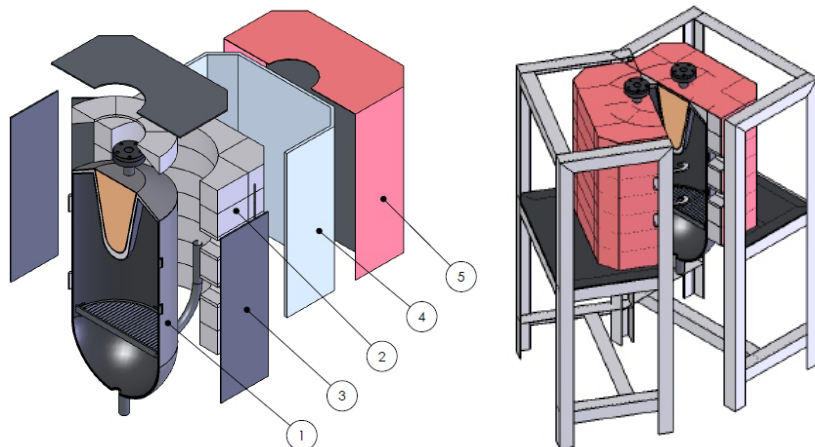
- ทำการประกอบเสื้อใส่ตัวลับลูกปืน (Housing) เข้ากับตัวลับลูกปืนทั้งสองชุด
- ประกอบเพลาขับ เข้ากับวงล้อແറาใบพัดหมุน
- ทำการประกอบชิ้นส่วนทั้งหมดเข้าด้วยกัน โดยเริ่มจากทางด้านท้ายของเทอร์บิน ดังแสดงในภาพประกอบ ของในรูปที่ 3.30
- นำชิ้นส่วนมาตรฐานต่างๆ เช่น นัด (Nut) ประเก็น (Gasket) มาทำการประกอบ
- เมื่อทำการประกอบเสร็จทดลองการหมุนด้วยมือ ถ้าเกิดการติดขัดจะต้องทำการปรับตั้งศูนย์ของเสื้อใส่ตัวลับลูกปืนอีกครั้ง

3.3.4 การประกอบห้องเผาไหม้

- นำห้องเผาไหม้ที่ทำการเชื่อมประกอบโดยสมบูรณ์มาประกอบเข้ากับโครงเหล็กเพื่อความแข็งแรง

- ทำการต่ออุปกรณ์วัดอุณหภูมิซึ่งได้แก่ (เทอร์โมคัปเปิล) ชนิด K ซึ่งเป็นที่นิยมอย่างแพร่หลายมากที่สุด สามารถใช้กับสภาพการทำงานที่เป็น Oxidizing หรือ Inert ได้ดีกว่าแบบอื่น สามารถทนอุณหภูมิได้ถึง 1260°C ($2,300^{\circ}\text{F}$) และที่อุณหภูมิต่ำถึง -250°C (-420°F) ในสภาพงานที่ต้องรับการแพร่ร้อนโดยตรงจากแหล่งกำเนิดความร้อน แบบ K ก็สามารถใช้งานได้ดีเช่นกัน [38]

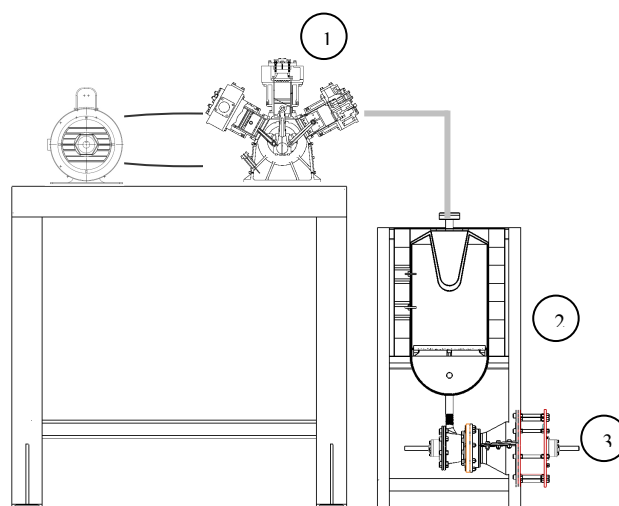
- เชื่อมประภากوبหน้าแปลน (Flange) เพื่อเป็นทางเข้าและทางออกของอากาศในระบบเทอร์บิน
- เชื่อมประภากوبท่อทางเข้าของอากาศเพื่อการเผาไม้และท่อทางออกของไอเสีย
- ทำการหุ้มฉนวนเตาเผาให้เหมือนด้วยอิฐทนไฟ (Brick Insulator) และเพื่อที่จะได้เก็บความร้อนได้ดียิ่งขึ้นจะทำการหุ้มด้วยเซรามิกไฟเบอร์ (Ceramic Fiber) ครอบอิฐทนไฟอีกชั้น ในชั้นสุดท้ายจะติดกระจกเงาเพื่อช่วยป้องกันการถ่ายเทความร้อนแบบการแผ่วรังสี (Radiation)



รูปที่ 3.31 แสดงส่วนประภากوبห้องเผาใหม่

- | | |
|------------------|-------------------|
| 1. ห้องเผาใหม่ | 2. อิฐทนไฟ |
| 3. กระจกเงา | 4. เซรามิกไฟเบอร์ |
| 5. โครงเหล็กแผ่น | |

3.3.5 การประกอบเครื่องยนต์ก๊าซเทอร์บิน



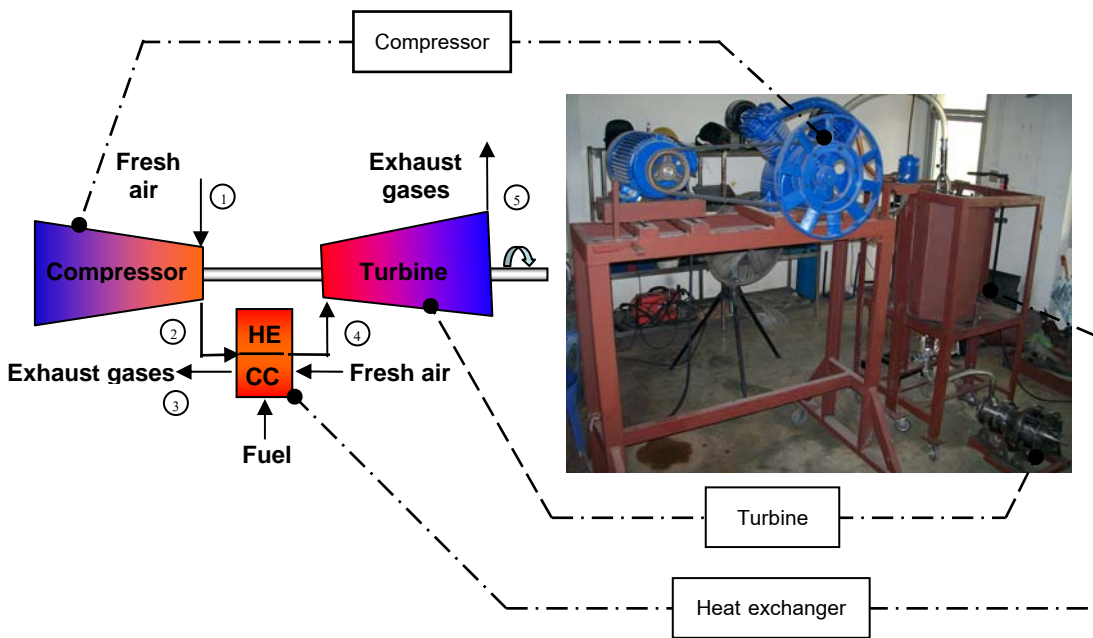
รูปที่ 3.32 แสดงภาพสเก็ตของ เครื่องยนต์ก๊าซเทอร์บินที่สมบูรณ์

การประกอบเครื่องยนต์ก๊าซเทอร์บิน ทำโดยการประกอบส่วนย่อย 3 ส่วนได้แก่ 1.เครื่องอัดอากาศ (Air compressor) 2.ห้องเผาไหมถ่ายเทความร้อน (Heat exchanger furnace) 3.เทอร์บิน (Turbine) เข้าด้วยกัน ซึ่งเมื่อประกอบเสร็จแล้ว จะได้เครื่องยนต์ก๊าซเทอร์บินมีลักษณะดังภาพสเก็ตที่ แสดงในรูปที่ 3.32

บทที่ 4

ผลการสร้างเครื่องยนต์ก๊าซเทอร์บอิน์และการวิจารณ์

4.1 ผลการประกอบเครื่องยนต์ก๊าซเทอร์บอิน์



รูปที่ 4.1 แสดงระบบเครื่องยนต์ก๊าซเทอร์บอิน์

เครื่องยนต์ก๊าซเทอร์บอิน์ในงานวิจัยนี้จะเป็นระบบวงจรกึ่งปิดมีองค์ประกอบต่างๆ เหมือนกับระบบเปิด ต่างกันเพียงตรงที่กระบวนการป้อนความร้อนสู่ระบบการทำงานเท่านั้น ซึ่งในระบบวงจรปิดจะมีการป้อนเข้าเพลิงเหลวหรือก๊าซที่สะอาดเข้าไปเพาให้มีกับอากาศที่อัดด้วยเครื่องอัดอากาศโดยตรง แต่ในวงจรกึ่งปิดนั้นเข้าเพลิงที่ใช้จะเป็นของแข็ง ของเหลว หรือก๊าซ เข้าไปเพาให้มีกับอากาศส่วนหนึ่งในห้องเผาใหม่ เมื่อกีดความร้อนขึ้นจะความร้อนถ่ายเทเข้าสู่อากาศ อัดตัวมาจากการเครื่องอัดอากาศ (Compressor) ทำให้อากาศมีแรงดันและอุณหภูมิสูง จึงขยายตัวผ่านเทอร์บอิน์ไปยังความดันบรรยากาศ ทำให้ได้กำลังออกมาก ซึ่งเครื่องอัดอากาศในงานวิจัยนี้จะใช้เครื่องอัดอากาศชนิดลูกสูบ (Reciprocating air compressor) มาทำการอัดอากาศ ซึ่งสามารถสร้างความดันได้สูง ห้องเผาใหม่ที่สร้างขึ้นนั้นจะมีลักษณะเป็นคุปกรอน์แลกเปลี่ยนความร้อนไปด้วยในตัว (Heat exchanger furnace) ใช้ในการเผาใหม่เข้าเพลิงแข็งเพื่อสกัดความร้อนออกมายกอิน์เบน์นั้นเป็นแบบไอลดามแกน (Axial flow gas turbine) ดังแสดงในรูปที่ 4.1

4.2 ส่วนเครื่องอัดอากาศแบบลูกสูบ (Reciprocating air compressor)

เครื่องอัดอากาศที่ใช้ในงานวิจัยนี้ได้ใช้เครื่องอัดอากาศชนิดลูกสูบ (Reciprocating air compressor) สำเร็จรูป ยี่ห้อ PUMA รุ่น PP275 ขนาด 7.5 HP, 5.5 KW, จำนวนหัวสูบ 2 หัว ซึ่งให้ปริมาณลมเท่ากับ 1,280 l/min เพื่อนำมาใช้งาน



รูปที่ 4.2 แสดงเครื่องอัดอากาศแบบลูกสูบ (Reciprocating Air Compressor)

เครื่องอัดอากาศแบบลูกสูบนี้ แสดงในรูปที่ 4.2 เป็นที่นิยมใช้กันมากที่สุดในภาคอุตสาหกรรม ทั้งในการอัดอากาศและการอัดความเย็น อากาศที่ถูกปิดอยู่ในระบบอกรสูบของเครื่องอัดอากาศแบบนี้จะสามารถอัดให้ความดันได้สูงมาก ทั้งนี้ขึ้นอยู่กับความแข็งแรงของวัสดุที่ทำขึ้นส่วนของอัด และกำลังขับของมอเตอร์ เครื่องอัดอากาศแบบนี้ จะอัดให้มีการไหลของอากาศเป็นจังหวะๆ ซึ่งแตกต่างจากระบบการอัดอากาศที่นิยมใช้กันทั่วไปกับเครื่องยนต์เทอร์บอโนร์สเป็นแบบอัดในแนวแกน (Axial flow compressor) เครื่องอัดอากาศแบบไอลดามาแนกให้มีปริมาณอากาศมาก ๆ และต่อเนื่อง ความเร็วของลมที่ถูกดูดให้ผ่านใบพัดเปลี่ยนจากพลังงานจลน์เป็นพลังงานลมอัด แต่เนื่องจากเครื่องอัดอากาศแบบลูกสูบหาได้ง่ายกว่ามาก อันเนื่องจากเทคโนโลยีที่ไม่ทันช่วง ราคายังไม่แพง และค่าบำรุงรักษาที่ไม่มาก ดังนั้นในงานวิจัยนี้จึงได้เลือกนำมาใช้ทำงาน ถึงแม้ว่าเครื่องอัดอากาศแบบลูกสูบจะผลิตความดันได้สูงแต่ปริมาณลมที่ได้นั้นจะต่ำ (ขึ้นอยู่กับขนาดลูกสูบ และกำลังขับของมอเตอร์) เมื่อเทียบกับเครื่องอัดในแนวแกน แต่สามารถทำการปรับปรุงได้ค่อนข้างได้โดยให้เครื่องอัดอากาศมากกว่าหนึ่งตัวมาเพิ่มเพื่อให้ได้ปริมาณลมที่ต้องการ การไหลเป็นจังหวะของอากาศแก่ไขได้โดยให้เครื่องอัดอากาศอยู่ห่างจากเทอร์บอโนร์สให้มาก ปล่อยให้ก๊าซไหลผ่านท่อค่อนถึงเทอร์บอโนร์ส จะช่วยลดการกระเพื่อมของการไหลให้กับเทอร์บอโนร์ส

4.3 ห้องเผาไหม้ที่มีการถ่ายเทความร้อนแบบ Recuperator

ห้องเผาไหม้ที่สร้างนั้นมีลักษณะเป็นอุปกรณ์แลกเปลี่ยนความร้อนไปด้วยในตัว โดยทำการสร้างห้องเผาไหม้เป็นรูปทรงกรวยและมีผิวช้อนกันเป็น 2 ชั้น ห่างกันประมาณ 2-3

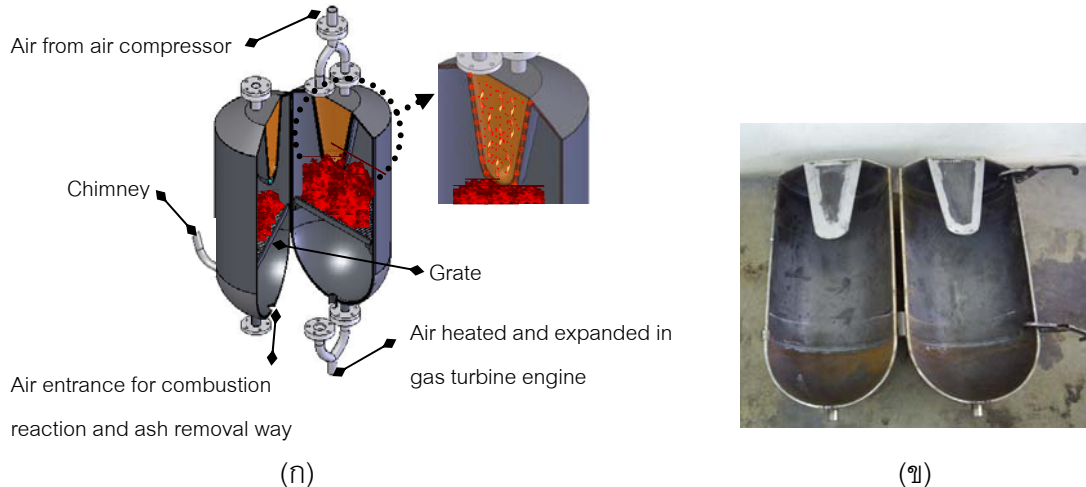
มิลลิเมตร เพื่อให้เกิดการแลกเปลี่ยนความร้อนระหว่างก้าชร้อนของระบบเผาไหม่เช้อเพลิง กับอากาศของระบบเทอร์บินที่มาจากการเครื่องอัดอากาศ ก้าชร้อนที่ได้จากการเผาไหม่จะถ่ายเทความร้อนผ่านผนังเตาชั้นในเข้าสู่อากาศของระบบเทอร์บินที่อยู่ระหว่างช่องว่างของผนังเตาห้องเผาไหม่แบบแลกเปลี่ยนความร้อนผ่านผนังที่สร้างสำเร็จในรูปที่ 4.3 ซึ่งแสดงให้เห็นห้องเผาไหม่ที่ถูกหุ้มด้วยกันความร้อนอย่างสมบูรณ์



รูปที่ 4.3 แสดงห้องเผาไหม่ที่ทำการสร้างสำเร็จพร้อมหุ้มด้วยกันความร้อนอย่างสมบูรณ์

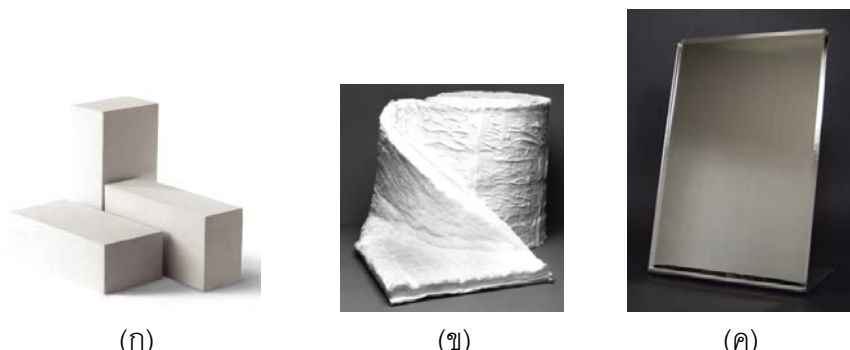
ห้องเผาไหม่แบบถ่ายเทความร้อนถูกสร้างขึ้นโดยใช้แผ่นเหล็กหนา SS 400 ซึ่งเป็นเหล็กแผ่นรีดร้อนที่มีคุณสมบัติในการเชื่อมที่ดี สามารถเชื่อมต่อได้ง่าย มาทำการตัดให้ได้ขนาดและความยาวที่ต้องการ และนำมาขึ้นรูปด้วยเครื่องม้วนโลหะ (Sheet metal rolling machine) โดยมีพิกัดความเบี่ยงเบนไม่เกิน ± 1.5 มิลลิเมตร สำหรับส่วนกันดักที่มีลักษณะโค้ง ขึ้นรูปด้วยการบีบขึ้นรูป (Hydraulic power press) มีพิกัดความเบี่ยงเบนไม่เกิน ± 1.5 มิลลิเมตร เช่นกัน ห้องเผาไหม่ที่มีการแลกเปลี่ยนความร้อนผ่านผนังที่สร้างแล้วเสร็จ แสดงในรูปที่ 4.4

การเชื่อมประกอบผนังห้องเผาไหม่จะใช้เทคนิคการเชื่อมทิก (TIG) เพราะการเชื่อมทิกจะเกิดการซึมลึกของการเชื่อมค่อนข้างดี รอยเชื่อมที่ได้จะมีขนาดที่เล็ก [37-38] ซึ่งจะไปลดปัญหาการบิดตัวของชิ้นงานเมื่อทำการประกอบ ในระหว่างขั้นตอนของการประกอบมีการใส่ลิมเพื่อกันระหว่างชั้นให้ได้ระยะห่าง 3 มิลลิเมตร เพื่อที่ให้ทำการประกอบได้ง่ายและได้ระยะห่างที่ถูกต้องในระหว่างชั้นทั้งสองตามที่ต้องการ



รูปที่ 4.4 แสดงภาพสเก็ตของห้องเผาใหม่ที่มีการแลกเปลี่ยนความร้อนผ่านผนัง (ก) และห้องเผาใหม่ที่ผ่านการซื้อมาประกอบแล้วเสร็จสมบูรณ์ (ข)

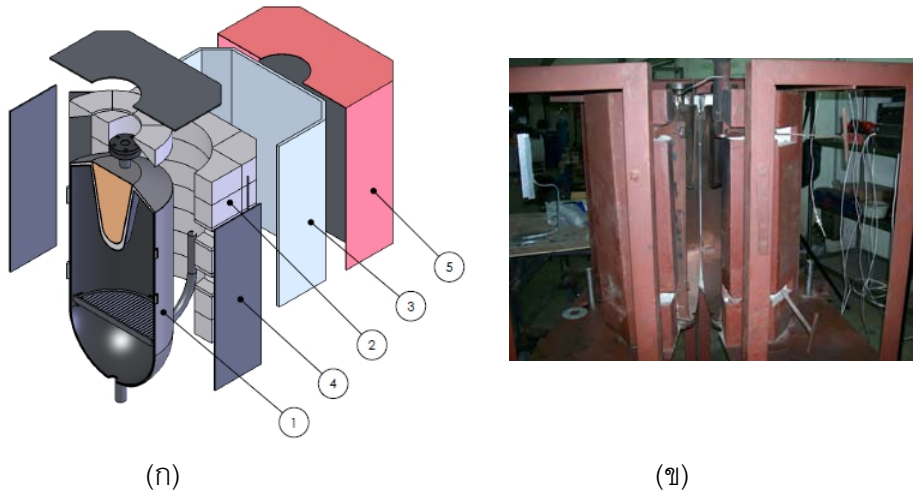
ทำการหุ้มชั้วนห้องเผาใหม่ที่สร้างในรูปที่ 4.4 (ข) เพื่อป้องกันการถ่ายเทความร้อนออกสู่สิ่งแวดล้อมซึ่งแรกหุ้มด้วยอิฐมวลเบาทนไฟ (แสดงในรูปที่ 4.5 (ก)) และเพื่อที่จะได้เก็บความร้อนได้ดียิ่งขึ้น ซึ่งที่สองจะได้หุ้มด้วยเซรามิกไฟเบอร์ (แสดงในรูปที่ 4.5 (ข)) อีกชั้นหนึ่ง ซึ่งทั้งอิฐมวลเบาทนไฟและเซรามิกไฟเบอร์มีค่าความร้อนที่ต่ำมากๆ การหุ้มชั้วนห้องเผาใหม่ทั้งสองชนิดนี้ จะทำหน้าที่บล็อกการถ่ายเทความร้อนแบบนำความร้อนออกจากเตาสู่สิ่งแวดล้อม สรุวารบล็อกการแผ่วงเสื่อความร้อน จะทำโดยทำการใส่กระจากเงารอบๆ เตา (แสดงในรูปที่ 4.5 (ค)) ต่อจากชั้นเซรามิกไฟเบอร์เป็นชั้นที่สามเพื่อสะท้อนรังสีความร้อน



รูปที่ 4.5 แสดงชั้วนกันความร้อนชนิดต่างๆ (ก) อิฐทนไฟ (ข) เซรามิกไฟเบอร์ (ค) กระจากเงา

เมื่อทำการหุ้มชั้วนกันความร้อนครบทั้งสามชั้นแล้ว ในชั้นสุดท้ายจะทำการหุ้มด้วยเหล็กแผ่น เพื่อให้ความแข็งแรงกับชั้วนกันความร้อนของห้องเผาใหม่อีกชั้นหนึ่งได้ห้องเผาใหม่ที่สมบูรณ์ ดังแสดงในรูปที่ 4.6 จากนั้นทำการต่ออุปกรณ์รัดอุณหภูมิซึ่งเทอร์โมคัปเปิล ชนิด K โลหะที่ใช้หุ้มลวดเทอร์โมคัปเปิล (Sheath) นั้นจะใช้เป็น อินโคเนล (Inconel) ซึ่งอุณหภูมิสูงสุดในการใช้

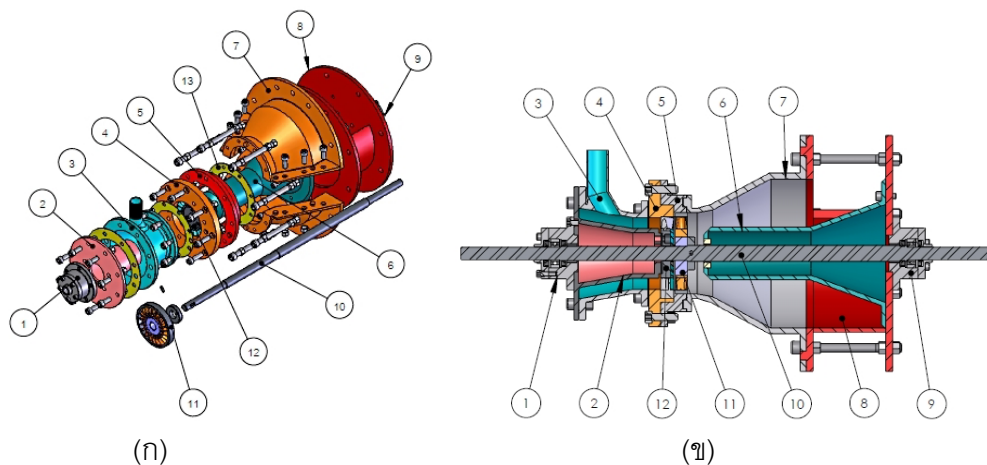
งานคือประมาณ 1140°C (2100°F) สามารถทำการวัดในสภาวะที่เป็น Oxidizing หรือ Inert และในสภาวะที่ต้องรับการแผ่รังสีโดยตรงได้ดี [39] จากนั้นทำการต่อหน้าแปลน (Flange) เพื่อเป็นทางเข้าของอากาศที่มาจากการเครื่องขัดอากาศและเป็นทางออกของอากาศเพื่อให้หลังกังหันก้าช



รูปที่ 4.6 แสดงห้องเผาไนโตร ภาพสเก็ตห้องเผาไนโตร (ก) ห้องเผาไนโตรที่ถ่ายเทความร้อนที่สร้างเสร็จสมบูรณ์ (ข)

- | | |
|-------------------|-------------|
| 1. ห้องเผาไนโตร | 2. อิฐทนไฟ |
| 3. เซรามิกไฟเบอร์ | 4. กระจกเงา |
| 5. โครงเหล็กแผ่น | |

4.4 เทอร์บิน์และชิ้นส่วนย่อยที่ได้ทำการผลิตขึ้น





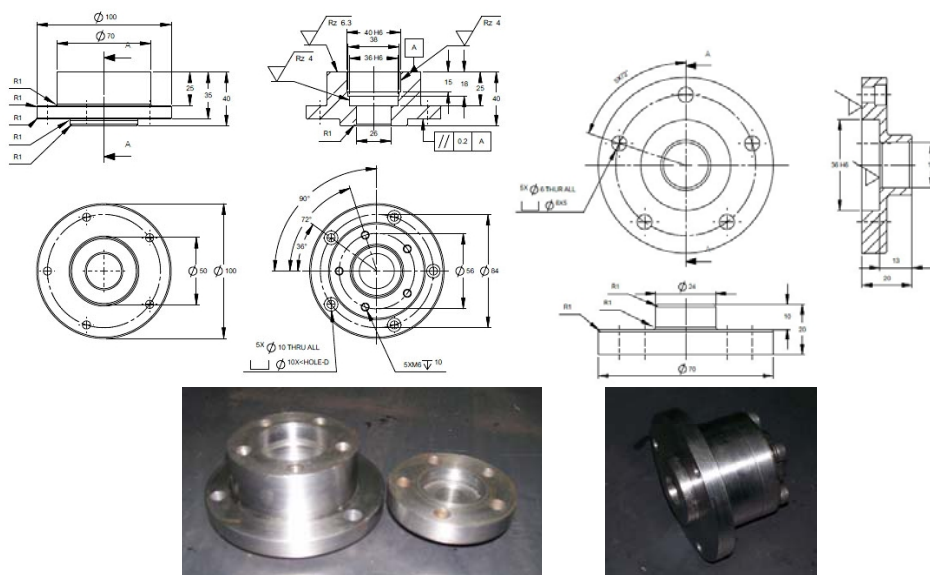
(ค)

รูปที่ 4.7 แสดงภาพสเก็ตชินส่วนเทอร์บีน (ก) ภาพตัดเทอร์บีน (ข) และเทอร์บีนที่สร้างเสร็จสมบูรณ์ (ค)

- | | |
|---|---|
| 1. เสื้อใส่ตัลลับลูกปืน (Housing_01, 02) | 2. เพรมด้านใน (Frame_01) |
| 3. เพรมด้านนอก (Frame_02) | 4. ชิ้นส่วนยึดใบพัดนิ่ง (Frame_03) |
| 5. ชิ้นส่วนสำหรับใช้ SVM เพรมใบพัดนิ่ง (Frame_04) | 6. ชิ้นส่วนป้องกันเพลาด้านท้าย (Frame_05) |
| 7. เพรม SVM ใบพัดหมุน (Frame_06) | 8. เพรมทางออกของอากาศ (Frame_07) |
| 9. เสื้อใส่ตัลลับลูกปืน (Housing) | 10. เพลาขับ (Shaft_01) |
| 11. โรเตอร์ | 12. สเตเตอร์ |

สามารถแสดงรายละเอียดพร้อม Drawing ของส่วนประกอบย่อยของเทอร์บีนที่สร้างขึ้นได้ดังนี้

4.4.1 เสื้อใส่ตัลลับลูกปืน (Housing_01, Housing_02)

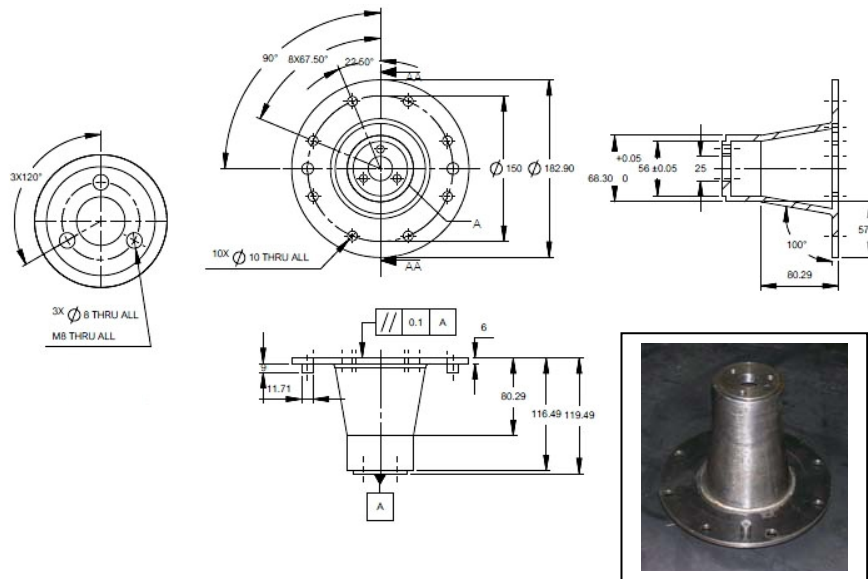


รูปที่ 4.8 แสดงเสื้อใส่ตัลลับลูกปืนพร้อม Drawing แสดงขนาด (Housing_01, Housing_02)

รูปที่ 4.8 แสดงเลือไส่ตลับลูกปืน (Housing) ที่สร้างเสร็จแล้วพร้อม Drawing แสดงขนาดต่างๆ ซึ่งเลือไส่ตลับลูกปืนทำหน้าที่ในการบรรจุตลับลูกปืน (Bearing) เพื่อรองรับเพลาขับ ตลับลูกปืนและอยเซล (Oil seal) ที่สร้าง ทำการกลึงจนได้พิกัดความกว้าง ±0.02 มิลลิเมตร และปรับแต่งจนผิวด้านในเรียบสนิท เพื่อว่าจะทำให้สามารถใส่ตลับลูกปืนได้อย่างพอดี ถ้าเกินขนาดพิกัดความกว้างที่กำหนด ตลับลูกปืนจะเกิดการหลอกคลอนและอาจเกิดความเสียหายแก่ตลับลูกปืน

4.4.2 เฟรมด้านใน (Frame_01)

ทำหน้าที่เป็นชิ้นส่วนด้านใน ในการกำกับการให้ล้ออากาศร้อนที่ได้รับมาจากห้องเผาให้มีก่อนที่จะเข้าสู่เครื่องเบนซิน อีกทั้งยังทำหน้าที่ในการป้องกันความร้อนจากอากาศร้อนของห้องเผาใหม่ที่อาจจะผ่านมาสู่เพลาขับได้ รูปที่ 4.9 แสดงชิ้นส่วนนี้ที่สร้างขึ้นแล้วเสร็จพร้อม Drawing แสดงขนาด

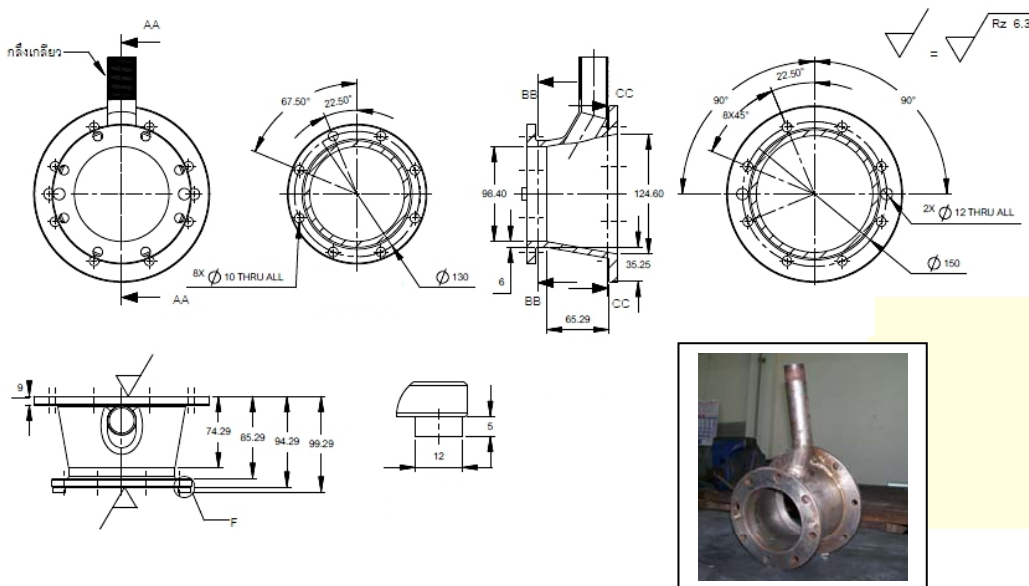


รูปที่ 4.9 แสดงชิ้นส่วนเฟรมด้านในพร้อม Drawing แสดงขนาด (Frame_01)

ความยุ่งยากของการสร้างชิ้นส่วนอยู่ที่ขั้นตอนการกลึงรูร้อยเพลา ซึ่งจำเป็นที่ต้องคำนึงถึงความร่วมศูนย์กันของด้านหน้าและด้านหลังของรูร้อยเพลา ถ้าไม่ร่วมศูนย์กันแล้วจะเกิดปัญหาในขั้นตอนการประกอบตัวก๊าซเทอร์บิน อาจเกิดการขัดกันของเพลาขับ การมีลิมกำหนดตำแหน่งบนหน้าแปลน (Flange) เพื่อให้สามารถประกอบได้แม่นยำมากขึ้น และในขั้นตอนการเชื่อมประกอบนั้นได้คำนึงถึงการบิดตัวของหน้าแปลนอันเนื่องมาจากความร้อนเป็นอย่างมาก แต่สามารถทำการแก้ไขได้โดยการทำตัวจับยึดชิ้นงาน พิกซ์เจอร์ (Fixture) ช่วยจับยึดในขณะเชื่อม

4.4.3 เฟรมด้านนอก (Frame_02)

ทำหน้าที่ เป็นชิ้นส่วนด้านนอกในการกำกับการให้อากาศร้อนที่ได้รับมาจากห้องเผาไฟมี ก่อนที่จะเข้าสู่ใบพัดเทอร์บิน ซึ่งจะต้องประกอบกับเฟรมด้านใน (Frame_01) รูปที่ 4.10แสดง เฟรมด้านนอกที่สร้างเสร็จพร้อมใช้งาน พร้อม Drawing แสดงขนาดต่างๆ



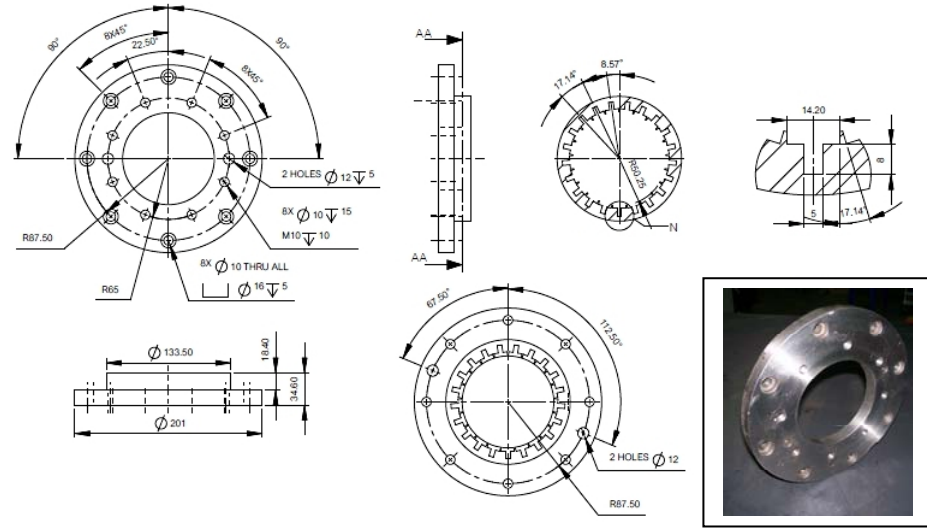
รูปที่ 4.10 แสดงเฟรมด้านนอกที่สร้างเสร็จพร้อม drawing แสดงขนาด (Frame_02)

เป็นขั้นตอนการผลิตที่ต้องให้ความสำคัญเกี่ยวกับการเชื่อมประกอบเป็นอย่างมาก เพราะ นอกเหนือจากการบิดตัวของหน้าแปลนทั้งสองด้านที่เกิดจากความร้อนในขณะเชื่อมประกอบแล้ว การร้าวของท่อส่งของอากาศร้อนที่มาจากการห้องเผาไฟมีความสำคัญมาก เช่นกัน เมื่อเชื่อมเสร็จ แล้วได้ทำการทดสอบการร้าวซึ่งของร้อยต่อเชื่อมในบริเวณนี้ การเจาะรูร่องลิม และการใส่ลิมมี ความถูกต้องของตำแหน่งไม่เกิน ± 0.5 มิลลิเมตร ผิวด้านหน้าของหน้าแปลนทั้งสองด้านถูกปั๊บ จนเรียบ เพราะมีผลต่อความสามารถกันการร้าวซึ่งของปะเก็น (Gasket)

4.4.4 จานยึดใบพัดนิ่ง (Frame_03)

ชิ้นส่วนนี้มีหน้าที่ในการเป็นจานสำหรับเสียบยึดใบพัดนิ่ง (Nozzle blade) ผลิตมาจาก 2 ขั้นตอน ได้แก่ ส่วนแรก เป็นส่วนหน้าแปลน ความสำคัญที่ต้องคำนึง คือ ในขั้นตอนการกลึงนั้น จะต้องให้ได้ความแน่นของทั้งสองด้านของหน้าแปลน และขนาดรูในนั้นควรกลึงได้ขนาดความ เพื่อ $98.4+0.02$ มิลลิเมตร ส่วนที่สองเป็นส่วนที่ใช้เสียบยึดใบพัดนิ่ง ขั้นตอนการผลิตจะต้องมีการ ตัดเฉือนชิ้นงานด้วยเครื่องตัดปาดด้วยการจ่ายประจุไฟฟ้าผ่านเส้นลวด (Wire-cut Electric Discharge Machine) เนื่องจากต้องการความเที่ยงตรงสูง คือพิกัดความเพื่อไม่ควรเกิน ± 0.01

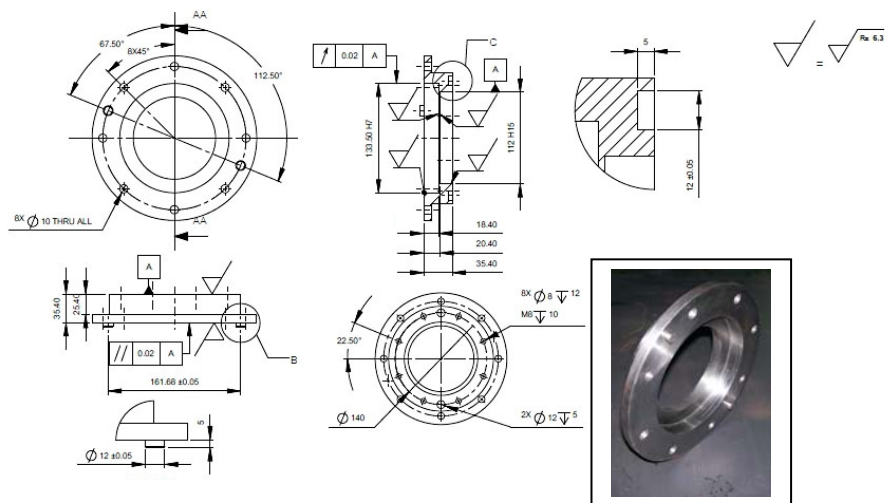
มิลลิเมตร หรือ 10 ไมครอน จึงทำให้การประกอบเข้ากับฐานของใบพัดนิ่งมีความพิเศษดีajanยึดใบพัดนิ่งที่สร้างเสร็จแล้วพร้อม drawing แสดงขนาด แสดงในรูปที่ 4.11



รูปที่ 4.11 แสดงajanยึดใบพัดนิ่งพร้อม drawing แสดงขนาด (Frame_03)

4.4.5 ชิ้นส่วนสำหรับใช้สวมเฟรมใบพัดนิ่ง (Frame_04)

ชิ้นส่วนนี้จะใช้สำหรับเป็นเลื่อยสวมเฟรมของพัดนิ่ง (Nozzle frame) เป็นช่องที่อยู่ระหว่างใบพัดนิ่งและใบพัดหมุน ชิ้นส่วนที่สร้างเสร็จแล้วพร้อม drawing แสดงขนาด แสดงในรูปที่ 4.12



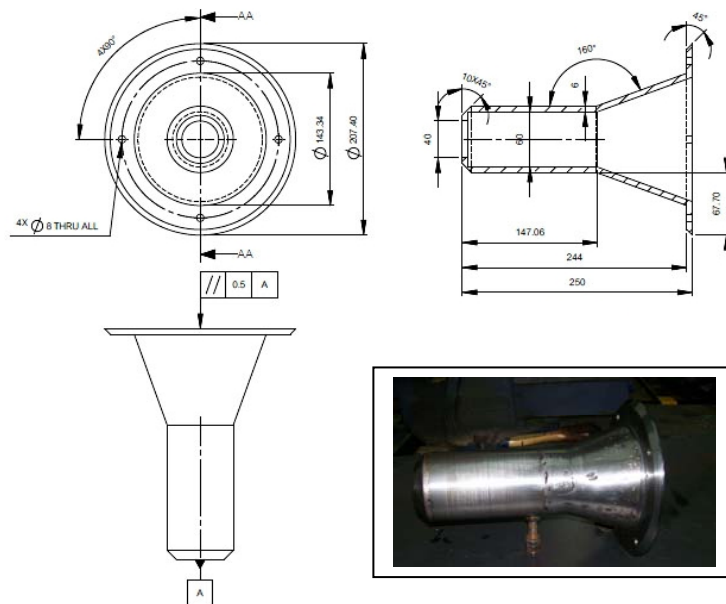
รูปที่ 4.12 แสดงชิ้นส่วนสำหรับใช้สวมเฟรมใบพัดนิ่งที่สร้างเสร็จแล้วพร้อม drawing แสดงขนาด (Frame_04)

ในขั้นตอนการกลึงบริเวณช่องสวมของเฟรมใบพัดนิ่งพยายามกลึงจนได้พิกัดสวมพอดีตามที่กำหนดคือประมาณ $133.5+0.02$ มิลลิเมตร และเส้นผ่านศูนย์กลางของช่องเฟรมที่สวมกับ

ใบพัดหมุนนั้นก็ลึ่งจนมีขนาดพิกัดสวมคลอนเพียง ประมาณ 112 +0.5 มิลลิเมตร เพื่อป้องกัน การเสียดสีกันขณะหมุนระหว่างผนังของเฟรมด้านในกับผนังเฟรมด้านนอกของถ่วงใบพัดหมุนซึ่งทำได้โดยให้เส้นผ่านศูนย์กลางทั้งสองร่วมศูนย์กันในขณะกลึง

4.4.6 ชิ้นส่วนป้องกันเพลาด้านท้าย (Frame_05)

ชิ้นส่วนนี้มีหน้าที่ เป็นชิ้นส่วนป้องกันอากาศร้อนที่ให้หลอดอากาศจากถ่วงใบพัดหมุนมา สัมผัสกับเพลาขับ ซึ่งอาจทำให้เกิดความเสียหายกับเพลาขับขึ้นได้ ชิ้นส่วนป้องกันเพลาด้านท้ายที่สร้างเสร็จแล้ว แสดงในรูปที่ 4.13



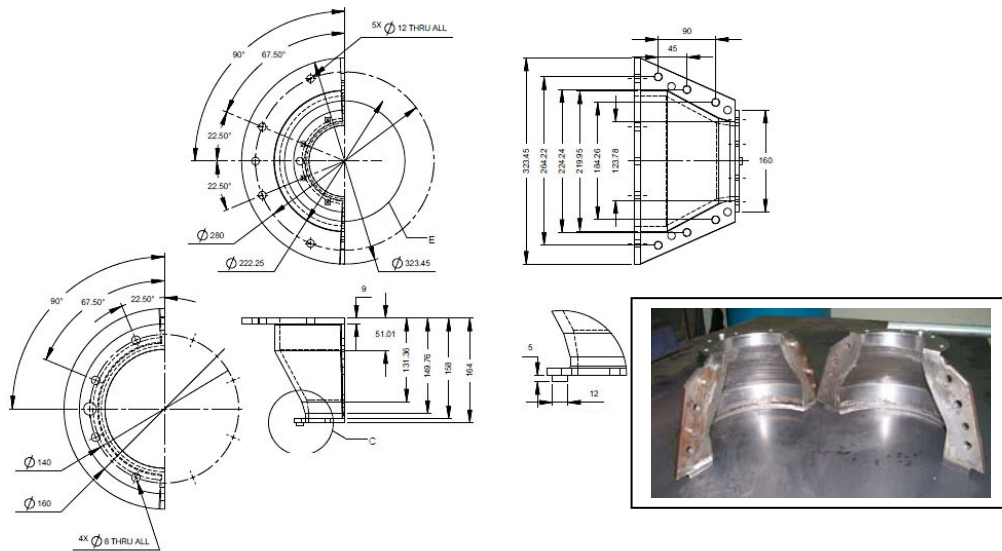
รูปที่ 4.13 แสดงชิ้นส่วนป้องกันเพลาด้านท้ายที่สร้างเสร็จแล้วพร้อม drawing แสดงขนาด (Frame_05)

ชิ้นส่วนนี้ต้องมีขนาดพิกัดความเบี่ยงเบนของเส้นผ่านศูนย์กลางที่ป้องกันอากาศร้อนที่ขยายตัวจากถ่วงใบพัดหมุนเท่านั้น ส่วนบริเวณซ่องสวมเพลาขับ ใช้ทองเหลืองน้ำมันทับบูชารอง เพื่อป้องกันการเสียดสีกับเพลาขับ หรืออาจเกิดการขัดตัวกับเพลาขับได้ ความยาวต้องไม่เกินกว่าขนาดกำหนดเด่นกัน เนื่องจากอาจเกิดการชนกับเฟรมของใบพัดหมุนในชั้นตอนการประกอบ

4.4.7 เฟรมสวมใบพัดหมุน (Frame_06)

เฟรมส่วนนี้ทำหน้าที่ในการเป็นส่วนให้เฟรมของใบพัดหมุนนั้นสวมเข้ามา และเป็นช่องทางออกของอากาศร้อนที่ขยายตัวออกจากถ่วงใบพัดหมุน เฟรมสวมใบพัดหมุนที่สร้างเสร็จแล้วมีลักษณะ แสดงในรูปที่ 4.14

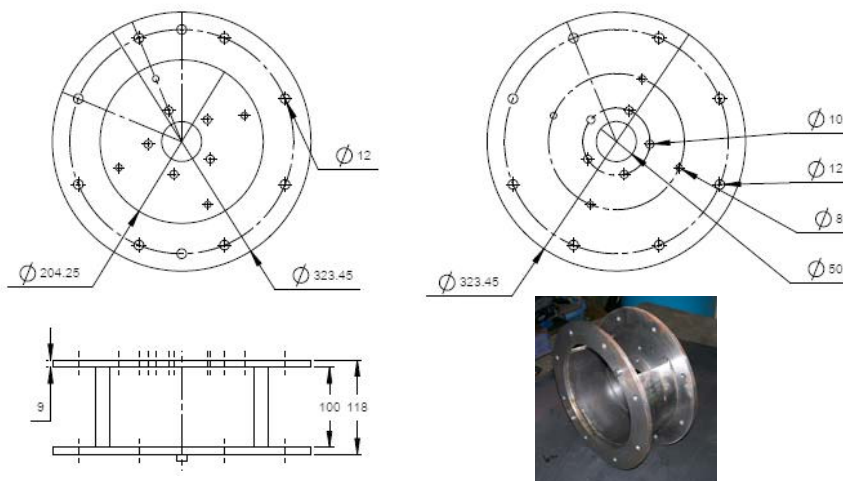
ชิ้นส่วนนี้จะผลิตได้ผลิตขึ้นโดยทำการผ่าครึ่งช้อลดแบบร่วมศูนย์ (Concentric Reduce) แบบมาตรฐาน ขนาด 4.5 นิว แล้วจึงนำมากลึงให้ได้ขนาดตามที่ต้องการ ส่วนด้านหน้าของเฟรม บริเวณที่ใบพัดหมุนสวม จำเป็นต้องให้ได้เส้นผ่านศูนย์กลางตามพิกัดความกว้างเพื่อแบบสวมคลอน



รูปที่ 4.14 แสดงเฟรมส่วนใบพัดหมุนที่สร้างเสร็จแล้วพร้อม drawing แสดงขนาด (Frame_06)

4.4.8 เฟรมทางออกของอากาศ (Frame_07)

เป็นเฟรมส่วนสุดท้ายที่ทำหน้าที่เป็นทางออกของอากาศเมื่อเกิดการขยายตัวออกจากถัง ใบพัดหมุนแล้ว และยังทำหน้าที่ในการเป็นฐานสำหรับการยึดเสื้อไสตล์บลู๊กปืน ชิ้นส่วนที่สร้างเสร็จแล้วพร้อม Drawing แสดงในรูปที่ 4.15 ให้ความสำคัญกับการเชื่อมประกอบชิ้นส่วนนี้มาก เพราะไม่อยากให้เกิดการเย็บคงศูนย์กันของบริเวณที่ยึดกับเสื้อไสตล์บลู๊กปืนจนทำให้เกิดการขัดกันของตัวลับลูกปืนในที่สุด

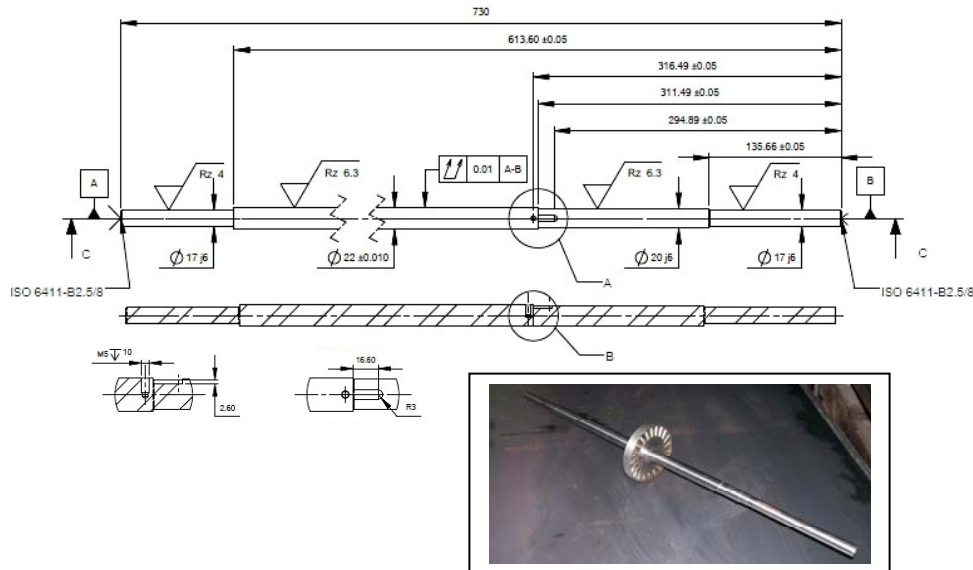


รูปที่ 4.15 แสดงเฟรมทางออกของอากาศที่สร้างเสร็จพร้อม drawing แสดงขนาด (Frame_07)

มีการระมัดระวังไม่ให้เกิดการบิดตัวของหน้าแปลนอันเนื่องมาจากการความร้อนในขณะเชื่อม ด้วยเช่นกัน จึงจำเป็นที่จะต้องทำที่จับยึดในระหว่างการเชื่อม การเจาะรูร่องลิมและรูว้อยใบล็อก ความเที่ยงตรงเพื่อไม่ให้มีปัญหาในขั้นตอนของการประกอบ

4.4.9 เพลาขับ (Shaft_01)

ทำหน้าที่ในการส่งกำลัง และจับยึดงานของใบพัดหมุน (Rotor Blade)



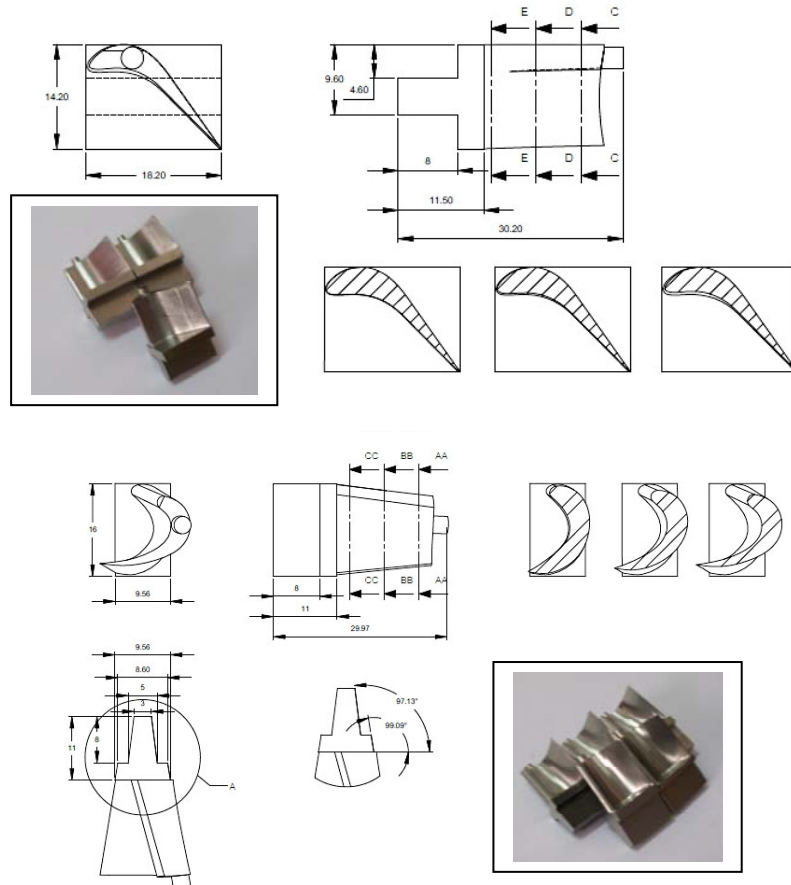
รูปที่ 4.16 แสดงเพลาขับที่สร้างเสร็จแล้วพร้อม drawing แสดงขนาด (Shaft_01)

เพลาขับนี้ได้ผ่านการผลิตด้วยเครื่องกลึงเป็นอันดับแรก โดยพยายามกลึงให้ได้ความร่วมศูนย์กลางของปลายเพลาทั้งสองด้าน การกลึงในลักษณะนี้จะเรียกว่าการกลึงระหว่างศูนย์ (Turning between center) กลึงขนาดเส้นผ่านศูนย์กลางเพลาให้ใหญ่กว่าขนาดแบบประมาณ 0.5 มิลลิเมตร เพื่อเพื่อไว้สำหรับทำการเจียร์ราบในขั้นต่อไป จากนั้นจึงนำเพลาไปเข้าเครื่องกัด เพื่อทำการกัดร่องลิมให้ได้ขนาดตามพิกัดความผิดแบบส่วนพอดีกับลิมขัด ขั้นตอนสุดท้ายนำเข้าเครื่องเจียร์ราบ ซึ่งเป็นเครื่องมือกลที่ใช้ในการเจียร์ราบในผิวงานให้เรียบ (Surface finishing) และได้ขนาดพิกัดความผิด (Tolerance) มากที่สุด พยายามเจียร์ราบแบบร่วมศูนย์ทั้งสองด้านเพื่อความเป็นศูนย์กลางเดียวกัน เจียร์ราบจนได้ขนาดพอดี โดยทดลองประกอบเพลาเข้ากับใบพัดหมุน (Rotor) และตัดลูกปืน เพลาขับที่ประกอบกับวงล้อหมุนที่สร้างเสร็จแล้วแสดงในรูปที่ 4.16 ทำการวัดความร่วมศูนย์แล้วได้ค่าไม่เกิน 10 ไมครอนตลอดความยาวเพลา

4.4.10 ใบพัดนิ่งและใบพัดหมุน (Turbine blade_Stator,Turbine blade_Rotor)

ใบพัดนิ่งทำหน้าที่ในการกัดอากาศร้อนที่มาจากการห้องเผาให้มีไบยังใบพัดหมุน เพื่อให้ชนกับใบพัดหมุนแล้วขยายตัวไปยังความดันบรรยากาศ ทำให้เกิดการหมุนของเพลาขับทำ

ให้เกิดงานเพลาขึ้นมา ใบพัดหมุนและใบพัดนิ่งที่สร้างเสร็จแล้วแสดงในรูปที่ 4.17 เลือกใช้เหล็กกล้าไร้สนิม เกรด 316 (C 0.08%, Cr 17.0%, Mo 2.5%, Fe 65%, Mn 2.0%, Mn 2.0%, Ni 12.0%) [39-40] ทำใบพัดเนื่องจากคาดว่าเทอร์บินนี้จะรับความร้อนที่ไม่สูงมาก เหล็กกล้าไร้สนิม มีสมบัติทนทานต่อการกัดกร่อนจากก๊าซและจากการถูกออกซิเดชันในที่อุณหภูมิสูงได้ดีเนื่องจากมีโครเมียมและ никเกลเป็นส่วนผสม การมีคาร์บอนและธาตุอื่นๆ หลายตัวทำให้เหล็กนี้มีขوبగวนที่สมบูรณ์ขึ้นทำให้สามารถเพิ่มค่ารีฟเฟิร์นซ์ (Creep strength) ได้มากขึ้นขณะใช้งานในที่อุณหภูมิสูง



รูปที่ 4.17 แสดงใบพัดนิ่งและใบพัดหมุนที่สร้างเสร็จแล้วพร้อม drawing แสดงขนาด (Turbine blade_Stator, Turbine blade_Rotor)

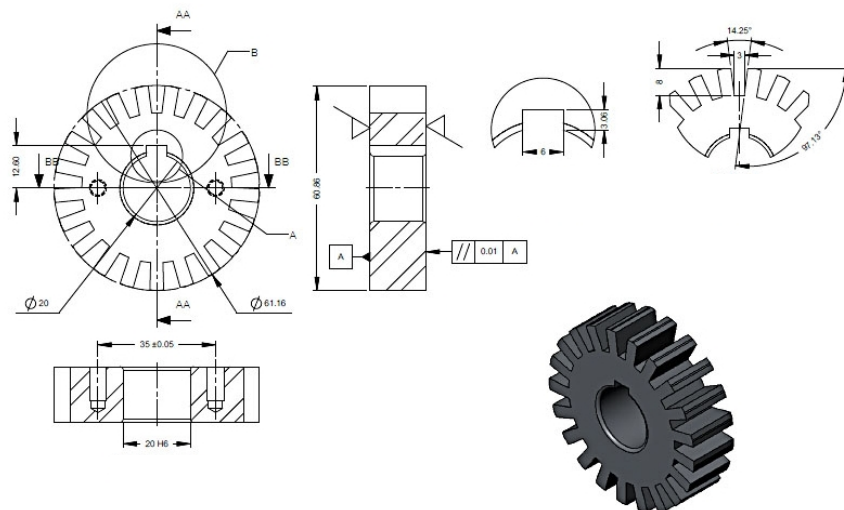
ในขั้นแรกก่อนทำการกัดชิ้นงานส่วนบริเวณใบพัด ได้ทำการตัดเฉือนชิ้นงานบริเวณส่วนฐานของใบพัดก่อน ด้วยเครื่องตัดปาดด้วยการจ่ายประจุไฟฟ้าผ่านเส้นลวด ซึ่งเป็นเครื่องมือกลที่ให้ความแม่นยำสูงพิเศษความเพื่อของขนาด 10 ไมครอน เพื่อนำไปประกอบเข้ากับช่องบันเพรมในการประกอบแกร็บใบพัด

ชิ้นงานบริเวณใบพัดที่มีผิวโค้งถูกผลิตโดยใช้เครื่องกัดอัตโนมัติชนิด 5 แกน (5 axes) โดยปกติการขีดรูปผิวโค้งที่มีความซับซ้อนทางสมการคณิตศาสตร์สูง (Profiling with five axis) ใบพัด

เทอร์ไบโน่สำหรับเครื่องยนต์ไอฟ่นและเครื่องยนต์ผลิตกระแสไฟฟ้า พื้นผิวของชิ้นส่วนในอุตสาหกรรมยานยนต์ อากาศยาน หรือเป็นพื้นผิวที่ Undercut จะไม่สามารถขึ้นรูปได้อย่างละเอียดสมบูรณ์โดยใช้เครื่องกัด 3 แกน เครื่องกัด 5 แกนจะมีคุณภาพจับชิ้นงานและคุณภาพจับมีดตัดเนื่องสามารถเคลื่อนที่ได้อย่างอิสระทุกทิศทาง สมพัทธ์กันโดยอาศัยแกนทั้ง 5 เคลื่อนที่พร้อม ๆ กัน ตามตำแหน่งของจุดและมุมเอียงของชิ้นงานและมีดตัดเนื่องบนพื้นผิวที่จะทำ การคำนวณเพื่อกำหนดตำแหน่งการกัดเหล่านี้ต้องใช้ Software ของเครื่องช่วยในการคำนวณ [41] จึงจะผลิตได้

4.4.11 ajanสำหรับยึดใบพัดหมุน (Turbine blade_Rotor)

ajanนี้ใช้เสียบใบพัดหมุนเพื่อทำการประกอบเป็นวงล้อใบพัดหมุน การผลิตชิ้นส่วนนั้นต้องอาศัยเครื่องมือที่มีความแม่นยำค่อนข้างสูงในการตัดเฉือนนี้จึงได้ทำการเลือกเครื่องตัดปัดด้วยการจ่ายประจุไฟฟ้าผ่านเส้นลวดเป็นตัวตัดชิ้นงาน การตัดชิ้นงานที่ทำมาแล้วให้ความสำคัญกับขนาดเป็นอย่างมาก เนื่องจากต้องนำไปสวมเข้ากันฐานของใบพัดหมุน จึงได้ตั้งพิกัดความผิดไม่เกิน 10 ไมครอน



รูปที่ 4.18 แสดงajanยึดใบพัดหมุนที่สร้างเสร็จแล้วพร้อม drawing แสดงขนาด (Turbine blade_Rotor)

อีกทั้งการตัดร่องลิมร้อยเพลาด้วยความระมัดระวังเป็นอย่างยิ่งเพื่อให้ได้ศูนย์กลางเดียวกันกับร่อง (Slot) ที่ใช้ในการใส่ฐานใบพัด

4.4.12 การประกอบ (Assembly) ใบพัดนิ่ง และใบพัดหมุนเข้ากับajanและ shroud

การประกอบชิ้นงานทั้งสองแบบของใบพัดมีความสำคัญอย่างมากสำหรับเทอร์ไบโน่ การประกอบเฉพาะใบพัดหมุนต้องไม่ให้เกิดการบิดงอขึ้นเนื่องมาจากแรงกดตัวตรงบริเวณแนวเชื่อม

ซึ่งมีทั้งการหดตัวแนวยาวของรอยเชื่อม และหดตัวแนวขวางของรอยเชื่อม การหดตัวที่เกิดขึ้นไม่พร้อมกันทั้งชิ้นงานเป็นสาเหตุทำให้เกิดการบิดงอเสียหายของใบพัด รูปที่ 4.11 แสดงใบพัดนิ่งและใบพัดหมุนเมื่อประกอบเข้ากับฐานและ shroud อย่างสมบูรณ์



รูปที่ 4.19 แสดงใบพัดนิ่งและใบพัดหมุนเมื่อประกอบเข้ากับฐานและ shroud เสร็จเรียบร้อย

ในขั้นตอนก่อนการเชื่อมผู้วิจัยได้ทำอุปกรณ์จับยึดชิ้นงานในการเชื่อม อุปกรณ์นี้เรียกว่า พิกซ์เจอร์ เพื่อช่วยป้องกันการบิดตัวของชิ้นงานในระหว่างทำการเชื่อมการเชื่อมใบพัดเข้ากับฐาน และ shroud ใช้เทคนิคการเชื่อมทิก (TIG) ซึ่งเหมาะสมกับการเชื่อมเหล็กกล้าไร้สนิม เพราะว่ารอยเชื่อมและแนวเชื่อมมีคุณภาพสูง ทนต่อการสึกกร่อนได้ดีกว่าการเชื่อมวิธีอื่น การบิดงอในชิ้นงานเกิดน้อย

4.4.13 การปรับสมดุลของเพลา

สิ่งสำคัญที่ต้องพิจารณาในการออกแบบอุปกรณ์ที่มีการหมุน (Rotating Equipment) ด้วยความเร็วสูง คือความสมดุล (Balancing) ชิ้นส่วนที่ไม่สมดุลเวลาหมุนด้วยความเร็วสูงจะทำให้เกิดการสั่นสะเทือน เสียงดัง เกิดความเสียหายต่อชิ้นส่วน และลดอายุการใช้งานของวงล้อหรือลูกปืนลงอย่างมาก ความไม่สมดุลมีสาเหตุจากมวลส่วนเกิน เยื่องศูนย์กับแนวแกนการหมุน ทำให้เกิดแรงเหวี่ยงหนึ่งศูนย์ที่จะพยายามเหวี่ยงตัวชิ้นส่วนหมุนให้หนีออกจากแนวแกนหมุน โดยขนาดของความไม่สมดุลชี้แจงอยู่กับมวลส่วนเกินกับค่าความเบี่ยงศูนย์ของแนวแกนหมุน

การเกิดความสมดุลนั้นจะมีความสัมพันธ์กับ shaking force และ shaking moment ซึ่งสามารถที่จะอธิบายได้โดยเป็นผลมาจากการแรงเฉื่อย (Inertia forces) และ โมเมนต์ของการเคลื่อนที่ที่นำมาต่อกัน เมื่อมีการให้ขนาดกลไกการเคลื่อนที่ (Mechanism) ความเร็วเข้าไป แรงเฉื่อยนั้นจะขึ้นอยู่กับการกระจายตัวของมวล (Mass distribution) ของส่วนเคลื่อนที่ที่เชื่อมต่อ [42]

เทอร์บินเป็นอุปกรณ์ที่มีความเร็วในการหมุนสูงมาก เช่นเครื่องผลิตไฟฟ้าหมุนลีน 3,600 รอบต่อนาที ดังนั้นจึงต้องหลีกเลี่ยงปัญหาที่เกิดจากความไม่สมดุลในขณะหมุน สำหรับเทอร์บินที่

สร้างขึ้นนี้เมื่อทำการประกอบวงล้อใบพัดหมุน (Rotor) เข้ากับเพลาขับ (Shaft) และได้ทำการทดสอบความไม่สมดุลในขณะหมุน (Dynamic balance) ของส่วนประกอบทั้งสองที่รวมเข้าด้วยกัน วิธีการและเครื่องมือการทดสอบการปรับสมดุล (model zc50, version TC-GV) แสดงในรูปที่ 4.20



รูปที่ 4.20 แสดงการทำการปรับสมดุลการหมุนของวงล้อและเพลาขับเทอร์บีโนที่สร้าง ด้วยเครื่องปรับสมดุล (model zc50, version TC-GV)

การถ่วงสมดุลขณะหมุนในกรณีนี้ เครื่องถ่วงสมดุลจะมีลูกปืน 2 ชุด และปลายด้านหนึ่งจะมีระบบวัดค่าอย่างตัวดึงน้ำหนัก ดึงน้ำหนักที่เกิดขึ้นที่ระนาบทั้ง 2 ข้างจะถูกตรวจสอบได้อย่างอิสระ รวดเร็ว และถูกต้องแม่นยำด้วย ทำให้สามารถสร้างระนาบแก้ไขความไม่สมดุล ณ ตำแหน่งใด ๆ ได้โดยจะสัมพันธ์กับการหมุน เริ่มต้นการทดสอบจะทำการหมุนชิ้นงานผ่านระบบสายพานด้วยการป้อนความเร็วใช้งานสู่ระบบ เครื่องตรวจวัดก็จะทำการเก็บข้อมูลและประมวลผลแสดงของศากของการไม่สมดุลขึ้นมา จากนั้นจึงต้องทำการปรับมวลส่วนเกินของชิ้นงาน จนกระทั่งความไม่สมดุลนั้นมีค่าน้อยที่สุด เป็นที่ยอมรับได้ในความเร็วใช้งาน

ตารางที่ 4.1 แสดงผลจากการปรับสมดุลวงล้อและเพลาที่สร้างขึ้นมา

Balancing speed	3,834 rpm
Tolerance with standards	ISO/1940
Degree of balancing	6.300
Total weight	3 Kg
Service speed	8,000 rpm

ตารางที่ 4.2 แสดง unbalance เริ่มต้น

Initial unbalance	
4.7987 g	53°

ตารางที่ 4.3 แสดง unbalance ที่เหลือ

Residual unbalance	
0.2881g	17°
0.3*Tol	

4.4.14 ผลการประกอบส่วนกังหันก้าช

การประกอบชิ้นส่วนที่ผ่านการขึ้นรูปและชิ้นส่วนมาตรฐานต่างๆ อย่างเช่น โบลท์ (Bolt) ขนาดต่างๆ ตลอดถูกปืน (Bearing) เข้าด้วยกันเป็นเครื่องยนต์ก้าชเทอร์ไบโนนั้นขั้นตอนของการประกอบแต่ละชิ้นต้องทำอย่างระมัดระวังและต้องทำการตามลำดับชั้น โดยสิ่งที่ผู้วิจัยให้ความสำคัญอย่างมากสำหรับเทอร์ไบโนนี้ที่สร้างคือ การประกอบเพลาขับเนื่องจากอาจเกิดการโก่งตัว และขัดตัว กันของตลับถูกปืนเกิดขึ้น รูปที่ 4.21 แสดงก้าชเทอร์ไบโนนี้ประกอบสมบูรณ์แล้ว พร้อมนำไปต่อเชื่อมกับห้องเผาไหม้และเครื่องอัดอากาศให้ได้ตัวเครื่องยนต์



รูปที่ 4.21 แสดงก้าชเทอร์ไบโนนี้ที่ประกอบสมบูรณ์แล้วพร้อมเชื่อมต่อกับห้องเผาไหม้ และเครื่องอัดอากาศ

ชิ้นส่วนที่สัมผัสต่อกันได้ถูกทำการซีล (Seal) ด้วยປะเก็น (Gasket) และປะเก็นที่ใช้ทำมาจากไออกซ์เบสตอส (Asbestos) หรือไยหินอัด โดยไยหินอัดนี้ประกอบเข้าด้วยไยหินที่ถูกยืดติดกันด้วยวัสดุยึดหยุ่นจำนวนหนึ่งที่สัมพันธ์กัน และเนื่องจากไยหินอัดมีความยืดหยุ่นที่ดีในการปรับตัวเอง จึงเป็นປะเก็นที่ได้รับความนิยมใช้สูง สามารถทนทานต่ออุณหภูมิสูงประมาณ 550°C โดยโครงสร้างวัสดุไม่เปลี่ยนแปลง [43] หลังจากการประกอบเทอร์ไบโนน์เรียบร้อยแล้วทดลองหมุน

เพลาขับ ปรากฏว่าไม่เกิดการติดหรือขัดกันของตัวลับลูกปืนจึงถือว่าใช้ได้ หากเกิดการติดขัด
จำเป็นต้องทำการปรับตั้งใหม่จนกว่าจะไม่เกิดการขัดกัน

บทที่ 5

การทดสอบเดินเครื่องของระบบเครื่องยนต์ก้าวเทอร์ไบน์

การทดสอบเดินเครื่องระบบก้าวเทอร์ไบน์ที่สร้างขึ้น ประกอบด้วย 3 ขั้นตอน คือ 1. ขั้นตอนการติดตั้งอุปกรณ์ช่วยของตัวระบบเครื่องยนต์ 2. ขั้นตอนการสตาร์ทเครื่อง และ 3. ขั้นตอนการเดินเครื่อง

5.1 ขั้นตอนการติดตั้งและประกอบอุปกรณ์ช่วยเข้ากับตัวเครื่อง

5.1.1 ทำการประกอบองค์ประกอบต่างๆ ของเครื่องยนต์เทอร์ไบน์เข้าด้วยกัน ได้แก่ เครื่องอัดอากาศแบบลูกสูบ ห้องเผาไหม้ และเทอร์ไบน์ จากนั้นประกอบอุปกรณ์ช่วยเข้าไป

- ระบบป้อนเชื้อเพลิงแบบเกลียวสกรู (Screw feeder)
- ระบบป้อนอากาศเพื่อใช้ในการเผาไหม้ (Air blower)
- เครื่องมือวัดอุณหภูมิและความตันตามจุดต่างๆ

5.1.2 ทำการตรวจสอบการรั่วซึมของอากาศอัดตรงบริเวณหน้าแปลนต่างๆ ที่ประกอบหรือต่อเข้าด้วยกัน และตรวจสอบการสันของเครื่องอัดอากาศและเทอร์ไบน์

5.1.3 ทำการทดสอบการหมุนของเทอร์ไบน์ว่าสะอาดและราบรื่นหรือไม่ ถ้าเกิดการติดขัดหรือไม่สะอาด จะต้องแก้ไขให้เรียบร้อยก่อนการทดสอบเดินเครื่อง ซึ่งสาเหตุอาจมาจาก การติดตั้งเทอร์ไบน์เข้ากับห้องเผาไหม้ที่ไม่ถูกต้อง

5.1.4 ตรวจสอบเครื่องมือวัด เช่น อุปกรณ์วัดอุณหภูมิ อุปกรณ์วัดความเร็วของ (Tachometer) ให้พร้อมใช้งาน

5.1.5 ตรวจสอบระบบการป้อนเชื้อเพลิง และระบบป้อนอากาศเพื่อใช้ในการเผาไหม้

5.2 ขั้นตอนการเริ่มเดินเครื่อง (Start up)

5.2.1 ทำการเปิดเครื่องอัดอากาศและตรวจสอบการหมุนของเทอร์ไบน์อีกครั้ง โดยต้องหมุนได้สะอาดไม่เกิดการติดขัดและความเร็วคงที่

5.2.2 ทำการติดไฟถ่านไว้เพื่อใช้เป็นเชื้อในการเริ่มเผาไหม้เชื้อเพลิงจริง (ไฟข้าง) โดยใช้ถ่านไม้ปิรามณ 2.5 กิโลกรัมมาทำการติดไฟภายในอกห้องเผาไหม้ก่อน

5.2.3 ป้อนถ่านไว้ที่ติดไฟแล้วเข้าสู่บันตะแกรงในห้องเผาไหม้

5.2.4 เปิดระบบป้อนอากาศเข้าสู่ห้องเผาไนโมในอัตราพอประมาณ แล้วรออุณหภูมิภายในห้องเผาไนโมสูงประมาณ 350°C จึงทำการป้อนเชื้อเพลิงฟางข้าวบดเข้าสู่ภาชนะห้องเผาไนโม การเผาไนโมจะเป็นแบบ Entrained flow คือ อนุภาคเชื้อเพลิงลอยตัวอยู่ท่ามกลางเปลวเพลิง

5.3 ขั้นตอนการเดินเครื่องและเก็บข้อมูล

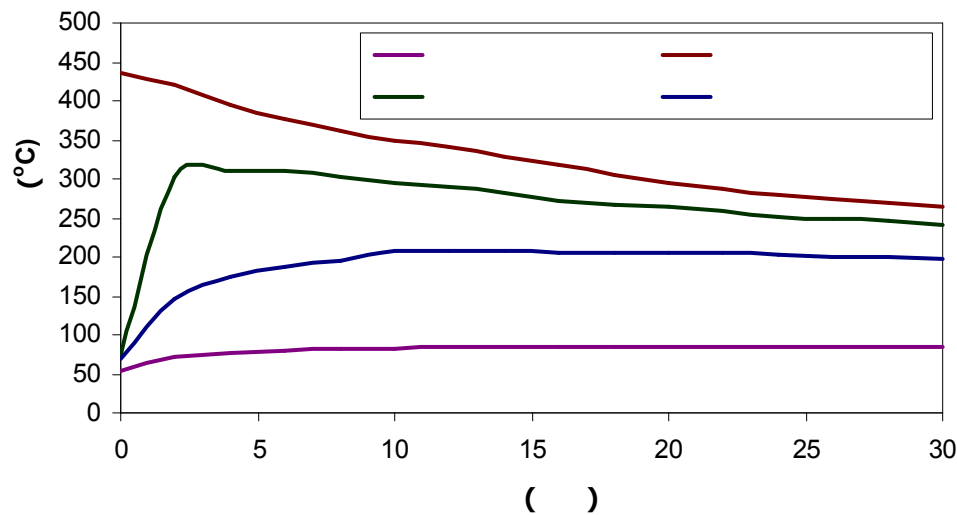
5.3.1 ทำการเปิดเครื่องอัดอากาศเพื่ออัดอากาศผ่านพนังห้องเผาไหม์ และเข้าสู่เทอร์ไบน์

5.3.2 เมื่อคุณภาพในห้องเผาไหม้สูงประมาณ 350°C ให้ทำการปรับเพิ่มอัตราการป้อนเชื้อเพลิงฟางข้าวบดเข้าห้องเผาไหม้ขึ้นเรื่อยๆ จนมีค่าประมาณ 0.0166 กิโลกรัมต่อนาที

5.3.3 เมื่อเทอร์ไบ์น์หมุนด้วยความเร็วรอบเพิ่มขึ้นเรื่อยๆ จนคงที่แล้วจึงทำการบันทึก เวลา คูณหกหน่วยต่างๆ ความเร็วรอบเทอร์ไบ์น์

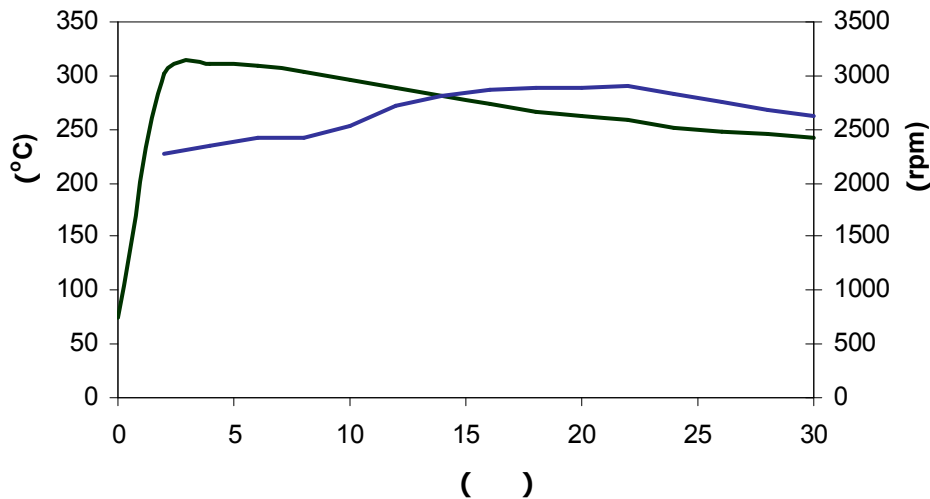
5.4 ผลการทดลองเดินเครื่อง

ก่อนทำการทดลองจะทำการเผาไหม้ถ่านไม่ติดไฟภายนอกห้องเผาไหม้ก่อน เพื่อเป็นเชื้อไฟเริ่มต้นในการเผาไหม้ เชื้อเพลิงฟางข้าว นำถ่านติดไฟป้อนบนตะแกรงภายนในห้องเผาไหม้ที่จะใช้ทำการทดลอง เปิดระบบป้อนอากาศเผาไหม้และรอจนคุณหมูมิเริ่มต้นภายนในห้องเผาไหม้ประมาณ 350°C จึงเริ่มป้อนเชื้อเพลิงฟางข้าวดเข้าสู่ภายนในห้องเผาไหม้เพื่อสักด็ความร้อนออกมา ผลการทดลองปรากฏว่า เมื่อทำการเผาไหม้เชื้อเพลิง อุณหภูมิภายนในห้องเผาไหม้จะเริ่มสูงขึ้นจนถึงคุณหมูมิประมาณ 440°C อากาศภายนในห้องเผาไหม้จะเกิดการขยายตัวเนื่องจากการรับความร้อนจากการเผาไหม้ ทำให้ความดันภายนในห้องเผาไหม้สูงขึ้น อากาศร้อนภายในห้องเผาไหม้จึงพยายามดันตัวเองออกมากทางช่องป้อนเชื้อเพลิงแทนที่จะเป็นทางปล่องที่ออกแบบไว้ 2 ปล่อง เนื่องจากอยู่ในตำแหน่งที่ต่ำกว่า หมายความว่าป้อนเชื้อเพลิงไม่เข้าห้องเผาไหม้ได้น้อย ทำให้ระบบป้อนเชื้อเพลิงในลักษณะที่โดยลงมาจากด้านบนนั้นไม่สามารถทำได้อย่างสมบูรณ์ เมื่อไม่สามารถป้อนเชื้อเพลิงได้อย่างสมบูรณ์ความร้อนในห้องเผาไหม้จะลดลง ดังแสดงในรูปที่ 5.1 เส้นที่แสดงดูคุณหมูมิภายนในห้องเผาไหม้ (เส้นสีน้ำตาล) สามารถทำการเผาไหม้ได้คุณหมูมิเบลวเพลิงเพียงประมาณ 440°C เพราะว่าป้อนเชื้อเพลิงเข้าสู่ห้องเผาไหม้ได้น้อย คุณหมูมิภายนในห้องเผาไหม้จะเริ่มคงที่ หลังจากนั้นจึงเริ่มทำการเดินเครื่องอัดอากาศเพื่อนำอากาศที่อัดตัวมาแลกเปลี่ยนความร้อนจากห้องเผาไหม้เพื่อเข้าสู่เทอร์ไบน์



รูปที่ 5.1 แสดงความสัมพันธ์ระหว่างอุณหภูมิที่จุดต่างๆ กับเวลาเดินเครื่อง

รูปที่ 5.1 จะเห็นเส้นสีเขียวแสดงอุณหภูมิอากาศอัดตัวตรงทางเข้าเทอร์บีน์ การแลกเปลี่ยนความร้อนกับก๊าซร้อนจากห้องเผาใหม่ ในช่วงแรก จะเห็นอุณหภูมิเพิ่มขึ้นอย่างรวดเร็ว เมื่อเทียบกับอุณหภูมิเริ่มต้นของอากาศอัดตัวที่ออกมาจากเครื่องอัดอากาศซึ่งมีประมาณ 80°C เท่านั้น ทำให้เกิดความแตกต่างของอุณหภูมิระหว่างภายในห้องเผาใหม่กับอากาศที่ถูกอัดตัวที่แตกต่างกันมาก อากาศที่ถูกอัดตัวจึงดูดความร้อนจากห้องเผาใหม่อย่างรวดเร็ว แต่กลับลดลงเมื่อเวลาเพิ่มขึ้น เมื่ออากาศอัดตัวมาแลกเปลี่ยนความด้วยกันทำให้อุณหภูมิก๊าซร้อนภายในห้องเผาใหม่ลดลงด้วยเช่นกัน การแลกเปลี่ยนความร้อนกับเปลวเพลิง (ทั้งส่วนการนำความร้อน การพาความร้อน และการแผ่รังสีความร้อน) ทำให้อากาศอัดตัวมีอุณหภูมิสูง และเมื่ออากาศอัดตัวที่มีอุณหภูมนั้นไหลไปกรอบใบพัดเทอร์บีน์จะถ่ายเทพลังงานจนนี้แก่ใบพัดส่วนหนึ่ง ทำให้อุณหภูมิของอากาศอัดตัวลดลงดังแสดงในรูปที่ 5.1 ซึ่งแสดงด้วยเส้นสีน้ำเงินซึ่งเป็นเส้นที่แสดงอุณหภูมิของอากาศอัดตัวจากการเผาใหม่ เชือกเพลิง เมื่อทำการเปิดเครื่องอัดอากาศเพื่อให้อากาศไหลหมุนวนในระบบเทอร์บีน์ โดยก่อนทำการเผาใหม่เชือกเพลิง เมื่อทำการเปิดเครื่องอัดอากาศเพื่อให้อากาศไหลหมุนวนในระบบเทอร์บีน์



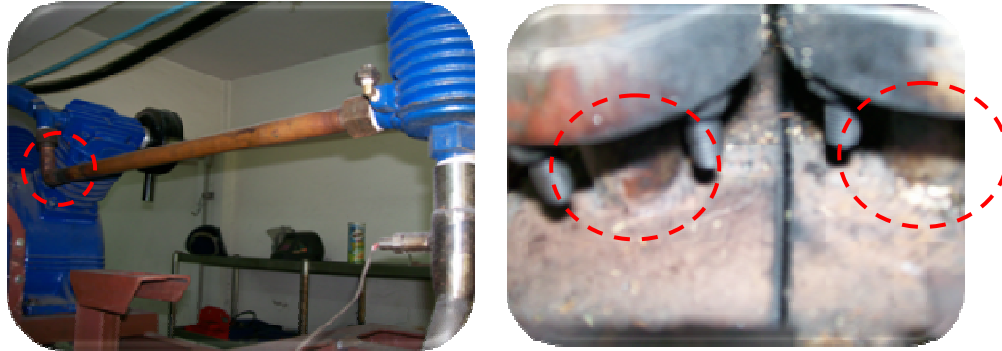
รูปที่ 5.2 แสดงความสัมพันธ์ระหว่างอุณหภูมิที่เข้าเทอร์ไบน์และความเร็วรอบต่อเวลา

ผลปรากฏว่าเมื่อได้ทำการวัดความเร็วรอบของเทอร์ไบน์ สามารถวัดค่าได้ประมาณ 520 รอบต่อนาที แต่หลังจากการเผาไหม้เชื้อเพลิงแล้ว (กล่าวคืออุณหภูมิภายในห้องเผาไหม้ประมาณ 440°C อุณหภูมิอากาศของระบบเทอร์ไบน์ที่ถูกอัดด้วยหลังจากผ่านการแลกเปลี่ยนความร้อนกับอากาศร้อนในห้องเผาไหม้มีอุณหภูมิตรงบริเวณทางเข้าเทอร์ไบน์ประมาณ 320°C) เมื่อวัดความเร็วรอบเทอร์ไบน์อีกครั้งได้ประมาณ 2,200 รอบต่อนาที ซึ่งในช่วงแรก (ประมาณ 10 นาทีแรก) ความเร็วรอบของเทอร์ไบน์จะค่อยๆ เพิ่มขึ้น เนื่องมาจากความร้อนของอากาศอัดตัวที่มีอุณหภูมิสูงตรงทางเข้าเทอร์ไบน์ยังไม่คงที่ เกิดการสูญเสียความร้อนในช่วงเริ่มต้นให้กับสิ่งแวดล้อม อย่างเช่น การสูญเสียความร้อนให้กับเฟรมของเทอร์ไบน์ หรือสูญเสียออกสู่ภายนอก (รูปที่ 5.1 แสดงอุณหภูมิทางเข้าเทอร์ไบน์ และออกเทอร์ไบน์) แต่เมื่อการสูญเสียความร้อนเริ่มคงที่ ทำการวัดความเร็วเทอร์ไบน์ใหม่ได้ประมาณ 2,800 รอบต่อนาที หลังจากนั้นความเร็วเทอร์ไบน์จะเริ่มลดลงบ้างตามเวลาและอุณหภูมิการเผาไหม้ที่ลดลงเล็กน้อย เนื่องจากการป้อนเชื้อเพลิงเข้าสู่ห้องเผาไหม้ได้น้อยนั่นเอง ทั้งนี้เห็นว่าหากใช้ถ่านเป็นเชื้อเพลิงและป้อนอากาศที่เหมาะสม ห้องเผาไหม้ในน่าจะสร้างอุณหภูมิเบลวเพลิงที่เกิน 500°C ขึ้นไปแน่นอน

5.5 ปัญหาการเดินเครื่อง

5.5.1 ในระหว่างการหมุนของเครื่องอัดอากาศ จะเกิดแรงสั่นสะเทือนของเครื่องอัดอากาศ เกิดขึ้น แรงสั่นสะเทือนส่งผลมาถึงห้องเผาไหม้ ทำให้เกิดการแตกกร้าวตรงบริเวณรอยต่อเชือมของท่อทางเดินอากาศที่มาจากการเดินเครื่องอัดอากาศเข้าสู่ห้องเผาไหม้ เกิดการร้าวซึมของอากาศที่อัดตัวมา

จากเครื่องอัดอากาศ อีกทั้งตรงบริเวณท่อทองแดงที่ต่อมาจากเครื่องอัดอากาศที่เข้าสู่ห้องเผาไหม่ ก็เกิดการแตกร้าวด้วยเช่นกัน ดังแสดงในรูปที่ 5.3



รูปที่ 5.3 แสดงบริเวณที่เกิดการแตกร้าวเนื่องมาจากการสั่นของเครื่องอัดอากาศ

5.5.2 ระบบการป้อนเชื้อเพลิง การป้อนเชื้อเพลิงฟางข้าวที่ผ่านการบดมาแล้วนั้น ได้จัดทำระบบป้อนเชื้อเพลิง โดยการนำเครื่องบดหมูมาดัดแปลงเป็นระบบป้อนเชื้อเพลิง ทำการต่อระบบส่งกำลังด้วยมอเตอร์ขนาด $\frac{1}{4}$ แรงม้า ดังรูปที่ 5.4 ปัญหาที่เกิดขึ้นคือ ในระบบส่งกำลังขนาดของมอเตอร์ที่มีอยู่มีขนาดแรงม้าต่ำ จึงทำให้มีการทำการป้อนเชื้อเพลิงที่ความเร็วrobที่ต่ำไม่สามารถทำได้ เพราะว่าแรงบิดเริ่มต้นนั้นมีค่ามากกว่ากำลังของมอเตอร์ไม่เพียงพอในการหมุนระบบป้อนเชื้อเพลิง



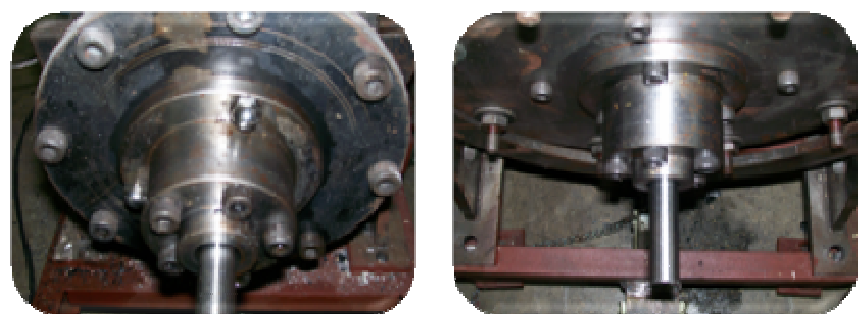
รูปที่ 5.4 (ก) แสดงระบบป้อนเชื้อเพลิงฟางข้าวบด (ข) ฟางข้าวที่บดนำมาทำเชื้อเพลิง

5.5.3 การป้อนเชือกเพลิงเพื่อใช้ในการเผาไหม่ ปัญหาที่เกิดขึ้นคือ เมื่ออุณหภูมิในห้องเผาไหม่เริ่มสูงขึ้นมากกว่า 420°C อากาศภายในห้องเผาไหม่เมื่อได้รับความร้อนจะเกิดการขยายตัวที่สูง ทำให้เกิดความดันภายในห้องเผาไหม่สูงตามไปด้วย อากาศที่อยู่ภายในห้องเผาไหม่นั้นพยายามที่จะดันเชือกเพลิงออกมา ทำให้ระบบป้อนเชือกเพลิงในลักษณะที่ประยลลงมาจากด้านบนนั้นไม่สามารถที่จะทำได้ เชือกเพลิงที่ประยลลงไปจะถูกดันออกมายโดยอากาศภายในห้องเผาไหม่ เมื่อไม่สามารถเติมเชือกเพลิงได้ความร้อนในห้องเผาไหม่ก็ลดลง



รูปที่ 5.5 แสดงบริเวณช่องป้อนเชือกเพลิงที่เกิดความดันของอากาศในห้องเผาไหม่เมื่ออุณหภูมิสูง

5.5.4 ระบบหล่อเย็นของก้าชเทอร์บีน์ ในการเดินเครื่องเมื่ออุณหภูมิขาเข้าก้าชเทอร์บีน์นั้นมีอุณหภูมิที่สูงจะเกิดถ่ายเทความร้อนมายังเพลาขับและตัวเฟรมของเทอร์บีน์ ทำให้เกิดการขยายตัวทางความร้อน และถ่ายเทไปยังตลับลูกปืนทำให้เกิดการติดขัดของระบบการหมุนของเพลา



รูปที่ 5.6 บริเวณตลับลูกปืนทั้งส่วนหน้าและส่วนหลังที่ต้องได้รับการหล่อเย็น

บทที่ 6

สรุปผลการดำเนินงาน

6.1 การสร้างเครื่องยนต์เทอร์บีน

ผู้วิจัยได้ทำการออกแบบและสร้างเครื่องยนต์เทอร์บีนขนาดเล็ก ที่สามารถเผาไหม์เชื้อเพลิงแข็งอย่างเช่น ชีวมวล โดยได้สร้างห้องเผาไหม์ที่สามารถแลกเปลี่ยนความร้อนระหว่างก๊าซร้อนจากการเผาไหม์กับอากาศของเทอร์บีน (Heat exchanger furnace) ภายในห้องเผาไหม์ที่สร้างนี้ เชื้อเพลิงแข็งถูกเผาและปล่อยความร้อนออกมานะ จากนั้นความร้อนจะถูกถ่ายเทผ่านผนังปิดเข้าสู่อากาศอัด (Compressor air) ของเครื่องยนต์เทอร์บีน อากาศอัดเมื่อได้รับความร้อนจะมีแรงดันและอุณหภูมิสูง จึงขยายตัวผ่านเทอร์บีนไปยังความดันบรรยากาศทำให้ได้กำลังออกมานะ งานวิจัยนี้เลือกใช้เครื่องอัดอากาศชนิดลูกสูบ (Reciprocating air compressor) โดยเลือกยี่ห้อ PUMA รุ่น PP275 ขนาด 7.5 HP, 5.5 KW, จำนวนหัวสูบ 2 หัว ซึ่งให้ปริมาณลม 1,280 l/min อากาศที่ถูกปิดอยู่ในระบบอุกสูบของเครื่องอัดอากาศแบบนี้จะสามารถอัดให้ความดันได้สูงมาก ทั้งนี้ขึ้นอยู่กับความแข็งแรงของวัสดุที่ทำขึ้นส่วนของอัดและกำลังขับของมอเตอร์ในเครื่องอัดอากาศแบบลูกสูบนี้ การให้ผลของอากาศจะมีการหยุดทำงานเป็นจังหวะๆ จึงต้องระวังอากาศที่ไหลผ่านเทอร์บีนต้องเรียบพอดสมควร

6.1.1 ห้องเผาไหม์ถ่ายเทความร้อน (Heat exchanger furnace)

ห้องเผาไหม์ที่สร้างมีลักษณะเป็นอุปกรณ์แลกเปลี่ยนความร้อนไปในตัว สร้างจากแผ่นเหล็ก SS 400 เป็นถังรูปทรงกระบอก ซ่อนกันเป็น 2 ชั้น ในลักษณะแนวศูนย์กลางร่วม (Concentric tubes) ห่างกันประมาณ (Clearance) 2-3 มิลลิเมตร มีขนาดเส้นผ่าศูนย์กลางห้องเผาไหม์เท่ากับ 331 มิลลิเมตร มีความสูงเท่ากับ 680 มิลลิเมตร และมีพื้นถ่ายเทความร้อนเท่ากับ 778,354.52 ตารางมิลลิเมตร (0.77835452 ตารางเมตร) ทำการหุ้มฉนวนห้องเผาไหม์ด้วยอิฐฉนวนความร้อนอย่างดีเพื่อป้องกันการถ่ายเทความร้อนออกสู่สิ่งแวดล้อมและหุ้มด้วยกระเจาชั้นนอกสุด เพื่อป้องกันการแพร่รังสีความร้อนออกจากเตา ชั้นนอกสุดหุ้มเหล็กแผ่นบางเพื่อความแข็งแรงของเตา

6.1.2 เทอร์บีน (Turbine)

เทอร์บีนที่สร้างจะเป็นแบบใบหลาตามแกน (Axial flow gas turbine) และใบพัดดึงทำงานที่ในการกำกับอากาศอัดที่มีอุณหภูมิสูงที่มาจากการเผาไหม์ให้ฟุ่งกระทบใบพัดหมุนเพื่อ

ถ่ายเทพลังงานจนน์ เมื่อแควรไบพัดหมุนได้รับพลังงานจนน์จากอากาศอัดที่มีอุณหภูมิสูงที่พุ่งมา จากแควรไบพัดนิ่งจะเกิดการหมุนขึ้นทำให้เกิดงานเพลาขึ้น ผู้วิจัยได้เลือกผลิตไบพัดหั้งสองแบบ จากเหล็กกล้าไร้สนิม เกรด 316 ด้วยคุณสมบัติทนทานต่อการกัดกร่อนจากการก๊าซและจากการถูก อุกอาจได้ซึ่นในที่อุณหภูมิสูงได้ดีเนื่องจากมีโครงเมียมและนิกเกิลเป็นส่วนผสม ปริมาณคาร์บอนของ เหล็กกลุ่มนี้มีมาก ทั้งนี้เพื่อเพิ่มครีพสเตร้นช (Creep strength) ของเหล็กให้มากขึ้นเนื่องจากต้องใช้ ในที่อุณหภูมิสูง จำนวนไบพัดนิ่งและไบพัดหมุนที่ผลิตมานั้น มีแบบละ 21ใบ มีช่องทาง เดินอากาศอิสระสำหรับการไหลของแควรไบพัดนิ่ง เท่ากับ 2,545.750 ตารางมิลลิเมตร และ ช่องทางเดินอากาศอิสระสำหรับการไหลของแควรไบหมุน เท่ากับ 2,251.150 ตารางมิลลิเมตร ขึ้นส่วนเพลาบนนั้นทำจาก เหล็กกล้าสำหรับงานร้อน W 302 เนื่องจากมีสมบัติที่ดีมากได้แก่ มีความ แข็งแรงมากที่อุณหภูมิปกติ และคงความแข็งแรงที่อุณหภูมิสูงดี ทนต่อการสึกหรอที่อุณหภูมิสูง ทนต่อการเปลี่ยนแปลงอุณหภูมิอย่างฉับพลัน ทนต่อการล้าร้อน ต้านทานต่อการเกิดออกไซด์ที่ อุณหภูมิสูง ความเหนียวแกร่งสูงมาก

6.1.3 การทดสอบเดินเครื่องยนต์ก๊าซเทอร์บิน

การทดสอบเดินเครื่องยนต์ก๊าซเทอร์บินครั้นนี้ใช้ Fang ข้าวมาบดเป็นเชื้อเพลิง อัตราการป้อนเชื้อเพลิงประมาณ 0.0166 กิโลกรัมต่อนาทีซึ่งไม่มากไปกว่านี้ เพราะมีปัญหาที่ระบบ ป้อนเชื้อเพลิง โดยสามารถทำการเผาไหม้ได้ที่อุณหภูมิเปลวเพลิงภายในเตาได้ประมาณ 440°C อุณหภูมิของอากาศอัดตัวมาจากการเครื่องอัดอากาศประมาณ 80°C เมื่อทำการแลกเปลี่ยนความ ร้อนกับก๊าซร้อนจากห้องเผาไหม้แล้วจะได้อุณหภูมิของอากาศตรงทางเข้าเทอร์บินสูงขึ้นเป็น 320°C (ในช่วงเริ่มต้น) และเริ่มลดลงอย่างต่อเนื่อง เพราะปัญหาระบบป้อนเชื้อเพลิงที่ออกแบบมี ปัญหาป้อนเชื้อเพลิงได้ไม่มาก ในช่วงเริ่มต้นสามารถวัดความเร็วรอบของเทอร์บินได้ประมาณ 2,200 รอบต่อนาที และเพิ่มขึ้นอย่างต่อเนื่องเมื่อสภาวะการสูญเสียความร้อนคงที่ ความเร็วรอบ เทอร์บินจะเริ่มคงที่ ที่ประมาณ $2,800$ รอบต่อนาที ที่อุณหภูมิเข้าเทอร์บินประมาณ 280°C หลังจากนั้นความเร็วเทอร์บินจะเริ่มลดลงเล็กน้อยตามเวลาและตาม อุณหภูมิที่ได้จากการเผาไหม้ เนื่องจากระบบป้อนเชื้อเพลิงมีปัญหาป้อนเชื้อเพลิงได้ไม่มาก ซึ่งต้องแก้ไขต่อไป

6.2 ข้อเสนอแนะ

6.2.1 ทำการปรับปรุงระบบป้อนเชื้อเพลิงให้มีประสิทธิภาพมากขึ้น โดยการ เปลี่ยนมอเตอร์ส่งกำลังที่ใช้ในระบบป้อนเชื้อเพลิงให้มีขนาดที่ใหญ่ขึ้น มีระบบทดกำลังของ มอเตอร์ที่ส่งไปยังส่วนเกลียวสกอร์ปอนเชื้อเพลิง มีอุปกรณ์ปรับความเร็วรอบมอเตอร์ (Inverter) ที่

เที่ยงตรง และลักษณะการป้อนเข้าเพลิงให้เหมาะสมสมรวมไปถึงน่าจะมีการเปลี่ยนตำแหน่งสกุ๊ป
ป้อนเข้าเพลิงไปอยู่ ณ ตำแหน่งด้านใต้ตระหง่านเดียวกับช่องป้อนอากาศ

6.2.2 ทำการติดตั้งระบบหล่อเย็นของตลับลูกปืนเพื่อป้องกันความเสียหายของ
ตลับลูกปืนอันเนื่องมาจากความร้อนที่ได้รับมาจากเพลาและตัวเฟรมของเทอร์บิน เพราะหาก
ระบบป้อนเข้าเพลิงสมบูรณ์คาดว่าก้าวร้อนจะมีอุณหภูมิสูงขึ้นอีกมาก

6.2.3 ทำการติดตั้งอุปกรณ์วัดแรงบิด เพื่อที่จะสามารถวัดแรงบิดของเทอร์บินได้
และคำนวณงานที่ได้รับ (Work output) ได้ต่อไป

6.2.4 ทำการปรับปรุงระบบเครื่องยนต์เทอร์บินให้สมบูรณ์มากขึ้น โดยอาจทำ
การติดตั้งเครื่องกำเนิดไฟฟ้าเพื่อผลิตไฟฟ้าสำหรับใช้กับเครื่องขัดอากาศ

บรรณานุกรม

1. ชินวัตน์ เลิศธิปัญญาศาลา, สุธิดา สมสัช และ อธิศรา ศรีราตรี. “เครื่องยนต์แก๊สเทอร์บิน์ขนาดเล็กที่ใช้ชีวนวลดเป็นเชื้อเพลิง: การวิเคราะห์ทางการตลาดและเศรษฐศาสตร์.” บริณยานิพนธ์วิศวกรรมศาสตร์บัณฑิต สาขาวิชาระคีและวัสดุพลังงาน มหาวิทยาลัยศิลปากร, 2549.
2. Higman, C., and M. van der Burgt. Gasification. Burlington: Elsevier Publishers, 2003.
3. สุวัฒน์ นิลายัน, โรงไฟฟ้าพลังความร้อนกับสิ่งแวดล้อม. กรุงเทพมหานคร: สำนักพิมพ์แห่งจุฬาลงกรณ์มหาวิทยาลัย, 2548.
4. Carter, T.J. “Common failures in gas turbine blades.” Engineering Failure Analysis 12 (April 2005): 237–247
5. Yan, J. and L. Eidensten. “Status and perspective of externally fired gas turbines.” Propulsion and Power. 16, 4 (July–August 2000): 572-576.
6. Eberhardt, J.D. et al. “Indirectly heated gas turbine engine.” United states patent, No.4761957 [online]. Accessed 13 September 2007. Available from <http://www.freepatentsonline.com/> (1988): 1-6.
7. Bronicki, L.Y. et al. “Externally fired combined cycle gas turbine system.” United states patent, No.5687570 [online]. Accessed 30 October 2006. Available from <http://www.freepatentsonline.com/> (1997): 1-21.
8. Bram, S., J. De Ruyck, and A. Novak-Zdravkovic. “Status of external firing of biomass in gas turbine.” Power and Energy. 219 (June 2004): 137-145.
9. Traverso, A., A.F. Massardo, and R. Scarpellini. “Externally fired micro-gas turbine: Modelling and experimental performance.” Applied Thermal Engineering. 26 (March 2006): 1935-1941.
10. Kern, D.Q. Process heat transfer. Singapore: McGraw-Hill, 1984.
11. Hottel, H.C. “Radiant-Heat Transmission.” The Nature of Thermal Radiation. n.p., 483-498.
12. เกษม ปราบวิญญาณ, เทคโนโลยีด้านมิกส์, พิมพ์ครั้งที่ 3. ขอนแก่น: งานผลิตเอกสาร คณะวิศวกรรมศาสตร์ มหาวิทยาลัยขอนแก่น, 2529: 204-206.

13. ยุนส์ เชิงเกล และ ไมเคิล โบลส์. เทอร์โมไดนามิกส์. แปลและเรียบเรียงโดย สมชาย อัครทิวา และ ขวัญจิต วงศ์ชารี. กรุงเทพมหานคร: สำนักพิมพ์ห้อบ, 2547.
14. Cohen, H., G.F.C. Rogers, and Y.R. Mayhew. Gas turbine theory. 4th ed. n.p., 1996.
15. บุญศักดิ์ ใจจงกิจ. อนุกรมเครื่องตันกำลัง-3 เครื่องสูบ เครื่องอัดลม เครื่องเป่า และพัดลม. กรุงเทพมหานคร: สำนักพิมพ์สถาบันเทคโนโลยีพระจอมเกล้าวิทยาเขตพระนครเหนือ, 2520.
16. ชนกาณจน์ ภัทราภากุณ์ และ บรรเลง ศรนิล. เทอร์โมไดนามิกส์ประยุกต์. กรุงเทพมหานคร: สำนักพิมพ์สถาบันเทคโนโลยีพระจอมเกล้าวิทยาเขตพระนครเหนือ, 2524.
17. นานพ ตัณตระบันฑิตย์, สำลี แสงห้าว และ สุทธิน พิตร์เจริญ. ชิ้นส่วนเครื่องจักรกล. พิมพ์ครั้งที่ 7. กรุงเทพมหานคร: สมาคมส่งเสริมเทคโนโลยี (ไทย-ญี่ปุ่น), 2544, 187-219
18. นานพ ตัณตระบันฑิตย์. เขียนแบบวิศวกรรม (ฉบับปรับปรุง). พิมพ์ครั้งที่ 8. กรุงเทพมหานคร: สมาคมส่งเสริมเทคโนโลยี (ไทย-ญี่ปุ่น), 2548, 317-326
19. เหล็กเครื่องมืองานร้อน [Online]. Accessed 5 January 2008. Available from <http://www.chanasteel.com/spec/hot.htm>
20. Hot work tool steel [Online]. Accessed 5 January 2008. Available from http://www.oss.co.th/index.php?option=com_content&task=view&id=19&Itemid=26
21. Shigley, J.E., and C.R. Mischke. Mechanical Engineering Design. 6st ed. n.p., 2001.
22. วริทธิ์ อั้งภากรณ์ และ ชาญ ณัดงาน. การออกแบบเครื่องจักรกล เล่ม 1. กรุงเทพมหานคร: บริษัท เอช.เอ็น.กรุ๊ป จำกัด, 2537.
23. จำรูญ ตันติพิศาลกุล. การออกแบบชิ้นส่วนเครื่องจักรกล 1. พิมพ์ครั้งที่ 3. กรุงเทพมหานคร: บริษัท เอส อาร์ พรินติ้ง แอนด์ โปรดักส์ จำกัด, 2545,
24. บรรเลง ศรนิล และ กิตติ นิงสาณนท. การคำนวณและออกแบบชิ้นส่วนเครื่องกล. กรุงเทพมหานคร: สถาบันเทคโนโลยีพระจอมเกล้าฯ พระนครเหนือ, ม.ป.ป.
25. Timoshenko, S. Vibration problems in engineering. 2nd ed. New york: D. Van Nostrand Company, Inc., 1937, 92-98
26. Shigley, J.E., and C.R. Mischke. Mechanical Engineering Design. 6st ed. n.p., 2001
27. Marghitu, D. B. Mechanical Engineer's Handbook. California: Academic Press, 2001.
28. Childs, Peter R. N. Mechanical Design. 2nd ed. Burlington: Elsevier Butterworth-Heinemann, 2004

29. วชิรະ มีทอง. การออกแบบบล็อกและฟิกซ์เจอร์. พิมพ์ครั้งที่ 16. กรุงเทพมหานคร: สมาคมส่งเสริมเทคโนโลยี (ไทย-ญี่ปุ่น), 2549.
30. ศุภชัย รวมยานนท์. การออกแบบอุปกรณ์นำทางและจับงาน. กรุงเทพมหานคร: ชีเอ็ดดูเคชั่น, 2539.
31. ชาญชัย เดชะเสถว์, นพพร ตรีเทวี และ สมศักดิ์ ชำนาญท่องไพรัล. คู่มือช่างกลโรงงาน: ภาคปฏิบัติ. พิมพ์ครั้งที่ 2. กรุงเทพมหานคร: สำนักพิมพ์ญี่ปุ่นเต็คนุคส์, 2539.
32. ชาลิต เอ่งทอง, มนฑล แสงประไพพย์ และ อันันต์ มีนาค. งานกัด. กรุงเทพมหานคร: โรงพิมพ์ครุสภากาดพร้าว, 2549.
33. นัตรชัย จันทร์เด่นดวง, แวงค์ พิทักษ์ทรัพย์สิน และ ประสิทธิ์ วัฒนาวงศ์สกุล. “การประยุกต์ใช้เทคโนโลยีสแกน 3 มิติในการบวนการวิศวกรรมย้อนรอยและการตรวจสอบมิติ.” ใน การประชุมวิชาการเครือข่ายวิศวกรรมเครื่องกลแห่งประเทศไทยครั้งที่ 18 จังหวัดขอนแก่น, 18-20 ตุลาคม 2547
34. ศุภสิทธิ์ รอดขวัญ และคณะ. “การศึกษาการเปรียบเทียบการใช้งานของเครื่องเก็บค่าพิกัดสามมิติระบบเลเซอร์และระบบออบปติกที่ใช้สำหรับงานวิศวกรรมย้อนรอย.” ใน การประชุมวิชาการเครือข่ายวิศวกรรมเครื่องกลแห่งประเทศไทยครั้งที่ 20 จังหวัดนครราชสีมา, 18-20 ตุลาคม 2549
35. ATOS II [Online]. Accessed 12 August 2006. Available from
<http://www.gom.com/EN/measuring.systems/atos/system/variations/atos.ii.html>
36. คะเนย์ วรรณโนท. การเขื่อมโลหะด้วยวิธีทิก. พิมพ์ครั้งที่ 2. กรุงเทพมหานคร : ห้างหุ้นส่วนจำกัด ภาพพิมพ์, 2543.
37. _____. คู่มือการเขื่อมโลหะ 2. พิมพ์ครั้งที่ 2. กรุงเทพมหานคร: ห้างหุ้นส่วนจำกัด ภาพพิมพ์, 2545.
38. สมศักดิ์ กีรติวุฒิเศรษฐี. หลักการและการใช้งานเครื่องมือวัดอุตสาหกรรม. พิมพ์ครั้งที่ 14. กรุงเทพมหานคร: สมาคมส่งเสริมเทคโนโลยี (ไทย-ญี่ปุ่น), 2542, 2-1 - 2-15
39. วิลเลียมส์ ดี, คาลิสเตอร์. เจ. อาร์. วัสดุศาสตร์และวิศวกรรมวัสดุพื้นฐาน. แปลและเรียบเรียง โดย สุวนันชัย พงษ์สุกิจวัฒน์ และคณะ. กรุงเทพมหานคร: สำนักพิมพ์ห้อง, 2548.
40. ชาญวุฒิ ตั้งจิตวิทยา และ สาโรช สูติเกียรติพงศ์. วัสดุในงานวิศวกรรม กรุงเทพมหานคร: ชีเอ็ดดูเคชั่น, 2541.

41. ชนา รักษ์ศิริ และคณะ. “การประยุกต์ใช้เครื่องกัดซีเอ็นซีห้าแกนสำหรับกระบวนการผลิตใบพัด.” ใน การประชุมวิชาการเครือข่ายวิศวกรรมเครื่องกลแห่งประเทศไทยครั้งที่ 20 จังหวัดนครราชสีมา, 18-20 ตุลาคม 2549
42. Chaudhary, H., and S.K. Saha. Dynamics and Balancing of Multibody Systems. Edited by F. Pfeiffer, and P. Wriggers. n.p., 2009.
43. ตระการ ก้าวสิกรรม. คู่มือปะเก็นแก๊สเก็ต. กรุงเทพมหานคร: บริษัท เอ็มแอนด์อี จำกัด, ม.ป.บ.

ภาคผนวก

ภาคผนวก ก
ค่าตัวประกอบความหนาแน่น

1. ตัวประกอบของผิว

ค่าขีดจำกัดความทนทานสำหรับชิ้นทดสอบผิวจะใช้ผิวขัดมันเท่านั้น โดยทั่วไปแล้ว คุณภาพของผิวชิ้นงานจะต่ำกว่าชิ้นทดสอบ ความชุรุวะของผิวหน้าก็ทำให้ชิ้นงานแตกหักเนื่องจากความล้าได้ง่ายขึ้นอีก เพราะฉะนั้นจึงต้องมีการปรับค่าขีดจำกัดความทนทานของชิ้นงานตามสภาพของผิวดังรูปที่ ก-1

ซึ่งแสดงตัวประกอบที่ใช้สำหรับลดค่าดังกล่าวนี้ของผิวชิ้นงานต่างๆ มีชื่อเรียกว่า ตัวประกอบของผิว (Surface factor) K_a ลักษณะของผิวชิ้นงานที่มีโอกาสแตกหักเนื่องจากความล้าแล้ว คุณภาพของผิวมีผลต่ออายุการใช้งานของชิ้นงานนั้นมาก

2. ตัวประกอบขนาด

การทดสอบหาขีดจำกัดความทนทานทำโดยใช้ชิ้นทดสอบขนาดมาตรฐาน เส้นผ่าศูนย์กลาง 8 มิลลิเมตร ถ้าขนาดหน้าตัดโตขึ้นไปอีกจะพบว่าขีดจำกัดความทนทานลดลง ตั้งนั้นจึงต้องมีตัวประกอบมาคูณค่าขีดจำกัดความทนทานจากชิ้นงานทดสอบมาตรฐาน เพื่อให้ได้ค่าที่เหมาะสมกับชิ้นงานที่มีขนาดใหญ่กว่าชิ้นทดสอบ ซึ่งมีชื่อเรียกว่า ตัวประกอบของขนาด (Size factor) K_b โดยแนะนำให้ใช้ค่าต่อไปนี้

$K_b = 1.00$	สำหรับ $d < 8$	มิลลิเมตร
$K_b = 0.85$	สำหรับ $8 < d < 50$	มิลลิเมตร
$K_b = 0.75$	สำหรับ $d > 50$	มิลลิเมตร

ตัวประกอบของขนาดนี้ใช้ได้ทั้งการดึง การบิด และการดัด ในกรณีที่ชิ้นงานมีหน้าตัดไม่กลมก็ให้คิดความยาวส่วนสันที่สุดของหน้าตัดนั้นเป็นหลัก

3. ตัวประกอบของแรง

จากที่ได้ทราบมาแล้วว่า วัสดุทั่วไปมีคุณสมบัติในการรับความเค้นเชื่อมได้น้อยกว่าความเค้นดึงหรือกด ในกรณีของขีดจำกัดความทนทานก็เช่นเดียวกัน จากการทดสอบพบว่าขีดจำกัดความทนทานสำหรับหารเฉือนมีค่าน้อยกว่าการดัดตัวประกอบที่ใช้ลดค่าขีดจำกัดความทนทานจากการดัดนี้เรียกว่า ตัวประกอบของแรง (Load Factor) K_c โดยแนะนำให้ใช้ค่าดังต่อไปนี้

$$K_c = 1.00 \text{ สำหรับการดัด}$$

$$K_c = 0.80 \text{ สำหรับการเฉือน}$$

$$K_c = 0.60 \text{ สำหรับการเชื่อม}$$

$$\text{ เพราะฉะนั้น } \text{ สำหรับการดัด } \quad \sigma_n = K_a K_b \rho_n$$

$$\begin{aligned}
 \text{สำหรับการดึง} & \quad \sigma_n = 0.80 \times (\sigma_n \text{ จากการดัด}) \\
 \text{สำหรับการเฉือน} & \quad \tau_n = 0.60 \times (\sigma_n \text{ จากการดัด}) \\
 \text{ค่า } \sigma_n \text{ หรือ } \tau_n \text{ นี้คือ } & \text{ค่าความต้านทานแรงทันทาน}
 \end{aligned}$$

4. ตัวประกอบความหนาแน่น

ความต้านทานแรงทันทานดังกล่าวมาแล้วเป็นค่าสำหรับชิ้นงานที่มีหน้าตัดคงที่ ในกรณีที่ไปศึกษาจากวัสดุชนิดเดียวกัน เช่น โลหะ หรือเปลี่ยนขนาด จึงทำให้ความเค้นที่เกิดขึ้นในบริเวณนี้มีค่าที่สูงกว่าค่าที่คำนวนตามปกติ นั่นคือ

$\sigma_{MAX} = K_t \sigma_0$
โดยที่ σ_0 เป็นค่าที่คำนวนจาก F/A, Mc/I หรือ Tr/J โดยพื้นที่หน้าตัดสุทธิ (Net) และ K_t มีค่าเรียกว่าตัวประกอบความเค้นหนาแน่นทางทฤษฎี (Theoretical stress concentration factor)

ค่า K_t นี้เป็นค่าที่ได้จากการทดลองชิ้นงานชนิดต่างๆ ซึ่งใช้วัสดุพิเศษโดยเฉพาะ เรียกว่า วัสดุยืดหยุ่นป้องแสง (Photoelastic material) ซึ่งแสดงอยู่ในรูปที่ ก-4 ถึงรูปที่ ก-6 ตามปกติแล้ว ชิ้นงานจริงจะเป็นวัสดุที่แตกต่างไปจากวัสดุที่ใช้ในการทดลอง ดังนั้นความไว (Sensitivity) ของ วัสดุต่อการเพิ่มความเค้นบริเวณที่มีร่อง หรือเปลี่ยนขนาดจึงแตกต่างกันไปด้วย เช่น เหล็กหลอ เป็นโลหะเนื้อพรุน ขณะนั้นจึงมีความเค้นหนาแน่นอยู่แล้ว ค่า K_t จึงควรเข้าใกล้ 1 (แสดงว่า มีความเค้นหนาแน่นเพิ่มขึ้น เพน้ำองจากความไม่ต่อเนื่องของชิ้นงานอีกน้อยมาก) ดังนี้ที่บอกว่า ความไวของวัสดุต่อการเกิดความเค้นหนาแน่นนี้เรียกว่า ความไวของรอยเจาะ (Notch sensitivity) ค่า K_t นี้มีนิยามว่า

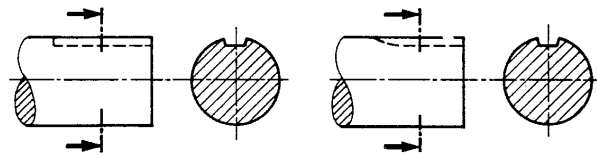
$$q = \frac{K_f - 1}{K_t - 1}$$

หรือ

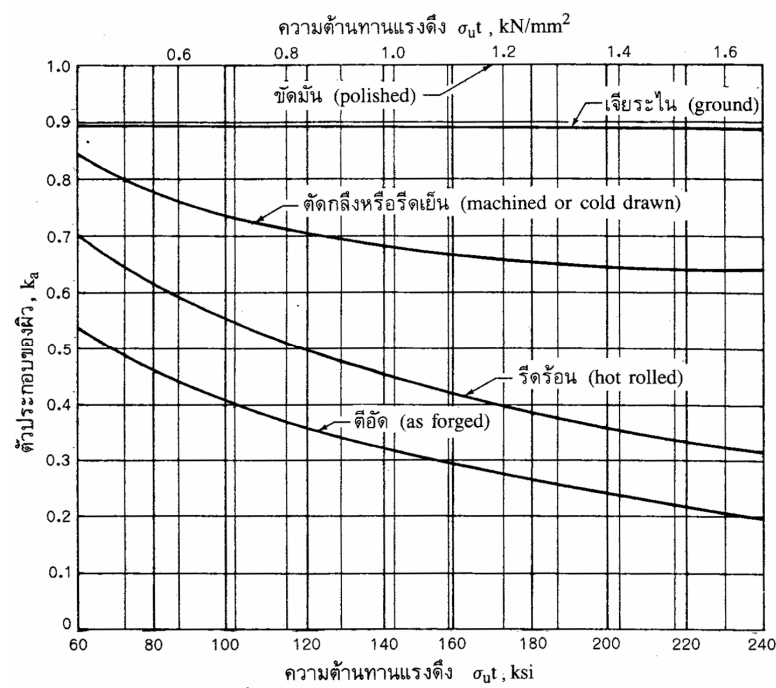
$$K_f = 1 + q(K_t - 1)$$

โดยที่ K_f เป็นค่าตัวประกอบความเค้นหนาแน่นจริง (Actual stress concentration factor) ถ้า $q = 0$ จะได้ $K_f = 1$ แสดงว่าไม่มีผลของความหนาแน่น เนื่องจากความไม่ต่อเนื่องของชิ้นงาน อยู่ด้วย แต่ถ้า $q = 1$ จะได้ $K_f = K_t$ ซึ่งแสดงว่าวัสดุมีความไวต่อความเค้นหนาแน่นเต็มที่ ค่า ความไวของรอยเจาะนี้ได้แสดงในรูปที่ ก-2 และรูปที่ ก-3 ผู้ออกแบบคนนิยมให้ $K_f = K_t$ (ค่าสูงสุดของตัวประกอบความหนาแน่น) ทั้งนี้เพื่อความปลอดภัยของชิ้นงาน ดังนั้นในกรณีที่มี ข้อมูลไม่เพียงพอ ก็ควรใช้ $K_f = K_t$ แต่ทั้งนี้ก็ยอมขึ้นอยู่กับความชำนาญของผู้ออกแบบที่จะ กำหนดค่า K_f ขึ้นมาใช้

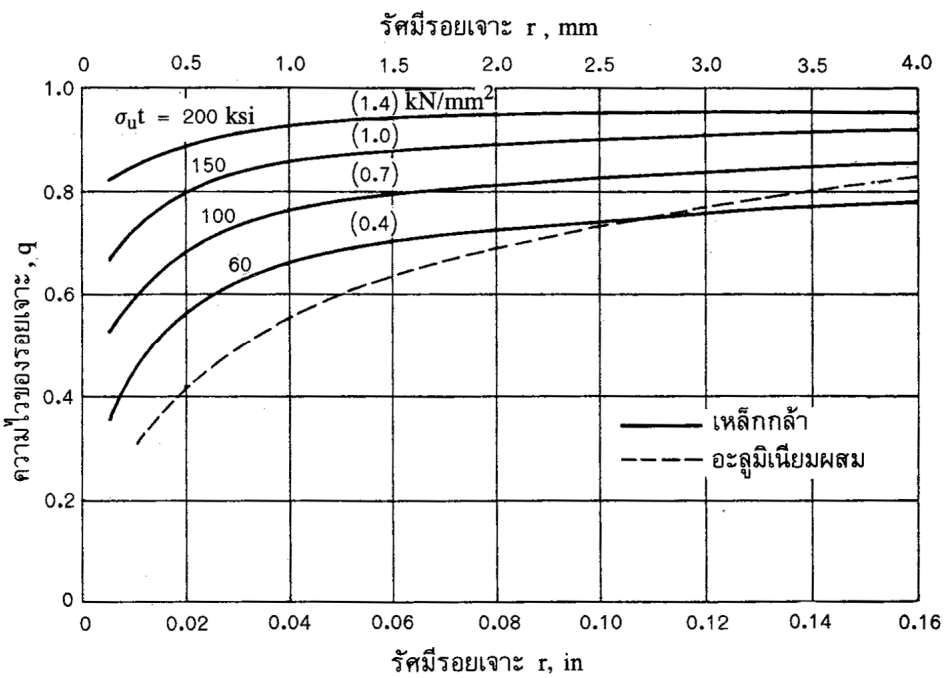
ตารางที่ ก-1 ตัวประกอบความเค้นหนาแน่นสำหรับล่องลิม



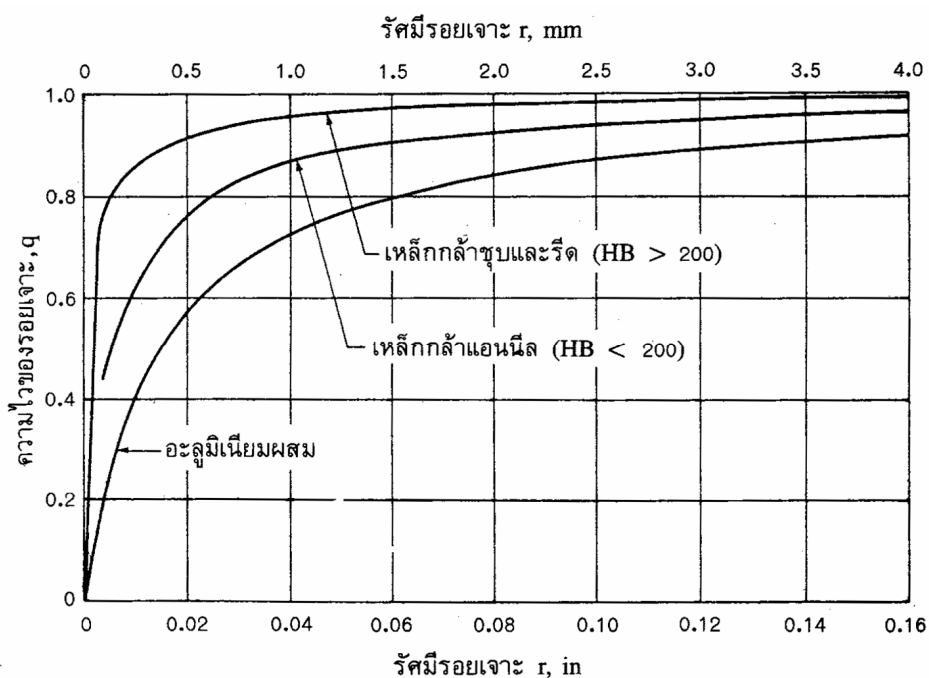
K_f		PROFILE		SLED-RUNNER	
		ดัด	บิด	ดัด	บิด
		แอนนิล	1, 6	1, 3	1, 3
	ชุบและรีด		2, 0	1, 6	1, 6



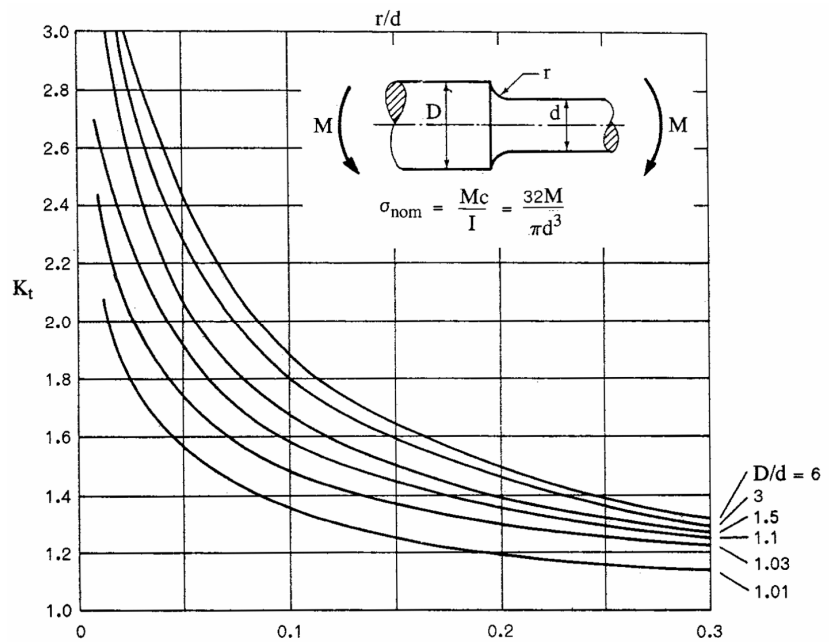
รูปที่ ก-1 ตัวประกอบของผิวสำหรับเหล็กกล้า



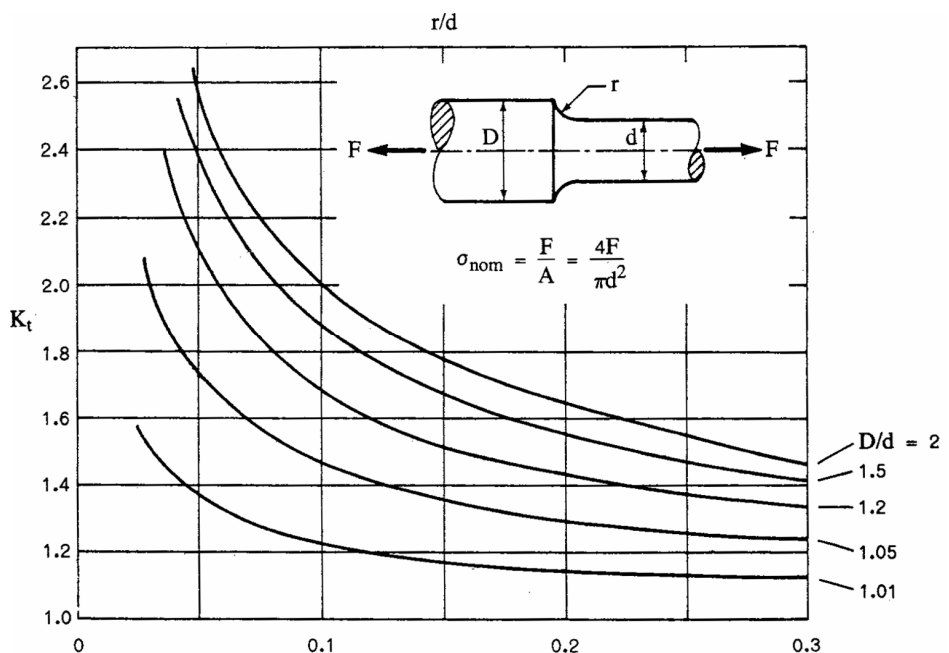
รูปที่ ก-2 แผนภูมิความไวของรอยเจาะสำหรับเหล็กกล้าและอลูมิเนียมผสมเห็นยิ่งที่อยู่ภายใต้การดัดกลับไปกลับมาหรือการดึงกดสลับกันในแนวอน ในกรณีที่รัศมีรอยเจาะต่อกว่าในรูปให้หาค่า q ที่ค่าวัสดุ $r = 4$ มิลลิเมตร



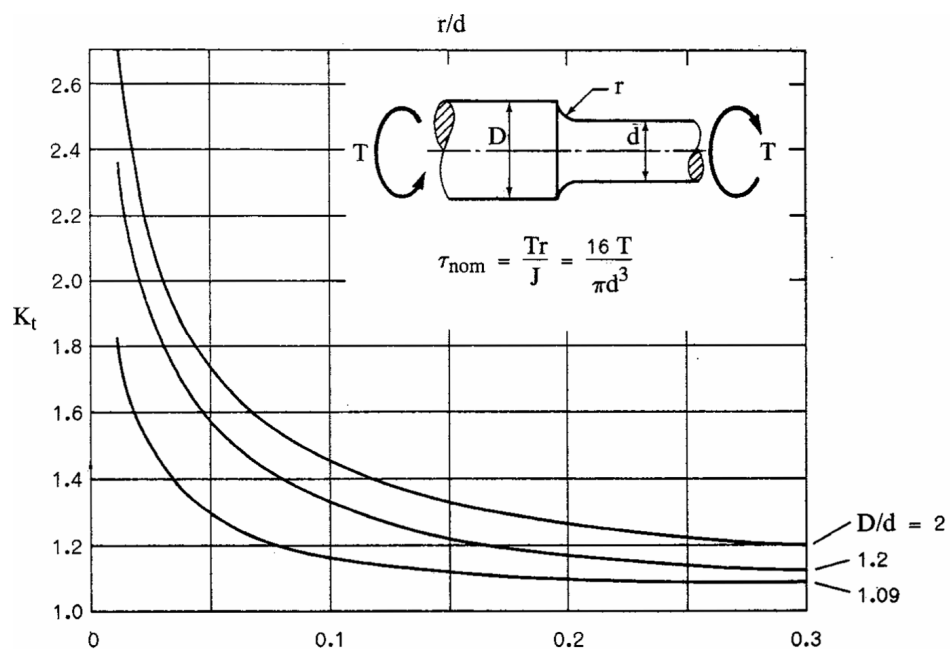
รูปที่ ก-3 แผนภูมิความไวของรอยเจาะของชิ้นงานที่อยู่ภายใต้การบิดกลับไปกลับมา (Reversed torsion) ในกรณีที่รัศมีรอยเจาะต่อกว่าในรูปให้ค่า q ที่ค่าวัสดุ $r = 4$ มิลลิเมตร



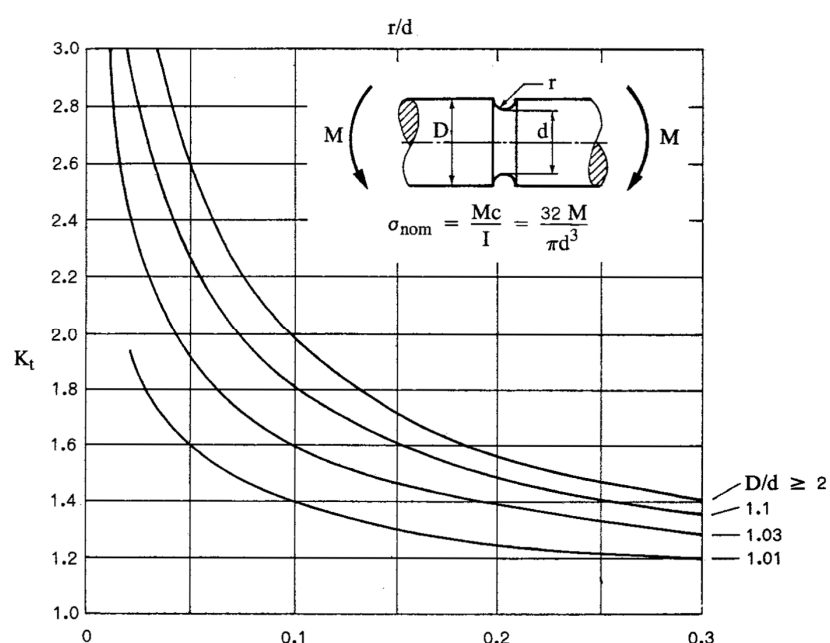
รูปที่ ก-4 เพลาที่มีพิลเลต (ก) ออยู่ภายใต้แรงดัด



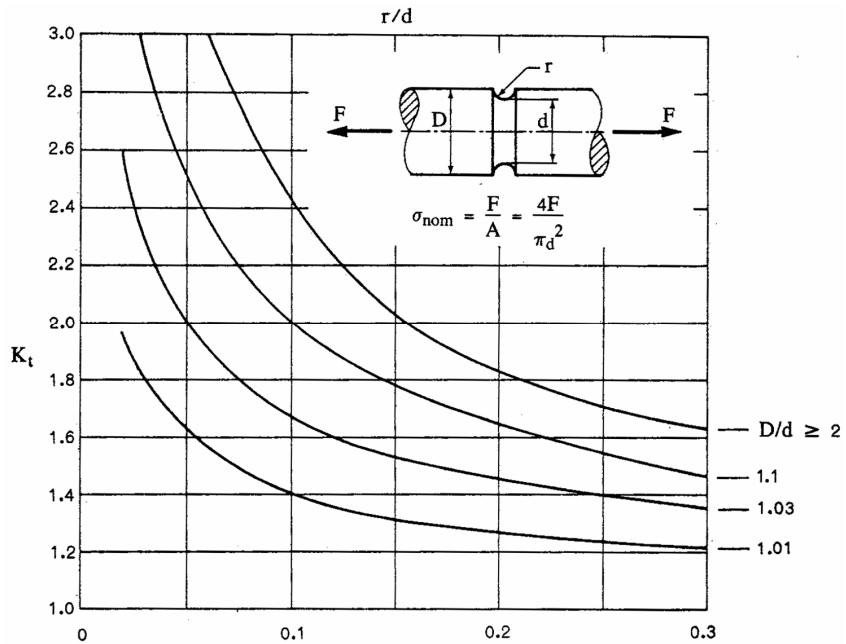
รูปที่ ก-4 เพลาที่มีพิลเลต (ข) ออยู่ภายใต้แรงดึง



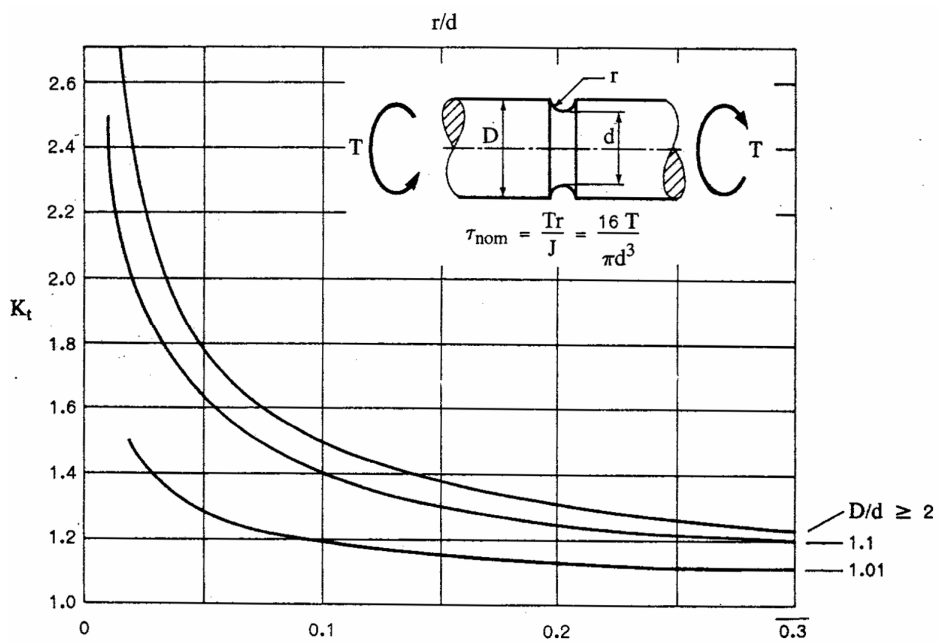
รูปที่ ก-4 เพลาที่มีฟิลเตต (ค) ออยู่ภายใต้แรงบิด



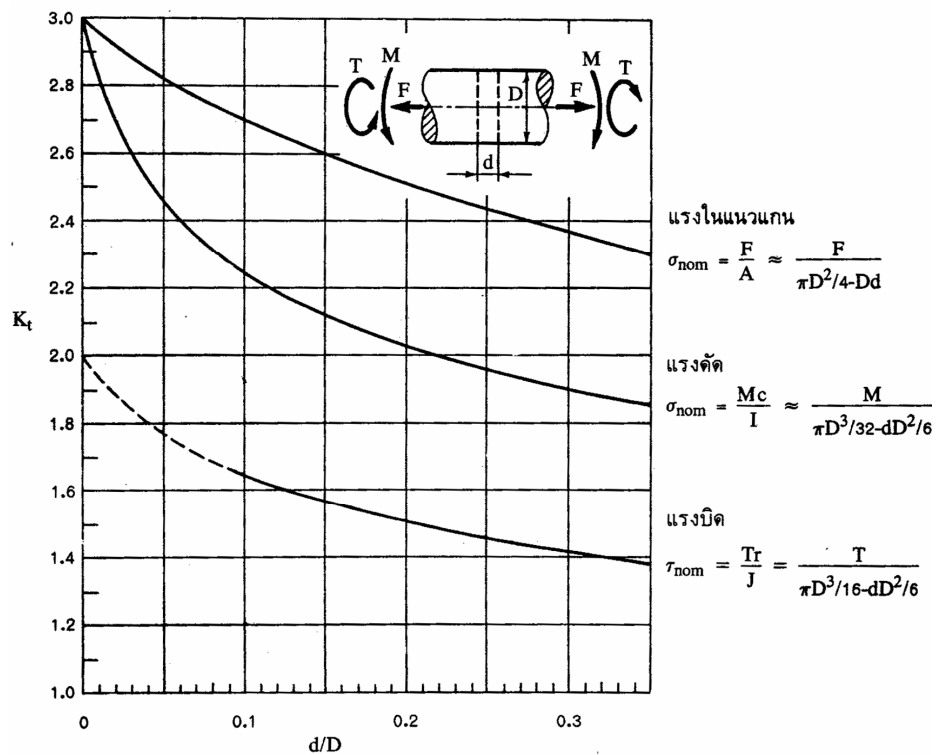
รูปที่ ก-5 เพลาที่มีร่องโดยรอบ (ก) ออยู่ภายใต้แรงดัด



รูปที่ ก-5 เพลทที่มีร่องโดยรอบ (ข) อุญภัยใต้แรงดึง



รูปที่ ก-5 เพลทที่มีร่องโดยรอบ (ค) อุญภัยใต้แรงบิด



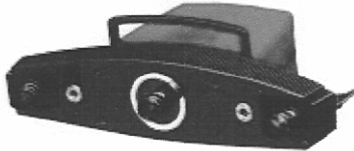
ภาคผนวก ช
เครื่องมือและอุปกรณ์

1. เครื่องเก็บค่าพิกัดสามมิติระบบอปติก

เป็นอุปกรณ์ที่มีคุณภาพสูงสำหรับการวัดแบบจุด หรือใช้เมื่อ合บกับสภาวะแวดล้อมที่ยากต่อการวัด อุปกรณ์นี้เป็นอุปกรณ์ที่มีความแม่นยำ และความสามารถในการใช้งานที่สูง อีกทั้งยังสามารถติดต่อกับระบบวัดอื่นๆได้อีกด้วย

จุดเริ่มต้นเริ่มจากอุตสาหกรรมรถยนต์นั้นมีแรงผลักดันในการพัฒนาระบบท่องข้อมูลทางด้านดิจิตอล โดยที่ระบบสามารถนำมาใช้ประโยชน์ในการเก็บข้อมูลรถยนต์และส่วนประกอบอื่นๆของชิ้นส่วนรถยนต์ เพื่อสำหรับมาใช้เป็นข้อมูลในการผลิตในลักษณะในรูปแบบ Cad Model ไม่เพียงอุตสาหกรรมทางด้านยานยนต์เท่านั้น เครื่องสแกนนี้ได้มีการนำมาใช้ในหลายโรงงานในด้านการวัด การตรวจสอบ การวิเคราะห์ และการรับประกันคุณภาพ อย่างเช่น ในงานโลหะแผ่น ปั๊มชิ้นรูปโลหะ และงานชิ้นรูปชิ้นส่วน งานประกอบ เป็นต้น [35]

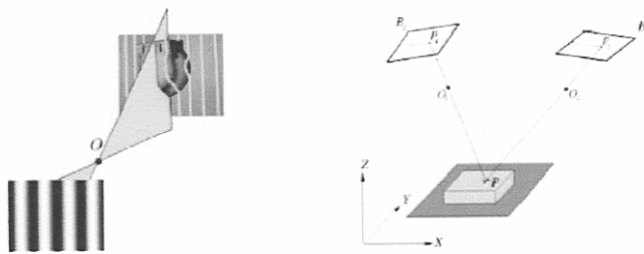
เครื่องเก็บพิกัดสามมิติระบบอปติกที่นำมาใช้ในครั้นนี้ตั้งอยู่ที่ ณ ศูนย์เทคโนโลยีและวัสดุแห่งชาติ (MTEC) สำนักงานพัฒนาวิทยาศาสตร์และเทคโนโลยีแห่งชาติ (สวทช.) เป็นเครื่องรุ่น ATOS II ดังแสดงในรูปที่ ๑-1 ซึ่งตัวเครื่องมีความเบา กะทัดรัด ใช้งานง่าย ให้ความคมชัดสูงและแม่นยำ นอกจากนี้ยังสามารถเก็บพิกัดใน ส่วนของชิ้นงานซึ่งยากที่จะเข้าถึง รวมถึงความสามารถในการเปลี่ยนพิกัดของรูปทรงให้มีความคมชัดตามที่ต้องการได้ โดยคุณสมบัติของ เครื่องรุ่น ATOS II มีดังแสดงในตารางที่ ๑-1



รูปที่ ๑-1 เครื่องเก็บพิกัดสามมิติระบบอปติกรุ่น ATOS II

หลักการทำงานของเครื่องเก็บพิกัดสามมิติระบบอปติกจะใช้กฎของรูปสามเหลี่ยม (The Triangulation Principle) โดยมีชุดอุปกรณ์ส่งสัญญาณ (Sensor Unit) ส่ง Fringe Patterns ที่แตกต่างกันไปยังวัตถุที่ต้องการวัด และมีตัวจับสัญญาณคือกล้องสองตัว ดังที่แสดงในรูปที่ ๑-2

จาก The Optical Transformation Equations และการคำนวณด้วยโปรแกรมคอมพิวเตอร์จะได้พิกัดสามมิติของวัตถุ ซึ่งความถูกต้องของค่าที่ได้จะขึ้นกับความละเอียด (Resolution) ของกล้องที่ใช้ในการจับสัญญาณ [33-34]



รูปที่ ข-2 หลักการทำงานของเครื่องเก็บพิภัตสามมิติระบบออบติก

ตารางที่ ข-1 แสดงคุณสมบัติเครื่องเก็บค่าพิภัตสามมิติระบบออบติก

ปริมาตรที่สามารถเก็บค่าสามมิติได้	$135 \times 108 \times 108 - 700 \times 1360 \times 1360 \text{ mm}^3$
เวลาที่ใช้ในการเก็บพิภัต 1 ครั้ง	7 วินาที
ขนาดเครื่อง	$520/700/940 \times 220 \times 11$
จำนวนพิภัตสามมิติที่เก็บได้	1300000 จุด
ระยะห่างระหว่างพิภัตจุด	$0.08-1.0 \text{ mm}^3$
ระยะห่างในการกำจัดพิภัตครบ่วน	$0.002-0.02 \text{ mm}^3$

เครื่องเก็บพิภัตสามมิตินี้ได้มีการนำมาใช้งานในหลายด้าน เช่น

- ควบคุมคุณภาพ (Quality Control)
- วิศวกรรมย้อนรอย (Reverse Engineering)
- สร้างชิ้นงานต้นแบบรวดเร็ว (Rapid Prototyping)
- การกัดงานรวดเร็ว (Rapid Milling)
- แบบจำลองดิจิตอล (Digital Mock-Up)

2. CNC Milling Machining center

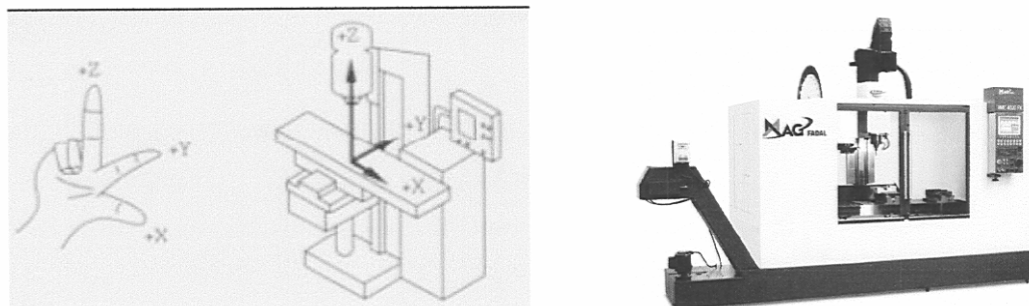


รูปที่ ข-3 CNC Machining Center ที่ใช้ในปัจจุบัน

1. การจำแนกประเภทของ CNC machining center

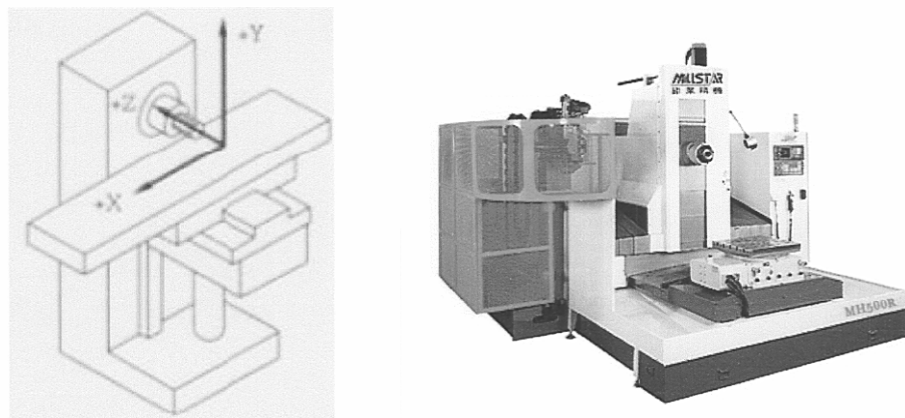
สามารถแบ่งได้ตามแบบทิศทางการติดตั้งสปินเดล ดังนี้

1. แนวตั้ง (Vertical Machining Center, VMC)



รูปที่ ข-4 การกำหนดแนวแกนของเครื่องกัดตั้ง

2. แนวอน (Horizontal Machining Center, HMC)



รูปที่ ข-5 การกำหนดแนวแกนของเครื่องกัดอน

เครื่องกัดแบบแนวตั้งนั้นมีจำนวนการใช้งานมากกว่าเครื่องแบบแนวอนมากกว่า โดยเฉพาะในการนำมาใช้ผลิตชิ้นส่วนขนาดเล็กและกลาง รวมถึงขนาดใหญ่ด้วยเช่นกัน โดยที่ข้อดีของแบบแนวอน คือ ไม่สะสมความร้อนที่ชิ้นงาน เช่นให้ระหว่างตกลงพื้นไม่สะสมบนผิวของชิ้นงาน ที่อาจทำให้เกิดรอยขีดข่วนบนชิ้นงานได้

CNC Machining Center ที่สามารถเปลี่ยนตำแหน่งการติดตั้งหัวสปินเดลให้อยู่ได้ทั้งในแนวอนหรือแนวตั้ง โดยการใช้คำสั่ง CNC ใน การเปลี่ยนตำแหน่งนั้น มีชื่อเรียกเครื่องประเภทนี้ว่า “Universal Machining Center” จะนั้นเครื่องจักรประเภทนี้จึงสามารถทำงานหลายขั้นตอนให้เสร็จได้ภายในเครื่องเดียวโดยไม่ต้องติดตั้งชิ้นงานใหม่ ซึ่งกัดได้ถึง 5-6 ด้านในครั้งเดียว

การแบ่งตามจำนวนของแกนการเคลื่อนที่ของทูล เมื่อเทียบกับชิ้นงาน ได้ดังนี้

1. แบบ 2 แกนครึ่ง ($2\frac{1}{2}$ Axes)

เป็นเครื่องที่สามารถเคลื่อนที่ได้ 3 แกน แต่เคลื่อนที่ได้พร้อม ๆ กันคราวละ 2 แกน เช่น X-Y, X-Z, Y-Z เป็นต้น เครื่องประเภทนี้เหมาะสมสำหรับการเจาะ (Drilling)

2. แบบ 3 แกน ($3\frac{1}{2}$ axes)

เป็นเครื่องที่สามารถเคลื่อนที่ได้พร้อม ๆ กันได้ทั้ง 3 แกน

3. แบบ 3 แกนครึ่ง (3 axes)

พบมากในเครื่อง HMC โดยเป็นการหมุนของ Indexing table ในแกน B แล้วจึงเคลื่อนที่ไปแกน X, Y และ Z ถ้าเป็นเครื่อง VMC จะติดตั้งให้หมุนในแกน A เป็นส่วนมาก

4. แบบ 4 แกน (4axes)

พบมากในเครื่อง HMC โดยแกนที่ 4 เป็นแกนหมุนของโต๊ะหมุน (Rotary Table) ในแกน B ไปพร้อม ๆ กับการเคลื่อนที่ที่ใช้เส้น (แกน X, Y และ Z) จึงเป็นการเคลื่อนที่ 4 แกนพร้อม ๆ กัน ถ้าเป็นแกนเครื่อง VMC จะติดตั้งให้หมุนในแกน A เป็นส่วนมาก

5. แบบ 5 แกน (5 axes)

มีการเคลื่อนที่เชิงเส้น (Linear Motion) 3 แกน (X Y Z) และการเคลื่อนที่เชิงมุม (Angular Motion) หรือการหมุน 2 แกน เครื่อง 5 แกนสามารถเคลื่อนที่ได้พร้อม ๆ กันทั้ง 5 แกน

นอกจากนี้แล้วเครื่องจักรในระบบซีเอ็นซีบางชนิดก็จะมีแนวแกนปีก่อนและแนวแกนหมุนรวมกันอยู่หลายแนวแกน ซึ่งในการกำหนดแนวแกนของเครื่องจักรกลซีเอ็นซีตามมาตรฐาน EIA-267-B (Electronic Industries Association) ได้กำหนดแนวแกนมาตรฐานไว้ทั้งหมด 14 แนวแกน ประกอบไปด้วยแนวแกนที่เคลื่อนที่ในแนวเส้นตรง 9 แนวแกน แนวหมุนอีก 5 แนวแกน

ส่วนประกอบหลักของเครื่อง Machining Center

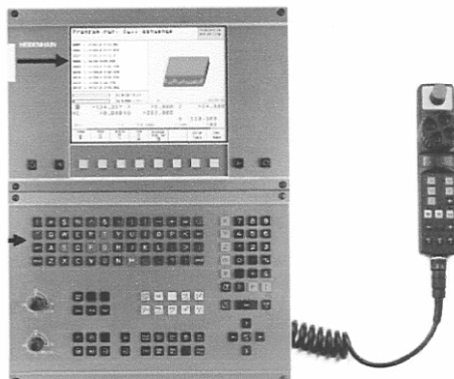
สามารถแบ่งได้ 4 ส่วนหลัก ได้แก่

- ชุดควบคุมการทำงาน (Controller)
- ระบบกลไกในการเคลื่อนที่ (Drive mechanisms)
- ตัวเครื่องจักร (Machine Body)
- อุปกรณ์เปลี่ยนทูลอัตโนมัติ (Automatic Tool Changer)

1. ชุดควบคุมการทำงาน (Controller)

ชุดควบคุมของ Machining Center เป็นระบบคอมพิวเตอร์ที่สามารถจัดเก็บโปรแกรมแก้ไขดัดแปลงได้ คอมพิวเตอร์เข้าใจโปรแกรมที่ป้อนและทำงานตามคำสั่งในโปรแกรม

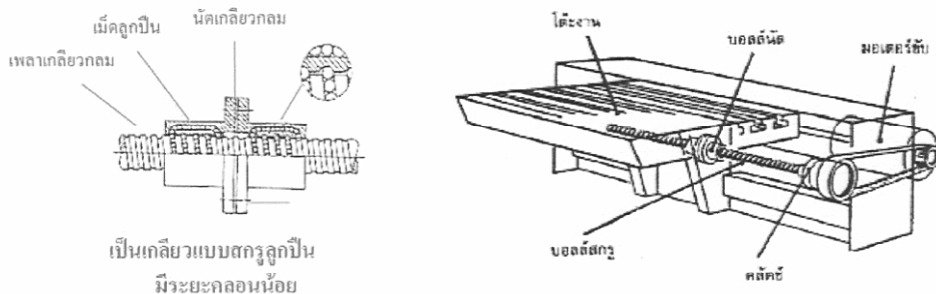
ชุดควบคุมประกอบไปด้วย แผงควบคุม (Control panel) จอภาพ (Monitor) แป้นพิมพ์ (Keyboard หรือ keypad) และปุ่มสวิตซ์ควบคุมต่างๆ เช่น ความเร็วฟีด (Feed) และความเร็วสปินเดล (Spindle) เป็นต้น



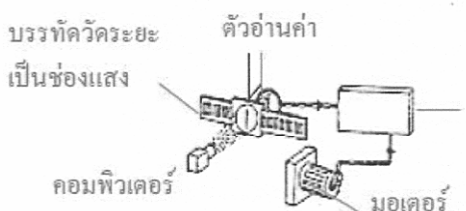
รูปที่ ข-6 แสดงชุดควบคุมการทำงาน (Controller)

2. กลไกการเคลื่อนที่

ได้แก่ พิdemอเตอร์ (Feed Motor) ซึ่งเป็นโซโวมอเตอร์ (Servo motor) ควบคุมการเคลื่อนที่ของแกนต่างๆ ได้โดยใช้ บอลล์สกรู (Ball screw) แปลงการเคลื่อนที่เชิงมุม (Angular motion) เป็นการเคลื่อนที่เชิงเส้น (Linear motion) โดยมีตำแหน่งหรือระยะทางของการเคลื่อนที่และความเร็วถูกควบคุมโดยรับสัญญาณจากคอนโทรลเลอร์ นอกจากนี้จะมีรางนำทาง (guide way) รองรับการเคลื่อนที่ที่แกนต่างๆ เป็นต้น



สำหรับเครื่องที่ต้องการความแม่นยำสูงจะมี ลิเนียร์สเกล (Linear scale) เป็นอุปกรณ์ตรวจจับหรือเซนเซอร์ (sensor) บอกตำแหน่งในการเคลื่อนที่ในแต่ละแกน



3. ตัวเครื่องจักร

โครงสร้างที่ประกอบเป็นรูปร่างที่เหมาะสมสำหรับการใช้งานตามประเภทของเครื่องจักรนั้นๆ ตัวเครื่องจักรมีส่วนประกอบหลัก เช่น

- แท่นเครื่อง (Machine bed) เป็นโครงสร้างหลักของตัวเครื่องจักร สำหรับรองรับอุปกรณ์และชิ้นส่วนต่างๆ ของเครื่องจักร

- หมอนรอง หรือ แสตนดิล (Saddle) เคลื่อนที่ได้ 1 แกน บนแท่นเครื่อง เช่น แกน X หรือ แกน Y

- โต๊ะ (Table) สำหรับวางชิ้นงาน โดยทั่วไปโต๊ะเคลื่อนที่อยู่บนหมอนรอง มีร่องรูปตัวที (T-slot) สำหรับใช้ในการจับยึดชิ้นงานให้แนบติดกับโต๊ะ มีระนาบโต๊ะตั้งติดกับเสา

- เสา (Column) เป็นโครงสร้างสำหรับติดตั้งสปินเดล เครื่องแมชชีนนิ่งเซนเตอร์แนวตั้งรุ่นใหม่นิยมสร้างเป็นแบบเสาคู่ (Double Column) เพราะให้ความแม่นยำที่ดีกว่า

- สปินเดล (Spindle) สำหรับติดตั้งชุดจับทุล แบบเทเปอร์เชิร์ฟ (Tapered shank) หรือแบบไฮสปีด (High speed) โดยมีมอเตอร์สปินเดล (Spindle motor) ขับเคลื่อนสปินเดลผ่านเกียร์ หรือสายพานหรือต่อตรงรวมเป็นชุดเดียวกัน

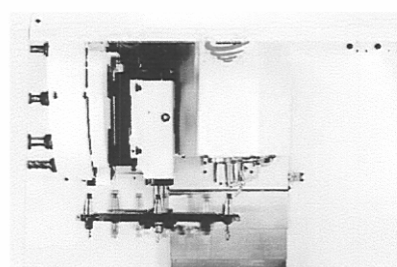
4. อุปกรณ์เปลี่ยนทูลอัตโนมัติ (Automatic Tool Changer, ATC)

ติดตั้งในเครื่องแมชชีนนิ่งเซนเตอร์ทั้งแบบแนวตั้ง (Vertical Machining Center หรือ VMC) และแบบแนวนอน (Horizontal machining center) สามารถเปลี่ยนทูลจากที่เก็บทูล (Tool Storage) หรือทูล แมคกาซีน (Tool Magazine) ประเภทของ ATC สามารถแยกได้ดังนี้

- เป็นแบบโซ่ (Chain-Type)

- แบบจานหมุน (Carousel-Type)

โดยแบบโซ่สามารถเก็บทูลได้จำนวนมากกว่าแบบจานหมุน ทั้งสองแบบจะมีแขนจับเปลี่ยนทูล (Tool changing Arm) ระหว่างที่เก็บทูลและสปินเดล บางรุ่นอาจจะไม่ต้องใช้แขนหรือเป็นแบบไร้แขน (Armless)



รูปที่ ข-7 แสดงชุดเปลี่ยนทูลอัตโนมัติ

5. ขั้นตอนการผลิตงานด้วยเครื่องจักร CNC Machining Center

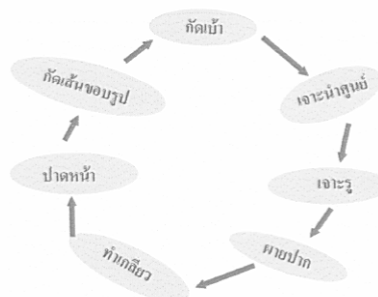
1. การออกแบบงาน

การผลิตชิ้นงานขึ้นมาไม่ว่าจะมาจากกระบวนการออกแบบหรือจากต้นแบบนั้น งานผลิตมาก ๆ ส่วนมากแล้ว ล้วนต้องนำมาเขียนแบบลงใน CAD (Computer Aide Design) ก่อนเป็นส่วนใหญ่ทั้งสิ้นหรือหากว่างานนั้นมีความละเอียดซับซ้อนมาก ก็ถือว่าไม่จำเป็น



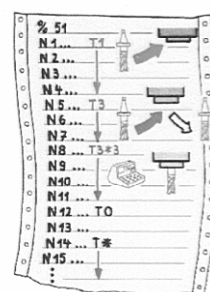
รูปที่ ข-8 แสดงขั้นตอนการออกแบบด้วยคอมพิวเตอร์

2. การกำหนดขั้นตอนการกัดและเลือกเครื่องมือตัด



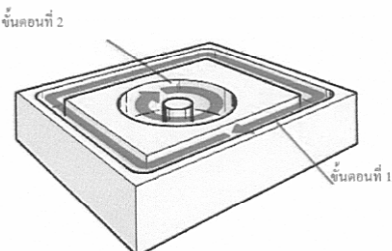
รูปที่ ข-9 แสดงขั้นตอนการกัดและเลือกเครื่องมือ

3. จัดเตรียมโปรแกรม NC ที่จะนำมาใช้งาน



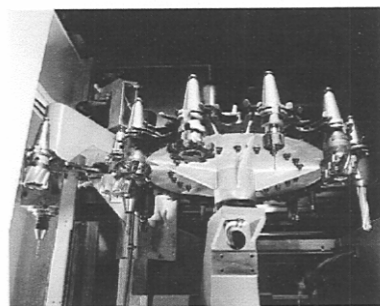
รูปที่ ข-10 แสดงจัดเตรียมโปรแกรม NC

4. การตรวจสอบโปรแกรม



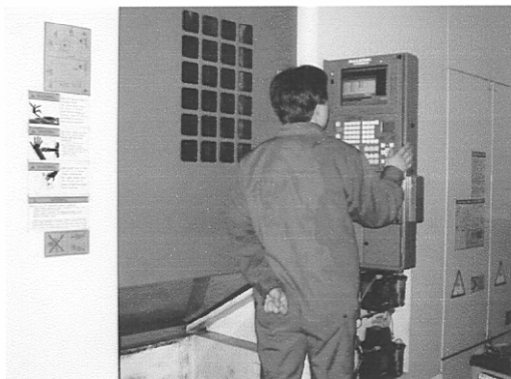
รูปที่ ข-11 แสดงการตรวจสอบโปรแกรม

5. จัดเตรียมเครื่องมือตัด



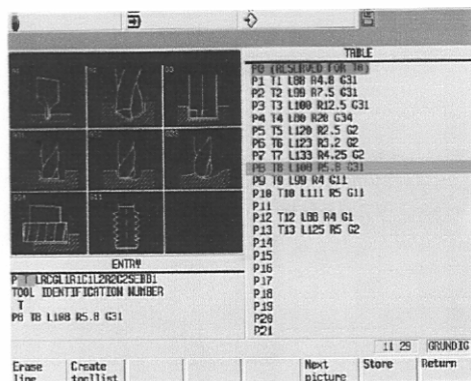
รูปที่ ข-12 แสดงการจัดเตรียมเครื่องมือตัด

6. ป้อนโปรแกรมเข้าเครื่อง



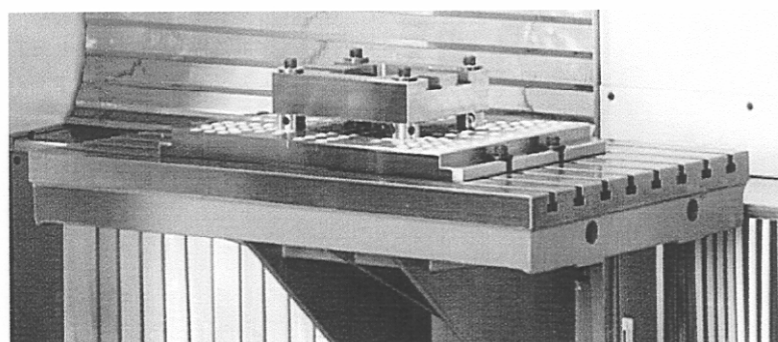
รูปที่ ข-13 แสดงป้อนโปรแกรมเข้าเครื่อง

7. ปรับตั้งค่าเครื่องมือตัด



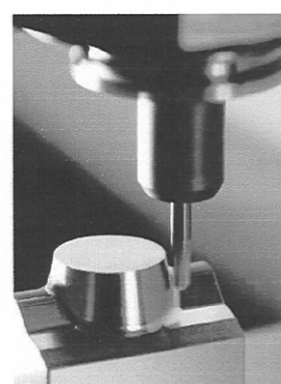
รูปที่ ข-14 แสดงปรับตั้งค่าเครื่องมือตัด

8. การจับยึดชิ้นงานบนโต๊ะงาน



รูปที่ ข-15 แสดงการจับยึดชิ้นงานบนโต๊ะงาน

9. ทดสอบกัดงานอย่างต่อเนื่อง



รูปที่ ข-16 แสดงการทดสอบกัดงาน

ข้อดีของเครื่องจักรกล CNC

1. มีความเที่ยงตรงสูง
2. คุณภาพสม่ำเสมอทุกชิ้น
3. โอกาสเกิดความเสียหาย หรือ ต้องแก้ไขชิ้นงานน้อย
4. สามารถทำงานได้ตลอด 24 ชั่วโมงโดยไม่หยุด
5. มีความรวดเร็วในการผลิต ทำให้มีผลผลิตสูง
6. สามารถคาดคะเนและวางแผนการผลิตได้อย่างแม่นยำ เพราะเวลาไม่มีข้อจำกัดของงาน
7. สามารถลับเปลี่ยนชิ้นงาน ได้หลากหลายรูปทรง สะดวกและรวดเร็ว
8. เมื่อเปรียบเทียบจำนวนนวนผลผลิตที่เท่ากัน เครื่องจักรกล ซีเอ็นซี ใช้พื้นที่น้อยกว่า และลดพื้นที่การจัดเก็บชิ้นงาน
9. มีความสะอาด สำหรับใช้ในการผลิตชิ้นงานตั้งแบบที่มีการแก้ไขบ่อย
10. ชิ้นงานที่มีความซับซ้อนสูงและมีหลายชั้นตอนการผลิต สามารถใช้เครื่องจักรกล ซีเอ็นซี เครื่องเดียว ทำให้มีต้องย้ายไปทำที่เครื่องอื่น
11. ลดปริมาณการตรวจสอบคุณภาพ
12. ทำให้สามารถใช้หุลหรือเครื่องมือตัดได้อย่างมีประสิทธิภาพ
13. ลดแรงงานในสายการผลิต ผู้ควบคุมเครื่อง 1 คน สามารถดูแลได้ 3 ถึง 5 เครื่อง
14. ใช้คุปกรณ์เสริมน้อย ไม่ต้องใช้แผ่นลอกแบบ (Camplates หรือ Templates)

ข้อเสียของเครื่องจักรกล CNC

1. มีราคาแพง ต้องนำเข้าจากต่างประเทศ
2. ค่าซ่อมแซมสูง การซ่อมแซมมีความซับซ้อน เพราะมีห้อง ยาร์ดแวร์ และ ซอฟต์แวร์ รวมถึงคอมพิวเตอร์และคุปกรณ์ไฟฟ้าอิเล็กทรอนิกส์
3. คุปกรณ์และซอฟต์แวร์เสริม (Option) มีราคาสูงและต้องใช้จากผู้ผลิตนั้นๆ เท่านั้น
4. ต้องมีความรู้พื้นฐานคณิตศาสตร์พอกว่าในการเขียนโปรแกรม
5. ต้องมีพื้นที่ และสิ่งอำนวยความสะดวกให้แก่ผู้เขียนโปรแกรม
6. ต้องหางานป้อนให้เครื่องทำประจำอย่างสม่ำเสมอ
7. ไม่เหมาะสมกับการผลิตงานจำนวนน้อยๆ
8. สัญญาค่าซ่อมบำรุงสูง
9. ขึ้นส่วนของเหลวในบางกรณี ต้องออกจากต่างประเทศ
10. คอนโทรลเลอร์ เป็นภาษาอังกฤษ ซึ่งต้องเรียนรู้ และมีการรับการฝึกอบรมการใช้เครื่องและการเขียนโปรแกรมก่อนเริ่มใช้เครื่องได้

3. เครื่องกัดเซาะโลหะด้วยตัวนำไฟฟ้า (Electrical Discharge Machining Technology: EDM)

ปัจจุบันในอุตสาหกรรมผลิตชิ้นส่วนโลหะหรืออุตสาหกรรมแม่พิมพ์ไม่ว่าจะเป็นแม่พิมพ์สำหรับโลหะหรือแม่พิมพ์สำหรับพลาสติกนั้น ล้วนแล้วแต่ต้องผ่านขั้นตอนการผลิตที่ใช้เครื่อง EDM หรือที่เรียกว่า Electrical Discharged Machine โดยแบ่งออกเป็น 2 ประเภทหลัก คือ

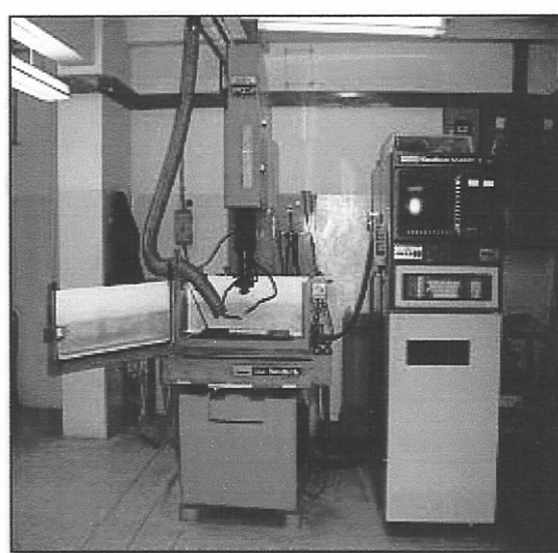
1. Sink-EDM

2. Wire-EDM

ซึ่งในปัจจุบันอุตสาหกรรมมีใช้อยู่เป็นจำนวนมาก โดยที่การกัดเซาะโลหะด้วยตัวนำไฟฟ้า (Electrical Discharged Machining Technology) เป็นกระบวนการที่มีผลต่อคุณภาพของชิ้นงานเป็นอย่างมาก เพราะเป็นกระบวนการที่ต้องเก็บรายละเอียดของชิ้นงาน ซึ่งเกือบจะเป็นขั้นตอนสุดท้าย ถูกทั้งเป็นกระบวนการที่ใช้เวลาในการผลิตนานมาก

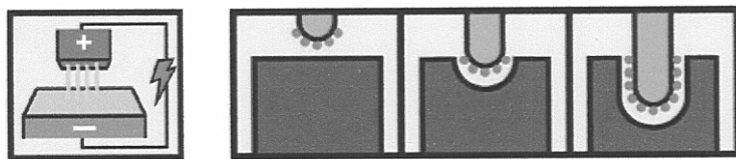
3.1 การกัดเซาะโลหะด้วยตัวนำไฟฟ้า (Electrical Discharge Machining; SINK - EDM)

ใช้ในงานผลิตชิ้นงานที่มีรูปร่างซับซ้อนที่ทำด้วยวิธีการตัดเฉือนทั่วไปได้ยาก สามารถตัดเฉือนชิ้นงานที่ผ่านการซูบแข็งมาแล้ว ใช้ผลิตส่วนเบ้าของแม่พิมพ์ การตัดเฉือนโลหะ จะใช้การกัดเซาะทางไฟฟ้ามีอิเล็กโทรดเป็นตัวนำไฟฟ้า ข้อเสียคือ ในงานที่ต้องการความละเอียดจะต้องใช้ตัวอิเล็กโทรดหลายอัน และงานที่ซับซ้อนจะมีค่าใช้จ่ายในการผลิตที่มาก



รูปที่ ข-17 แสดงเครื่องการกัดเซาะโลหะด้วยตัวนำไฟฟ้า

หลักการ



รูปที่ ข-18 แสดงหลักการกัดเซาะโลหะด้วยตัวนำไฟฟ้า

การทำงานโดยการสปาร์ค โดยอาศัยการจ่ายประจุไฟฟ้าระหว่างชิ้นงาน (ขั้วลบ) และตัวกัดอิเลคโทรด (ขั้วบวก) ซึ่งจะทำลายได้ของเหลวชนวนที่เรียกว่า ไดอิเลคทริก (Dielectric)

การสปาร์คจะทำให้เกิดความร้อนสูงถึง 8,000 – 12,000 องศาเซลเซียส ทำให้ชิ้นงานเกิดการหลอมละลายและกัดกร่อน โดยกัดอิเลคโทรด Electrode (ขั้วบวก) จะเคลื่อนตามรูปแบบที่กำหนดไว้ใน NC โปรแกรม ซึ่งระหว่างการหลอมละลายไดอิเลคทริก (Dielectric) จะมีหน้าที่ช่วยลดอุณหภูมิและกำจัดเศษโลหะที่เกิดจากการกัดกร่อน

อิเล็กโทรด (Electrode)

1. ทำจากวัสดุอ่อนและรูปได้ง่าย เช่น ทองแดง ทังสเตนคาร์บไบด์ ทองเหลือง แกรไฟต์ เป็นต้น
2. ต้องเป็นตัวนำไฟฟ้าที่ดี
3. ชิ้นงานต้องเป็นตัวนำไฟฟ้าเท่านั้น

วิธีสร้างอิเล็กโทรด (Manufacturing method of electrodes)

1. การตัด (Cutting)
2. การเจียร์ใน (Grinding)
3. ขึ้นรูปด้วยกรรรมวิธีไฟฟ้า (Electro forming)
4. ขึ้นรูปแบบฟอร์จิ้ง (Cold forging)
5. สร้างด้วยวิธีใช้ EDM (Electrical discharge machine)

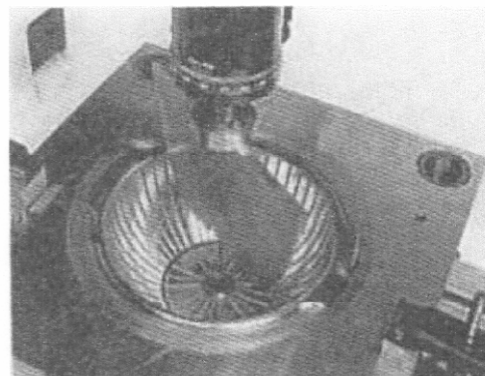
วิธีที่ใช้จับชิ้ดและตั้งตำแหน่งของอิเล็กโทรด (Holding and positioning method of work pieces and electrodes)

1. ติดตั้งอิเล็กโทรดในช่องจับ และปรับอิเล็กโทรดให้ตั้งฉากกับผิวโต๊ะงาน
2. ติดตั้งชิ้นงานในที่จับและปรับให้ระนาบอ้างอิงของผิวงานขนานกับแนวทางเคลื่อนที่แกน X,Y ของโต๊ะงาน

3. ปรับตำแหน่งของอิเล็กโทรดให้ได้ตำแหน่งตรงตามระนาบข้างอิงแกน X,Y ของผิวงานตามที่ต้องการ อาจใช้วิธีต่อไปนี้
- 3.1 วิธีทำโดยการสัมผัสผิว (Contact sensing method)
 - 3.2 วิธีทำโดยลองปล่อยกระแสจำนวนเล็กน้อยขณะสัมผัสผิว (Small amount of discharge sensing method)
 - 3.3 วิธีทำโดยใช้รูและจิกอ้างอิง (Use of reference hole and jigs)



รูปที่ ข-19 เครื่อง Sink - EDM



รูปที่ ข-20 ภาพแสดงขั้นตอนการทำงานของ Sink EDM

ชนิดของการทำ EDM

1. ขึ้นรูปทะลุ (Through hole machining)
2. ขึ้นรูปร่อง (Blind hole machining)
3. ขึ้นรูปแบบจัดเป็นชุด (Gang machining)
4. กรรมวิธีพิเศษ เช่น อิเล็กโทรดหมุน กัดเกลี้ยง (Special process, electrode rotating, thread cutting)

ลักษณะงานที่ได้จากเครื่อง Sink EDM

- ใช้ในอุตสาหกรรมรถยนต์ เช่น ทำฝากระโปรงรถยนต์ แม่พิมพ์สำหรับทำชิ้นส่วนรถยนต์
- ทำแม่พิมพ์สำหรับปั๊มหรือถูกข้าปน
- ทำแม่พิมพ์สำหรับชิ้นส่วนวงจรอิเล็กทรอนิกส์
- ทำแม่พิมพ์สำหรับงานแม่พิมพ์พลาสติก

3.2 เครื่องตัดโลหะด้วยไฟฟ้า (Wire Cutting Machine)

จัดเป็นเครื่องจักรประเภทเดียวกับเครื่อง EDM แต่เปลี่ยนจากการใช้อิเล็กโทรดเป็นตัวตัดเชื่อมชิ้นงานมาใช้ลวดทองเหลืองเป็นตัวตัดให้ได้รูปร่างตาม ต้องการในแนวตั้ง เครื่อง Wire cut เป็นเครื่องที่ตัดงานด้วยความเที่ยงตรงขนาดสูงมาก สามารถควบคุมขนาดได้เล็กกว่า 5 มิลลิเมตรเนื่องจากมีค่าใช้จ่ายสูงในการทำชิ้นงานจึงเหมาะสมกับงานที่ต้องการความเที่ยงตรงสูง



รูปที่ ข-21 เครื่องตัดโลหะด้วยไฟฟ้า (Wire Cutting Machine)

เครื่อง Wire-cut EDM คือเครื่องกัดโลหะด้วยไฟฟ้า ซึ่งใช้การควบคุมการเดินของ เครื่องตัดด้วยคอมพิวเตอร์ เพื่อเดินทางกินรูปร่างที่ต้องการโดยใช้อิเล็กโทรดที่เป็นเส้นลวดตัดงาน คล้ายลวดชลุ ดังนั้น จึงไม่ต้องการอิเล็กโทรดที่รูปร่างเหมือนเครื่อง EDM. เครื่องจะควบคุมด้วย คอมพิวเตอร์สั่งให้แกนเดินพรมฯ กับลวดเดินต่อเนื่องภายใต้ความตึงที่เหมาะสมตามขนาดของ ลวดแต่ละขนาด

อิเล็กโทรดหรือลวดนี้จะทำจากทองเหลือง ทองแดง หรือวัสดุอื่นๆ ที่มีคุณสมบัติเป็น ตัวนำไฟฟ้าได้มีขนาดความโต ระหว่าง 0.05-0.5 มิลลิเมตร ทางเดินของลวดนี้ จะถูกควบคุมด้วย แกนสองแกน คือแกน X และแกน Y ในกรณีที่ตัดงานขนาดเป็นลักษณะเส้นตรง และจะควบคุมแกน X และสามารถควบคุมการเดินได้ช่วงสั้นสุดครั้งละ 0.001 มิลลิเมตร งานบางอย่างที่ต้องการความ ละเอียดและเที่ยงตรงสูง สามารถตัดได้ละเอียด โดยการตัดซ้ำหลายรอบ

ของเหลวไดอิเล็กทริก เป็นสารละลายที่ผ่านการทำดีโอดาโนร์ (Deionize) ซึ่งจะทำการไนลอนฉีดตรงบริเวณตัดเพื่อไล่เศษโลหะที่เกิดจากการตัด ของเหลวไดอิเล็กทริกนี้ จะควบคุมความเป็นตัวนำไฟฟ้าระหว่างลวดและชิ้นงาน และยังช่วยลดความร้อนที่เกิดจากการสปาร์คด้วย

เครื่อง EDM. ประเภท Wire-cut EDM. กำเนิดจากการประยุกต์เครื่อง EDM. ประเภท Diesing เครื่องประเภทนี้จะขึ้นรูปเหมือนการวาดรูป โดยที่แกน X-Y เคลื่อนที่ในเวลาเดียวกันทั้งสองแกนจึงต้องมีอุปกรณ์ NC. เป็นตัวควบคุม ดังนั้น เราจึงสามารถล่าวยได้ว่า ถ้าไม่มีการพัฒนาอุปกรณ์ NC. ขึ้นมาเครื่อง Wire-cut EDM. จะไม่สามารถกำเนิดขึ้นมาได้

4. การเชื่อมโลหะด้วยวิธิก (TIG)

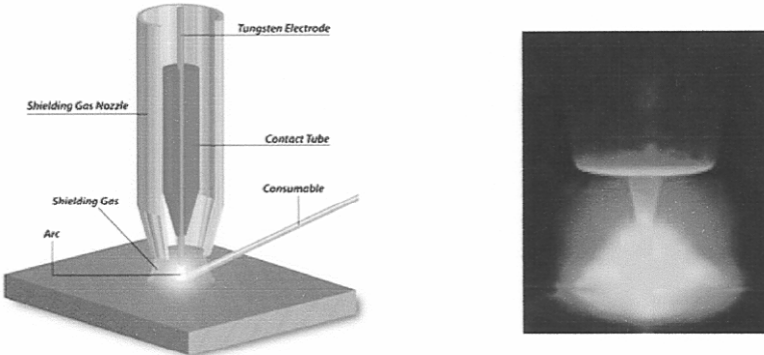
คำว่าทิก ((TIG) เป็นอักษรซึ่งย่อจาก Tungsten Inert Gas Arc Welding และอ่านเป็นคำให้ไว้ TIG เป็นกระบวนการเชื่อมโลหะด้วยการอาร์คที่ทันสมัยวิธีหนึ่ง นำมาใช้สำหรับเชื่อมโลหะที่เชื่อมได้ยาก เช่น แมกนีเซียม อลูมิเนียม และสแตนเลสสตีล ครั้งแรกในอุตสาหกรรมสร้างเครื่องบิน ประมาณปี ค.ส 1940 ปัจจุบันวิธีการเชื่อมแบบนี้ได้ใช้กันอย่างกว้างขวางในงานเชื่อมโลหะทั่วไป เช่น เครื่องพิมพ์หลอดอุตสาหกรรม ภาชนะบรรจุของเหลวและแก๊ส งานเชื่อมประกอบโครงสร้างที่ต้องการความเที่ยงตรง และคุณภาพของรอยเชื่อมสูง เป็นต้น นอกจากนี้วิธีการเชื่อมด้วยวิธิก ยังสามารถเชื่อมได้ทั้งโลหะประเภทเหล็ก (Ferrous Metals) และโลหะที่ไม่ใช่เหล็ก Non ferrous Metals ที่มีความหนาต่างๆ กันไปจนถึงโลหะแผ่นที่มีความบางต่ำที่สุดถึง 0.25 มิลลิเมตร (0.010")

ความพิเศษของการเชื่อมแบบทิก (TIG)

1. รอยเชื่อมและแนวเชื่อมมีคุณภาพสูง ทนต่อการสึกกร่อนได้ดีกว่าการเชื่อมวิธีอื่น
2. ขณะเชื่อมจะปราศจากสะเก็ด ประกายไฟและควัน
3. แนวเชื่อมหรือรอยเชื่อมสะอาด เพราะวิธีนี้ไม่มีขี้ตะกรันและเม็ดละอองโลหะ (Slag and Spatter)
4. ขณะเชื่อมสามารถเห็นการอาร์คและป้องกันละลายได้ชัดเจน จึงควบคุมการเชื่อมได้ง่าย
5. การบิดอุบัติในชิ้นงานเกิดน้อย
6. เชื่อมได้ทุกตำแหน่งท่าเชื่อม
7. ทำงานได้รวดเร็วและประหยัด

อุปกรณ์ที่จำเป็นสำหรับการเชื่อมด้วยวิธีติก (TIG) ประกอบด้วย

- เครื่องเชื่อมแบบระบบความถี่สูง (Power Source & High Frequency Unit)
- หัวเชื่อมและทั้งสต็อกอิเล็กโทรด (Torch & Tungsten Electrode)
- แก๊สเชือยและอุปกรณ์ควบคุมการไหล (Inert Gas, Flowmeter Regulator)
- น้ำระบายน้ำร้อน (Water Circulating Unit)
- ลวดเชื่อม (Filler Metal)



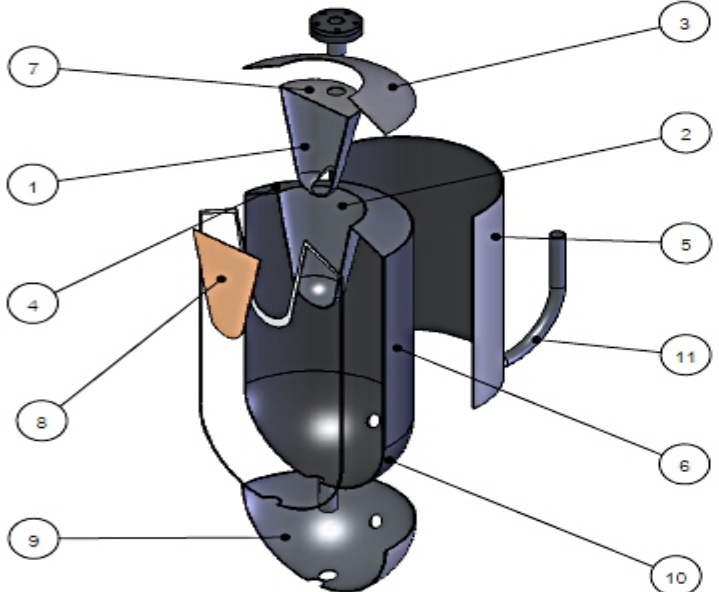
รูปที่ ข-22 แสดงหลักวิธีการเชื่อมแบบทิก TIG

หลักการและวิธีการเชื่อมทิก

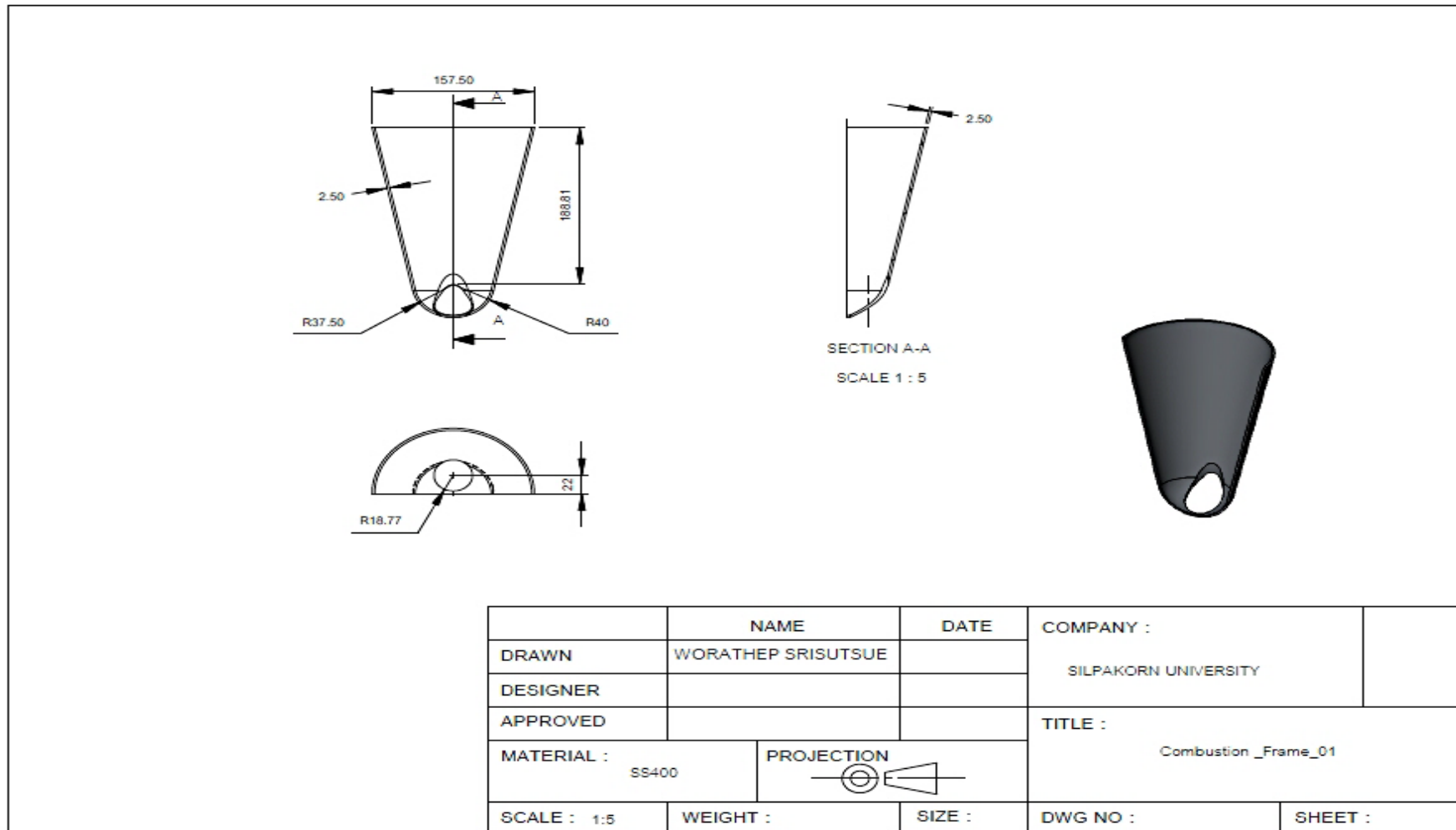
หลักการที่สำคัญกับการเชื่อมโลหะด้วยไฟฟ้า กล่าวคือ ความร้อนที่ทำให้โลหะหลอมละลายนั้นเกิดจากการอาร์ค ระหว่างอิเล็กโทรด (Tungsten Electrode) กับชิ้นงาน ขณะเดียวกัน บริเวณที่เกิดอาร์คจะมีแก๊สเชือย (Inert Gas) ปกคลุมรอบบริเวณนั้น เพื่อป้องกันออกซิเจน ใน空気 และความชื้นซึ่งเป็นอากาศ เข้ามารวมกับโลหะที่กำลังหลอมละลาย เรียกว่า การเติมออกซิเจน (Oxidation) จะกระตุ้นความร้อนจากการอาร์คหลอมละลายโลหะชิ้นงาน เกิดบ่อหลอมละลาย (Puddle) เมื่อบ่อหลอมละลายเกิดขึ้น ณ บริเวณรอยต่อ จึงทำให้ขอบของชิ้นงานหลอมละลายติดกัน แต่เนื่องจากหัวสต็อกอิเล็กโทรดเป็นวัสดุที่ไม่ละลายเติมเป็นเนื้อโลหะเชื่อม และสิ้นเปลือง (Non Consumable Electrode) จึงจำเป็นต้องเติมเนื้อโลหะเชื่อม (Filler Metal) ลงในบ่อหลอมละลายนั้นด้วย ในกรณีที่เชื่อมโลหะแผ่นบางๆ ไม่จำเป็นต้องเติมลวดเชื่อมลงในบ่อหลอมละลายก็ได้

ภาคผนวก ค

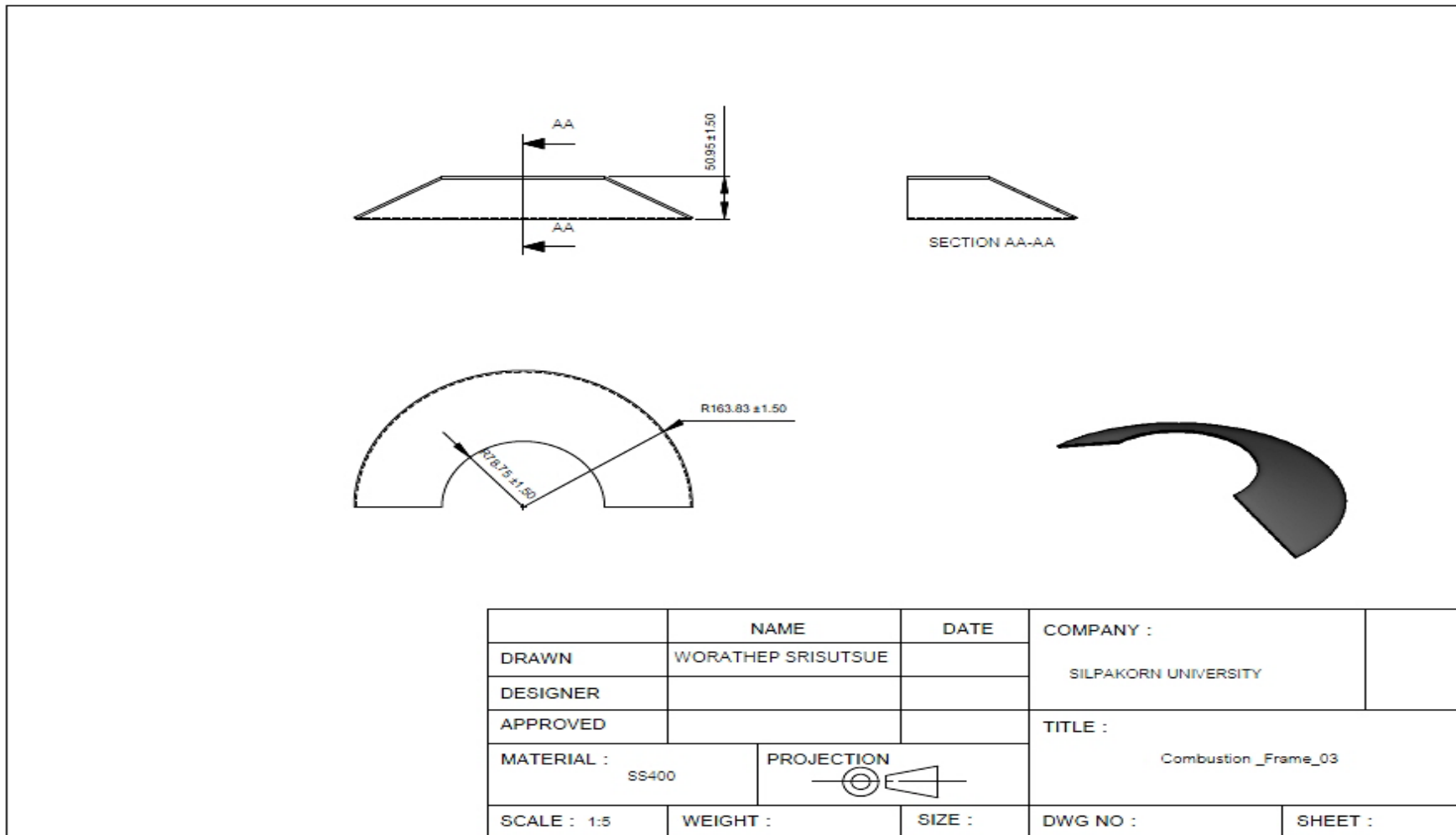
Drawing ของส่วนประกอบต่างๆ

		<table border="1"> <tbody> <tr> <td>11</td> <td>Combustion_Pipe_01</td> <td>SUS 304</td> <td>2</td> </tr> <tr> <td>10</td> <td>Combustion_Frame_10</td> <td>SS400</td> <td>2</td> </tr> <tr> <td>09</td> <td>Combustion_Frame_09</td> <td>SS400</td> <td>2</td> </tr> <tr> <td>08</td> <td>Combustion_Frame_08</td> <td>SS400</td> <td>2</td> </tr> <tr> <td>07</td> <td>Combustion_Frame_07</td> <td>SS400</td> <td>2</td> </tr> <tr> <td>06</td> <td>Combustion_Frame_06</td> <td>SS400</td> <td>2</td> </tr> <tr> <td>05</td> <td>Combustion_Frame_05</td> <td>SS400</td> <td>2</td> </tr> <tr> <td>04</td> <td>Combustion_Frame_04</td> <td>SS400</td> <td>2</td> </tr> <tr> <td>03</td> <td>Combustion_Frame_03</td> <td>SS400</td> <td>2</td> </tr> <tr> <td>02</td> <td>Combustion_Frame_02</td> <td>SS400</td> <td>2</td> </tr> <tr> <td>01</td> <td>Combustion_Frame_01</td> <td>SS400</td> <td>2</td> </tr> </tbody> </table>			11	Combustion_Pipe_01	SUS 304	2	10	Combustion_Frame_10	SS400	2	09	Combustion_Frame_09	SS400	2	08	Combustion_Frame_08	SS400	2	07	Combustion_Frame_07	SS400	2	06	Combustion_Frame_06	SS400	2	05	Combustion_Frame_05	SS400	2	04	Combustion_Frame_04	SS400	2	03	Combustion_Frame_03	SS400	2	02	Combustion_Frame_02	SS400	2	01	Combustion_Frame_01	SS400	2
11	Combustion_Pipe_01	SUS 304	2																																													
10	Combustion_Frame_10	SS400	2																																													
09	Combustion_Frame_09	SS400	2																																													
08	Combustion_Frame_08	SS400	2																																													
07	Combustion_Frame_07	SS400	2																																													
06	Combustion_Frame_06	SS400	2																																													
05	Combustion_Frame_05	SS400	2																																													
04	Combustion_Frame_04	SS400	2																																													
03	Combustion_Frame_03	SS400	2																																													
02	Combustion_Frame_02	SS400	2																																													
01	Combustion_Frame_01	SS400	2																																													
ITEM NO.	NAME	DESCRIPTION	QTY.																																													
DRAWN	NAME : WORATHEP SRISUTSUE		DATE :	COMPANY : SILPAKORN UNIVERSITY																																												
DESIGNER																																																
APPROVED				TITLE : การประมวลผลท่อเผาไหม้ Assembly_Combustion chamber																																												
MATERIAL :	PROJECTION																																															
SCALE : 1:10	WEIGHT :	SIZE :	DWG NO :	SHEET :																																												

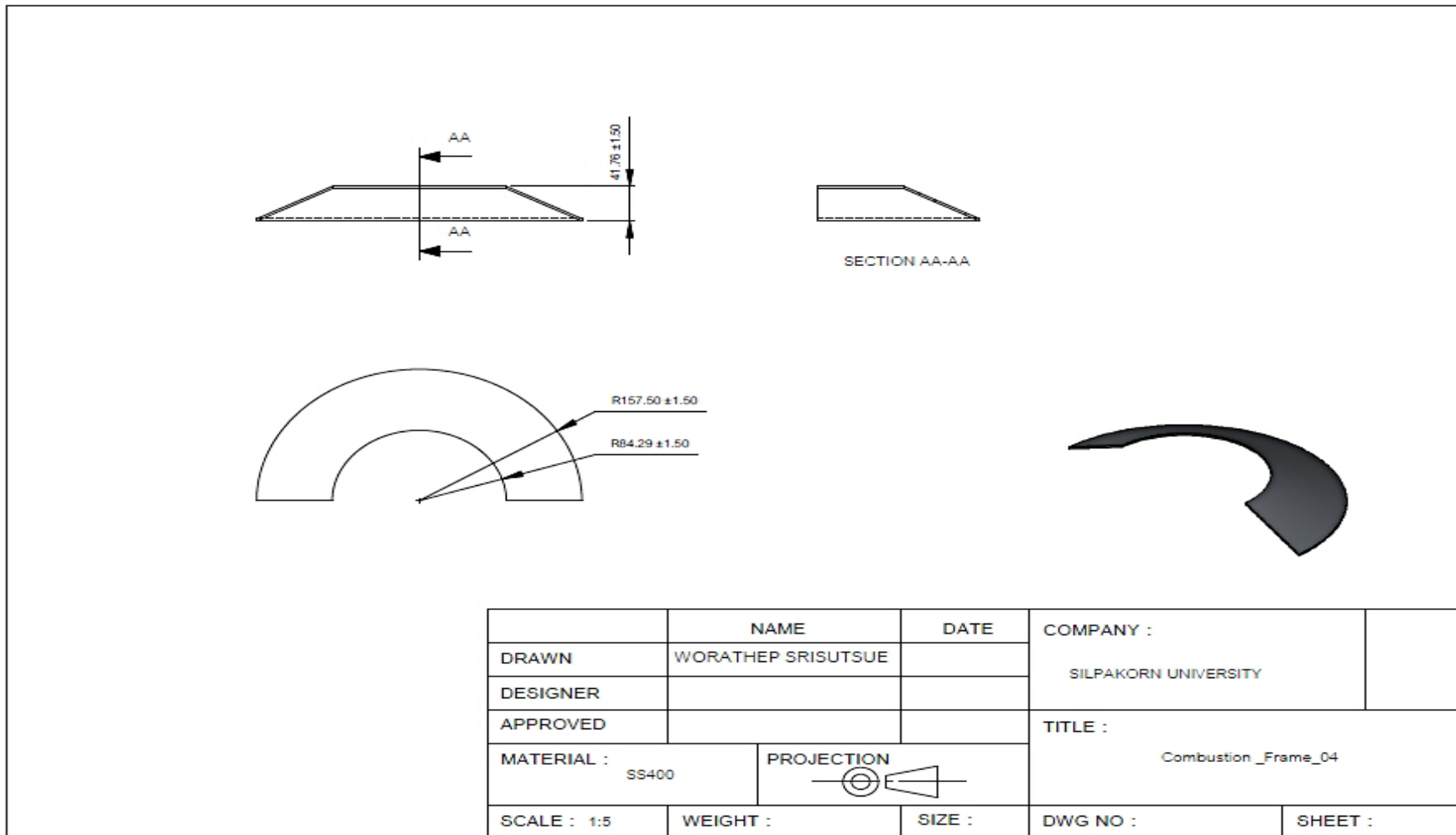
รูปที่ ค-1 ภาพประกอบห้องเผาไหม้



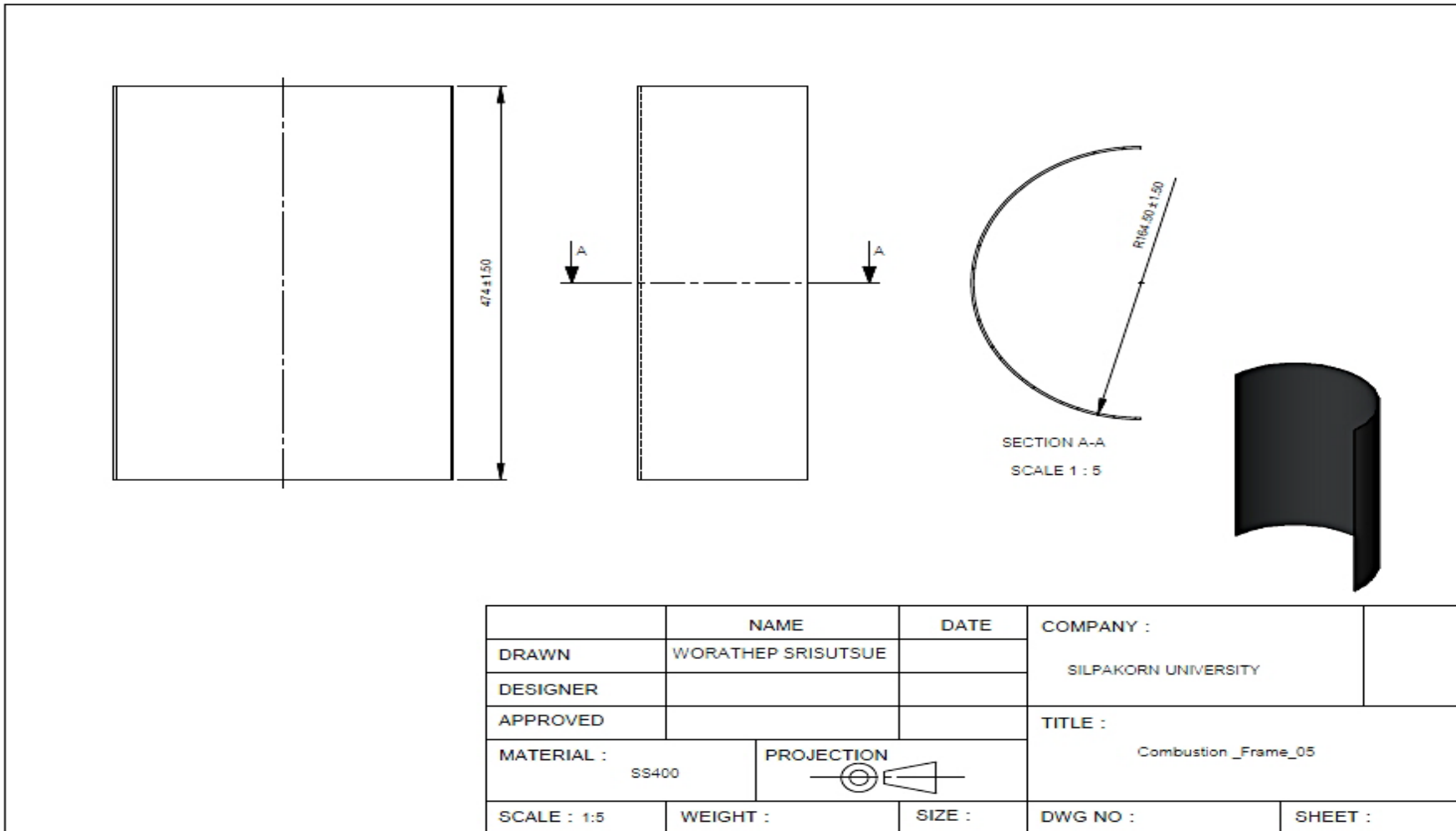
รูปที่ ค-2 Drawing แสดงขนาดของ Combustion_Frame_01



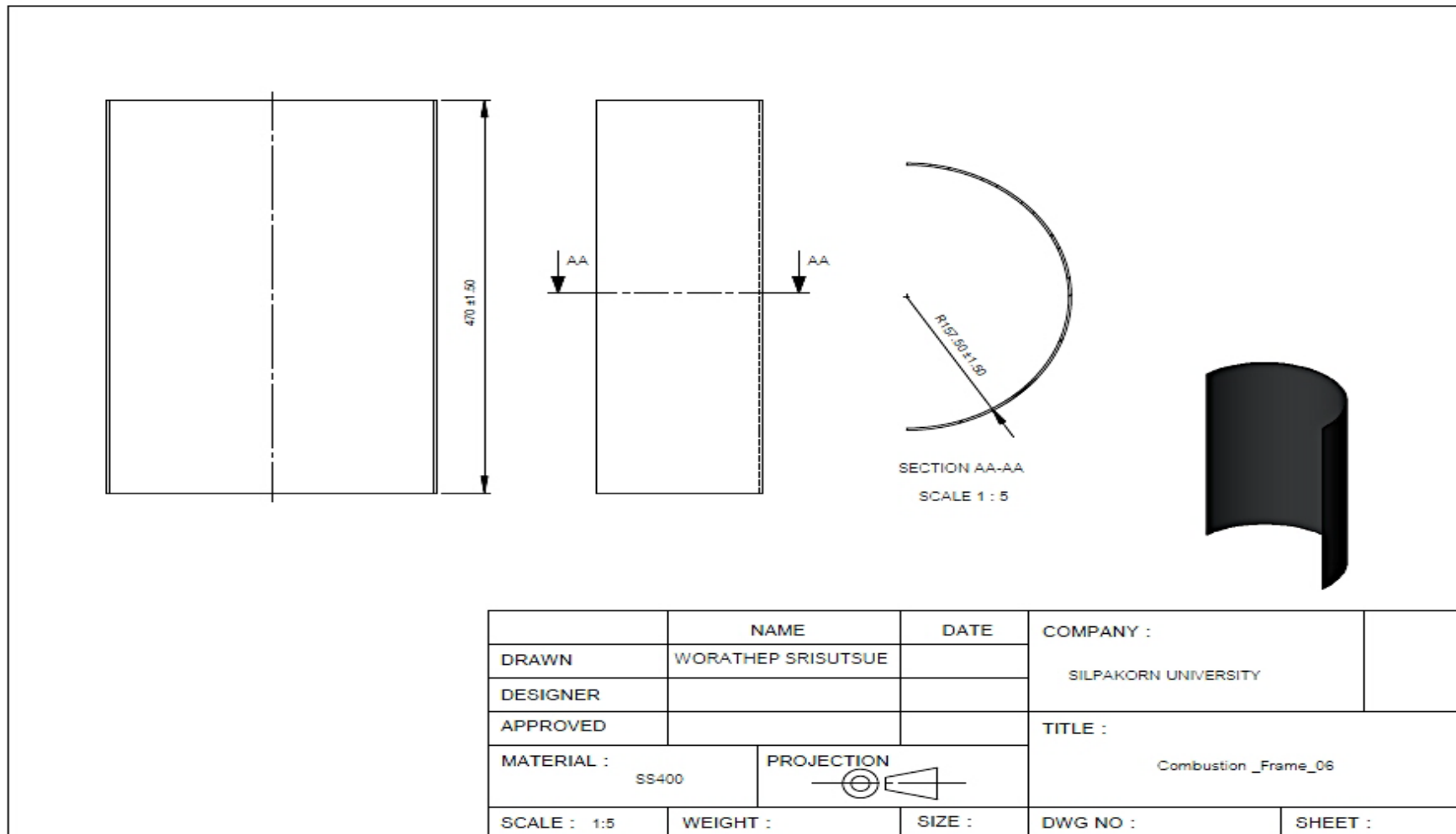
รูปที่ ค-3 Drawing แสดงขนาดของ Combustion_Frame_03



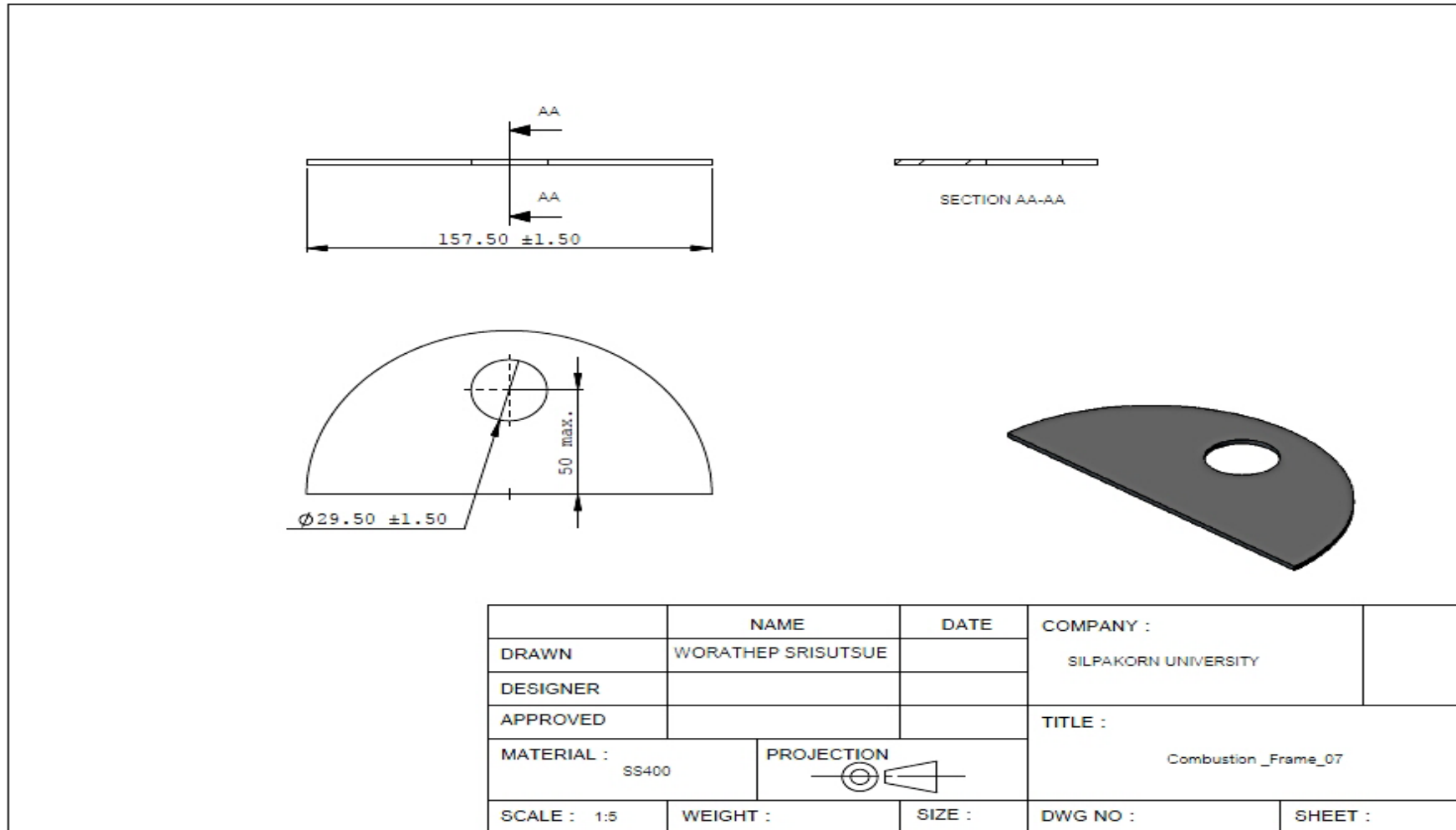
รูปที่ ค-4 Drawing แสดงขนาดของ Combustion_Frame_04



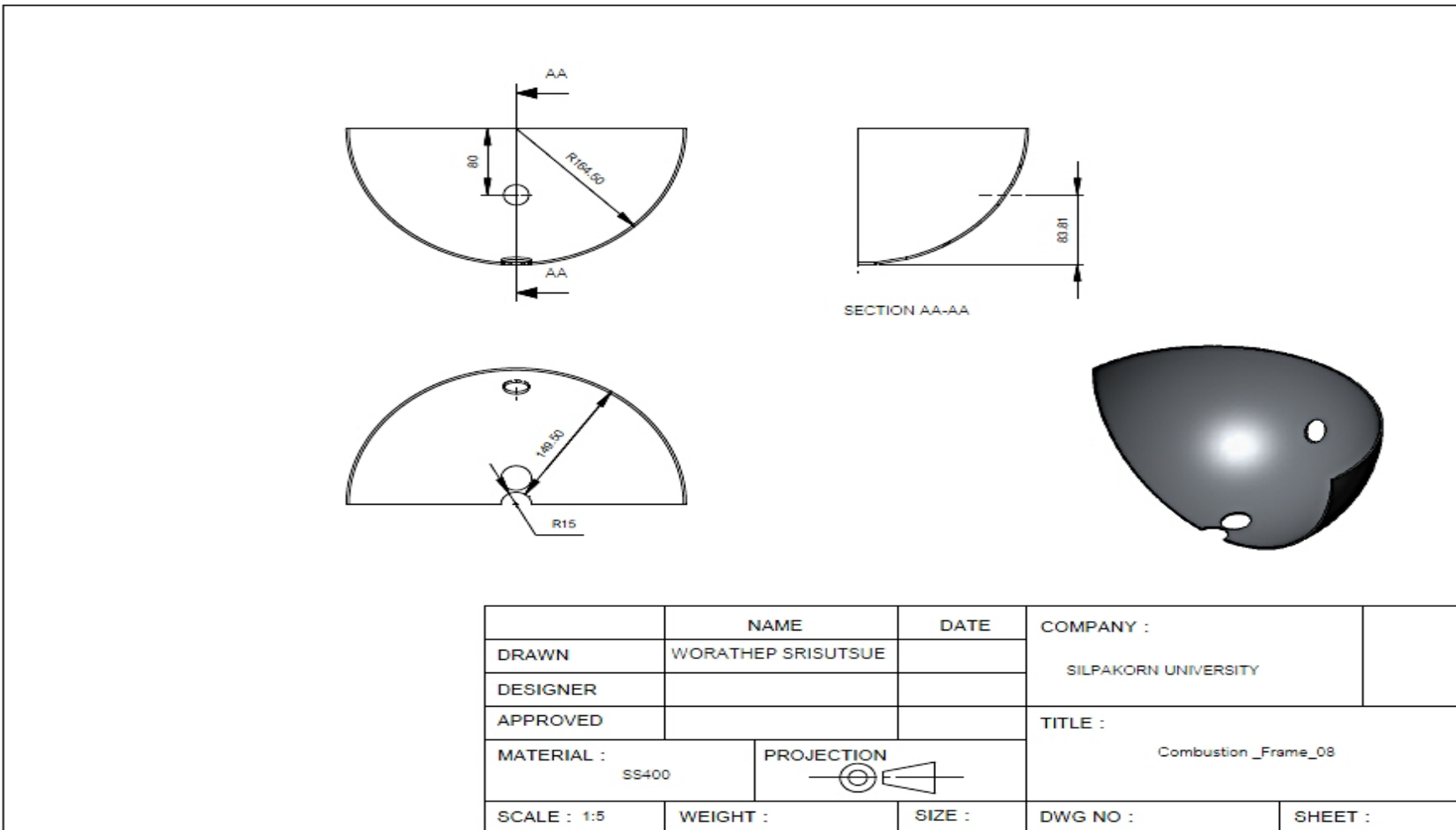
รูปที่ ค-5 Drawing แสดงขนาดของ Combustion_Frame_05



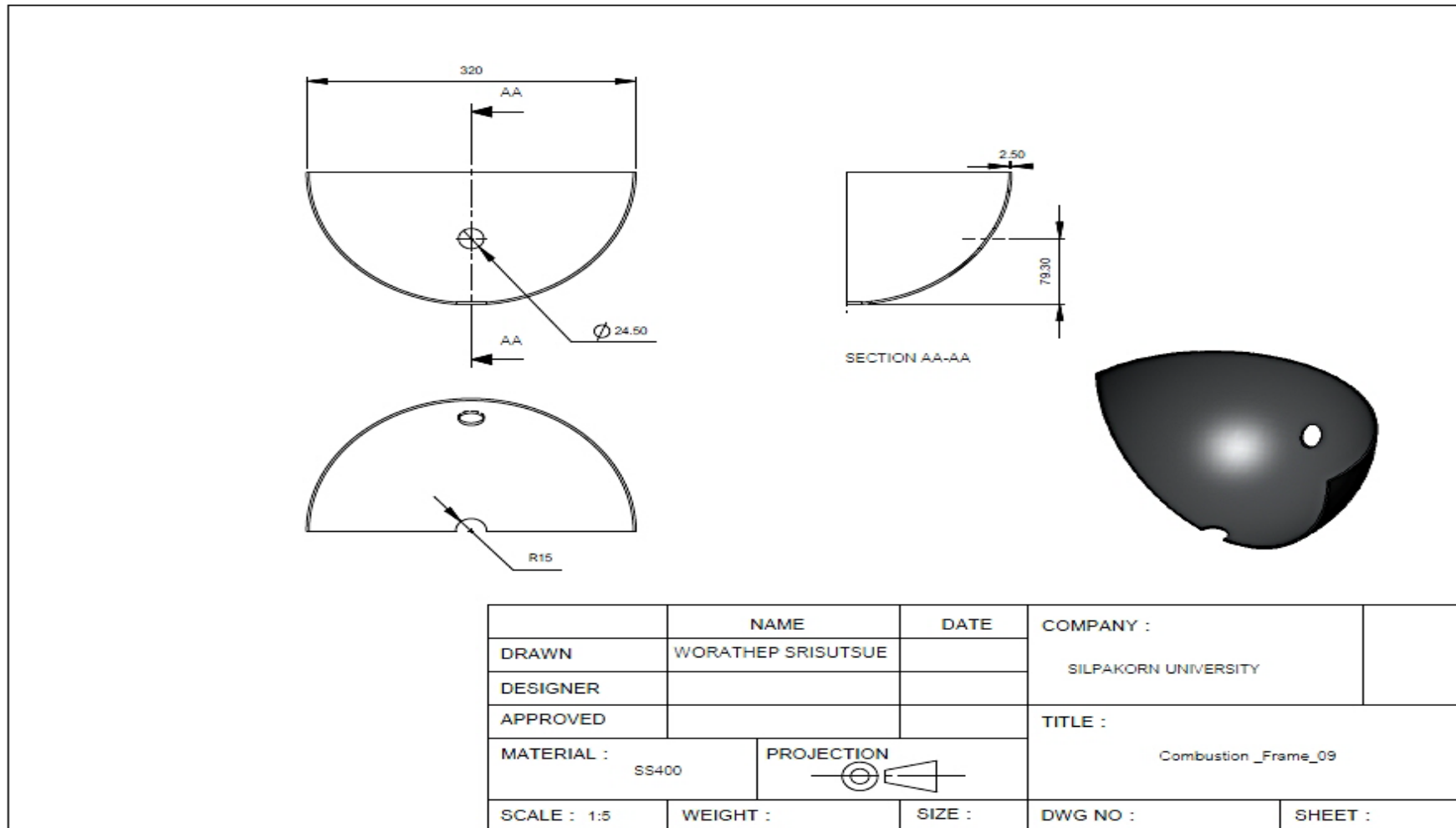
รูปที่ ค-6 Drawing แสดงขนาดของ Combustion_Frame_06



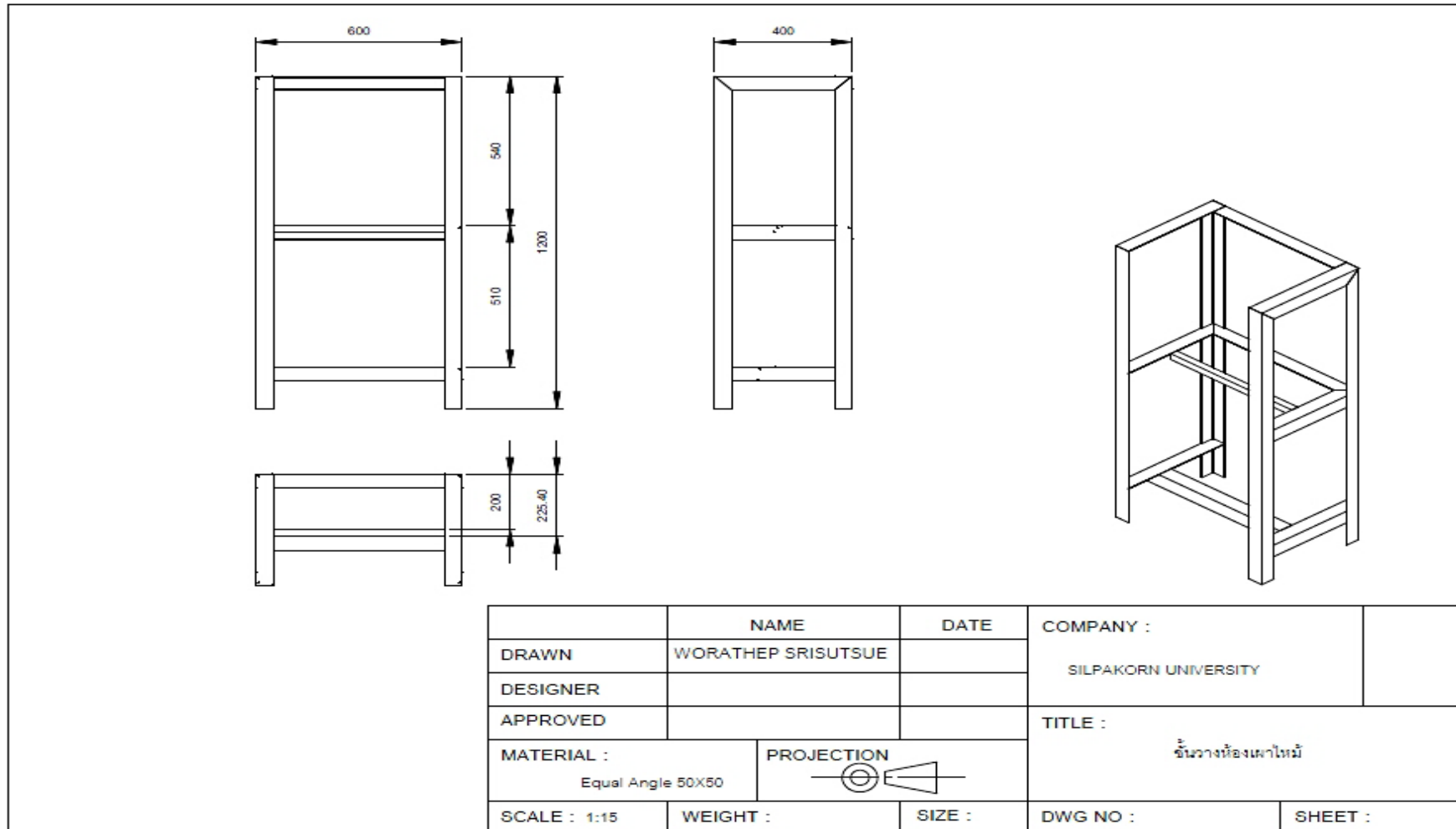
รูปที่ ค-7 Drawing แสดงขนาดของ Combustion_Frame_07



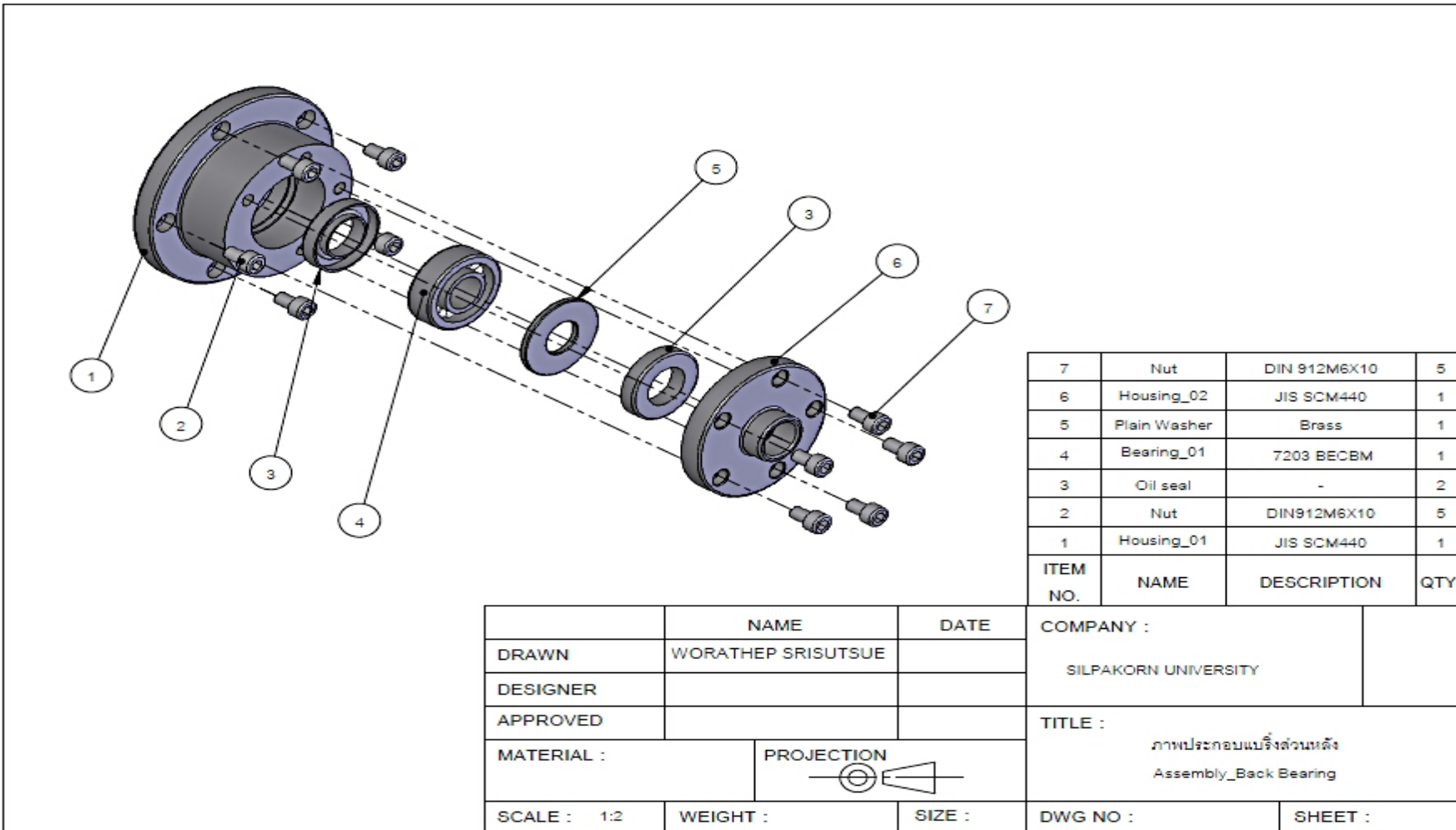
รูปที่ ค-8 Drawing แสดงขนาดของ Combustion_Frame_08



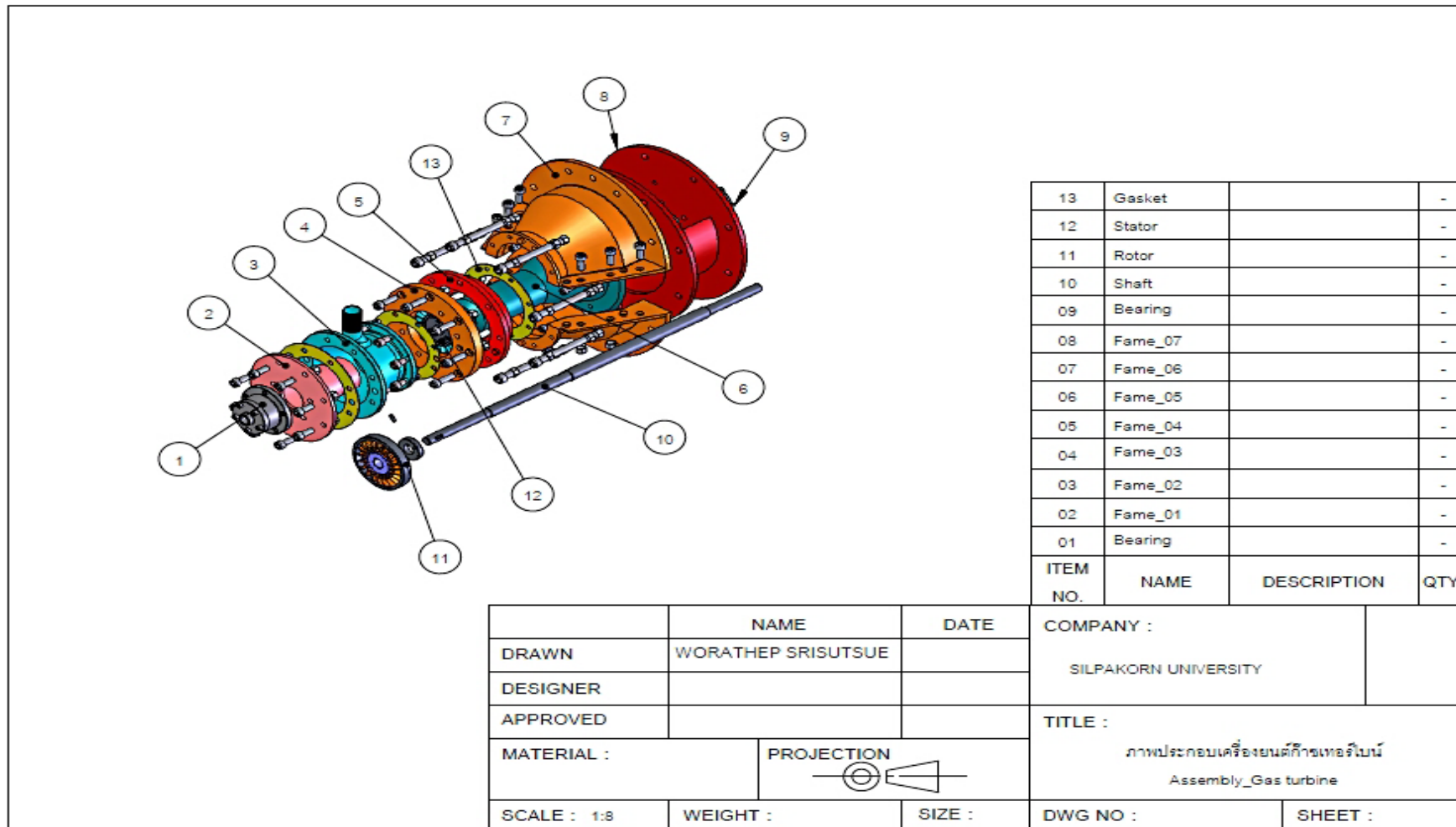
รูปที่ ค-9 Drawing แสดงขนาดของ Combustion_Frame_09



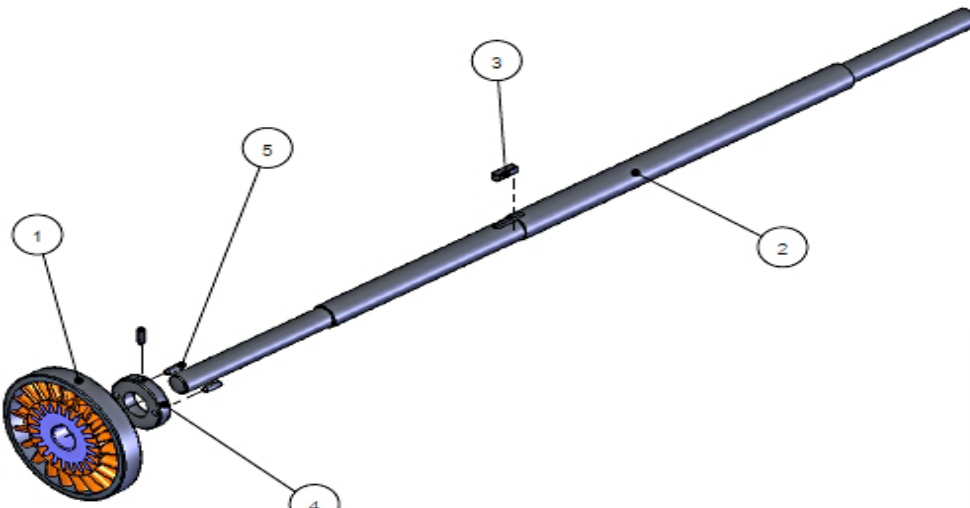
รูปที่ ค-10 Drawing แสดงขนาดขั้นวางห้องเก้าอี้ใหม่



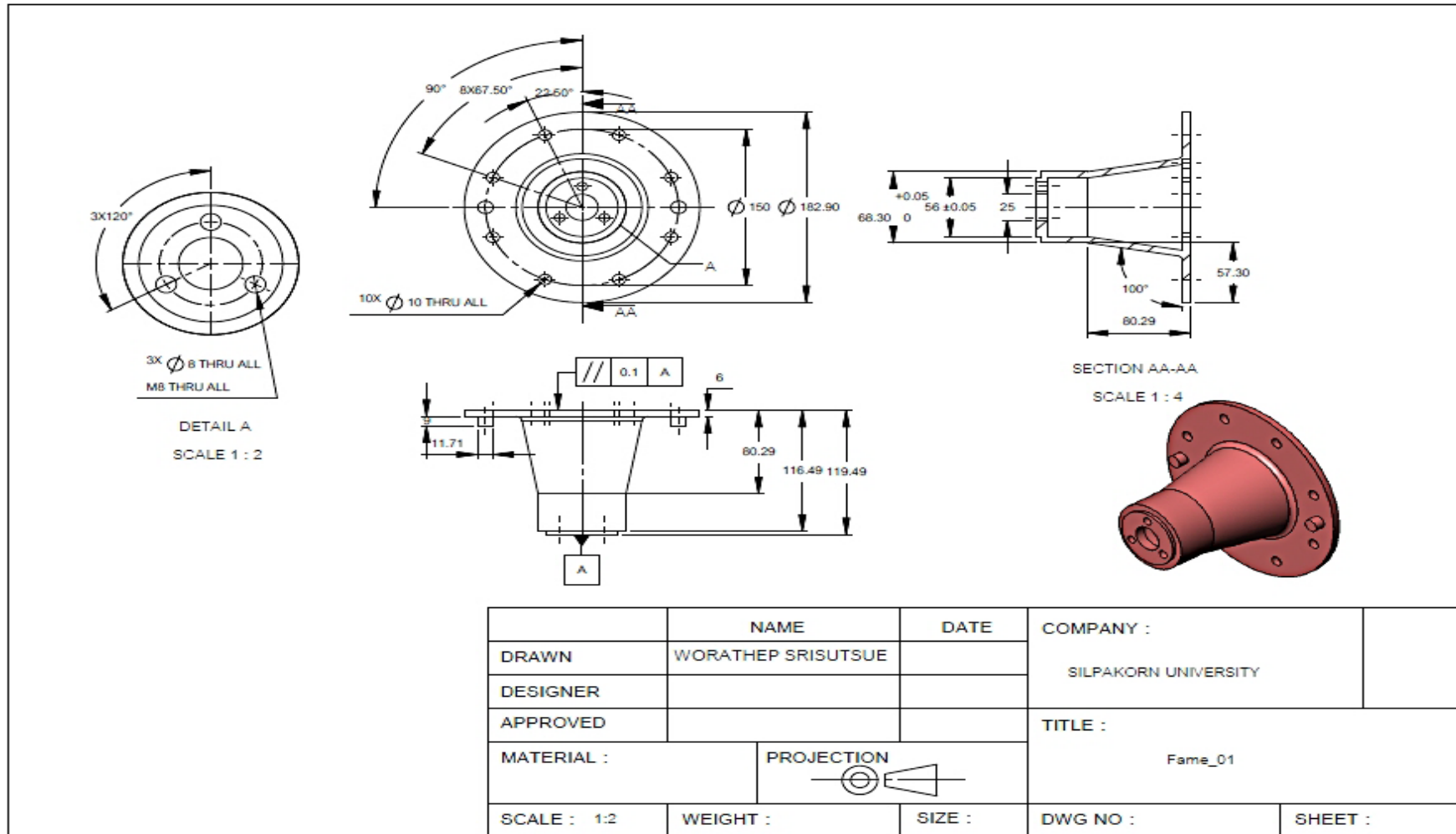
รูปที่ ค-11 ภาพประกอบเบร็จส่วนหลัง



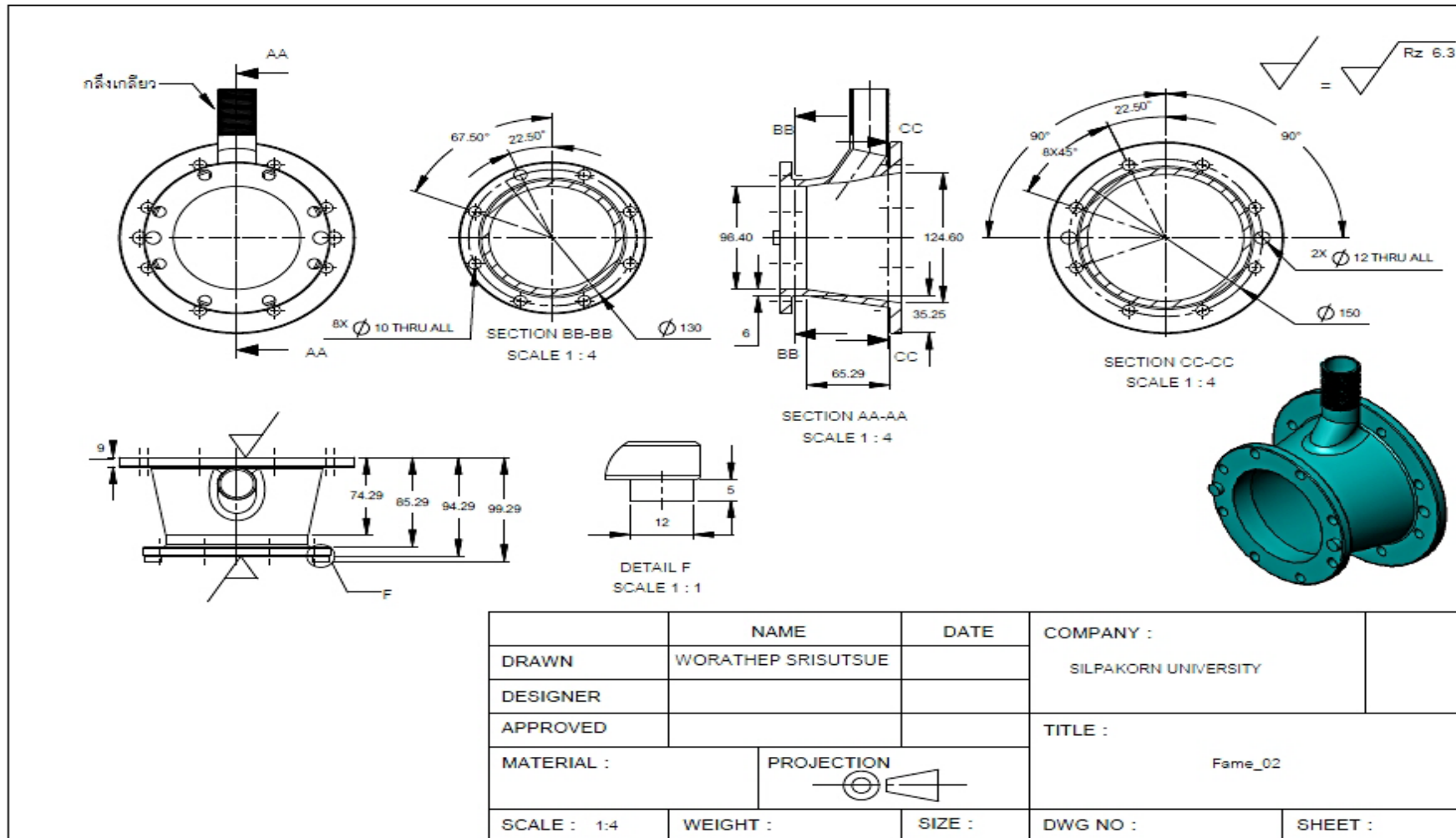
รูปที่ ค-12 ภาพประกอบเครื่องยนต์กําazi เทอร์บิน

																												
<table border="1"> <thead> <tr> <th>ITEM NO.</th> <th>NAME</th> <th>DESCRIPTION</th> <th>QTY.</th> </tr> </thead> <tbody> <tr> <td>5</td> <td>Set screw</td> <td>M5X15</td> <td>3</td> </tr> <tr> <td>4</td> <td>Lock shaft</td> <td>SUS304</td> <td>1</td> </tr> <tr> <td>3</td> <td>Woodruff Key</td> <td>Form A DIN6885</td> <td>2</td> </tr> <tr> <td>2</td> <td>Shaft</td> <td>-</td> <td>1</td> </tr> <tr> <td>1</td> <td>Rotor</td> <td>-</td> <td>1</td> </tr> </tbody> </table>					ITEM NO.	NAME	DESCRIPTION	QTY.	5	Set screw	M5X15	3	4	Lock shaft	SUS304	1	3	Woodruff Key	Form A DIN6885	2	2	Shaft	-	1	1	Rotor	-	1
ITEM NO.	NAME	DESCRIPTION	QTY.																									
5	Set screw	M5X15	3																									
4	Lock shaft	SUS304	1																									
3	Woodruff Key	Form A DIN6885	2																									
2	Shaft	-	1																									
1	Rotor	-	1																									
DRAWN	NAME : WORATHEP SRISUTSUE		DATE :																									
DESIGNER																												
APPROVED																												
MATERIAL :		PROJECTION																										
SCALE : 1:4	WEIGHT :		SIZE :																									
DWG NO :		SHEET :																										
COMPANY : SILPAKORN UNIVERSITY																												
TITLE : ภาพประกอบเพลาและโรเตอร์ Assembly shaf and Rotor																												

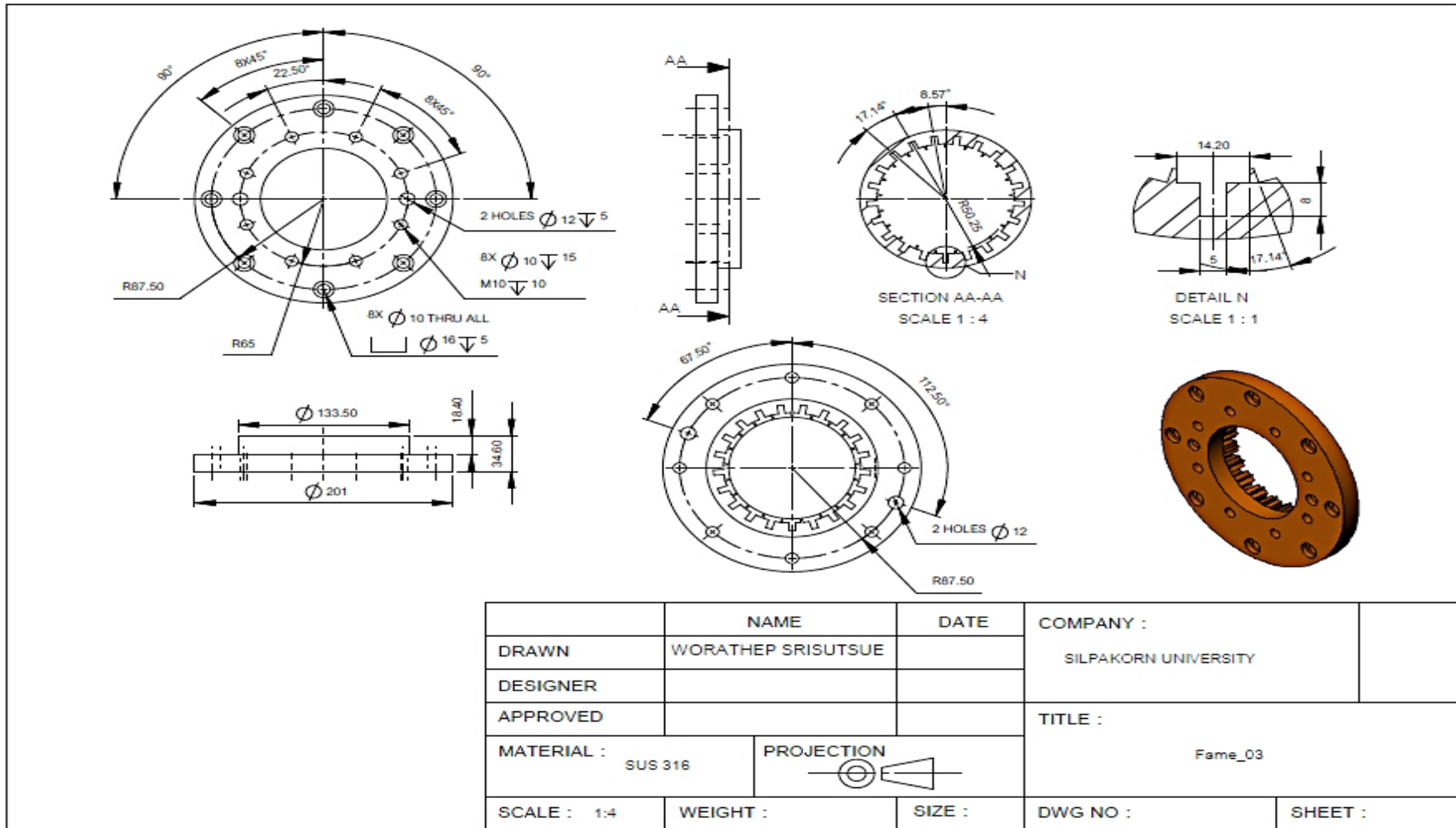
รูปที่ ค-13 ภาพประกอบเพลาและโรเตอร์



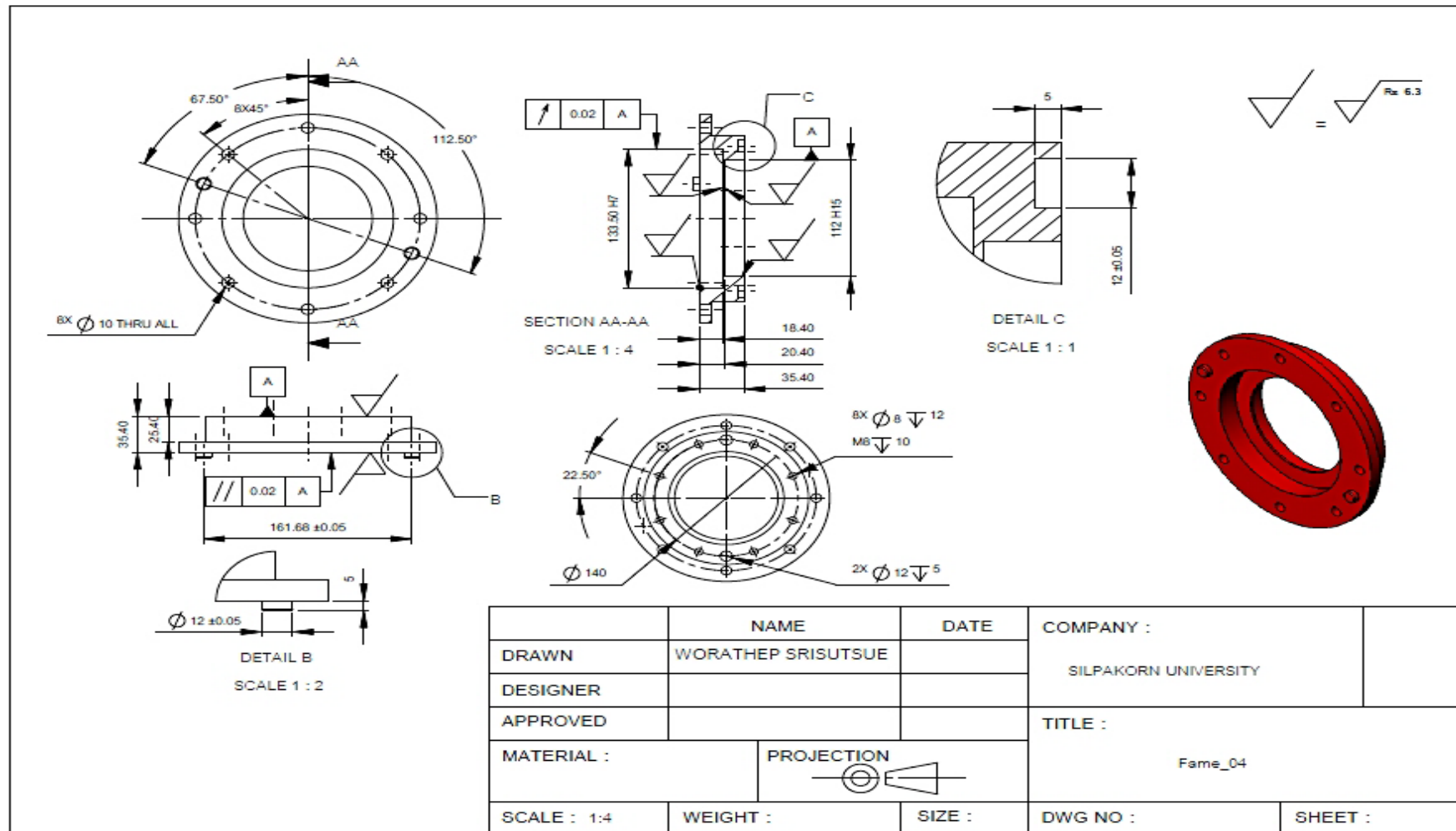
รูปที่ ค-14 Drawing แสดงขนาด Frame_01



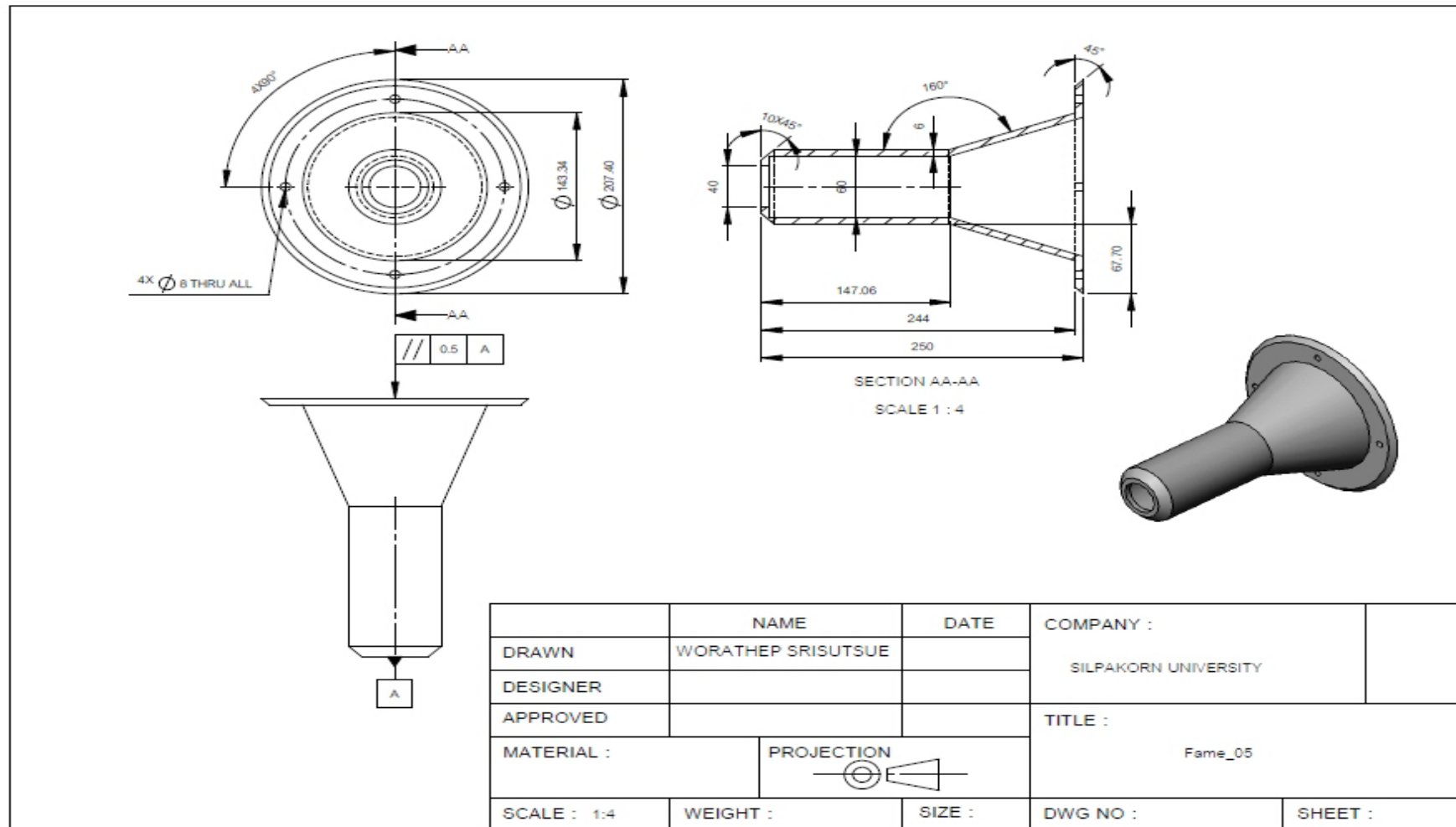
รูปที่ ค-15 Drawing แสดงขนาด Frame_02



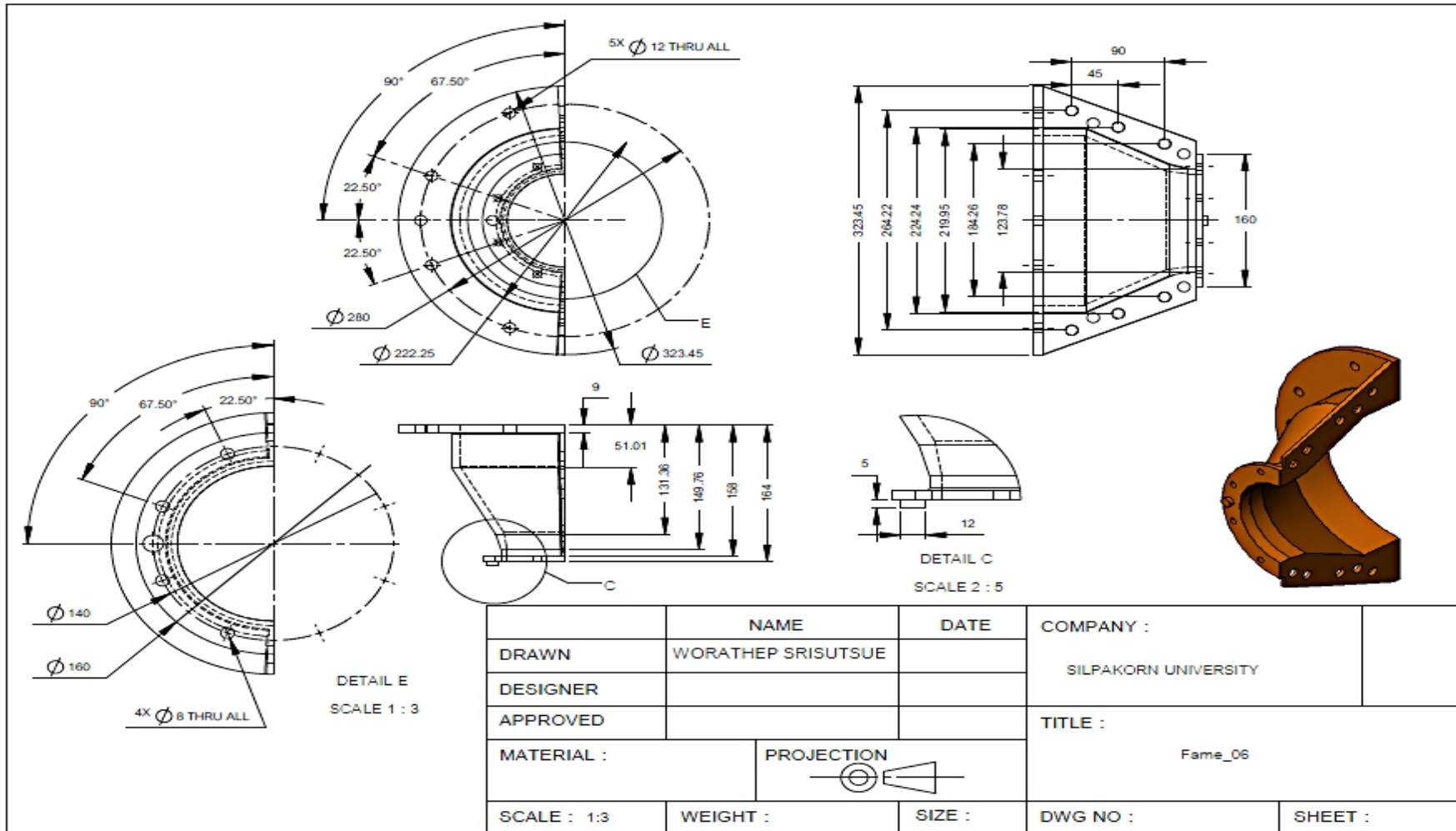
รูปที่ ค-16 Drawing แสดงขนาด Frame_03



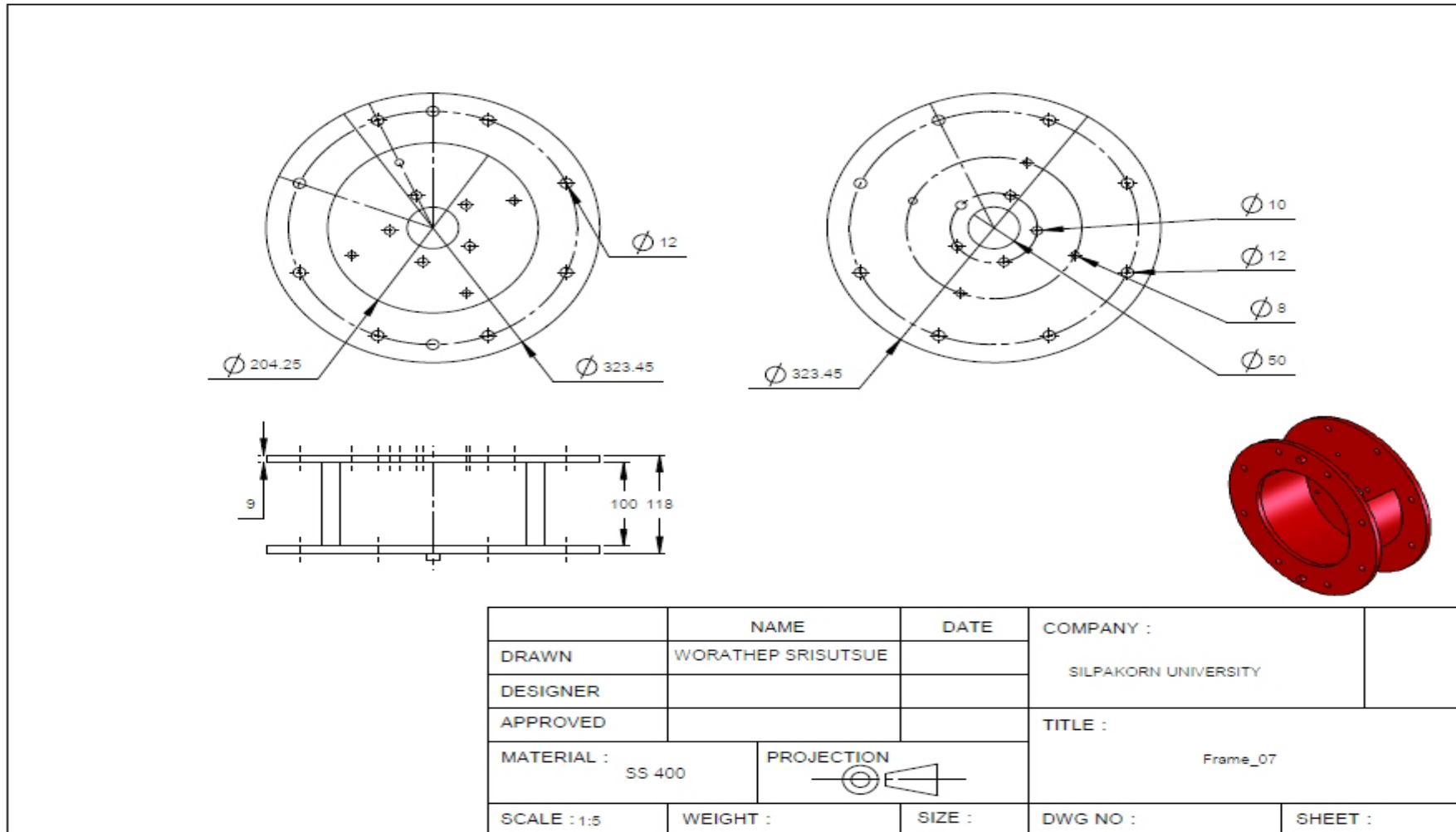
รูปที่ ค-17 Drawing แสดงขนาด Frame_04



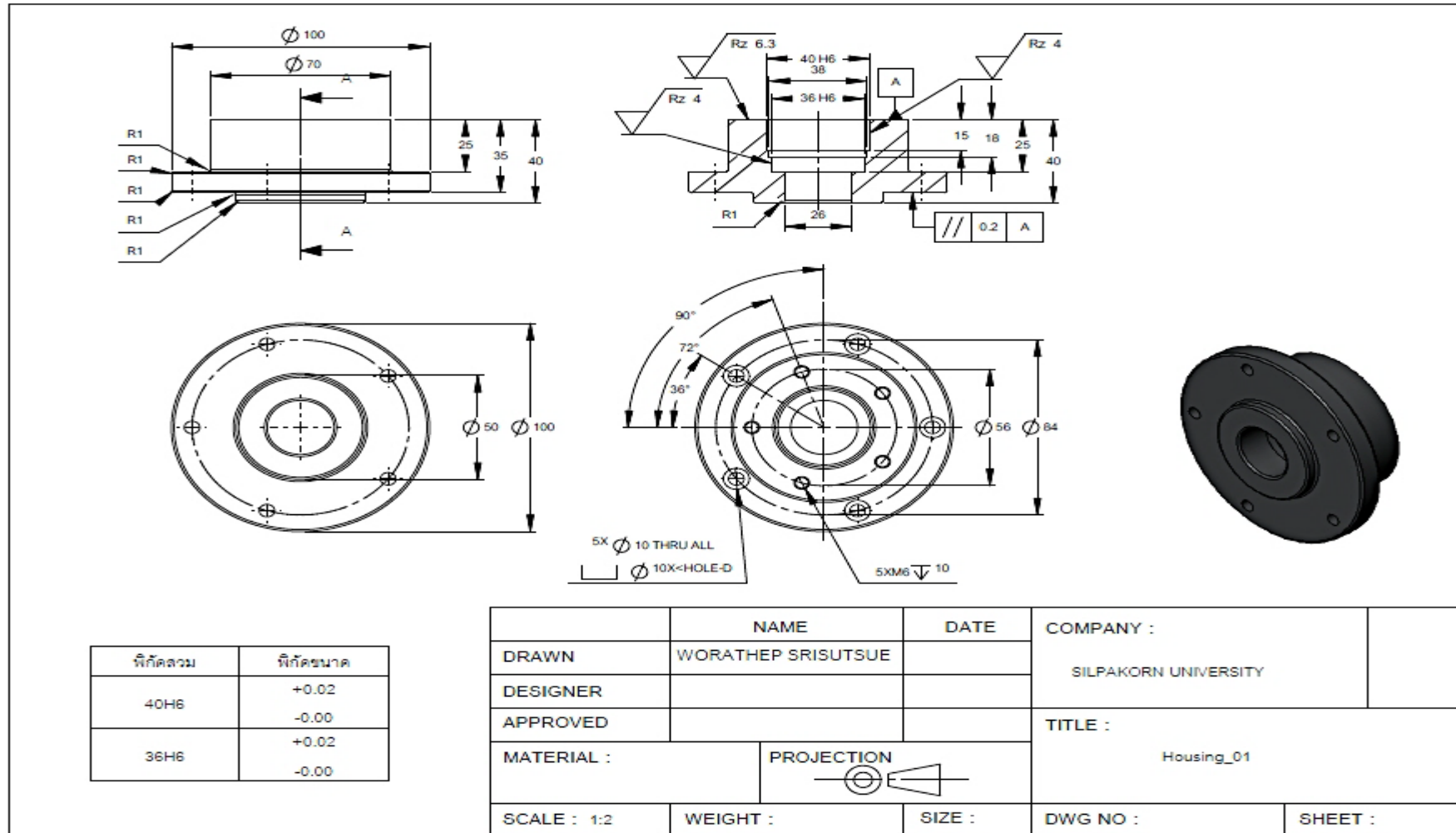
รูปที่ ค-18 Drawing แสดงขนาด Frame_05



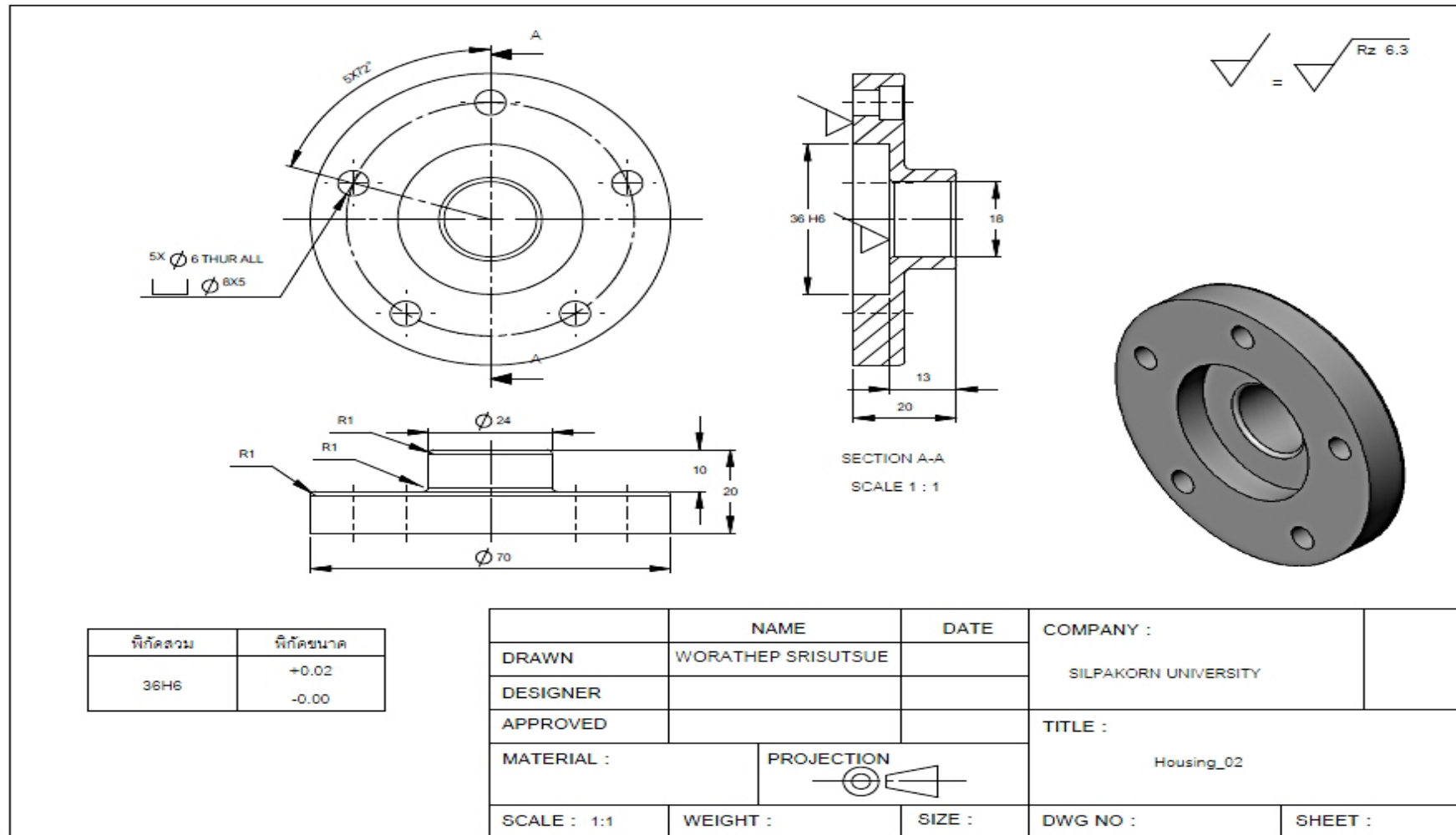
รูปที่ ค-19 Drawing แสดงขนาด Frame_06



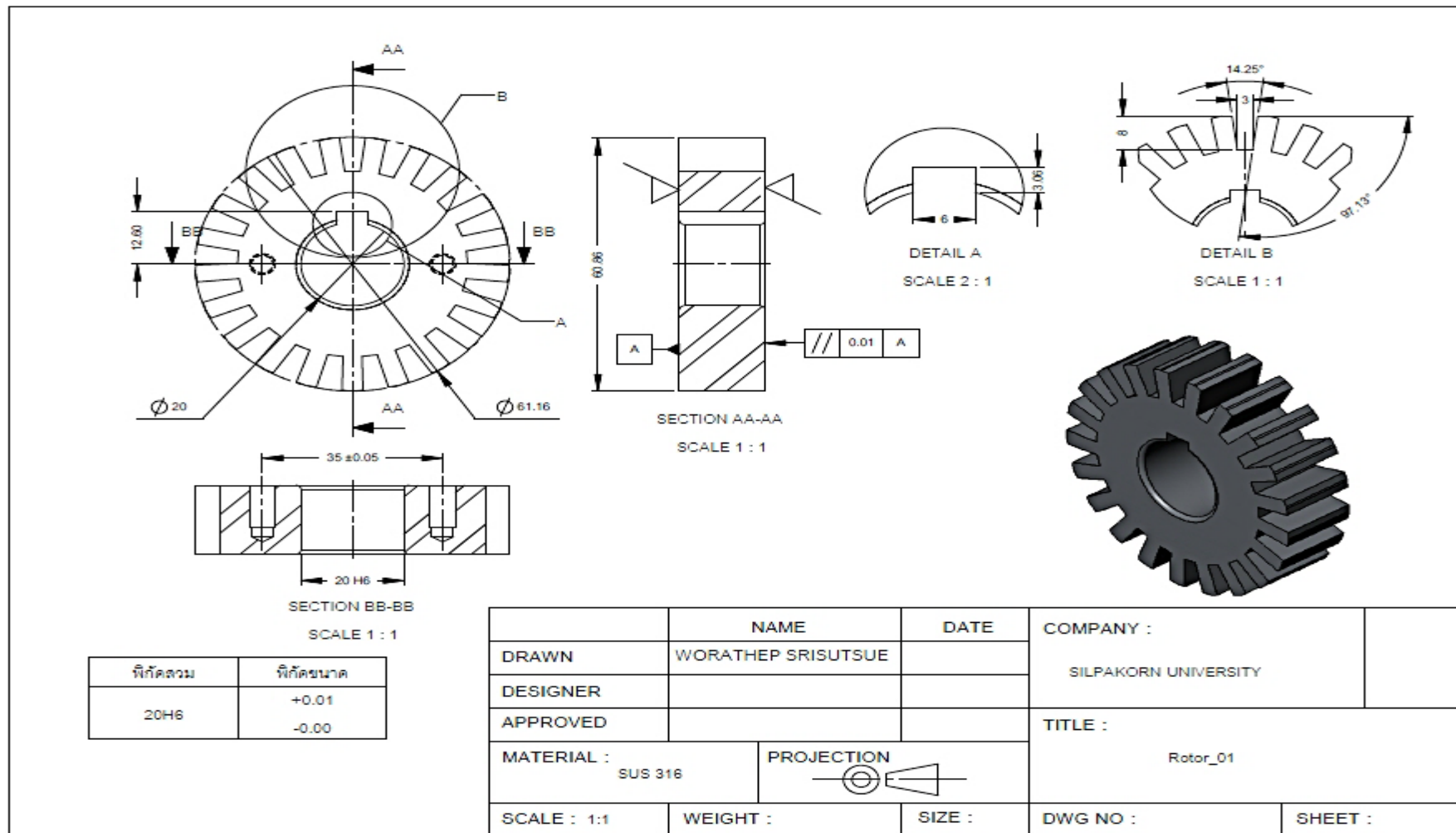
รูปที่ ค-20 Drawing และงานขนาด Frame_07



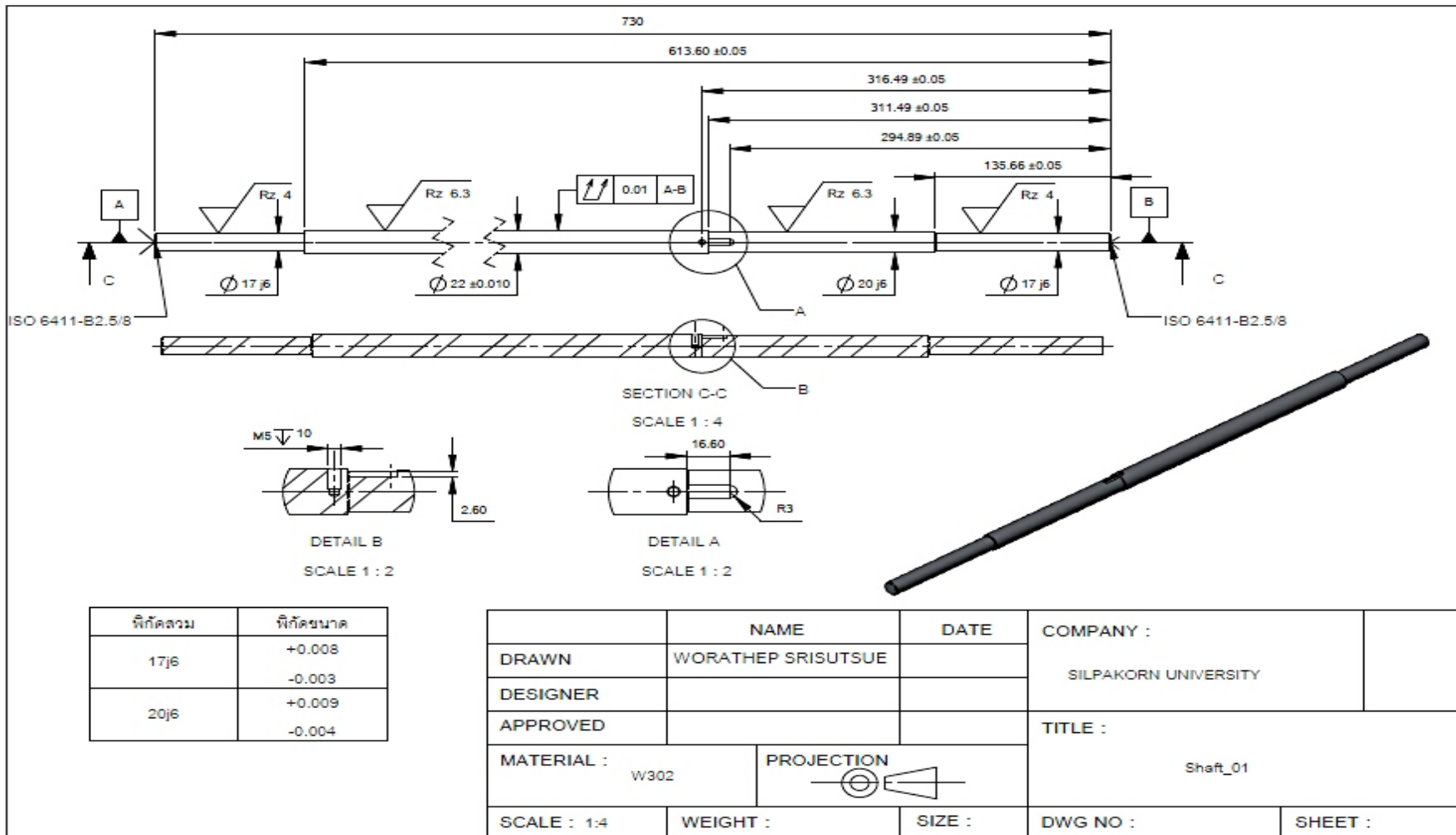
รูปที่ ค-21 Drawing แสดงขนาด Housing_01



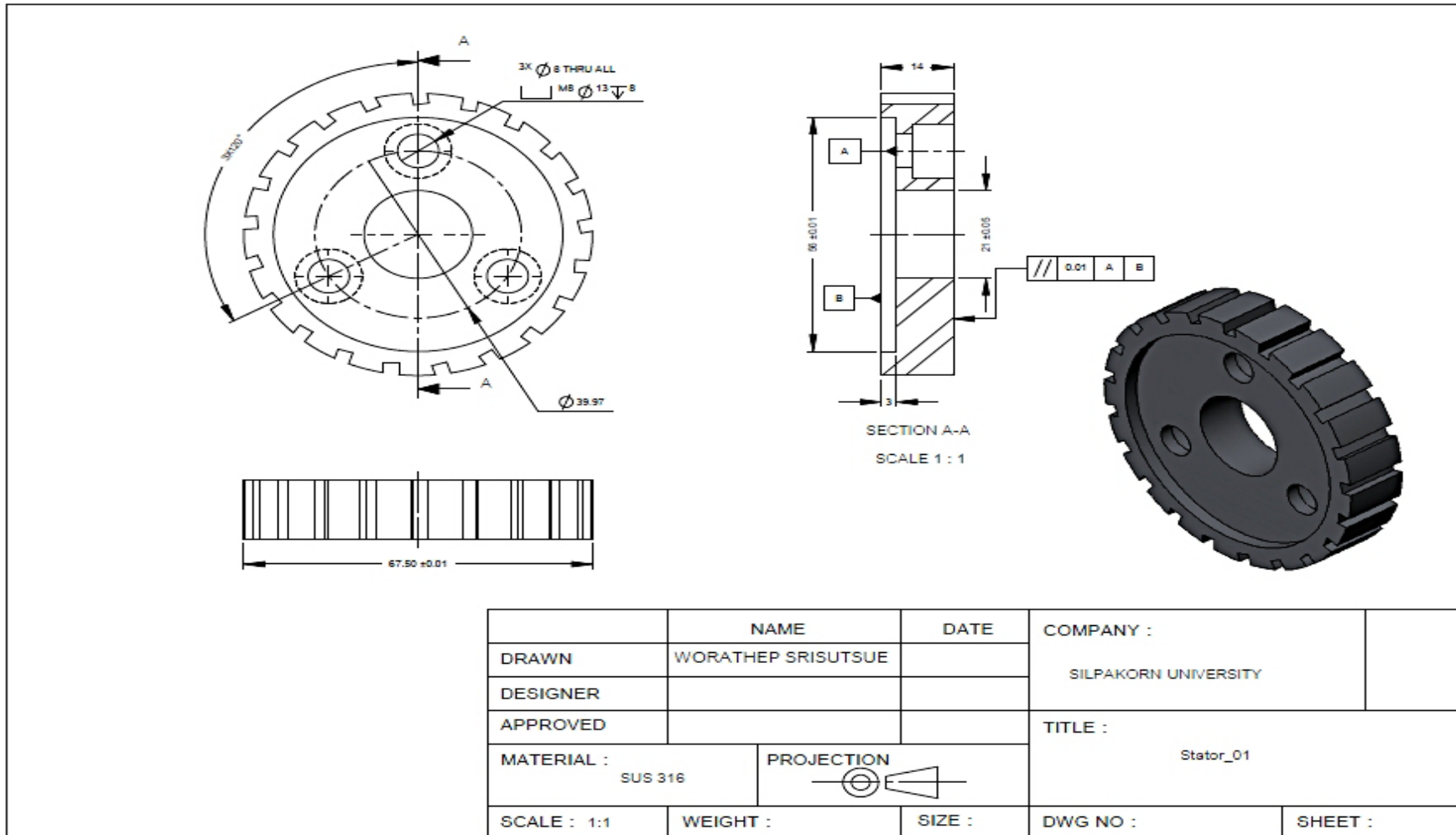
รูปที่ ค-22 Drawing แสดงขนาด Housing_02



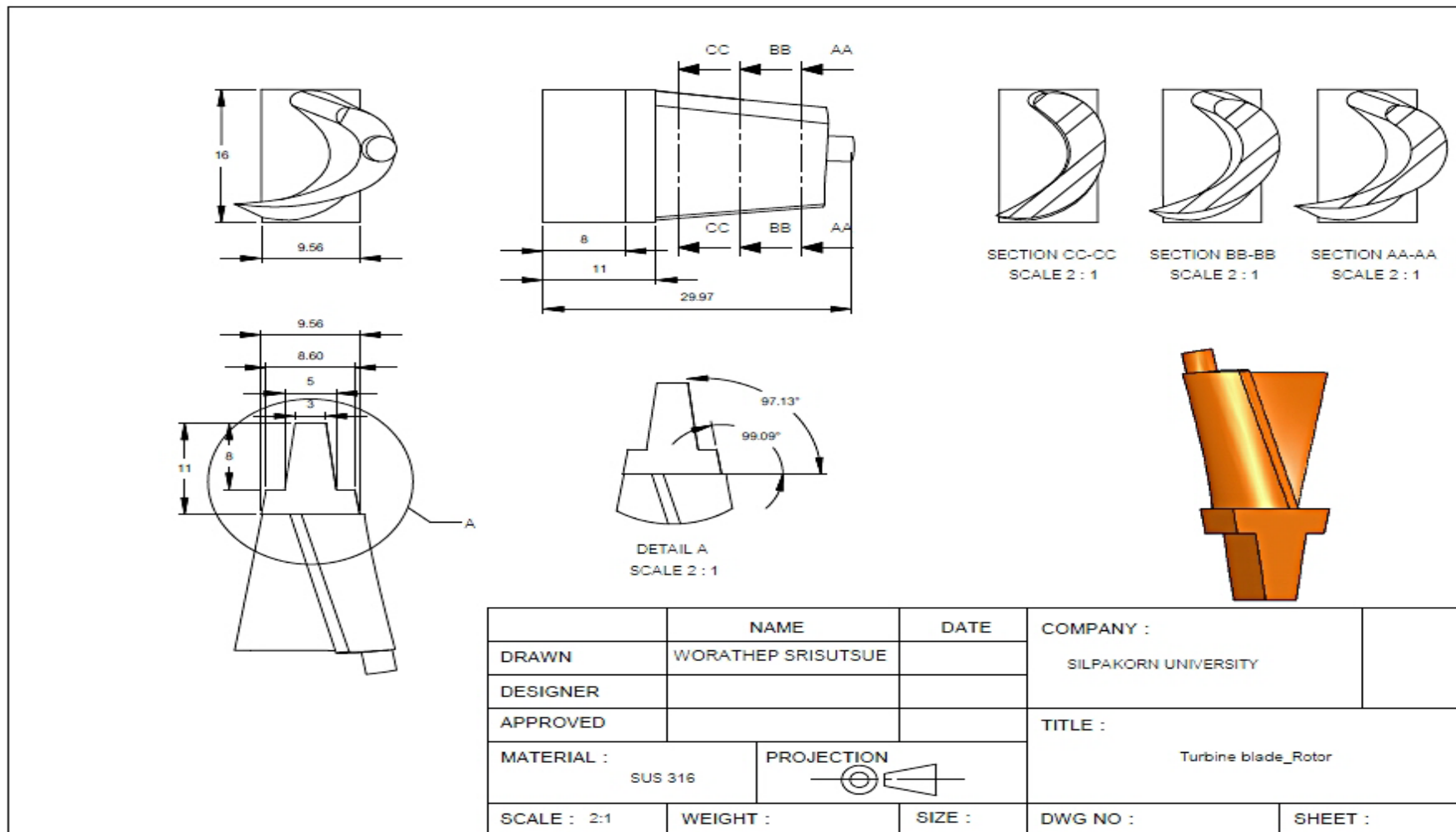
รูปที่ ค-23 Drawing แสดงขนาด Rotor_01



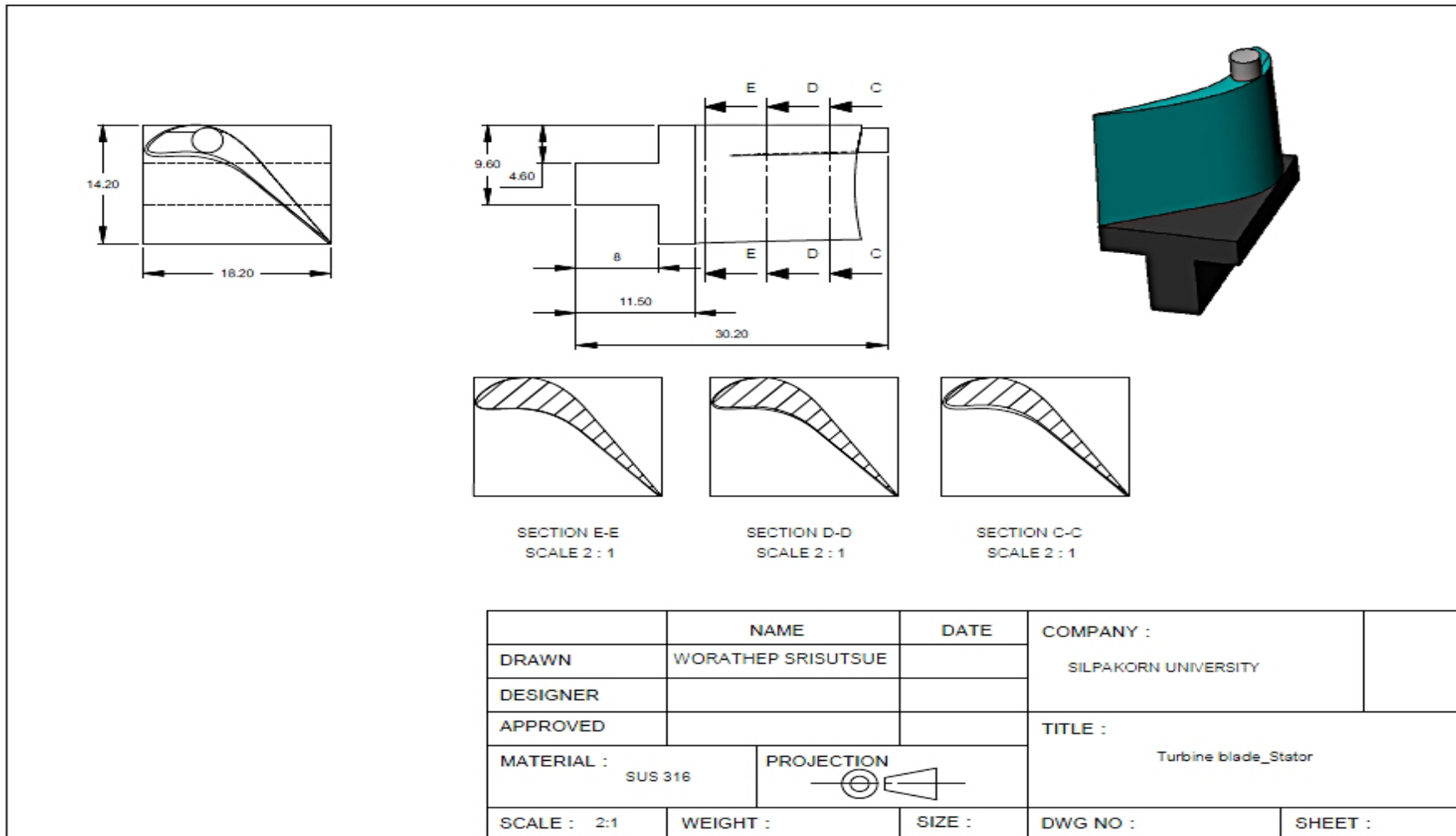
รูปที่ ค-24 Drawing แสดงขนาด Shaft_01



รูปที่ ค-25 Drawing แสดงขนาด Stator_01



รูปที่ ค-26 Drawing แสดงขนาด Turbine blade_Rotor



รูปที่ ค-27 Drawing แสดงขนาด Turbine blade_Stator

ประวัติผู้วิจัย

ชื่อ-นามสกุล นายวราเทพ สีสัตย์
 ที่อยู่ 34 หมู่ 5 ตำบลบางพลวง อำเภอบ้านสร้าง จังหวัดปราจีนบุรี 25150

ประวัติการศึกษา

- พ.ศ 2548 สำเร็จการศึกษาปริญญาวิศวกรรมศาสตรบัณฑิต สาขาวิศวกรรมเส้นใย
 สังเคราะห์ จากสถาบันเทคโนโลยีราชมงคลบูรี อ.ชุมบุรี จ.ปทุมธานี
- พ.ศ 2548 ศึกษาต่อระดับปริญญามหาบัณฑิต สาขาวิชาพัฒนาการและวิศวกรรมผลิตเมอร์
 บัณฑิตวิทยาลัย มหาวิทยาลัยศิลปากร